

**IMPIANTO FOTOVOLTAICO A TERRA COLLEGATO ALLA RTN
POTENZA NOMINALE 131,7 MWp
Comune di Ascoli Satriano (FG)**

PROPONENTE:

TEP RENEWABLES (FOGGIA 3 PV) S.R.L.
Viale Shakespeare, 71 – 00144 Roma
P. IVA e C.F. 04292570712 – REA RM 1651669

PROGETTISTA:

ING. LAURA CONTI
Iscritta all'Ordine degli Ingegneri della Provincia di Pavia al n. 1726

PROGETTO DEFINITIVO IMPIANTO FOTOVOLTAICO

Relazione calcolo preliminare strutture

Cod. Documento	Data	Tipo revisione	Redatto	Verificato	Approvato
2564_4100_A3_AS_PDVIA_R05_Rev0_R elazione calcolo preliminare strutture.docx	05/2020	Prima emissione	MA	FL	L.Conti

Elenco dei professionisti - Gruppo di lavoro

Nome e cognome	Ruolo nel gruppo di lavoro
Laura Maria Conti	Direzione Tecnica, iscritto all'albo dell'ordine professionale degli Ingegneri della Provincia di Pavia con n 1726
Corrado Pluchino	Project Manager, Ordine degli Ingegneri della Provincia di Milano n. A27174
Riccardo Festante	Progettazione Elettrica, Rumore e Comunicazioni, Tecnico competente in acustica ambientale n. 71
Fabio Lassini	Progettazione Civile e Idraulica, Ordine degli ingegneri della Provincia di Milano n. A29719
Mauro Aires	Ingegnere strutturista, Ordine degli Ingegneri della Provincia di Torino n. 9583J
Elena Comi	Biologo, Ordine Nazionale dei Biologi n. 60746
Andrea Fronteddu	Ingegnere Elettrico, Ordine degli Ingegneri di Cagliari n. 8788
Massimo Valagussa	Agronomo, Ordine Professionale dei Dottori Agronomi e Dottori Forestali delle province di Como, Lecco e Sondrio al numero 130
Michele Pecorelli (Studio Geodue)	Geologo - Indagini Geotecniche Geodue, albo dell'ordine professionale dei Geologi della Puglia con n. 327
Giovanni Saraceno (3e Ingegneria Srl)	Progetto di Connessione alla R.T.N., Ingegneri della Provincia di Reggio Calabria con n. 1629
Andrea Gioni	Ingegnere Ambientale, Ordine degli ingegneri della Provincia di Milano n. A33178
Sebastiano Muratore	Archeologo, albo dell'ordine professionale degli operatori abilitati alla verifica preventiva dell'interesse archeologico presso il Ministero per i beni e le attività con n. 3113
Matteo Lana	Ingegnere Ambientale
Daniele Crespi	Coordinamento SIA
Marco Corrà	Architetto
Francesca Jasparro	Esperto Ambientale
Sergio Alifano	Architetto
Andrea Fanelli	Tecnico Elettrico
Massimo Busnelli	Geologo
Giovanni Capocchiano	Rilievo topografico

INDICE

1. PREMESSA	4
2. NORMATIVE	5
3. CARATTERISTICHE DEI MATERIALI IMPIEGATI	6
4. CARATTERISTICHE GEOMETRICHE DEI MODULI FOTOVOLTAICI.....	7
5. AZIONI ESTERNE AGENTI SUI MODULI FOTOVOLTAICI	10
5.1 AZIONE DEL VENTO	10
5.2 AZIONE DELLA NEVE	12
5.3 AZIONE SISMICA	14
6. PREDIMENSIONAMENTO DELLE STRUTTURE DI SOSTEGNO DEI PANNELLI	15
6.1 DESCRIZIONE DEL PROGRAMMA SISMICAD	15
6.2 SPECIFICHE TECNICHE	15
6.3 SCHEMATIZZAZIONE STRUTTURALE E CRITERI DI CALCOLO DELLE SOLLECITAZIONI	15
6.4 VERIFICHE DELLE MEMBRATURE IN ACCIAIO.....	16
7. PREDIMENSIONAMENTO DEI PALI DI FONDAZIONE	17
7.1 FORZE DI CALCOLO AGENTI SULLE FONDAZIONI.....	17
7.2 VERIFICHE PRELIMINARI DEI PALI	19
7.3 POSSIBILI ALTERNATIVE COSTRUTTIVE.....	19
8. PREDISMENSIONAMENTO BASAMENTI DI FONDAZIONE DELLE CABINE	22
8.1 CARATTERISTICHE GEOMETRICHE	22
8.2 AZIONI AGENTI.....	22
8.3 VERIFICHE DEI BASAMENTI.....	22

ALLEGATO/APPENDICE

ALLEGATO 01	Dati di definizione delle strutture di sostegno dei pannelli FV
ALLEGATO 02	Sezioni e materiali
ALLEGATO 03	Verifiche strutture di sostegno pannelli FV
ALLEGATO 04	Verifiche geotecniche dei pali
ALLEGATO 05	Dati di definizione per dimensionamento basamenti
ALLEGATO 06	Verifiche basamenti cabine

1. PREMESSA

La presente relazione di calcolo preliminare ha lo scopo di definire e verificare la geometria degli elementi strutturali di sostegno dei pannelli fotovoltaici e delle fondazioni delle cabine a servizio del progetto per la realizzazione di un impianto fotovoltaico di produzione di energia da fonte solare di potenza di picco 131.7 MWp - sito sul territorio del Comune di Ascoli Satriano, provincia di Foggia.

2. NORMATIVE

D.M. LL. PP. 11-03-88: Norme Tecniche riguardanti le indagini sui terreni e sulle rocce, la stabilità dei pendii naturali e delle scarpate, i criteri generali e le prescrizioni per la progettazione, l'esecuzione ed il collaudo delle opere di sostegno delle terre e delle opere di fondazione.

Circolare Ministeriale del 24-07-88, n. 30483/STC.

Legge 02-02-74 n. 64, art. 1 - D.M. 11-03-88: Norme Tecniche riguardanti le indagini sui terreni e sulle rocce, la stabilità dei pendii naturali e delle scarpate, i criteri generali e le prescrizioni per la progettazione, l'esecuzione ed il collaudo delle opere di sostegno delle terre e delle opere di fondazione.

Norme Tecniche per le Costruzioni - D.M. 17-01-18: Sicurezza e prestazioni attese (cap.2), Azioni sulle costruzioni (cap.3), Costruzioni in calcestruzzo (par.4.1), Costruzioni in legno (par.4.4), Costruzioni in muratura (par.4.5), Progettazione geotecnica (cap.6), Progettazione per azioni sismiche (cap.7), Costruzioni esistenti (cap.8), Riferimenti tecnici (cap.12), EC3.

Circolare 7 21-01-19 C.S.LL.PP: Istruzioni per l'applicazione dell'Aggiornamento delle N.T.C. di cui al decreto ministeriale 17 gennaio 2018.

Eurocodice 3 UNI ENV 1993-1-1:1994, Eurocodice 3 UNI EN 1993-1-1:2014 Luglio 2014, Eurocodice 3 UNI ENV 1993-1-3:2000, Eurocodice 3 UNI EN 1993-1-3:2007 Gennaio 2007, Eurocodice 3 EN 1993-1-8:2005

3. CARATTERISTICHE DEI MATERIALI IMPIEGATI

Le caratteristiche dei materiali impiegati nei calcoli sono le seguenti:

- Classe di resistenza del calcestruzzo C28/35
- Classe di esposizione ambientale XC4, XA2 e XS1
- Classe di consistenza S4
- Copriferro:
 - Calcestruzzo gettato contro il terreno e permanentemente a contatto con esso 75mm
 - Calcestruzzo a contatto con il terreno o con acqua 50mm
 - Calcestruzzo non a contatto con il terreno o con acqua 40mm
- Acciaio: Barre ad aderenza migliorata tipo B450C
- Acciaio strutturale: Fe360

4. CARATTERISTICHE GEOMETRICHE DEI MODULI FOTOVOLTAICI

I moduli fotovoltaici previsti nel sito di progetto sono costituiti da pannelli fotovoltaici di dimensioni indicative 990mm x 1960mm predisposti lungo il lato corto su 2 file per uno sviluppo complessivo di 3,06m ed una inclinazione variabile da 0° a 60°, in modo da ottimizzare la produzione di energia elettrica.

Il portale tipico della struttura progettata è costituito da una stringa di lunghezza 31,40 mt su cui sono montati i moduli fotovoltaici. La struttura presenta una altezza massima da terra di 2,20 mt, mentre nella posizione con inclinazione 60° l'altezza da terra del punto più basso della struttura risulta essere di 49,20 cm.

La fondazione della struttura di sostegno dei pannelli fotovoltaici sarà costituita da profili in acciaio infissi nel terreno per una profondità minima di 5,00 mt e comunque tale da garantire la stabilità della "vela" costituita dall'insieme dei pannelli e della struttura a sostegno.

Come mostrato negli elaborati di progetto si è proceduto considerando uno "schema tipo", che presenta caratteristiche tecnico-costruttive analoghe a quelle desumibili dai prodotti commerciali più comunemente utilizzati per impianti FV simili a quello in oggetto.

Lo schema statico utilizzato per le verifiche risulta essere il seguente:

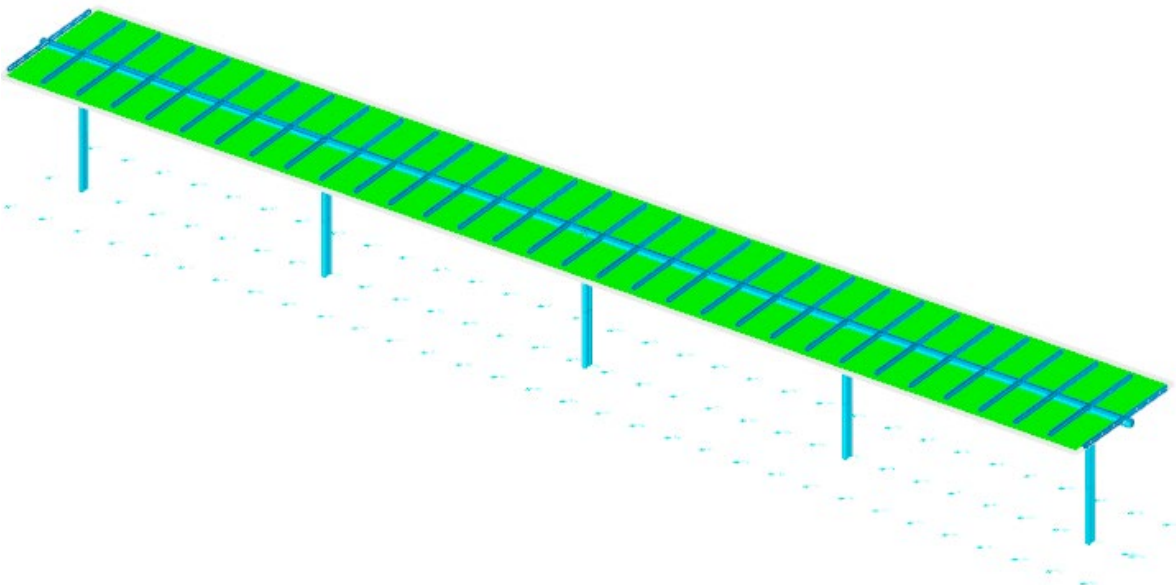


Figura 4.1 – Vista assometrica modello strutturale con posizione della "vela" orizzontale

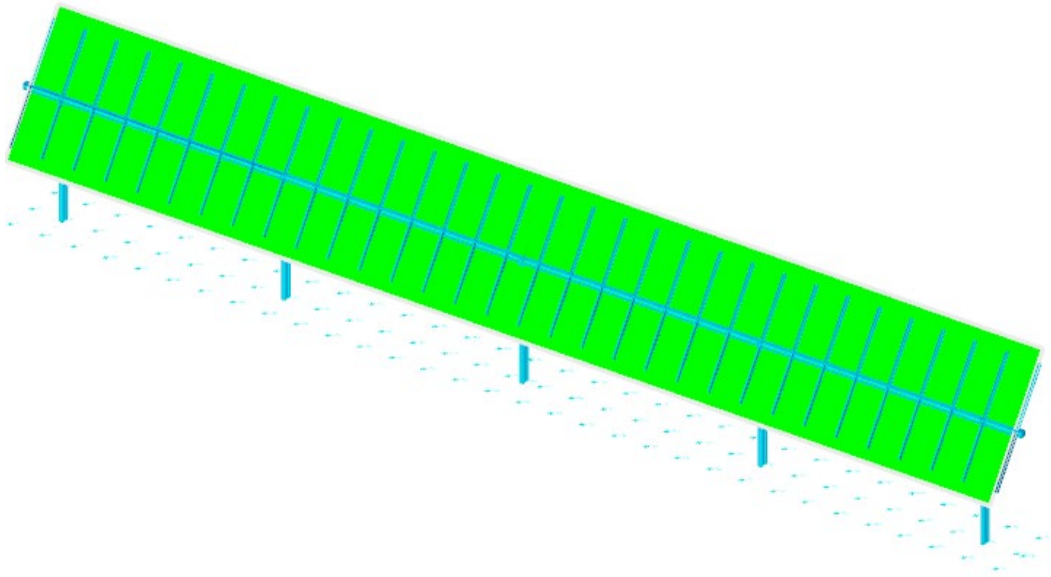


Figura 4.2 – Vista assonometrica modello strutturale con posizione della “vela” inclinata di 60°

La struttura di sostegno dei pannelli è costituita dai seguenti profilati riportati in Tabella 1

Elemento	Sezione	Materiale
Montanti	IPE 200 [montanti esterni]	Acciaio Fe360
	IPE 220 [montanti centrali]	
Traversi	Tubi rettangolari 150x150x8 [dimensioni in mm]	Acciaio Fe360
Elementi di sostegno pannelli	Sagomati omega 80x40x25x3 [dimensioni in mm]	Acciaio Fe360

Tabella 1 – Dati geometrici profili in acciaio struttura di sostegno pannelli

L’interasse tra i montanti risulta essere di circa 7,00 mt tra il montante esterno ed il primo montante centrale, 7,50 mt tra i montanti centrali.

Di seguito si riportano le caratteristiche tecnico-costruttive di progetto delle strutture di sostegno e dei moduli fotovoltaici:

- superficie: $S=105,00 \text{ m}^2$ (superficie moduli FV per ogni “vela”)
- peso moduli fotovoltaici: $q_m=0,25\text{kN}$ (cadauno)
- altezza minima pannelli fuori terra: $f=0,492 \text{ m}$ dal p.c.

- altezza massima pannelli fuori terra: $f=2,20$ m dal p.c.

5. AZIONI ESTERNE AGENTI SUI MODULI FOTOVOLTAICI

Il dimensionamento preliminare del plinto di sostegno è svolto applicando le combinazioni allo SLU (statica e sismica), previste nel DM 17 gennaio 2018 “Norme tecniche per le costruzioni” (NTC 2018), alle sollecitazioni presenti sulla struttura, in particolare dei carichi variabili dovuti al vento (azione di carico variabile principale) e alla neve (azione di carico variabile secondaria) e all’azione sismica definita mediante il metodo pseudostatico.

5.1 AZIONE DEL VENTO

Il vento, la cui direzione si considera generalmente orizzontale, esercita sulle costruzioni azioni che variano nel tempo e nello spazio provocando effetti dinamici.

Per le costruzioni tali azioni sono generalmente ricondotte alle azioni statiche equivalenti descritte in seguito.

Velocità di riferimento

La determinazione dell’azione del vento sulla costruzione parte dall’individuazione della velocità di riferimento v_b , definita come il valore caratteristico della velocità misurata a 10 metri dal suolo su un intervallo di tempo di 10 minuti del vento; tale velocità corrisponde ad un periodo di ritorno di $T = 50$ anni.

Otterremo quindi, dai dati forniti dalla tabella relativa i parametri di macrozonazione per il vento, tratta dalle “Norme tecniche per le costruzioni”, il seguente valore:

- $v_b = 27 \text{ m/s}$ (valore per la ZONA 3)

Coefficiente di esposizione (microzonazione)

Il coefficiente di esposizione C_e dipende dall’altezza z sul suolo del punto considerato, dalla topografia del terreno e dalla categoria di esposizione del sito ove sorge l’impianto fotovoltaico.

Per altezze sul suolo non maggiori di $z = 200 \text{ m}$, esso è dato dalla seguente formula:

- $C_e(z) = C_e(z_{min})$ per $z < z_{min}$
- $C_e(z) = k_r \cdot C_t \cdot \ln(z/z_0) \cdot [7 + C_t \cdot \ln(z/z_0)]$ per $z \geq z_{min}$

dove k_r , z_0 e z_{min} sono assegnati nella seguente tabella:

Categoria di esposizione del sito	k_r	z_0 (m)	z_{min} (m)
I	0,17	0,01	2
II	0,19	0,05	4
III	0,20	0,10	5
IV	0,22	0,30	8
V	0,23	0,70	12

Tabella 2 – Parametri per la definizione del coefficiente di esposizione

In mancanza di analisi specifiche che tengano conto sia della direzione di provenienza del vento sia delle variazioni di rugosità e topografia del terreno, la categoria di esposizione è assegnata in funzione della posizione geografica dell'area di progetto e della classe di rugosità definita nella tabella seguente.

Classe di rugosità del terreno	Descrizione
A	Aree urbane in cui almeno il 15% della superficie sia coperto da edifici la cui altezza media superi i 15 metri
B	Aree urbane (non di classe A), suburbane, industriali e boschive
C	Aree con ostacoli diffusi (alberi, case, muri recinzioni,..); aree con rugosità non riconducibile alle classi A,B,D
D	Aree prive di ostacoli (aperta campagna aeroporti, aree agricole, pascoli, zone paludose o sabbiose, superfici innevate o ghiacciate, mare, laghi, ...)

Tabella 3 - Parametri per la definizione del coefficiente di esposizione

Prendendo atto che il sito è caratterizzato da classe di rugosità D e in prossimità della costa, per la Zona 3 le tabelle delle "Norme tecniche per le costruzioni" ci indicano, per l'area di progetto, una categoria di esposizione di classe II.

Dalle curve per il calcolo del coefficiente di esposizione contenute nelle "Norme tecniche per le costruzioni" si giunge quindi alla conclusione che C_e risulterà pari a 1,801 lungo tutta la struttura.

Coefficiente dinamico

Il coefficiente dinamico C_d tiene conto degli effetti riduttivi associati alla non contemporaneità delle massime pressioni locali e degli effetti amplificativi dovuti alla risposta dinamica della struttura.

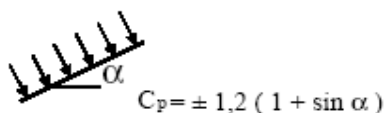
Esso, nel caso in oggetto, può essere assunto pari a 1.

Coefficiente di forma

Il coefficiente di forma C_p è stato determinato considerando che la vela può essere assimilata a una tettoia o pensilina ad un solo spiovente piano con angolo di inclinazione pari a 60° .

$$C_p = \pm 1.2 (1 + \sin \alpha)$$

Uno spiovente piano



Esso, nel caso in oggetto, può essere assunto pari a $\pm 2,24$.

Pressione cinetica di riferimento

La pressione cinetica di riferimento q_b è data dall'espressione:

$$q_b = \frac{1}{2} \rho * (v_b)^2$$

dove:

- v_b è la velocità di riferimento del vento [m/s]
- ρ è la densità dell'aria che può essere assunta pari a 1,25 Kg/m³

Nel nostro caso avremo $q_b = 455,63 \text{ N/mq}$.

Pressione del vento

La pressione del vento è data dall'espressione:

$$p = q_b * c_e * c_p * c_d$$

dove:

- q_b è la pressione cinetica di riferimento [N/m²]
- c_e è il coefficiente di esposizione
- c_d è il coefficiente dinamico
- c_p è il coefficiente di forma

Nel nostro caso avremo un valore $p = \pm 4,56 \text{ kN/m}^2$.

Azioni statiche equivalenti

Le azioni statiche del vento sono costituite da pressioni e depressioni agenti normalmente alle superfici, sia esterne che interne, degli elementi che compongono l'impianto.

L'azione del vento sul singolo elemento, scomposta secondo la direzione verticale e orizzontale, viene determinata considerando la condizione più gravosa della pressione agente sulla superficie esterna o della pressione agente sulla superficie interna dell'elemento incrementando la pressione esercitata dal vento.

5.2 AZIONE DELLA NEVE

Il carico provocato dalla neve sui pannelli sarà valutato mediante la seguente espressione:

$$q_s = \mu_i * q_{sk} * C_E * C_t$$

dove:

- q_s è il carico neve sulla copertura
- μ_i è il coefficiente di forma della copertura
- q_{sk} è il valore caratteristico di riferimento del carico neve al suolo [kN/m²] per un periodo di ritorno di 50 anni
- C_E è il coefficiente di esposizione
- C_t è il coefficiente termico

Si ipotizza che il carico neve agisca in direzione verticale e lo si riferisce alla proiezione orizzontale della superficie della copertura.

Valore caratteristico del carico neve al suolo

Il carico neve al suolo dipende dalle condizioni locali di clima e di esposizione, considerata la variabilità

delle precipitazioni nevose da zona a zona.

Per la determinazione del carico neve si fa riferimento ai seguenti valori, indicativi per la zona nella quale ricade l'area di progetto:

- $q_{sk} = 1,00$ [kN/m²] $a_s \leq 200$ m
- $q_{sk} = 0,85 * [1 + (a_s / 481)^2]$ [kN/m²] $a_s \geq 200$ m

dove a_s rappresenta la quota sul livello del mare.

Per il sito in esame si ha un valore di q_{sk} pari a 1,00kN/m².

Coefficiente di esposizione

Il coefficiente di esposizione C_E può essere utilizzato per modificare il valore del carico neve in copertura in funzione delle caratteristiche specifiche dell'area in cui sorge l'impianto.

Valori consigliati del coefficiente di esposizione per diverse classi di topografia sono forniti nella tabella seguente. Nel caso in questione si assegna a C_E un valore pari a 0,9.

Topografia	Descrizione	C_E
Battuta dai venti	Aree pianeggianti non ostruite esposte su tutti i lati senza costruzioni o alberi più alti	0,9
Normale	Aree in cui non è presente una significativa rimozione di neve sulla costruzione prodotta dal vento, a causa del terreno, altre costruzioni o alberi	1,0
Riparata	Aree in cui la costruzione considerata è sensibilmente più bassa del circostante terreno o accerchiata da costruzioni o alberi più bassi	1,1

Tabella 4 – Valori di C_E per diverse classi di tipografia

Coefficiente termico

Il coefficiente termico può essere utilizzato per tener conto della riduzione del carico neve a causa dello scioglimento della stessa, causata dalla perdita di calore della costruzione.

Tale coefficiente tiene conto delle proprietà di isolamento termico del materiale utilizzato in copertura. Nel caso in esame viene utilizzato $C_T = 1$

Coefficiente di forma

Il coefficiente di forma μ_i , determinato in riferimento all'angolo formato dai moduli con l'orizzontale. Considerando che i pannelli risultano fissi rispetto all'orizzontale con inclinazione di 90° si è determinato un valore μ_i pari a 0,8.

Calcolo del Carico Neve

Considerando tutti i parametri utili al calcolo del carico neve, definito in precedenza dalla formula:

$$q_s = \mu_i * q_{sk} * C_E * C_t$$

avremo un valore di pari a **0,72 kN/m²**. [Ai fini dei calcoli si adotta un valore conservativo di **1 kN/m²**].

5.3 AZIONE SISMICA

Ai fini dell'analisi sismica i parametri utilizzati per la determinazione dell'azione sismica sono:

- categoria del suolo C
- categoria topografica T1;
- classe d'uso dell'opera in progetto – classe 2
- vita nominale dell'opera 50 anni.

Gli spettri di risposta utilizzati per le verifiche sismiche conseguenti alle assunzioni sopra evidenziate sono riportati in "ALLEGATO 1 – Dati di definizione delle strutture"

6. PREDIMENSIONAMENTO DELLE STRUTTURE DI SOSTEGNO DEI PANNELLI

6.1 DESCRIZIONE DEL PROGRAMMA SISMICAD

Si tratta di un programma di calcolo strutturale che nella versione più estesa è dedicato al progetto e verifica degli elementi in cemento armato, acciaio, muratura e legno di opere civili. Il programma utilizza come analizzatore e solutore del modello strutturale un proprio solutore agli elementi finiti tridimensionale fornito col pacchetto. Il programma è sostanzialmente diviso in tre moduli: un pre processore che consente l'introduzione della geometria e dei carichi e crea il file dati di input al solutore; il solutore agli elementi finiti; un post processore che a soluzione avvenuta elabora i risultati eseguendo il progetto e la verifica delle membrature e producendo i grafici ed i tabulati di output.

6.2 SPECIFICHE TECNICHE

Denominazione del software: Sismicad 12.15

Produttore del software: Concrete

Concrete srl, via della Pieve, 15, 35121 PADOVA - Italy

<http://www.concrete.it>

Rivenditore: CONCRETE SRL - Via della Pieve 19 - 35121 Padova - tel.049-8754720

Versione: 12.15

Identificatore licenza: SW-8672175

Intestatario della licenza: AIRES ING. MAURO - VIA G. VERDI, 40 - COLLEGNO (TO)

Versione regolarmente licenziata

6.3 SCHEMATIZZAZIONE STRUTTURALE E CRITERI DI CALCOLO DELLE SOLLECITAZIONI

Il programma schematizza la struttura attraverso l'introduzione nell'ordine di fondazioni, poste anche a quote diverse, platee, platee nervate, plinti e travi di fondazione poggianti tutte su suolo elastico alla Winkler, di elementi verticali, pilastri e pareti in c.a. anche con fori, di orizzontamenti costituiti da solai orizzontali e inclinati (falde), e relative travi di piano e di falda; è ammessa anche l'introduzione di elementi prismatici in c.a. di interpiano con possibilità di collegamento in inclinato a solai posti a quote diverse. I nodi strutturali possono essere connessi solo a travi, pilastri e pareti, simulando così impalcati infinitamente deformabili nel piano, oppure a elementi lastra di spessore dichiarato dall'utente simulando in tal modo impalcati a rigidità finita. I nodi appartenenti agli impalcati orizzontali possono essere connessi rigidamente ad uno o più nodi principali giacenti nel piano dell'impalcato; generalmente un nodo principale coincide con il baricentro delle masse. Tale opzione, oltre a ridurre significativamente i tempi di elaborazione, elimina le approssimazioni numeriche connesse all'utilizzo di elementi lastra quando si richiede l'analisi a impalcati infinitamente rigidi. Per quanto concerne i carichi, in fase di immissione dati, vengono definite, in numero a scelta dell'utente, condizioni di carico elementari le quali, in aggiunta alle azioni sismiche e variazioni termiche, vengono combinate attraverso coefficienti moltiplicativi per fornire le combinazioni richieste per le verifiche successive. L'effetto di disassamento delle forze orizzontali, indotto ad esempio dai torcenti di piano per costruzioni in zona sismica, viene simulato attraverso l'introduzione di eccentricità planari aggiuntive le quali costituiscono ulteriori condizioni elementari di carico da cumulare e combinare secondo i criteri del paragrafo precedente. Tipologicamente sono ammessi sulle travi e sulle pareti carichi uniformemente distribuiti e carichi trapezoidali; lungo le aste e nei nodi di incrocio delle membrature sono anche definibili

componenti di forze e coppie concentrate comunque dirette nello spazio. Sono previste distribuzioni di temperatura, di intensità a scelta dell'utente, agenti anche su singole porzioni di struttura. Il calcolo delle sollecitazioni si basa sulle seguenti ipotesi e modalità: - travi e pilastri deformabili a sforzo normale, flessione deviata, taglio deviato e momento torcente. Sono previsti coefficienti riduttivi dei momenti di inerzia a scelta dell'utente per considerare la riduzione della rigidità flessionale e torsionale per effetto della fessurazione del conglomerato cementizio. E' previsto un moltiplicatore della rigidità assiale dei pilastri per considerare, se pure in modo approssimato, l'accorciamento dei pilastri per sforzo normale durante la costruzione. - le travi di fondazione su suolo alla Winkler sono risolte in forma chiusa tramite uno specifico elemento finito; - le pareti in c.a. sono analizzate schematizzandole come elementi lastra-piastra discretizzati con passo massimo assegnato in fase di immissione dati; - le pareti in muratura possono essere schematizzate con elementi lastra-piastra con spessore flessionale ridotto rispetto allo spessore membranale.- I plinti su suolo alla Winkler sono modellati con la introduzione di molle verticali elastoplastiche. La traslazione orizzontale a scelta dell'utente è bloccata o gestita da molle orizzontali di modulo di reazione proporzionale al verticale. - I pali sono modellati suddividendo l'asta in più aste immerse in terreni di stratigrafia definita dall'utente. Nei nodi di divisione tra le aste vengono inserite molle assialsimmetriche elastoplastiche precaricate dalla spinta a riposo che hanno come pressione limite minima la spinta attiva e come pressione limite massima la spinta passiva modificabile attraverso opportuni coefficienti. - i plinti su pali sono modellati attraverso aste di rigidità elevata che collegano un punto della struttura in elevazione con le aste che simulano la presenza dei pali;- le piastre sono discretizzate in un numero finito di elementi lastra-piastra con passo massimo assegnato in fase di immissione dati; nel caso di platee di fondazione i nodi sono collegati al suolo da molle aventi rigidità alla traslazione verticale ed richiesta anche orizzontale.- La deformabilità nel proprio piano di piani dichiarati non infinitamente rigidi e di falde (piani inclinati) può essere controllata attraverso la introduzione di elementi membranali nelle zone di solaio. - I disassamenti tra elementi asta sono gestiti automaticamente dal programma attraverso la introduzione di collegamenti rigidi locali.- Alle estremità di elementi asta è possibile inserire svincolamenti tradizionali così come cerniere parziali (che trasmettono una quota di ciò che trasmetterebbero in condizioni di collegamento rigido) o cerniere plastiche.- Alle estremità di elementi bidimensionali è possibile inserire svincolamenti con cerniere parziali del momento flettente avente come asse il bordo dell'elemento.- Il calcolo degli effetti del sisma è condotto, a scelta dell'utente, con analisi statica lineare, con analisi dinamica modale o con analisi statica non lineare, in accordo alle varie normative adottate. Le masse, nel caso di impalcati dichiarati rigidi sono concentrate nei nodi principali di piano altrimenti vengono considerate diffuse nei nodi giacenti sull'impalcato stesso. Nel caso di analisi sismica vengono anche controllati gli spostamenti di interpiano.

6.4 VERIFICHE DELLE MEMBRATURE IN ACCIAIO

Le verifiche delle membrature in acciaio (solo per utenti Sismicad acciaio) possono essere condotte secondo CNR 10011 (stato limite o tensioni ammissibili), CNR 10022, D.M. 14-01-08, al D.M. 17-01-18 o Eurocodice 3. Sono previste verifiche di resistenza e di instabilità. Queste ultime possono interessare superelementi cioè membrature composte di più aste. Le verifiche tengono conto, ove richiesto, della distinzione delle condizioni di carico in normali o eccezionali (I e II) previste dalle normative adottate.

Negli allegati alla presente relazione sono riportati gli output del programma di calcolo:

- Allegato 1: Dati di definizione delle strutture di sostegno dei pannelli fotovoltaici
- Allegato 2: Sezioni e materiali
- Allegato 3: Verifiche strutture di sostegno pannelli FV

Il dimensionamento e le verifiche strutturali delle membrature in acciaio costituenti il sistema portante dei pannelli fotovoltaici, svolte sia in condizioni statiche sia sismiche per i casi “vela orizzontale” e “vela inclinata di 60°” risultano soddisfatte.

7. PREDIMENSIONAMENTO DEI PALI DI FONDAZIONE

Nel presente capitolo si descrivono le verifiche con le quali è stata determinata la geometria della fondazione di sostegno dei pannelli fotovoltaici, fondazione costituita dal prolungamento del montante della struttura di supporto dei pannelli fotovoltaici.

Il sito in esame risulta particolarmente esteso e dalle indagini geologiche/geotecniche effettuate si sono rilevati due differenti profili stratigrafici aventi i seguenti parametri geotecnici:

- Località Sal Di Collina – area sud ovest:
 - Terreno vegetale – spessore strato 150 cm:
 - peso dell'unità di volume del terreno in condizioni naturali (γ_n) = 17 kN/m³
 - angolo d'attrito di picco (ϕ) = 20°
 - coesione (c') = 0 kN/m²
 - Sabbia Gialla – spessore strato 450 cm:
 - peso dell'unità di volume del terreno in condizioni naturali (γ_n) = 18,60 kN/m³
 - angolo d'attrito di picco (ϕ) = 38°
 - coesione (c') = 0 kN/m²
 - Ghiaia sabbiosa poco addensata – spessore strato 200 cm:
 - peso dell'unità di volume del terreno in condizioni naturali (γ_n) = 20 kN/m³
 - angolo d'attrito di picco (ϕ) = 38°
 - coesione (c') = 0 kN/m²
- Località Sal di Mezzana – area est:
 - Terreno vegetale – spessore strato 100 cm:
 - peso dell'unità di volume del terreno in condizioni naturali (γ_n) = 17 kN/m³
 - angolo d'attrito di picco (ϕ) = 20°
 - coesione (c') = 0 kN/m²
 - Ghiaia sabbiosa poco addensata – spessore strato 200 cm:
 - peso dell'unità di volume del terreno in condizioni naturali (γ_n) = 20 kN/m³
 - angolo d'attrito di picco (ϕ) = 38°
 - coesione (c') = 0 kN/m²
 - Sabbia ghiaiosa con ciottoli in matrice limosa – spessore strato 600 cm:
 - peso dell'unità di volume del terreno in condizioni naturali (γ_n) = 20 kN/m³
 - angolo d'attrito di picco (ϕ) = 28°
 - coesione (c') = 0 kN/m²

7.1 FORZE DI CALCOLO AGENTI SULLE FONDAZIONI

Come evidenziato nei capitoli precedenti la struttura di sostegno dei pannelli fotovoltaici risulta essere del tipo “mobile”, con un’inclinazione variabile da 0° a 60°. Ne consegue che le sollecitazioni sui montanti, e quindi sui pali di fondazione, risultino variare a seconda della posizione della “vela”.

Dalle verifiche effettuate si ricava che le massime sollecitazioni agenti sugli elementi di fondazioni si riscontrano nella condizione “vela inclinata di 60°”, come risulta evidente dalle figure di seguito riportate.

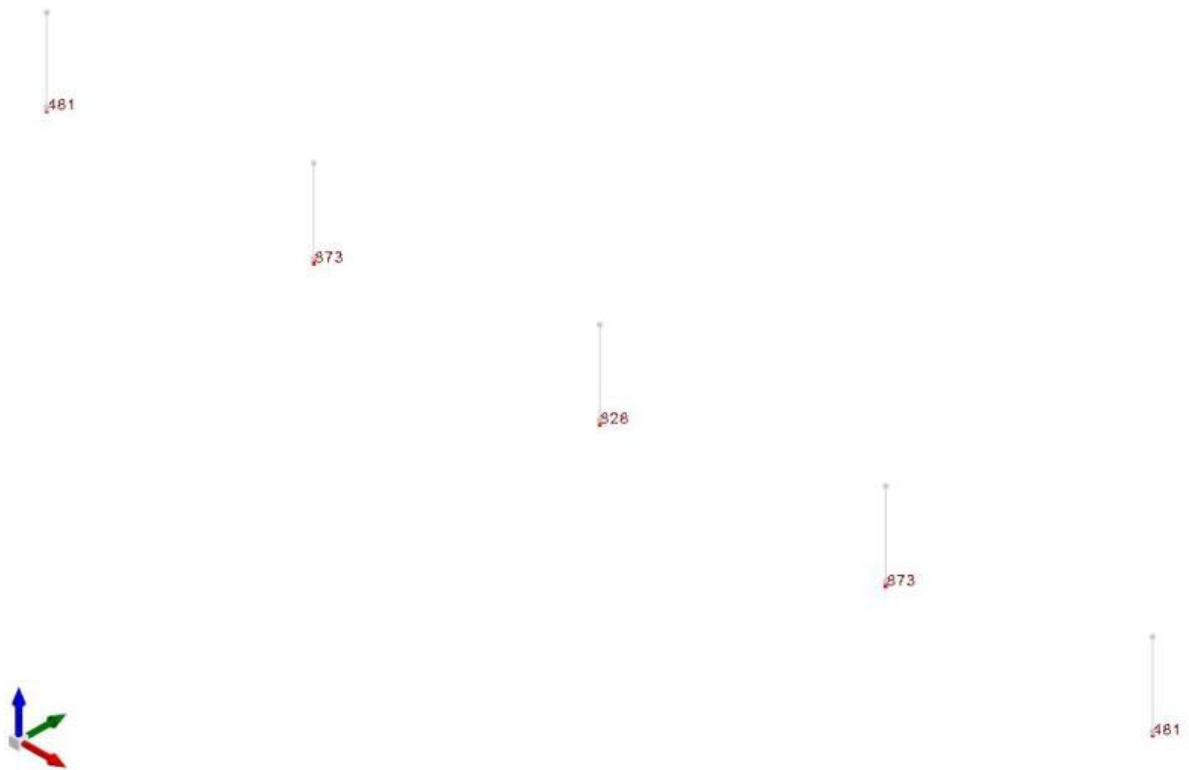


Figura 7.1 – Massime sollecitazioni di sforzo normale sugli elementi di fondazione nella condizione “vela” inclinata di 60°

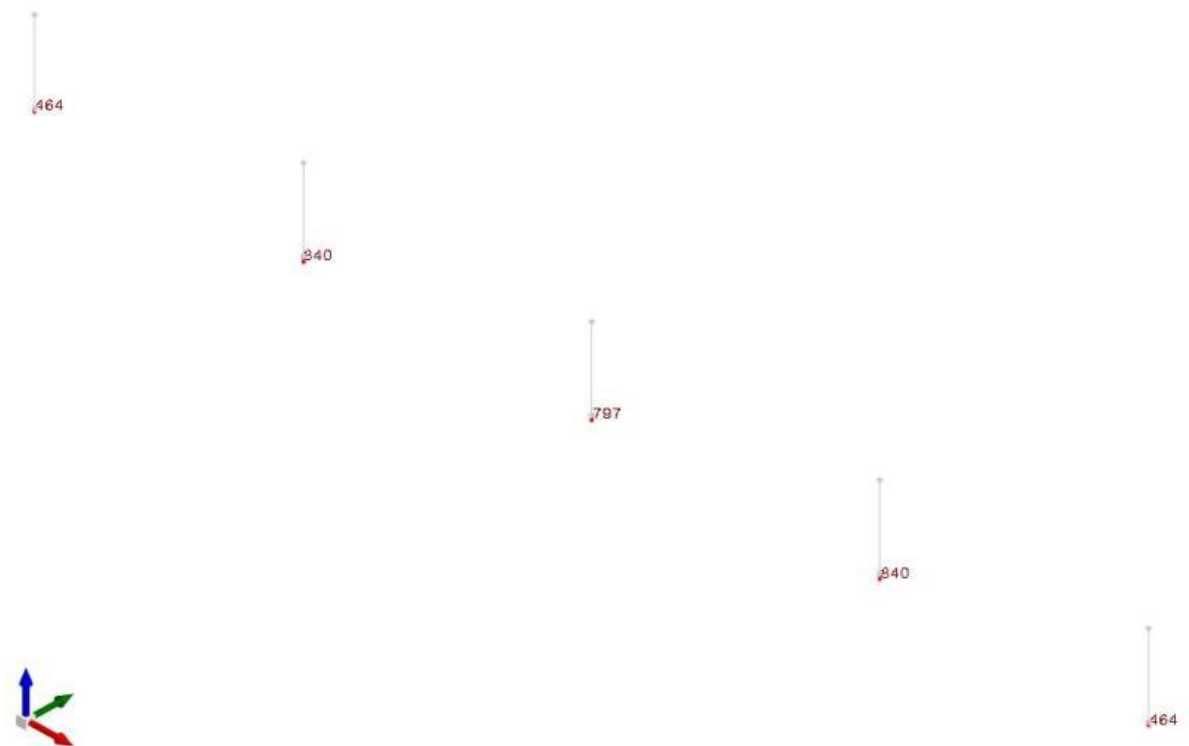


Figura 7.2 – Massime sollecitazioni di sforzo normale sugli elementi di fondazione nella condizione “vela” inclinata di 0°

7.2 VERIFICHE PRELIMINARI DEI PALI

Le verifiche sui pali di fondazione, distinte tra le due tipologie di palo, ovvero IPE 200 per i montanti laterali e IPE 220 per i montanti centrali, sono riportate nell'ALLEGATO 4 – Verifiche geotecniche dei pali". Tali verifiche sono state effettuate per entrambi i profili stratigrafici sopra definiti.

In sintesi dalle verifiche effettuate si riscontra quanto segue:

Località Sal di Collina – Area sud ovest

- palo infisso IPE 200: lunghezza minima palo 4,50 mt, minimo coefficiente di sicurezza riscontrabile pari a 1,65;
- palo infisso IPE 220: lunghezza minima palo 5,00 mt, minimo coefficiente di sicurezza riscontrabile pari a 1,35.

Località Sal di Mezzana – Area est

- palo infisso IPE 200: lunghezza minima palo 4,00 mt, minimo coefficiente di sicurezza riscontrabile pari a 1,71;
- palo infisso IPE 220: lunghezza minima palo 6,00 mt, minimo coefficiente di sicurezza riscontrabile pari a 1,37.

Si evidenzia che a favore di sicurezza, in fase di pre-dimensionamento, si è considerata agente la sola forza di attrito laterale mentre non si è considerato agente il contributo trasmesso dal carico di punta.

7.3 POSSIBILI ALTERNATIVE COSTRUTTIVE

In tale fase tutte le strutture di sostegno dei pannelli fotovoltaici e di conseguenza i pali di fondazione, sono state pre-dimensionate sulla base di un tipologico che in fase di esecuzione potrà essere migliorato al fine di ottenere il massimo rendimento dell'impianto fotovoltaico.

Tra le possibili alternative vi è quella legata alla tipologia di fondazione per le strutture di sostegno dei pannelli fotovoltaici. Data la natura del terreno [limi sabbiosi con argilla] una possibile soluzione può essere quella di utilizzare pali a vite [o screw piles], i quali permetterebbero profondità di infissione minori. L'utilizzo di tale tipologia costruttiva dovrà però essere valutata in fase esecutiva a seguito di prove in sito e solo dopo aver eseguito gli spianamenti.

Gli screw piles (o pali a vite) sono pali prefabbricati in acciaio dotati di una o più eliche, disponibili in varie geometrie e configurazioni, che vengono avvitati nel terreno per mezzo di semplici apparecchiature che possono essere facilmente montate sulle più comuni macchine operatrici. Ciò implica la quasi totale assenza di un cantiere per la realizzazione della fondazione, aspetto fondamentale quando ci si trova ad operare in ambiti rurali difficilmente raggiungibili, ed una estrema rapidità di esecuzione.

Tale tipologia di palo è adeguata per resistere sia a sforzi di compressione che di trazione, e perciò consente alla fondazione di sopportare anche momenti ribaltanti. Data inoltre la possibilità di rimuovere e riutilizzare tali elementi, gli screw piles si ritengono convenienti per le fondazioni di impianti leggeri quali quelli a terra, posti in opera in tempi brevi e dotati di una certa vita operativa.

Si riporta di seguito un esempio di fondazione con palo a vite, avente profondità di infissione pari a 2 m.

In fase esecutiva, a seguito di prove geotecniche, sarà possibile eventualmente definire una diversa tipologia di fondazione profonda, per mezzo di pali a semplice infissione.

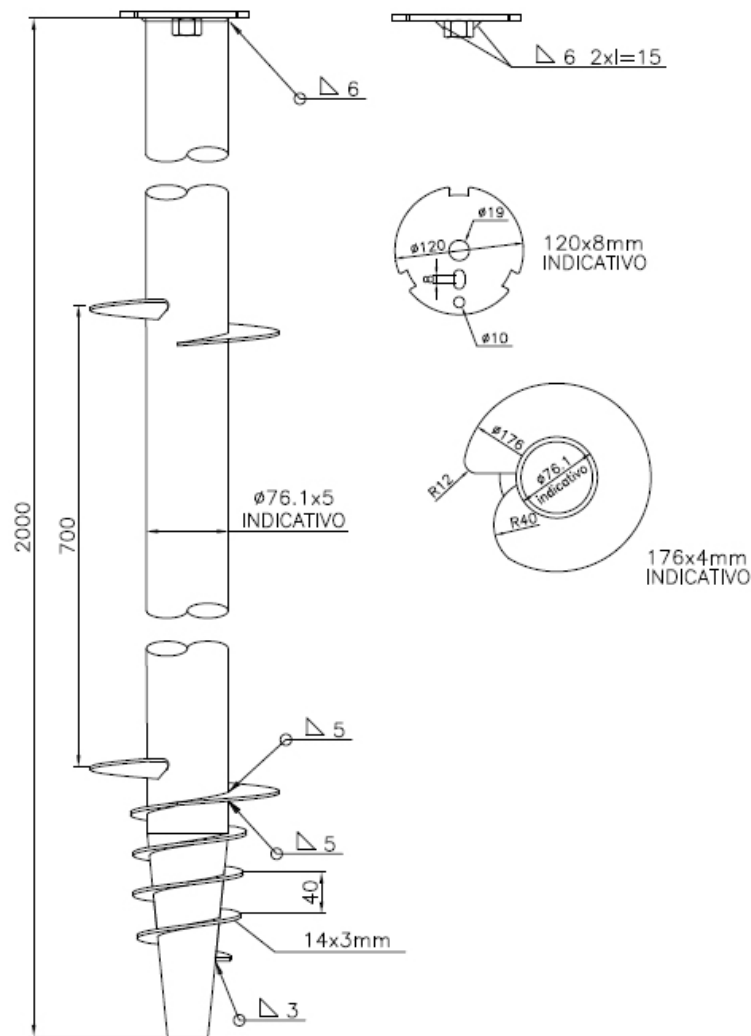


Figura 7.3: esempio di palo a vite

Mantenendo le caratteristiche del terreno alla base del dimensionamento dei pali infissi [cautelative rispetto alle condizioni in sito, in quanto variabili a seconda dell'area di intervento nel sito in progetto], considerano pali a vite aventi le seguenti caratteristiche geometriche:

- Località Sal di Collina:
 - lunghezza della spira h_s : 150 cm
 - lunghezza del fusto h_f : 150 cm
 - diametro esterno del fusto D_f : 8,89 cm [spessore fusto 5 mm]
 - diametro della spira D_s : 25 cm
 - lunghezza totale del palo: 300 cm
- Località Sal di Mezzana:
 - lunghezza della spira h_s : 200 cm
 - lunghezza del fusto h_f : 150 cm
 - diametro esterno del fusto D_f : 8,89 cm [spessore fusto 5 mm]
 - diametro della spira D_s : 25 cm
 - lunghezza totale del palo: 350 cm

si ottengono i seguenti valori di capacità portante del palo [non si considera ai fini della sicurezza l'effetto della portata laterale del fusto del palo]:

- Località Sal di Collina:

- portata laterale della spira $Q_2 = 1178 \text{ kg}$
- portata limite alla punta del palo $Q_1 = 441 \text{ kg}$
- portata complessiva del palo $Q = Q_1 + Q_2 = 441,00 \text{ kg} + 1178,00 \text{ kg} = 1619,00 \text{ kg}$

valore superiore al massimo carico applicato in testa al palo pari a 873 kg [coefficiente di sicurezza pari a 1,85].

- Località Sal di Mezzana:

- portata laterale della spira $Q_2 = 785 \text{ kg}$
- portata limite alla punta del palo $Q_1 = 220 \text{ kg}$
- portata complessiva del palo $Q = Q_1 + Q_2 = 220,00 \text{ kg} + 785,00 \text{ kg} = 1005,00 \text{ kg}$

valore superiore al massimo carico applicato in testa al palo pari a 873 kg [coefficiente di sicurezza pari a 1,15].

8. PREDISMENSIONAMENTO BASAMENTI DI FONDAZIONE DELLE CABINE

8.1 CARATTERISTICHE GEOMETRICHE

A servizio dell'impianto fotovoltaico sono previste più cabine di trasformazione e consegna dell'energia prodotta dai pannelli fotovoltaici.

Di seguito vengono riportati i predimensionamenti dei basamenti delle seguenti cabine, le quali risultano essere le più ingombranti ed allestite con le apparecchiature più pesanti:

- Power station: all'interno di tale cabina, realizzata con un prefabbricato appositamente attrezzato, saranno posizionati gli inverter e il trasformatore;
- Cabina generale Mt – ausiliari: all'interno di tale cabina saranno posizionate tutte le apparecchiature di gestione e controllo dell'impianto.

Come per le opere di fondazione delle strutture di sostegno dei pannelli fotovoltaici le verifiche dei basamenti saranno differenziate a seconda dell'area del sito, in modo da considerare i diversi profili stratigrafici individuati.

8.2 AZIONI AGENTI

Sui basamenti delle cabine di cui al punto 1 sono applicati i carichi descritti nell'ALLEGATO 5: Dati di definizione per dimensionamento basamenti". Le cabine risultano appoggiate su tali basamenti per cui si considera il solo carico trasmesso dalla neve come calcolato nel Cap. 5.2 al quale si rimanda per ogni chiarimento.

In sintesi i carichi applicati risultano essere i seguenti

- Power station:
 - Peso cabina [comprensiva di macchinari ed attrezzature]: 0,05 daN/cm²;
 - Peso della vasca dell'olio del trasformatore: 0,015 daN/cm²;
 - Peso del trasformatore: 1625 daN applicati su 4 punti;
 - Si è inoltre considerato un sovraccarico accidentale di 0,04 daN/cm².
- Cabina generale MT – ausiliari:
 - Peso cabina [comprensiva di macchinari ed attrezzature]: 0,04 daN/cm²;
 - Sovraccarico variabile: 0,04 daN/cm².

8.3 VERIFICHE DEI BASAMENTI

Negli allegati alla presente relazione sono riportati gli output del programma di calcolo:

- Allegato 5: Dati di definizione per dimensionamento basamenti
- Allegato 6: Verifiche basamenti cabine

Come evidenziato nell'ALLEGATO 6: Verifiche basamenti cabine" le verifiche strutturali delle piastre di fondazione risultano soddisfatte.

9. PREDISMENSIONAMENTO RECINZIONE ED ACCESSO CARRABILE

9.1 CARATTERISTICHE GEOMETRICHE

L'intera area interessata sarà delimitata da una recinzione costituita da una rete metallica fissata a montanti in acciaio infissi in plinti di calcestruzzo interrati di dimensioni 40 x 50 cm. Tali elementi saranno posizionati con interasse pari a 3,00 mt.

La recinzione sarà realizzata secondo gli schemi grafici di progetto [rif. tav. 2564_3940_A3_FG_AU_T12_Rev01]. Nella figura seguente si riporta, per maggiore chiarezza, lo schema longitudinale della recinzione:

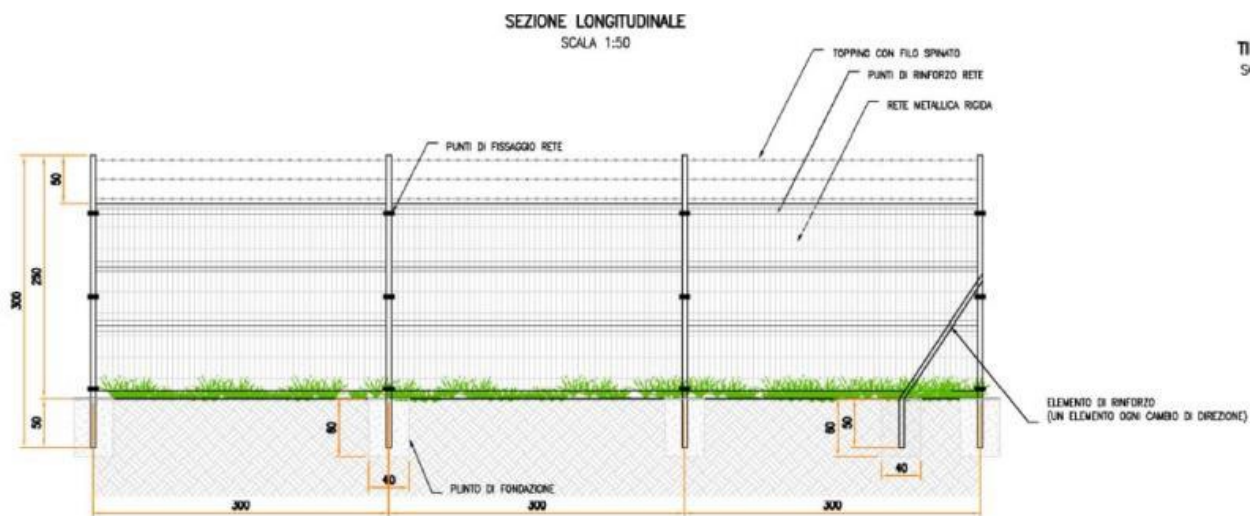


Figura 9.1 – Sezione longitudinale recinzione

I montanti verticali avranno un'altezza fuori terra di 2,50 mt e saranno infissi nei plinti di fondazione per una profondità di 50 cm.

La recinzione sarà realizzata con scatolari in acciaio zincato di sezione 50 x 50 mm spessore 2 mm.

Le caratteristiche geometriche ed inerziali di tali profili sono riportate nell'“ALLEGATO 7 – Sezioni e materiali recinzioni e accessi”.

L'accesso carraio e pedonale al campo fotovoltaico sarà costituito da un cancello metallico e da un cancelletto metallico incernierati a pilastri in acciaio fissati alla trave di fondazione secondo lo schema riportato nella figura seguente:

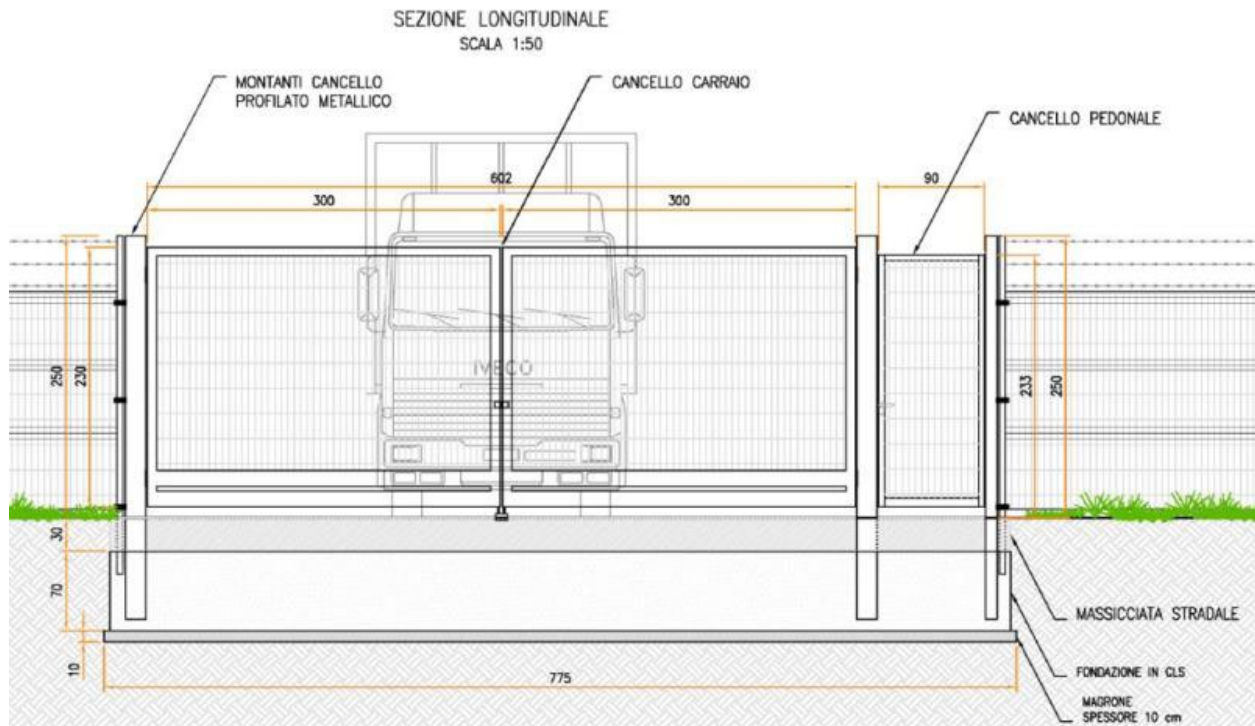


Figura 9.2 – Sezione longitudinale accesso carraio e pedonale

I pilastri del cancello metallico saranno realizzati con scatolari in acciaio zincato di sezione 150 x 150 mm spessore 5 mm, il pilastro del cancelletto pedonale sarà realizzato con uno scatolare in acciaio zincato di sezione 100 x 100 mm spessore 5 mm.

Le caratteristiche geometriche ed inerziali di tali profili sono riportate nell'ALLEGATO 7 – Sezioni e materiali recinzioni e accessi”.

9.2 AZIONI AGENTI

Gli elementi portanti della recinzione saranno sollecitati dall'azione del vento. Si ricorda che la recinzione sarà costituita da una rete in acciaio per cui l'azione del vento si considera applicata solo in parte, che a favore di sicurezza si stima pari al 50 % del suo valore.

I pilastri di sostegno del cancello e del cancelletto saranno soggetti, oltre all'azione del vento secondo i parametri utilizzati per il dimensionamento degli elementi portanti della recinzione, dal peso del cancello e da una coppia applicata in corrispondenza delle cerniere, per tener conto della condizione più sfavorevole, ovvero quando il portone ed il cancelletto saranno completamente aperti.

I carichi applicati sono riportati nell'ALLEGATO 8 – Dati di definizione per dimensionamento recinzione ed accesso carraio/pedonale”, ove sono riportate tutte le combinazioni di carico utilizzate per la verifica degli elementi

9.3 VERIFICHE ELEMENTI PORTANTI

Nell'ALLEGATO 9 – Verifiche strutture recinzione e accesso carraio/pedonale” sono riportati i risultati delle verifiche degli elementi portanti della recinzione e dell'accesso carraio/pedonale. Come risulta dai risultati riportati tutti gli elementi, compresi quelli di fondazione, risultano verificati.

ALLEGATO 01 – DATI DI DEFINIZIONE PANNELLI FV

1. DATI DI DEFINIZIONE

1.1 PREFERENZE COMMESSA

1.1.1 Preferenze di analisi

Metodo di analisi	D.M. 17-01-18 (N.T.C.)
Tipo di costruzione	2 - Costruzioni con livelli di prestazioni ordinari
Vn	50
Classe d'uso	II
Vr	50
Tipo di analisi	Lineare dinamica
Località	Foggia, Ascoli Satriano, Stazione di Ascoli Satriano; Latitudine ED50 41,2448° (41° 14' 41"); Longitudine ED50 15,5325° (15° 31' 57"); Altitudine s.l.m. 207,03 m.
Categoria topografica	T1 - Superficie pianeggiante, pendii e rilievi isolati con inclinazione media $i \leq 15^\circ$
Ss orizzontale SLD	1.5
Tb orizzontale SLD	0.163 [s]
Tc orizzontale SLD	0.489 [s]
Td orizzontale SLD	1.837 [s]
Ss orizzontale SLV	1.4303
Tb orizzontale SLV	0.193 [s]
Tc orizzontale SLV	0.58 [s]
Td orizzontale SLV	2.323 [s]
St	1
PVr SLD (%)	63
Tr SLD	50
Ag/g SLD	0.0594
Fo SLD	2.568
Tc* SLD	0.32 [s]
PVr SLV (%)	10
Tr SLV	475
Ag/g SLV	0.1808
Fo SLV	2.486
Tc* SLV	0.412 [s]
Smorzamento viscoso (%)	5
Classe di duttilità	CD"B"
Rotazione del sisma	0 [deg]
Quota dello '0' sismico	0 [cm]
Regolarità in pianta	No
Regolarità in elevazione	No
Edificio acciaio	Si
Tipologia acciaio	d) Strutture a mensola o pendolo inverso $q_0=2.0$
Edificio esistente	No
Altezza costruzione	220 [cm]
C1	0.05
T1,x	0.09032 [s]
T1,y	0.09032 [s]
λ SLD,x	0.85

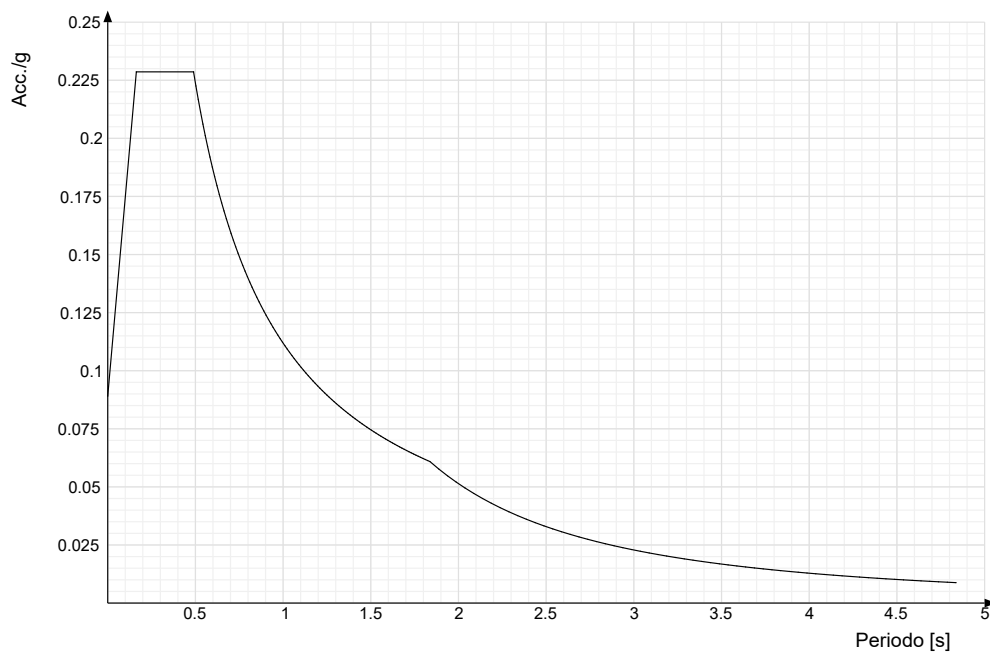
λ SLD,y	0.85
λ SLV,x	0.85
λ SLV,y	0.85
Numero modi	3
Metodo di Ritz	applicato
Limite spostamenti interpiano SLD	0.005
Fattore di comportamento per sisma SLD X	1.07
Fattore di comportamento per sisma SLD Y	1.07
Fattore di comportamento per sisma SLV X	1.6
Fattore di comportamento per sisma SLV Y	1.6
Coefficiente di sicurezza per carico limite (fondazioni superficiali)	2.3
Coefficiente di sicurezza per scorrimento (fondazioni superficiali)	1.1
Coefficiente di sicurezza portanza verticale pali infissi, punta	1.15
Coefficiente di sicurezza portanza verticale pali infissi, laterale compressione	1.15
Coefficiente di sicurezza portanza verticale pali infissi, laterale trazione	1.25
Coefficiente di sicurezza portanza verticale pali trivellati, punta	1.35
Coefficiente di sicurezza portanza verticale pali trivellati, laterale compressione	1.15
Coefficiente di sicurezza portanza verticale pali trivellati, laterale trazione	1.25
Coefficiente di sicurezza portanza verticale micropali, punta	1.35
Coefficiente di sicurezza portanza verticale micropali, laterale compressione	1.15
Coefficiente di sicurezza portanza verticale micropali, laterale trazione	1.25
Coefficiente di sicurezza portanza trasversale pali	1.3
Fattore di correlazione resistenza caratteristica dei pali in base alle verticali indagate	1.7
Coefficiente di sicurezza per ribaltamento (plinti superficiali)	1.15
Combinazioni analisi statica non lineare.	Componenti orizzontali separate secondo Circolare 7 21-01-19 §C7.3.5
Calcola I.R. per elementi nuovi	No

1.1.2 Spettri D.M. 17-01-18

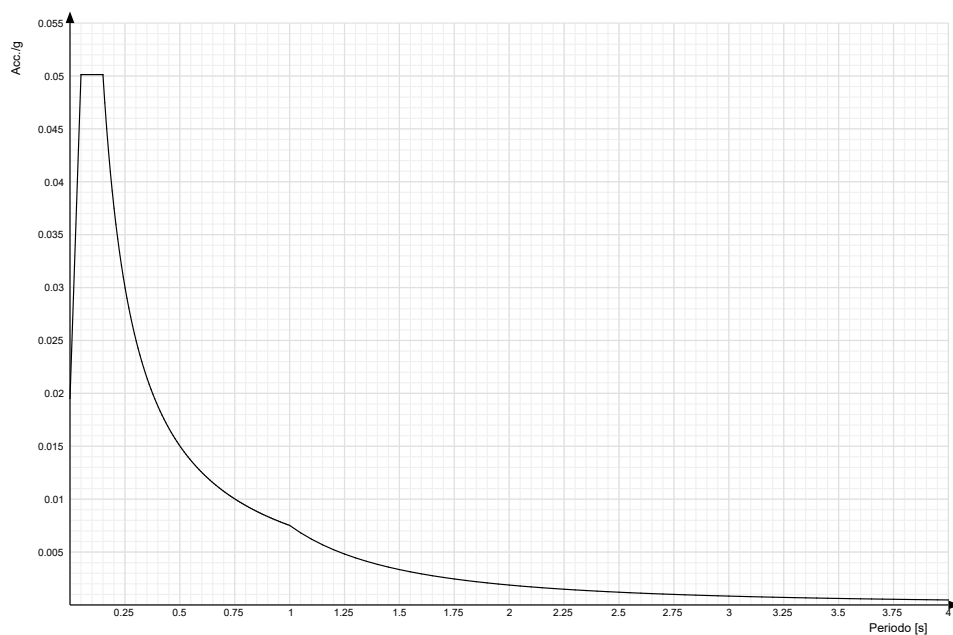
Acc./g: Accelerazione spettrale normalizzata ottenuta dividendo l'accelerazione spettrale per l'accelerazione di gravità.

Periodo: Periodo di vibrazione.

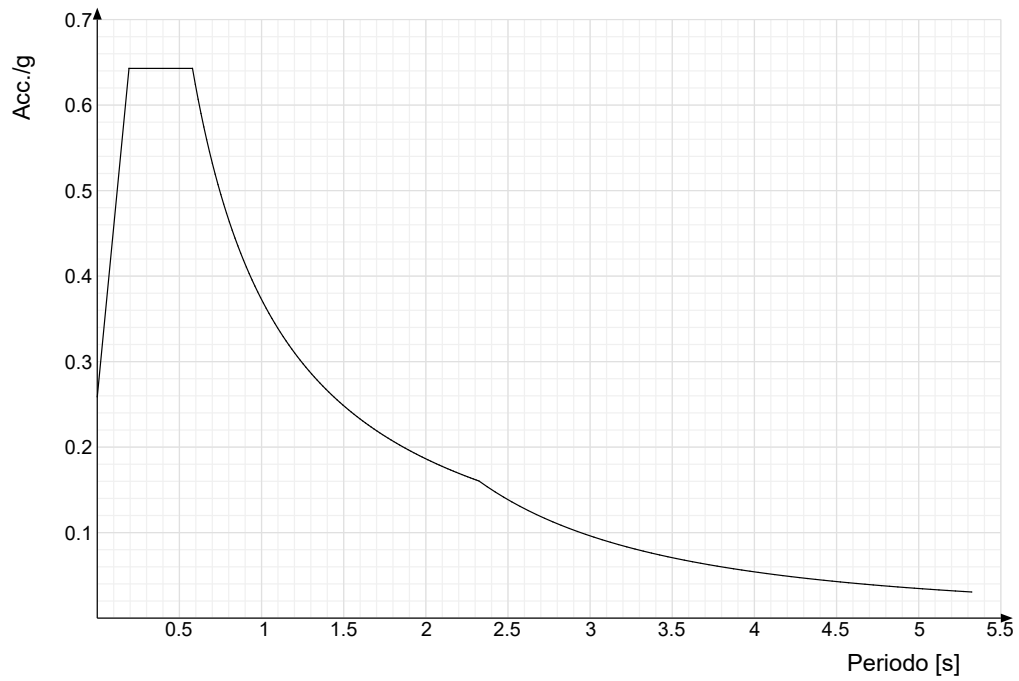
Spettro di risposta elastico in accelerazione delle componenti orizzontali SLD § 3.2.3.2.1 [3.2.2]



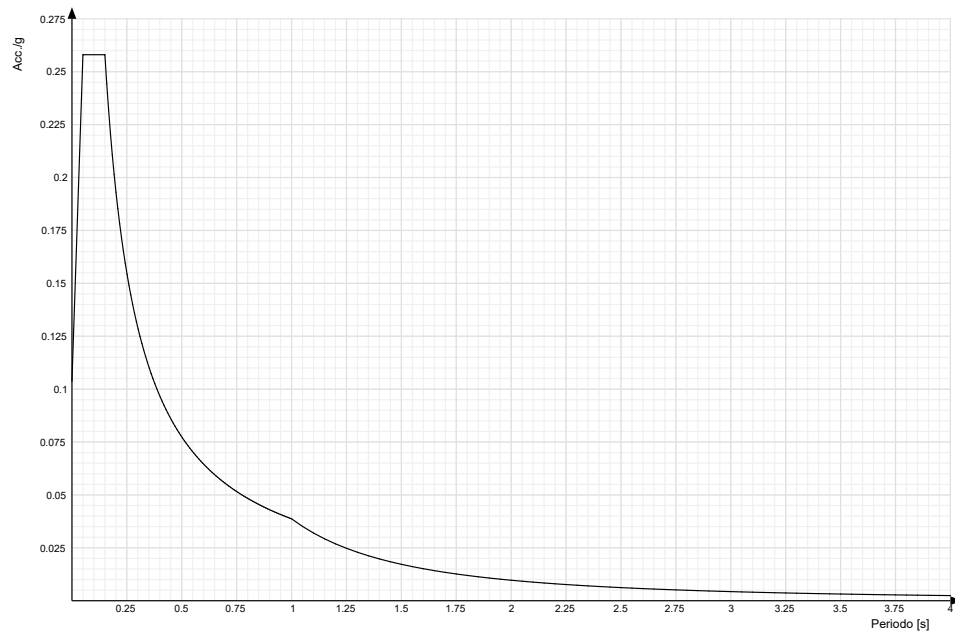
Spettro di risposta elastico in accelerazione delle componenti orizzontali SLV § 3.2.3.2.1 [3.2.2]



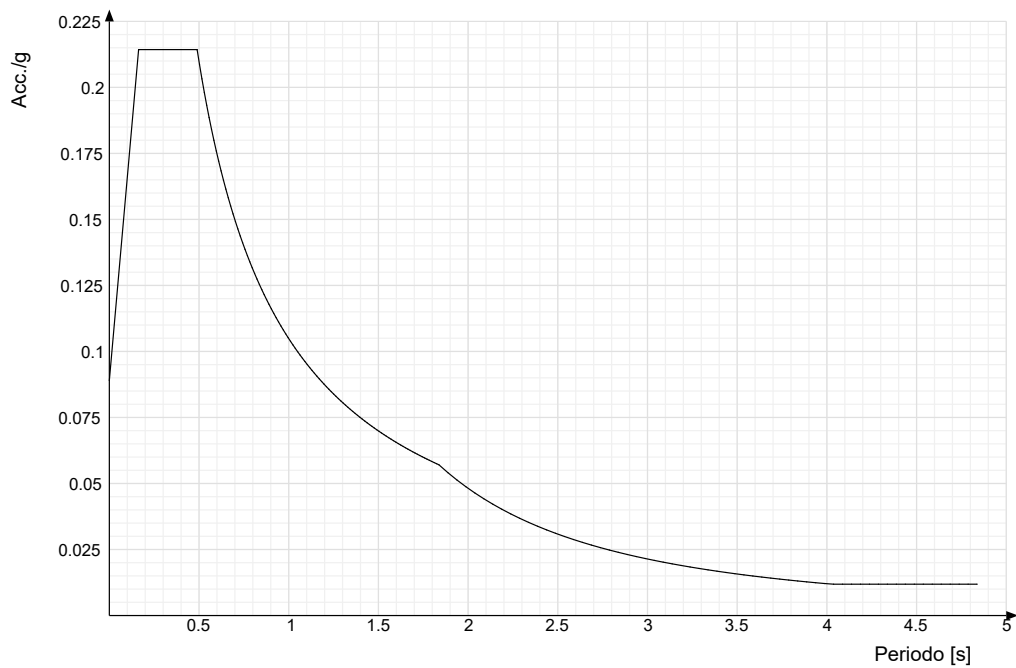
Spettro di risposta elastico in accelerazione delle componenti orizzontali SLV § 3.2.3.2.1 [3.2.2]



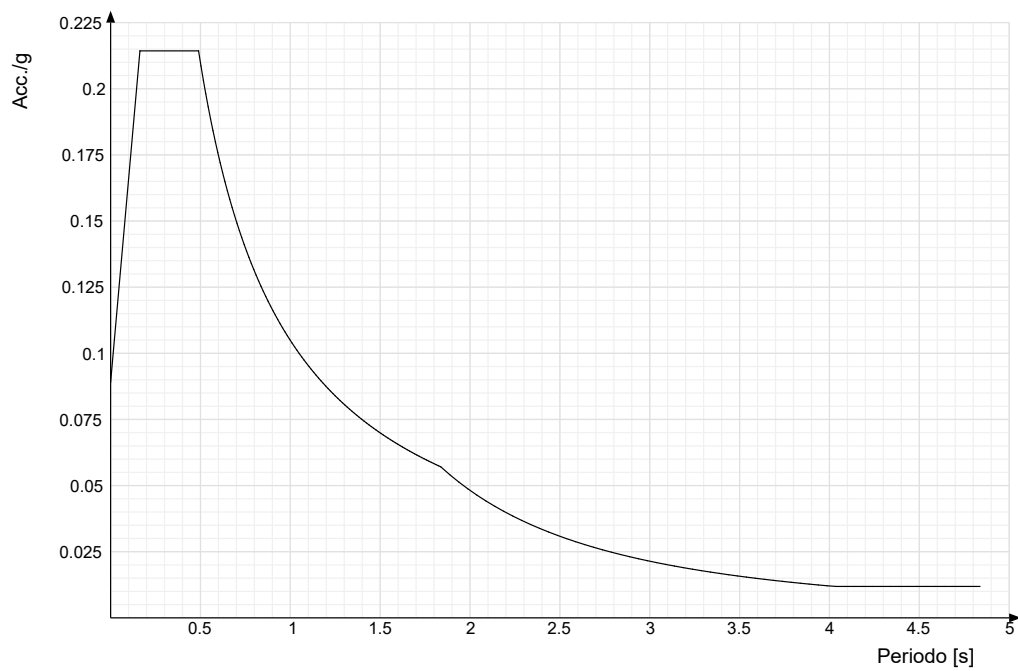
Spettro di risposta elastico in accelerazione della componente verticale SLV § 3.2.3.2.2 [3.2.8]



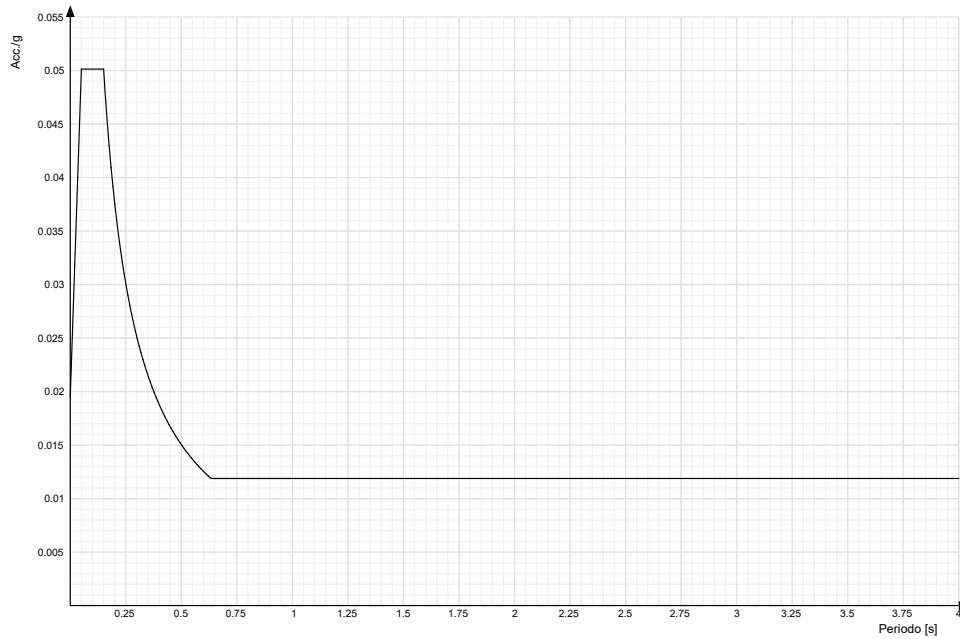
Spettro di risposta di progetto in accelerazione della componente X SLD § 3.2.3.5



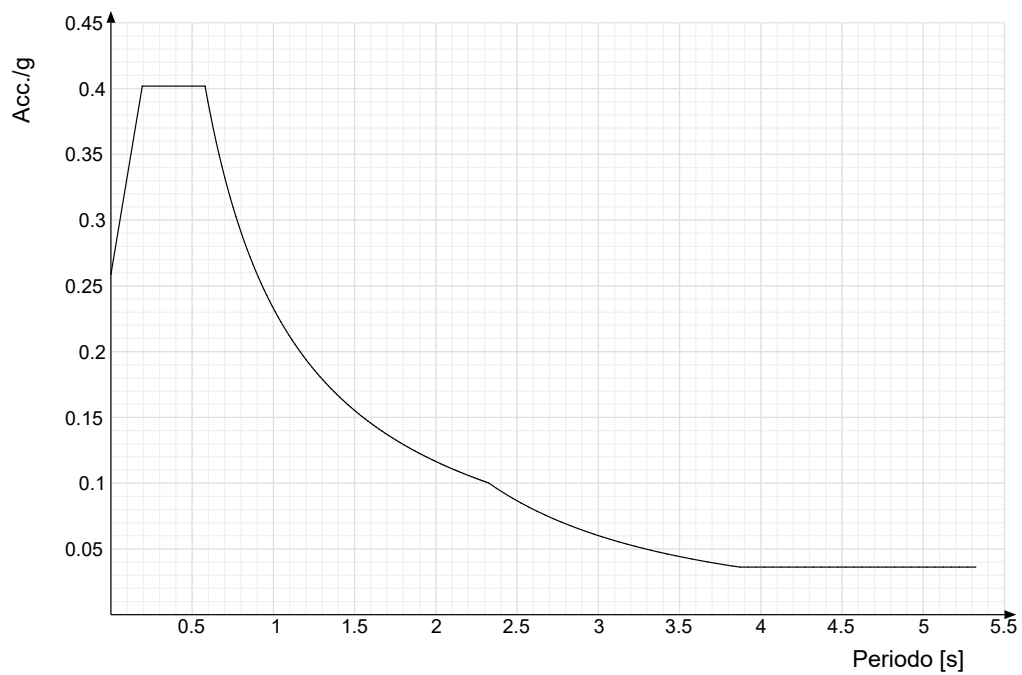
Spettro di risposta di progetto in accelerazione della componente Y SLD § 3.2.3.5



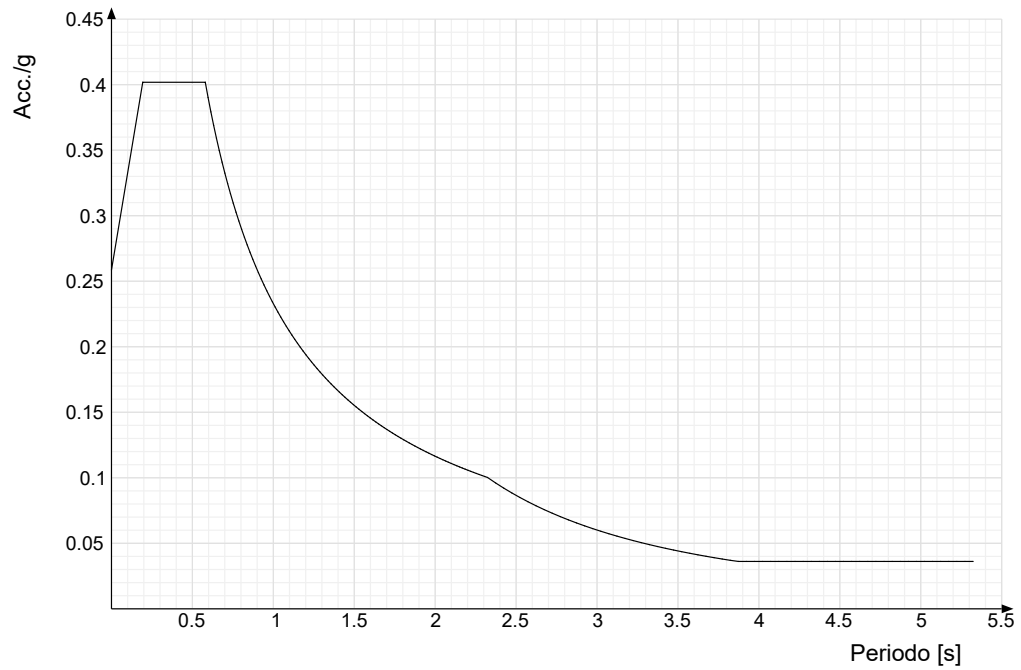
Spettro di risposta di progetto in accelerazione della componente verticale SLD § 3.2.3.5



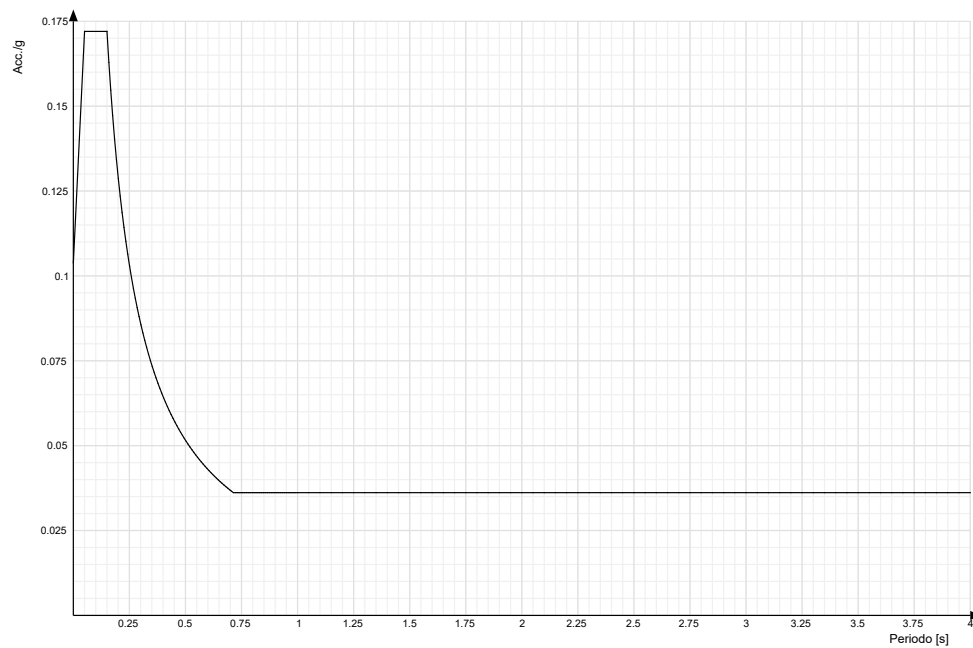
Spettro di risposta di progetto in accelerazione della componente X SLV § 3.2.3.5



Spettro di risposta di progetto in accelerazione della componente Y SLV § 3.2.3.5

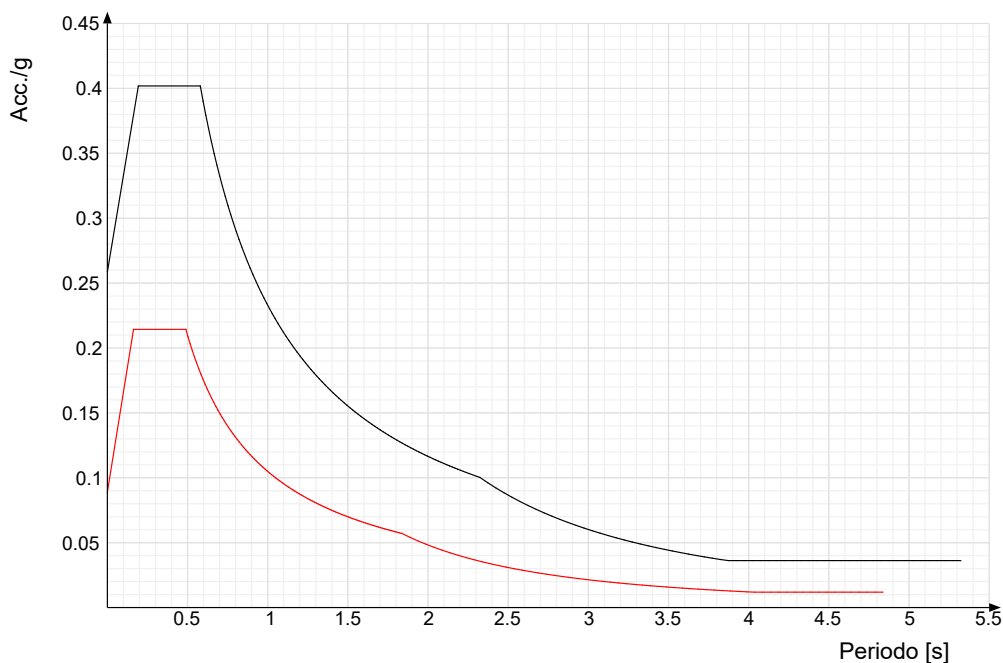


Spettro di risposta di progetto in accelerazione della componente verticale SLV § 3.2.3.5

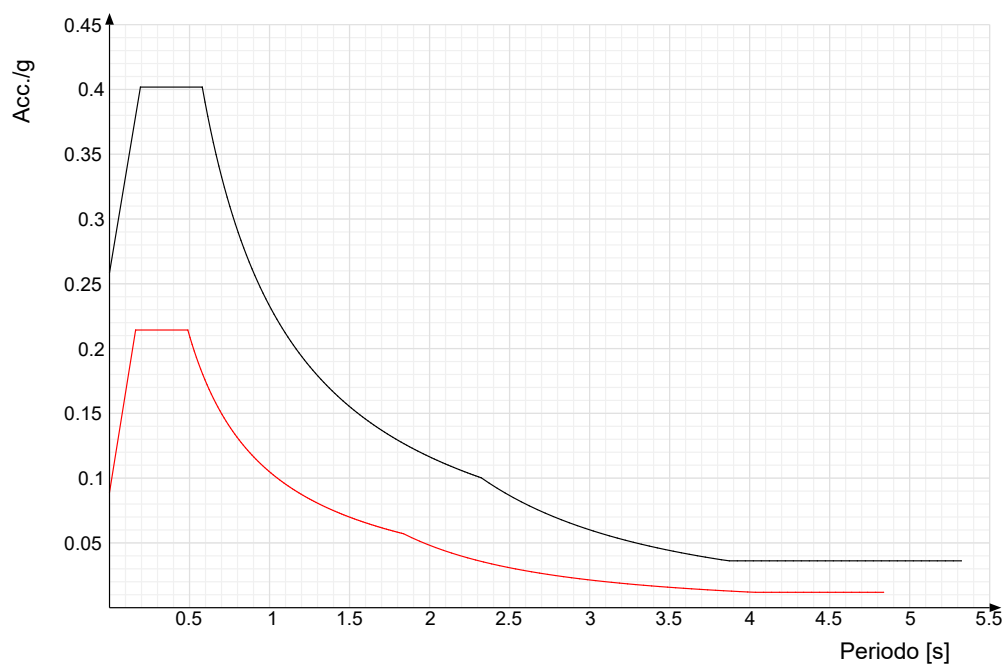


Confronti spettri SLV-SLD

Vengono confrontati lo spettro Spettro di risposta di progetto in accelerazione della componente X SLD § 3.2.3.5 (di colore rosso) e Spettro di risposta di progetto in accelerazione della componente X SLV § 3.2.3.5 (di colore nero).



Vengono confrontati lo spettro Spettro di risposta di progetto in accelerazione della componente Y SLD § 3.2.3.5 (di colore rosso) e Spettro di risposta di progetto in accelerazione della componente Y SLV § 3.2.3.5 (di colore nero).



1.1.3 Preferenze di verifica

1.1.3.1 Normativa di verifica in uso

Norma di verifica	D.M. 17-01-18 (N.T.C.)
Acciaio	Preferenze di verifica acciaio D.M. 17-01-18 (N.T.C.)

1.1.3.2 Normativa di verifica acciaio

ym0	1.05
ym1	1.05
ym2	1.25
Coefficiente riduttivo per effetto vettoriale	0.7
Calcolo coefficienti C1, C2, C3 per M _{cr}	automatico
Coefficienti α , β per flessione deviata	unitari
Verifica semplificata conservativa	si
L/e0 iniziale per profili accoppiati compressi	500
Metodo semplificato formula (4.2.82)	si
Escludi 6.2.6.7 e 6.2.6.8 in 7.5.4.3 e 7.5.4.5	si
Applica Nota 1 del prospetto 6.2	no
Riduzione f _y per tubi tondi di classe 4	no
Effettua la verifica secondo 6.2.8 con irrigidimenti superiori (piastra di base)	no
Limite spostamento relativo interpiano e monopiano colonne	0.00333
Limite spostamento relativo complessivo multipiano colonne	0.002
Considera taglio resistente estremità sagomati	no
Fattori parziali di sicurezza unitari per meccanismi duttili di strutture esistenti con fattore q	no

1.1.4 Preferenze FEM

Dimensione massima ottimale mesh pareti (default)	50 [cm]
Dimensione massima ottimale mesh piastre (default)	50 [cm]
Tipo di mesh dei gusci (default)	Quadrilateri o triangoli
Tipo di mesh imposta ai gusci	Specifico dell'elemento
Metodo P-Delta	non utilizzato
Analisi buckling	non utilizzata
Tolleranza di parallelismo	4.99 [deg]
Tolleranza di unicità punti	10 [cm]
Tolleranza generazione nodi di aste	1 [cm]
Tolleranza di parallelismo in suddivisione aste	4.99 [deg]
Tolleranza generazione nodi di gusci	4 [cm]
Tolleranza eccentricità carichi concentrati	100 [cm]
Considera deformabilità a taglio negli elementi guscio	No
Segno risultati analisi spettrale	Analisi statica
Memoria utilizzabile dal solutore	8000000
Metodo di risoluzione della matrice	AspenTech MA57
Scrivi commenti nel file di input	No
Scrivi file di output in formato testo	No
Solidi colle e corpi ruvidi (default)	Solidi reali

Moltiplicatore rigidezza molla torsionale applicata ad aste di fondazione	1
Modello trave su suolo alla Winkler nel caso di modellazione lineare	Equilibrio elastico

1.1.5 Moltiplicatori inerziali

Tipologia: tipo di entità a cui si riferiscono i moltiplicatori inerziali.

J2: moltiplicatore inerziale di J2. Il valore è adimensionale.

J3: moltiplicatore inerziale di J3. Il valore è adimensionale.

Jt: moltiplicatore inerziale di Jt. Il valore è adimensionale.

A: moltiplicatore dell'area della sezione. Il valore è adimensionale.

A2: moltiplicatore dell'area a taglio in direzione 2. Il valore è adimensionale.

A3: moltiplicatore dell'area a taglio in direzione 3. Il valore è adimensionale.

Conci rigidi: fattore di riduzione dei tronchi rigidi. Il valore è adimensionale.

Tipologia	J2	J3	Jt	A	A2	A3	Conci rigidi
Palo	1	1	0.01	1	1	1	0
Trave in acciaio	1	1	1	1	1	1	1
Colonna in acciaio	1	1	1	1	1	1	1
Trave di reticolare in acciaio	1	1	1	1	1	1	1

1.1.6 Preferenze di analisi non lineare FEM

Metodo iterativo	Secante
Tolleranza iterazione	0.0001
Numero massimo iterazioni	50

1.1.7 Preferenze di analisi carichi superficiali

Detrazione peso proprio solai nelle zone di sovrapposizione	non applicata
Metodo di ripartizione	a zone d'influenza
Percentuale carico calcolato a trave continua	0
Esegui smoothing diagrammi di carico	applicata
Tolleranza smoothing altezza trapezi	0.001 [daN/cm]
Tolleranza smoothing altezza media trapezi	0.001 [daN/cm]

1.1.8 Preferenze del suolo

Fondazioni non modellate e struttura bloccata alla base	si
Fondazioni bloccate orizzontalmente	no
Considera peso sismico delle fondazioni	no
Fondazioni superficiali e profonde su suolo elastoplastico	si
Coefficiente di sottofondo verticale per fondazioni superficiali (default)	3 [daN/cm ³]
Rapporto di coefficiente sottofondo orizzontale/verticale	0.5
Pressione verticale limite sul terreno per abbassamento (default)	10 [daN/cm ²]
Pressione verticale limite sul terreno per innalzamento (default)	0.001 [daN/cm ²]
Metodo di calcolo della K verticale	Vesic
Metodo di calcolo della portanza e della pressione limite	Vesic
Terreno laterale di riporto da piano posa fondazioni (default)	Sabbia ghiaiosa con ciottoli in matrice limosa
Dimensione massima della discretizzazione del palo (default)	200 [cm]
Moltiplicatore coesione per pressione orizzontale limite nei pali	1
Moltiplicatore spinta passiva per pressione orizzontale pali	1

K punta palo (default)	2 [daN/cm ³]
Pressione limite punta palo (default)	5 [daN/cm ²]
Pressione per verifica schiacciamento fondazioni superficiali	6 [daN/cm ²]
Calcola cedimenti fondazioni superficiali	no
Spessore massimo strato	100 [cm]
Profondità massima	3000 [cm]
Cedimento assoluto ammissibile	5 [cm]
Cedimento differenziale ammissibile	5 [cm]
Cedimento relativo ammissibile	5 [cm]
Rapporto di inflessione F/L ammissibile	0.003333
Rotazione rigida ammissibile	0.191 [deg]
Rotazione assoluta ammissibile	0.191 [deg]
Distorsione positiva ammissibile	0.191 [deg]
Distorsione negativa ammissibile	0.095 [deg]
Considera fondazioni compensate	no
Coefficiente di riduzione della a Max attesa	0.3
Condizione per la valutazione della spinta su pareti	Lungo termine
Considera l'azione sismica del terreno anche su pareti sotto lo zero sismico	si
Calcola cedimenti teorici pali	si
Considera accorciamento del palo	si
Distanza influenza cedimento palo	1000 [cm]
Distribuzione attrito laterale	Attrito laterale uniforme
Ripartizione del carico	Ripartizione come da modello FEM
Scelta terreno laterale	Media pesata degli strati coinvolti
Scelta terreno punta	Media pesata degli strati coinvolti
Cedimento assoluto ammissibile	5 [cm]
Cedimento medio ammissibile	5 [cm]
Cedimento differenziale ammissibile	5 [cm]
Rotazione rigida ammissibile	0.191 [deg]
Trascura la coesione efficace in verifica allo scorrimento	si
Considera inclinazione spinta del terreno contro pareti	no
Esegui verifica a liquefazione	no
Metodo di verifica liquefazione	Seed-Idriss (1982)
Coeff. di sicurezza minimo a liquefazione	1.3
Magnitudo scaling factor per liquefazione	1

2. AZIONI E CARICHI

2.1 CONDIZIONI ELEMENTARI DI CARICO

Descrizione: nome assegnato alla condizione elementare.

Nome breve: nome breve assegnato alla condizione elementare.

Durata: descrive la durata della condizione (necessario per strutture in legno).

ψ_0 : coefficiente moltiplicatore ψ_0 . Il valore è adimensionale.

ψ_1 : coefficiente moltiplicatore ψ_1 . Il valore è adimensionale.

ψ_2 : coefficiente moltiplicatore ψ_2 . Il valore è adimensionale.

Con segno: descrive se la condizione elementare ha la possibilità di variare di segno.

Descrizione	Nome breve	Durata	ψ_0	ψ_1	ψ_2	Con segno
Pesi strutturali	Pesi	Permanente				
Permanenti portati	Port.	Permanente				
Vento	Vento	Media	0.6	0.2	0	
Variabile A	Variabile A	Media	0.7	0.5	0.3	
Neve	Neve	Media	0.5	0.2	0	
ΔT	ΔT	Media	0.6	0.5	0	No
Sisma X SLV	X SLV					
Sisma Y SLV	Y SLV					
Sisma Z SLV	Z SLV					
Eccentricità Y per sisma X SLV	EY SLV					
Eccentricità X per sisma Y SLV	EX SLV					
Sisma X SLD	X SLD					
Sisma Y SLD	Y SLD					
Sisma Z SLD	Z SLD					
Eccentricità Y per sisma X SLD	EY SLD					
Eccentricità X per sisma Y SLD	EX SLD					
Terreno sisma X SLV	Tr x SLV					
Terreno sisma Y SLV	Tr y SLV					
Terreno sisma Z SLV	Tr z SLV					
Terreno sisma X SLD	Tr x SLD					
Terreno sisma Y SLD	Tr y SLD					
Terreno sisma Z SLD	Tr z SLD					
Rig. Ux	R Ux					
Rig. Uy	R Uy					
Rig. Rz	R Rz					

2.2 COMBINAZIONI DI CARICO

Nome: E' il nome esteso che contraddistingue la condizione elementare di carico.

Nome breve: E' il nome compatto della condizione elementare di carico, che viene utilizzato altrove nella relazione.

Pesi: Pesi strutturali

Port.: Permanenti portati

Vento: Vento

Variabile A: Variabile A

Neve: Neve

ΔT : ΔT

X SLD: Sisma X SLD

Y SLD: Sisma Y SLD

Z SLD: Sisma Z SLD

EY SLD: Eccentricità Y per sisma X SLD

EX SLD: Eccentricità X per sisma Y SLD

Tr x SLD: Terreno sisma X SLD

Tr y SLD: Terreno sisma Y SLD

Tr z SLD: Terreno sisma Z SLD

X SLV: Sisma X SLV

Y SLV: Sisma Y SLV

Z SLV: Sisma Z SLV

EY SLV: Eccentricità Y per sisma X SLV

EX SLV: Eccentricità X per sisma Y SLV

Tr x SLV: Terreno sisma X SLV

Tr y SLV: Terreno sisma Y SLV

Tr z SLV: Terreno sisma Z SLV

R Ux: Rig. Ux

R Uy: Rig. Uy

R Rz: Rig. Rz

Tutte le combinazioni di carico vengono raggruppate per famiglia di appartenenza. Le celle di una riga contengono i coefficienti moltiplicatori della i-esima combinazione, dove il valore della prima cella è da intendersi come moltiplicatore associato alla prima condizione elementare, la seconda cella si riferisce alla seconda condizione elementare e così via.

Famiglia SLU

Il nome compatto della famiglia è SLU.

Nome	Nome breve	Pesi	Port.	Vento	Variabile A	Neve	ΔT
1	SLU 1	1	0.8	0	0	0	0
2	SLU 2	1	0.8	0	0	1.5	0
3	SLU 3	1	0.8	0	1.05	1.5	0
4	SLU 4	1	0.8	0	1.5	0	0
5	SLU 5	1	0.8	0	1.5	0.75	0
6	SLU 6	1	0.8	0.9	0	1.5	0
7	SLU 7	1	0.8	0.9	1.05	1.5	0
8	SLU 8	1	0.8	0.9	1.5	0	0
9	SLU 9	1	0.8	0.9	1.5	0.75	0
10	SLU 10	1	0.8	1.5	0	0	0
11	SLU 11	1	0.8	1.5	0	0.75	0
12	SLU 12	1	0.8	1.5	1.05	0	0
13	SLU 13	1	0.8	1.5	1.05	0.75	0
14	SLU 14	1	1.5	0	0	0	0
15	SLU 15	1	1.5	0	0	1.5	0
16	SLU 16	1	1.5	0	1.05	1.5	0
17	SLU 17	1	1.5	0	1.5	0	0
18	SLU 18	1	1.5	0	1.5	0.75	0
19	SLU 19	1	1.5	0.9	0	1.5	0
20	SLU 20	1	1.5	0.9	1.05	1.5	0
21	SLU 21	1	1.5	0.9	1.5	0	0
22	SLU 22	1	1.5	0.9	1.5	0.75	0
23	SLU 23	1	1.5	1.5	0	0	0
24	SLU 24	1	1.5	1.5	0	0.75	0
25	SLU 25	1	1.5	1.5	1.05	0	0
26	SLU 26	1	1.5	1.5	1.05	0.75	0
27	SLU 27	1.3	0.8	0	0	0	0
28	SLU 28	1.3	0.8	0	0	1.5	0
29	SLU 29	1.3	0.8	0	1.05	1.5	0
30	SLU 30	1.3	0.8	0	1.5	0	0
31	SLU 31	1.3	0.8	0	1.5	0.75	0
32	SLU 32	1.3	0.8	0.9	0	1.5	0
33	SLU 33	1.3	0.8	0.9	1.05	1.5	0
34	SLU 34	1.3	0.8	0.9	1.5	0	0
35	SLU 35	1.3	0.8	0.9	1.5	0.75	0
36	SLU 36	1.3	0.8	1.5	0	0	0
37	SLU 37	1.3	0.8	1.5	0	0.75	0
38	SLU 38	1.3	0.8	1.5	1.05	0	0
39	SLU 39	1.3	0.8	1.5	1.05	0.75	0
40	SLU 40	1.3	1.5	0	0	0	0
41	SLU 41	1.3	1.5	0	0	1.5	0
42	SLU 42	1.3	1.5	0	1.05	1.5	0
43	SLU 43	1.3	1.5	0	1.5	0	0
44	SLU 44	1.3	1.5	0	1.5	0.75	0
45	SLU 45	1.3	1.5	0.9	0	1.5	0
46	SLU 46	1.3	1.5	0.9	1.05	1.5	0
47	SLU 47	1.3	1.5	0.9	1.5	0	0
48	SLU 48	1.3	1.5	0.9	1.5	0.75	0
49	SLU 49	1.3	1.5	1.5	0	0	0
50	SLU 50	1.3	1.5	1.5	0	0.75	0
51	SLU 51	1.3	1.5	1.5	1.05	0	0
52	SLU 52	1.3	1.5	1.5	1.05	0.75	0

Famiglia SLE rara

Il nome compatto della famiglia è SLE RA.

Nome	Nome breve	Pesi	Port.	Vento	Variabile A	Neve	ΔT
1	SLE RA 1	1	1	0	0	0	0
2	SLE RA 2	1	1	0	0	1	0
3	SLE RA 3	1	1	0	0,7	1	0
4	SLE RA 4	1	1	0	1	0	0
5	SLE RA 5	1	1	0	1	0,5	0
6	SLE RA 6	1	1	0,6	0	1	0
7	SLE RA 7	1	1	0,6	0,7	1	0
8	SLE RA 8	1	1	0,6	1	0	0
9	SLE RA 9	1	1	0,6	1	0,5	0
10	SLE RA 10	1	1	1	0	0	0
11	SLE RA 11	1	1	1	0	0,5	0
12	SLE RA 12	1	1	1	0,7	0	0
13	SLE RA 13	1	1	1	0,7	0,5	0

Famiglia SLE frequente

Il nome compatto della famiglia è SLE FR.

Nome	Nome breve	Pesi	Port.	Vento	Variabile A	Neve	ΔT
1	SLE FR 1	1	1	0	0	0	0
2	SLE FR 2	1	1	0	0	0,2	0
3	SLE FR 3	1	1	0	0,3	0,2	0
4	SLE FR 4	1	1	0	0,5	0	0
5	SLE FR 5	1	1	0,2	0	0	0
6	SLE FR 6	1	1	0,2	0,3	0	0

Famiglia SLE quasi permanente

Il nome compatto della famiglia è SLE QP.

Nome	Nome breve	Pesi	Port.	Vento	Variabile A	Neve	ΔT
1	SLE QP 1	1	1	0	0	0	0
2	SLE QP 2	1	1	0	0,3	0	0

Famiglia SLD

Il nome compatto della famiglia è SLD.

Poiché il numero di condizioni elementari previste per le combinazioni di questa famiglia è cospicuo, la tabella verrà spezzata in più parti.

Nome	Nome breve	Pesi	Port.	Vento	Variabile A	Neve	ΔT	X SLD
1	SLD 1	1	1	0	0,3	0	0	-1
2	SLD 2	1	1	0	0,3	0	0	-1
3	SLD 3	1	1	0	0,3	0	0	-1
4	SLD 4	1	1	0	0,3	0	0	-1
5	SLD 5	1	1	0	0,3	0	0	-0,3
6	SLD 6	1	1	0	0,3	0	0	-0,3
7	SLD 7	1	1	0	0,3	0	0	-0,3
8	SLD 8	1	1	0	0,3	0	0	-0,3
9	SLD 9	1	1	0	0,3	0	0	0,3
10	SLD 10	1	1	0	0,3	0	0	0,3
11	SLD 11	1	1	0	0,3	0	0	0,3
12	SLD 12	1	1	0	0,3	0	0	0,3
13	SLD 13	1	1	0	0,3	0	0	1
14	SLD 14	1	1	0	0,3	0	0	1
15	SLD 15	1	1	0	0,3	0	0	1
16	SLD 16	1	1	0	0,3	0	0	1

Nome	Nome breve	Y SLD	Z SLD	EY SLD	EX SLD	Tr x SLD	Tr y SLD	Tr z SLD
1	SLD 1	-0,3	0	-1	0,3	-1	-0,3	0
2	SLD 2	-0,3	0	1	-0,3	-1	-0,3	0
3	SLD 3	0,3	0	-1	0,3	-1	0,3	0
4	SLD 4	0,3	0	1	-0,3	-1	0,3	0
5	SLD 5	-1	0	-0,3	1	-0,3	-1	0
6	SLD 6	-1	0	0,3	-1	-0,3	-1	0
7	SLD 7	1	0	-0,3	1	-0,3	1	0
8	SLD 8	1	0	0,3	-1	-0,3	1	0
9	SLD 9	-1	0	-0,3	1	0,3	-1	0
10	SLD 10	-1	0	0,3	-1	0,3	-1	0
11	SLD 11	1	0	-0,3	1	0,3	1	0
12	SLD 12	1	0	0,3	-1	0,3	1	0
13	SLD 13	-0,3	0	-1	0,3	1	-0,3	0
14	SLD 14	-0,3	0	1	-0,3	1	-0,3	0
15	SLD 15	0,3	0	-1	0,3	1	0,3	0
16	SLD 16	0,3	0	1	-0,3	1	0,3	0

Famiglia SLV

Il nome compatto della famiglia è SLV.

Poiché il numero di condizioni elementari previste per le combinazioni di questa famiglia è cospicuo, la tabella verrà

spezzata in più parti.

Nome	Nome breve	Pesi	Port.	Vento	Variabile A	Neve	ΔT	X SLV
1	SLV 1	1	1	0	0.3	0	0	-1
2	SLV 2	1	1	0	0.3	0	0	-1
3	SLV 3	1	1	0	0.3	0	0	-1
4	SLV 4	1	1	0	0.3	0	0	-1
5	SLV 5	1	1	0	0.3	0	0	-0.3
6	SLV 6	1	1	0	0.3	0	0	-0.3
7	SLV 7	1	1	0	0.3	0	0	-0.3
8	SLV 8	1	1	0	0.3	0	0	-0.3
9	SLV 9	1	1	0	0.3	0	0	0.3
10	SLV 10	1	1	0	0.3	0	0	0.3
11	SLV 11	1	1	0	0.3	0	0	0.3
12	SLV 12	1	1	0	0.3	0	0	0.3
13	SLV 13	1	1	0	0.3	0	0	1
14	SLV 14	1	1	0	0.3	0	0	1
15	SLV 15	1	1	0	0.3	0	0	1
16	SLV 16	1	1	0	0.3	0	0	1

Nome	Nome breve	Y SLV	Z SLV	EY SLV	EX SLV	Tr x SLV	Tr y SLV	Tr z SLV
1	SLV 1	-0.3	0	-1	0.3	-1	-0.3	0
2	SLV 2	-0.3	0	1	-0.3	-1	-0.3	0
3	SLV 3	0.3	0	-1	0.3	-1	0.3	0
4	SLV 4	0.3	0	1	-0.3	-1	0.3	0
5	SLV 5	-1	0	-0.3	1	-0.3	-1	0
6	SLV 6	-1	0	0.3	-1	-0.3	-1	0
7	SLV 7	1	0	-0.3	1	-0.3	1	0
8	SLV 8	1	0	0.3	-1	-0.3	1	0
9	SLV 9	-1	0	-0.3	1	0.3	-1	0
10	SLV 10	-1	0	0.3	-1	0.3	-1	0
11	SLV 11	1	0	-0.3	1	0.3	1	0
12	SLV 12	1	0	0.3	-1	0.3	1	0
13	SLV 13	-0.3	0	-1	0.3	1	-0.3	0
14	SLV 14	-0.3	0	1	-0.3	1	-0.3	0
15	SLV 15	0.3	0	-1	0.3	1	0.3	0
16	SLV 16	0.3	0	1	-0.3	1	0.3	0

Famiglia Calcolo rigidezza torsionale/flessionale di piano

Il nome compatto della famiglia è CRTFP.

Nome	Nome breve	R Ux	R Uy	R Rz
Rig. Ux+	CRTFP Ux+	1	0	0
Rig. Ux-	CRTFP Ux-	-1	0	0
Rig. Uy+	CRTFP Uy+	0	1	0
Rig. Uy-	CRTFP Uy-	0	-1	0
Rig. Rz+	CRTFP Rz+	0	0	1
Rig. Rz-	CRTFP Rz-	0	0	-1

Famiglia P-Delta

Il nome compatto della famiglia è PTH.

Nome	Nome breve	Pesi	Port.	Vento	Variabile A	Neve	ΔT
Unica per metodo P-Delta	Pd	1	1	0.3	0.3	0.3	0.3

2.3 DEFINIZIONI DI CARICHI SUPERFICIALI

Nome: nome identificativo della definizione di carico.

Valori: valori associati alle condizioni di carico.

Condizione: condizione di carico a cui sono associati i valori.

Descrizione: nome assegnato alla condizione elementare.

Valore: modulo del carico superficiale applicato alla superficie. [daN/cm²]

Applicazione: modalità con cui il carico è applicato alla superficie.

Nome	Valori		
	Condizione	Valore	Applicazione
	Descrizione		
Peso impianto fotovoltaico	Pesi strutturali	0	Verticale
	Permanenti portati	0.0015	Verticale
	Vento	0	Verticale
	Variabile A	0	Verticale
	Neve	0.0073	Verticale

3. Quote

3.1 INCLINAZIONE PANNELLI 60°

3.1.1 Livelli

Descrizione breve: nome sintetico assegnato al livello.

Descrizione: nome assegnato al livello.

Quota: quota superiore espressa nel sistema di riferimento assoluto. [cm]

Spessore: spessore del livello. [cm]

Descrizione breve	Descrizione	Quota	Spessore
L1	Profondità infissione	-300	0
L2	Fondazione	0	0
L3	Quota 49.20	49.2	0
L4	Quota 78	78	0
L5	Testa montante	220	0
L6	Quota 370	370	0
L7	Quota 405	405	0

3.1.2 Falde

Descrizione breve: nome sintetico assegnato alla falda.

Descrizione: nome assegnato alla falda.

Sp.: spessore del piano della falda. [cm]

Primo punto: primo punto di definizione del piano dell'estradosso della falda.

X: coordinata X. [cm]

Y: coordinata Y. [cm]

Quota: quota. esprimibile come livello, falda, piano orizzontale alla Z specificata. [cm]

Secondo punto: secondo punto di definizione del piano dell'estradosso della falda.

X: coordinata X. [cm]

Y: coordinata Y. [cm]

Quota: quota. esprimibile come livello, falda, piano orizzontale alla Z specificata. [cm]

Terzo punto: terzo punto di definizione del piano dell'estradosso della falda.

X: coordinata X. [cm]

Y: coordinata Y. [cm]

Quota: quota. esprimibile come livello, falda, piano orizzontale alla Z specificata. [cm]

Descrizione breve	Descrizione	Sp.	Primo punto			Secondo punto			Terzo punto		
			X	Y	Quota	X	Y	Quota	X	Y	Quota
F1	Falda 1	0	3000	120	Quota 405	-100	120	Quota 405	-100	-120	Quota 49.20

3.1.3 Tronchi

Descrizione breve: nome sintetico assegnato al tronco.

Descrizione: nome assegnato al tronco.

Quota 1: riferimento della prima quota di definizione del tronco. esprimibile come livello, falda, piano orizzontale alla Z specificata. [cm]

Quota 2: riferimento della seconda quota di definizione del tronco. esprimibile come livello, falda, piano orizzontale alla Z specificata. [cm]

Descrizione breve	Descrizione	Quota 1	Quota 2
T2	Fondazione - Testa montante	Fondazione	Testa montante

3.2 PANNELLI ORIZZONTALI

3.2.1 Livelli

Descrizione breve: nome sintetico assegnato al livello.

Descrizione: nome assegnato al livello.

Quota: quota superiore espressa nel sistema di riferimento assoluto. [cm]

Spessore: spessore del livello. [cm]

Descrizione breve	Descrizione	Quota	Spessore
L1	Fondazione	0	0
L2	Testa montante	220	0

3.2.2 Falde

Descrizione breve: nome sintetico assegnato alla falda.

Descrizione: nome assegnato alla falda.

Sp.: spessore del piano della falda. [cm]

Primo punto: primo punto di definizione del piano dell'estradosso della falda.

X: coordinata X. [cm]

Y: coordinata Y. [cm]

Quota: quota. esprimibile come livello, falda, piano orizzontale alla Z specificata. [cm]

Secondo punto: secondo punto di definizione del piano dell'estradosso della falda.

X: coordinata X. [cm]

Y: coordinata Y. [cm]

Quota: quota. esprimibile come livello, falda, piano orizzontale alla Z specificata. [cm]

Terzo punto: terzo punto di definizione del piano dell'estradosso della falda.

X: coordinata X. [cm]

Y: coordinata Y. [cm]

Quota: quota. esprimibile come livello, falda, piano orizzontale alla Z specificata. [cm]

Descrizione breve	Descrizione	Sp.	Primo punto			Secondo punto			Terzo punto		
			X	Y	Quota	X	Y	Quota	X	Y	Quota
F1	Falda 1	0	3000	169	220	-100	169	220	-100	-169	220

3.2.3 Tronchi

Descrizione breve: nome sintetico assegnato al tronco.

Descrizione: nome assegnato al tronco.

Quota 1: riferimento della prima quota di definizione del tronco. esprimibile come livello, falda, piano orizzontale alla Z specificata. [cm]

Quota 2: riferimento della seconda quota di definizione del tronco. esprimibile come livello, falda, piano orizzontale alla Z specificata. [cm]

Descrizione breve	Descrizione	Quota 1	Quota 2
T1	Fondazione - Testa montante	Fondazione	Testa montante

ALLEGATO 02 – SEZIONI E MATERIALI

1. DATI DI DEFINIZIONE

1.1 ACCIAI

1.1.1 Proprietà acciai base

Descrizione: descrizione o nome assegnato all'elemento.

E: modulo di elasticità longitudinale del materiale per edifici o materiali nuovi. [daN/cm²]

G: modulo di elasticità tangenziale del materiale, viene impiegato nella modellazione di aste e di elementi guscio a comportamento ortotropo. [daN/cm²]

v: coefficiente di Poisson. Il valore è adimensionale.

γ: peso specifico del materiale. [daN/cm³]

α: coefficiente longitudinale di dilatazione termica. [°C⁻¹]

Descrizione	E	G	v	γ	α
Fe360	2060000	Default (792307.69)	0.3	0.00785	0.000012

1.1.2 Proprietà acciai CNR 10011

Descrizione: descrizione o nome assegnato all'elemento.

Tipo: descrizione per norma.

fy(s<=40 mm): resistenza di snervamento fy per spessori <=40 mm. [daN/cm²]

fy(s>40 mm): resistenza di snervamento fy per spessori >40 mm. [daN/cm²]

fu(s<=40 mm): resistenza di rottura per trazione fu per spessori <=40 mm. [daN/cm²]

fu(s>40 mm): resistenza di rottura per trazione fu per spessori >40 mm. [daN/cm²]

Prosp. Omega: prospetto per coefficienti Omega.

σ amm.(s<=40 mm): σ ammissibile per spessori <=40 mm. [daN/cm²]

σ amm.(s>40 mm): σ ammissibile per spessori >40 mm. [daN/cm²]

fd(s<=40 mm): resistenza di progetto fd per spessori <=40 mm. [daN/cm²]

fd(s>40 mm): resistenza di progetto fd per spessori >40 mm. [daN/cm²]

Descrizione	Tipo	fy(s<=40 mm)	fy(s>40 mm)	fu(s<=40 mm)	fu(s>40 mm)	Prosp. Omega	σ amm.(s<=40 mm)	σ amm.(s>40 mm)	fd(s<=40 mm)	fd(s>40 mm)
Fe360	FE360	2350	2150	3600	3400	II	1600	1400	2350	2100

1.1.3 Proprietà acciai CNR 10022

Descrizione: descrizione o nome assegnato all'elemento.

Tipo: descrizione per norma.

fy: resistenza di snervamento fy. [daN/cm²]

fu: resistenza di rottura fu. [daN/cm²]

fd: resistenza di progetto fd. [daN/cm²]

Prospetto omega sag.fr.(s<3mm): prospetto coeff. omega per spessori < 3 mm.

Prospetto omega sag.fr.(s>=3mm): prospetto coeff. omega per spessori >= 3 mm.

Prospetti σ crit. Eulero: prospetti σ critiche euleriane.

Descrizione	Tipo	fy	fu	fd	Prospetto omega sag.fr.(s<3mm)	Prospetto omega sag.fr.(s>=3mm)	Prospetti σ crit. Eulero
Fe360	FE360	2350	3600	2350	b	c	I

1.1.4 Proprietà acciai EC3

Descrizione: descrizione o nome assegnato all'elemento.

Tipo: descrizione per norma.

fy(s<=40 mm): resistenza di snervamento fy per spessori <=40 mm. [daN/cm²]

fy(s>40 mm): resistenza di snervamento fy per spessori >40 mm. [daN/cm²]

fu(s<=40 mm): resistenza di rottura per trazione fu per spessori <=40 mm. [daN/cm²]

fu(s>40 mm): resistenza di rottura per trazione fu per spessori >40 mm. [daN/cm²]

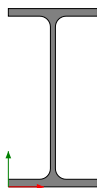
Descrizione	Tipo	fy(s<=40 mm)	fy(s>40 mm)	fu(s<=40 mm)	fu(s>40 mm)
Fe360	S235	2350	2150	3600	3400

2. SEZIONI

2.1 SEZIONI IN ACCIAIO

2.1.1 Profili singoli in acciaio

Profili IPE



Descrizione: descrizione o nome assegnato all'elemento.

Sup.: superficie bagnata per unità di lunghezza. [mm]

Area Tx FEM: area di taglio in direzione X per l'analisi FEM. [mm²]

Area Ty FEM: area di taglio in direzione Y per l'analisi FEM. [mm²]

Jx FEM: momento di inerzia attorno all'asse X per l'analisi FEM. [mm⁴]

Jy FEM: momento di inerzia attorno all'asse Y per l'analisi FEM. [mm⁴]

Jt FEM: momento d'inerzia torsionale corretto con il fattore di forma per l'analisi FEM. [mm⁴]

b: larghezza dell'ala. [mm]

h: altezza del profilo. [mm]

s: spessore dell'anima. [mm]

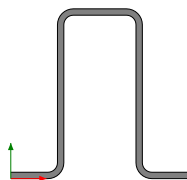
t: spessore delle ali. [mm]

r: raggio del raccordo ala-anima. [mm]

f: truschino. [mm]

Descrizione	Sup.	Area Tx FEM	Area Ty FEM	Jx FEM	Jy FEM	Jt FEM	b	h	s	t	r	f
IPE200	768.1	1417	1072	19453754	1423872	51654	100	200	5.6	8.5	12	58
IPE220	847.5	1687	1244	27745407	2049056	70905	110	220	5.9	9.2	12	62

Profili Sagomati Omega



Descrizione: descrizione o nome assegnato all'elemento.

Sup.: superficie bagnata per unità di lunghezza. [mm]

Area Tx FEM: area di taglio in direzione X per l'analisi FEM. [mm²]

Area Ty FEM: area di taglio in direzione Y per l'analisi FEM. [mm²]

Jx FEM: momento di inerzia attorno all'asse X per l'analisi FEM. [mm⁴]

Jy FEM: momento di inerzia attorno all'asse Y per l'analisi FEM. [mm⁴]

Jt FEM: momento d'inerzia torsionale corretto con il fattore di forma per l'analisi FEM. [mm⁴]

b: larghezza dell'ala superiore. [mm]

c: larghezza degli irrigidimenti. [mm]

h: altezza del profilo. [mm]

s: spessore. [mm]

r: raggio di curvatura anima-irrigidimenti. [mm]

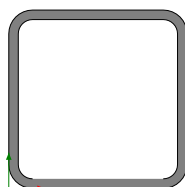
r1: raggio di curvatura ali-irrigidimenti. [mm]

Deroga lati: deroga misure lati EC3 §5.2.(1) Nota.

Formatura: tipo di formatura a freddo del sagomato.

Descrizione	Sup.	Area Tx FEM	Area Ty FEM	JxFEM	JyFEM	JtFEM	b	c	h	s	r	r1	Deroga lati	Formatura
OMEGA 80*40*25*3	461.3	270	480	551515	295839	2142	40	25	80	3	4.5	4.5	No	A rullo

Profili rettangolari



Descrizione: descrizione o nome assegnato all'elemento.

Sup.: superficie bagnata per unità di lunghezza. [mm]

Area Tx FEM: area di taglio in direzione X per l'analisi FEM. [mm²]

Area Ty FEM: area di taglio in direzione Y per l'analisi FEM. [mm²]

JxFEM: momento di inerzia attorno all'asse X per l'analisi FEM. [mm⁴]

JyFEM: momento di inerzia attorno all'asse Y per l'analisi FEM. [mm⁴]

JtFEM: momento d'inerzia torsionale corretto con il fattore di forma per l'analisi FEM. [mm⁴]

h: altezza del tubo. [mm]

b: larghezza del tubo. [mm]

s: spessore. [mm]

r: raggio di curvatura. [mm]

Categoria: categoria, basata sulla tecnologia costruttiva.

Formatura: tipo di formatura a freddo del sagomato.

Descrizione	Sup.	Area Tx FEM	Area Ty FEM	JxFEM	JyFEM	JtFEM	h	b	s	r	Categoria	Formatura
EN10219 150x150x8	1080.7	2400	2400	14118334	14118334	23640830	150	150	8	12	Sagomato a freddo conforme UNI 10219	A rullo

2.1.2 Caratteristiche inerziali sezioni in acciaio

Caratteristiche inerziali principali sezioni in acciaio

Descrizione: descrizione o nome assegnato all'elemento.

Xg: coordinata X del baricentro. [cm]

Yg: coordinata Y del baricentro. [cm]

Area: area inerziale nel sistema geometrico centrato nel baricentro. [cm²]

Jx: momento d'inerzia attorno all'asse orizzontale baricentrico di definizione della sezione. [cm⁴]

Jy: momento d'inerzia attorno all'asse verticale baricentrico di definizione della sezione. [cm⁴]

Jxy: momento centrifugo rispetto al sistema di riferimento baricentrico di definizione della sezione. [cm⁴]

Jm: momento d'inerzia attorno all'asse baricentrico principale M. [cm⁴]

Jn: momento d'inerzia attorno all'asse baricentrico principale N. [cm⁴]

α X su M: angolo tra gli assi del sistema di riferimento geometrico di definizione e quelli del sistema di riferimento principale. [deg]

Jt: momento d'inerzia torsionale corretto con il fattore di forma. [cm⁴]

Descrizione	Xg	Yg	Area	Jx	Jy	Jxy	Jm	Jn	$\alpha \times su$ M	Jt
EN10219 150x150x8	7.5	7.5	43.24	1411.83	1411.83	0	1411.83	1411.83	0	2364.08
IPE200	5	10	28.51	1945.38	142.39	0	1945.38	142.39	0	5.17
IPE220	5.5	11	33.4	2774.54	204.91	0	2774.54	204.91	0	7.09
OMEGA 80*40*25*3	4.2	3.83	6.82	55.15	29.58	0	55.15	29.58	0	0.21

Caratteristiche inerziali momenti sezioni in acciaio

Descrizione: descrizione o nome assegnato all'elemento.

ix: raggio di inerzia relativo all'asse x. [cm]

iy: raggio di inerzia relativo all'asse y. [cm]

im: raggio di inerzia relativo all'asse principale m. [cm]

in: raggio di inerzia relativo all'asse principale n. [cm]

Sx: momento statico relativo all'asse x. [cm³]

Sy: momento statico relativo all'asse y. [cm³]

Wx: modulo di resistenza elastico minimo relativo all'asse x. [cm³]

Wy: modulo di resistenza elastico minimo relativo all'asse y. [cm³]

Wm: modulo di resistenza elastico minimo relativo all'asse principale m. [cm³]

Wn: modulo di resistenza elastico minimo relativo all'asse principale n. [cm³]

Wplx: modulo di resistenza plastico relativo all'asse x. [cm³]

Wply: modulo di resistenza plastico relativo all'asse y. [cm³]

Descrizione	ix	iy	im	in	Sx	Sy	Wx	Wy	Wm	Wn	Wplx	Wply
EN10219 150x150x8	5.71	5.71	5.71	5.71	112.8	112.8	188.24	188.24	188.24	188.24	225.96	225.96
IPE200	8.26	2.23	8.26	2.23	110.45	22.32	194.54	28.48	194.54	28.48	220.89	44.63
IPE220	9.11	2.48	9.11	2.48	142.84	29.07	252.23	37.26	252.23	37.26	285.69	58.13
OMEGA 80*40*25*3	2.84	2.08	2.84	2.08	8.66	6.63	13.23	7.04	13.23	7.04	17.32	13.25

Caratteristiche inerziali taglio sezioni in acciaio

Descrizione: descrizione o nome assegnato all'elemento.

Atx: area a taglio lungo x. [cm²]

Aty: area a taglio lungo y. [cm²]

Descrizione	Atx	Aty
EN10219 150x150x8	24	24
IPE200	17	11.2
IPE220	20.24	12.98
OMEGA 80*40*25*3	2.7	4.8

3. Terreni

Descrizione: descrizione o nome assegnato all'elemento.

Coesione: coesione efficace del terreno. [daN/cm²]

Coesione non drenata: coesione non drenata (C_u) del terreno, per terreni eminentemente coesivi. [daN/cm²]

Attrito interno: angolo di attrito interno del terreno. [deg]

δ: angolo di attrito all'interfaccia terreno-cla. [deg]

Coeff. α di adesione: coeff. di adesione della coesione all'interfaccia terreno-cla, compreso tra 0 ed 1. Il valore è adimensionale.

Coeff. di spinta K₀: coefficiente di spinta a riposo del terreno. Il valore è adimensionale.

γ naturale: peso specifico naturale del terreno in sito, assegnato alle zone non immerse. [daN/cm³]

γ saturo: peso specifico saturo del terreno in sito, assegnato alle zone immerse. [daN/cm³]

E: modulo elastico longitudinale del terreno. [daN/cm²]

ν: coefficiente di Poisson del terreno. Il valore è adimensionale.

R_{qd}: rock quality degree. Per roccia assume valori nell'intervallo (0;1]. Il valore convenzionale 0 indica che si tratta di un terreno sciolto. Il valore è adimensionale.

Permeabilità K_h: permeabilità orizzontale. Permeabilità orizzontale del terreno. [cm/s]

Permeabilità K_v: permeabilità verticale. Permeabilità verticale del terreno. [cm/s]

Descrizione	Coesione	Coesione non drenata	Attrito interno	δ	Coeff. α di adesione	Coeff. di spinta K ₀	γ naturale	γ saturo	E	ν	R _{qd}	Permeabilità K _h	Permeabilità K _v
Coltre pedologica superficiale	1	0	10	5	1	0.83	0.00175	0.0018	1326	0.39	0	0.1	0.01
Limo sabbioso con ghiaia	0.7	1.4	28	25	1	0.53	0.00185	0.0019	6182	0.37	0	0.1	0.01
Ghiaia sabbiosa poco addensata	0	0	38	25	1	0.38	0.002	0.0022	32083	0.4	0	0.1	0.01

ALLEGATO 03 – VERIFICHE STRUTTURE DI SOSTEGNO PANNELLI FV

PARAMETRI VERIFICHE

Verifiche superelementi aste acciaio laminate

Le unità di misura elencate nel capitolo sono in [cm, daN, deg] ove non espressamente specificato.

Sezione: sezione in acciaio.

Rotazione: rotazione della sezione. [deg]

Area: area inerziale nel sistema geometrico centrato nel baricentro. [cm²]

Jx: momento d'inerzia attorno all'asse orizzontale baricentrico di definizione della sezione. [cm⁴]

Jy: momento d'inerzia attorno all'asse verticale baricentrico di definizione della sezione. [cm⁴]

ix: raggio di inerzia relativo all'asse x. [cm]

iy: raggio di inerzia relativo all'asse y. [cm]

Wx: modulo di resistenza elastico minimo relativo all'asse x. [cm³]

Wy: modulo di resistenza elastico minimo relativo all'asse y. [cm³]

Wplx: modulo di resistenza plastico relativo all'asse x. [cm³]

Wply: modulo di resistenza plastico relativo all'asse y. [cm³]

X: distanza dal nodo iniziale. [cm]

Comb.: combinazione di verifica.

Sfruttamento: rapporto di sfruttamento per la verifica in esame, inverso del coefficiente di sicurezza. Verificato se minore o uguale di 1.

Classe: classe della sezione.

NEd: sollecitazione assiale. [daN]

Nc,Rd: resistenza assiale a compressione ridotta per taglio. [daN]

Nt,Rd: resistenza assiale a trazione ridotta per taglio. [daN]

Riduzione da taglio: rapporto tra la resistenza assiale ridotta per taglio e la resistenza assiale.

px: coefficiente di riduzione della resistenza di snervamento per taglio in direzione x.

py: coefficiente di riduzione della resistenza di snervamento per taglio in direzione y.

Verifica: stato di verifica.

VEd: sollecitazione di taglio. [daN]

Vc,Rd: resistenza a taglio. [daN]

Av: area resistenza a taglio. [cm²]

Interazione taglio-torsione: indica se è possibile ridurre il taglio resistente per presenza di torsione.

Riduzione torsione: coefficiente riduttivo della resistenza a taglio per presenza di torsione.

NRd: resistenza assiale ridotta per taglio. [daN]

Rid. NRd da VEd: rapporto tra la resistenza assiale ridotta per taglio e la resistenza assiale.

My,Ed: sollecitazione flettente attorno y-y. [daN*cm]

My,Rd: resistenza a flessione attorno y-y ridotta. [daN*cm]

Rid. My,Rd da VEd: rapporto tra la resistenza flettente ridotta per taglio e la resistenza flettente attorno y-y.

Rid. My,Rd da NEd: rapporto tra la resistenza flettente ridotta per sforzo normale e taglio e la resistenza flettente ridotta per taglio attorno y-y.

Mx,Ed: sollecitazione flettente attorno x-x. [daN*cm]

Mx,Rd: resistenza a flessione attorno x-x ridotta. [daN*cm]

Rid. Mx,Rd da VEd: rapporto tra la resistenza flettente ridotta per taglio e la resistenza flettente attorno x-x.

Rid. Mx,Rd da NEd: rapporto tra la resistenza flettente ridotta per sforzo normale e taglio e la resistenza flettente ridotta per taglio attorno x-x.

α: esponente α per flessione deviata.

β: esponente β per flessione deviata.

Numero rit.: numero del ritegno.

Presente: indica se il ritegno è presente o meno.

Ascissa: ascissa del ritegno rispetto al nodo iniziale del superelemento o ascissa iniziale e finale della campata. [cm]

Campata: campata tra i ritegni.

Bx/m: coefficiente di lunghezza efficace per rotazione attorno a x/m.

Vincolo a entrambi estremi: indica se il tratto è vincolato a entrambi gli estremi.

Ax/m: snellezza attorno a x/m del tratto tra i due ritegni.

AVer: snellezza accettabile.

By/n: coefficiente di lunghezza efficace per rotazione attorno a y/n.

k,LT: coefficiente di lunghezza efficace per rotazione nel calcolo del momento critico ENV1993-1-1 F 1.2(3).

kw,LT: coefficiente di lunghezza efficace per ingobbamento nel calcolo del momento critico ENV1993-1-1 F 1.2(4).

Ay/n: snellezza attorno a y/n del tratto tra i due ritegni.

NRk: resistenza caratteristica assiale. [daN]

Mx,Ed max: momento sollecitante massimo attorno l'asse x-x tra due ritegni all'inflessione attorno x-x. [daN*cm]

Mx,Rk: resistenza caratteristica a flessione attorno l'asse x-x. [daN*cm]

My,Ed max: momento sollecitante massimo attorno l'asse y-y tra due ritegni all'inflessione attorno y-y. [daN*cm]

My,Rk: resistenza caratteristica a flessione attorno l'asse y-y. [daN*cm]

χ_x: coefficiente di riduzione per inflessione attorno l'asse x-x.

χ_y: coefficiente di riduzione per inflessione attorno l'asse y-y.

k_{xx}: valore di k_{xx}.

k_{xy}: valore di k_{xy}.

k_{yx}: valore di k_{yx}.

k_{yy}: valore di k_{yy}.

χ_{LT}: coefficiente di riduzione per instabilità flesso-torsionale.

η: valore di η.

hw: altezza dell'anima. [cm]

tw: spessore dell'anima. [cm]
hw/tw max: rapporto tra hw e tw massimo.
Sfruttamento torsione: rapporto tra TE_d e TR_d.
TE_d: sollecitazione torcente. [daN*cm]
TR_d: resistenza a torsione. [daN*cm]
Riduzione taglio resistente: indica se è possibile ridurre il taglio resistente per presenza di torsione.
Sfruttamento taglio-torsione: $\tau_{Ed,totale} / (0.5 * \tau_{Rd})$. Non verificato se maggiore di 1.
 $\tau_{Ed,totale}$: somma delle tensioni tangenziali totale derivanti da taglio e torsione. [daN/cm²]
 τ_{Rd} : tensione tangenziale resistente. [daN/cm²]
Estremo notevole: estremo notevole.
Asta FEM: indice dell'asta FEM.
Estremo asta: estremo dell'asta a cui è applicato.
Posizione: distanza dell'estremo notevole dal nodo iniziale dell'asta. Il valore è espresso in cm. [cm]
Ascissa: distanza dell'estremo dal nodo iniziale del superamento. [cm]
Tipo: asse momento attorno a cui si sviluppa una cerniera, eventualmente dissipativa.
NE_d,ED: sforzo normale agente sull'estremo dissipativo. [daN]
N_{pl},R_d,ED: capacità a sforzo normale dell'estremo dissipativo. [daN]
Quota nodo: quota del nodo trave/colonna in esame. [cm]
Cerniera plastica: zona di formazione di una cerniera plastica sulla colonna.
Interno: nodo interno alla colonna o di estremità (inferiore o superiore).
EN di colonne: estremi notevoli dei tronchi di colonna convergenti nel nodo.
Colonna senza EN: colonna convergente nel nodo senza estremo notevole.
EN di travi: estremi notevoli delle travi convergenti nel nodo.
Travi senza EN: travi convergenti nel nodo senza estremi notevoli.
M_x,R_d: resistenza a flessione attorno x-x ridotta per taglio. [daN*cm]
M_y,R_d: resistenza a flessione attorno y-y ridotta per taglio. [daN*cm]
Obblig.: indica se la verifica è obbligatoria da norma.
M_b,R_d,x: momento resistente di progetto per l'instabilità per sollecitazione flettente attorno l'asse x-x. [daN*cm]
 λ adim. LT: snellezza adimensionale per instabilità flesso-torsionale.
L,LT: distanza tra due ritegni torsionali. [cm]
M, critico: momento critico. [daN*cm]
M_x,Eff,Ed: momento interno efficace di verifica attorno x-x secondo ENV1993-1-1 §5.5.3. [daN*cm]
kLT: valore di kLT.
ky: valore di ky.
W_x: modulo resistente della sezione per inflessione attorno all'asse x-x. [cm³]
W_y: modulo resistente della sezione per inflessione attorno all'asse y-y. [cm³]
Ascissa freccia: ascissa della massima freccia. [cm]
Combinazione: combinazione di verifica in cui è ricavata la freccia.
Freccia: massima freccia. [cm]
Luce: luce di verifica. [cm]
L/f: rapporto luce su freccia.
L/f,min: minimo rapporto luce su freccia consentito.
Tipo: freccia calcolata considerando le sole condizioni variabili o tutte le condizioni (totale) all'interno della combinazione di verifica.
N_b,R_d: resistenza a instabilità della membratura compressa. [daN]
 χ ,min: coefficiente di riduzione minimo.
I₀ x/m: lunghezza libera di inflessione per inflessione attorno l'asse x-x / m-m. [cm]
I₀ y/n: lunghezza libera di inflessione per inflessione attorno l'asse y-y / n-n. [cm]
 λ adim. x/m: snellezza adimensionale per inflessione attorno l'asse x-x / m-m.
 λ adim. y/n: snellezza adimensionale per inflessione attorno l'asse y-y / n-n.
N_{,crit} x/m: carico critico per inflessione attorno all'asse x-x / m-m. [daN]
N_{,crit} y/n: carico critico per inflessione attorno all'asse y-y / n-n. [daN]

Verifiche superelementi aste acciaio sagomate

Le unità di misura elencate nel capitolo sono in [cm, daN, deg] ove non espressamente specificato.

Sezione: sezione in acciaio.

Rotazione: rotazione della sezione. [deg]

Area: area inerziale nel sistema geometrico centrato nel baricentro. [cm²]

Jx: momento d'inerzia attorno all'asse orizzontale baricentrico di definizione della sezione. [cm⁴]

Jy: momento d'inerzia attorno all'asse verticale baricentrico di definizione della sezione. [cm⁴]

ix: raggio di inerzia relativo all'asse x. [cm]

iy: raggio di inerzia relativo all'asse y. [cm]

Wx: modulo di resistenza elastico minimo relativo all'asse x. [cm³]

Wy: modulo di resistenza elastico minimo relativo all'asse y. [cm³]

Wplx: modulo di resistenza plastico relativo all'asse x. [cm³]

Wply: modulo di resistenza plastico relativo all'asse y. [cm³]

Area,g: area della sezione lorda ricavata a partire dalla sezione a spigoli vivi. [cm²]

Wx,y max,g: modulo elastico della sezione lorda attorno l'asse x nel punto avente massima coordinata y, ricavato a partire dalla sezione a spigoli vivi. [cm³]

Wx,y min,g: modulo elastico della sezione lorda attorno l'asse x nel punto avente minima coordinata y, ricavato a partire dalla sezione a spigoli vivi. [cm³]

Wy,x max,g: modulo elastico della sezione lorda attorno l'asse y nel punto avente massima coordinata x, ricavato a partire dalla sezione a spigoli vivi. [cm³]

Wy,x min,g: modulo elastico della sezione lorda attorno l'asse y nel punto avente minima coordinata x, ricavato a partire dalla sezione a spigoli vivi. [cm³]

xS: distanza del centro di taglio dal baricentro in direzione x. [cm]

yS: distanza del centro di taglio dal baricentro in direzione y. [cm]

Iw: costante di ingobbamento. [cm²]

yj: fattore di non simmetria della sezione in direzione y. [cm]

Area,eff: area della sezione efficace. [cm²]

Wx+,y max,eff: modulo elastico della sezione efficace per Mx positivo nel punto avente massima coordinata y. [cm³]

Wx+,y min,eff: modulo elastico della sezione efficace per Mx positivo nel punto avente minima coordinata y. [cm³]

Wx-,y max,eff: modulo elastico della sezione efficace per Mx negativo nel punto avente massima coordinata y. [cm³]

Wx-,y min,eff: modulo elastico della sezione efficace per Mx negativo nel punto avente minima coordinata y. [cm³]

Wy+,x max,eff: modulo elastico della sezione efficace per My positivo nel punto avente massima coordinata x. [cm³]

Wy+,x min,eff: modulo elastico della sezione efficace per My positivo nel punto avente minima coordinata x. [cm³]

Wy-,x max,eff: modulo elastico della sezione efficace per My negativo nel punto avente massima coordinata x. [cm³]

Wy-,x min,eff: modulo elastico della sezione efficace per My negativo nel punto avente minima coordinata x. [cm³]

eNx: eccentricità in direzione x del baricentro della sezione efficace rispetto a quello della sezione lorda. [cm]

eNy: eccentricità in direzione y del baricentro della sezione efficace rispetto a quello della sezione lorda. [cm]

Lato: tratto compreso tra i vertici indicati.

b/t: rapporto lunghezza-spessore.

c/t: rapporto tra la lunghezza del primo tratto dell'irrigidimento e lo spessore.

d/t: rapporto tra la lunghezza del secondo tratto dell'irrigidimento e lo spessore.

Max rapporto: massimo rapporto.

Verifica: stato di verifica.

Id: identificativo del vertice.

Φ: angolo. [deg]

Φ,min: angolo minimo ammissibile da normativa. [deg]

Φ,max: angolo massimo ammissibile da normativa. [deg]

X: distanza dal nodo iniziale. [cm]

Comb.: combinazione di verifica.

Sfruttamento: rapporto di sfruttamento per la verifica in esame, inverso del coefficiente di sicurezza. Verificato se minore o uguale di 1.

VEd: sollecitazione di taglio. [daN]

Vb,Rd: resistenza a taglio. [daN]

fyk: resistenza caratteristica di snervamento. [daN/cm²]

Mx,Ed: sollecitazione flettente attorno x-x. [daN*cm]

Mcx,Rd: resistenza a flessione attorno x-x. [daN*cm]

fymk: resistenza di snervamento media. [daN/cm²]

My,Ed: sollecitazione flettente attorno y-y. [daN*cm]

Mcy,Rd: resistenza a flessione attorno y-y. [daN*cm]

NEd: sollecitazione assiale. [daN]

Nc,Rd: resistenza a compressione. [daN]

Nt,Rd: resistenza a trazione. [daN]

Mcx,Rd,com: resistenza a flessione attorno a x-x per raggiungimento della massima tensione di compressione. [daN*cm]

Mcx,Rd,ten: resistenza a flessione attorno a x-x per raggiungimento della massima tensione di trazione. [daN*cm]

Mcy,Rd,com: resistenza a flessione attorno a y-y per raggiungimento della massima tensione di compressione. [daN*cm]

Mcy,Rd,ten: resistenza a flessione attorno a y-y per raggiungimento della massima tensione di trazione. [daN*cm]

Numero rit.: numero del ritegno.

Presente: indica se il ritegno è presente o meno.

Ascissa: ascissa del ritegno rispetto al nodo iniziale del superelemento o ascissa iniziale e finale della campata. [cm]

Campata: campata tra i ritegni.

βx/m: coefficiente di lunghezza efficace per rotazione attorno a x/m.

Vincolo a entrambi estremi: indica se il tratto è vincolato a entrambi gli estremi.

λx/m: snellezza attorno a x/m del tratto tra i due ritegni.

λ_{Ver} : snellezza accettabile.

$\beta_{y/n}$: coefficiente di lunghezza efficace per rotazione attorno a y/n.

k_{LT} : coefficiente di lunghezza efficace per rotazione nel calcolo del momento critico ENV1993-1-1 F 1.2(3).

$k_{w,LT}$: coefficiente di lunghezza efficace per ingobbamento nel calcolo del momento critico ENV1993-1-1 F 1.2(4).

$\lambda_{y/n}$: snellezza attorno a y/n del tratto tra i due ritegni.

Obblig.: indica se la verifica è obbligatoria da norma.

M_b, R_d, x : momento resistente di progetto per l'instabilità per sollecitazione flettente attorno l'asse x-x. [daN*cm]

χ_{LT} : coefficiente di riduzione per instabilità flessione-torsionale.

$\lambda_{adim. LT}$: snellezza adimensionale per instabilità flessione-torsionale.

L_{LT} : distanza tra due ritegni torsionali. [cm]

$M_{critico}$: momento critico. [daN*cm]

M_x, Eff, Ed : momento interno efficace di verifica attorno x-x secondo ENV1993-1-1 §5.5.3. [daN*cm]

k_{LT} : valore di k_{LT} .

k_y : valore di k_y .

$W_{eff, x, com}$: modulo resistente efficace della sezione per la massima tensione di compressione per inflessione attorno all'asse x-x. [cm³]

$W_{eff, y, com}$: modulo resistente efficace della sezione per la massima tensione di compressione per inflessione attorno all'asse y-y. [cm³]

A_{eff} : area efficace della sezione. [cm²]

χ_{min} : coefficiente di riduzione minimo.

χ_{lat} : coefficiente di riduzione laterale.

k_x : valore di k_x .

Ascissa freccia: ascissa della massima freccia. [cm]

Combinazione: combinazione di verifica in cui è ricavata la freccia.

Freccia: massima freccia. [cm]

Luce: luce di verifica. [cm]

L/f: rapporto luce su freccia.

L/f,min: minimo rapporto luce su freccia consentito.

Tipo: freccia calcolata considerando le sole condizioni variabili o tutte le condizioni (totale) all'interno della combinazione di verifica.

N_b, R_d : resistenza a instabilità della membratura compressa. [daN]

$l_0 x/m$: lunghezza libera di inflessione per inflessione attorno l'asse x-x / m-m. [cm]

$l_0 y/n$: lunghezza libera di inflessione per inflessione attorno l'asse y-y / n-n. [cm]

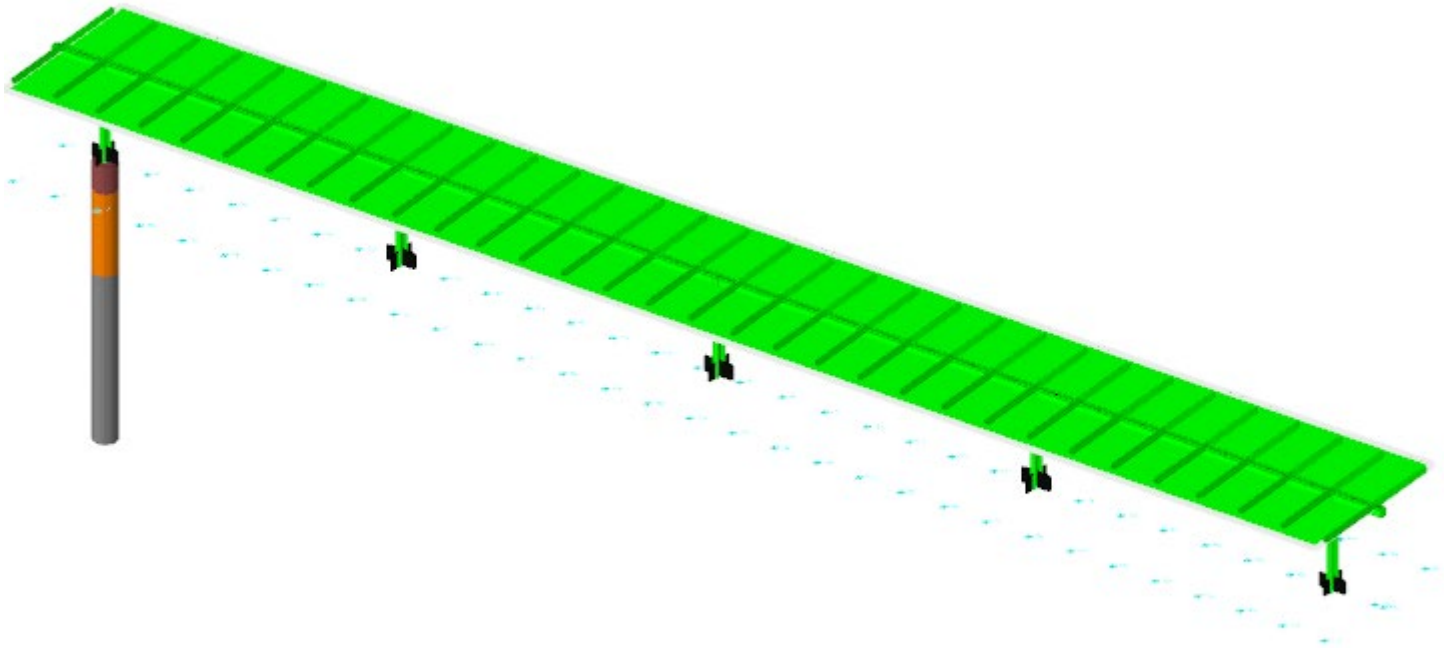
$\lambda_{adim. x/m}$: snellezza adimensionale per inflessione attorno l'asse x-x / m-m.

$\lambda_{adim. y/n}$: snellezza adimensionale per inflessione attorno l'asse y-y / n-n.

$N_{crit x/m}$: carico critico per inflessione attorno all'asse x-x / m-m. [daN]

$N_{crit y/n}$: carico critico per inflessione attorno all'asse y-y / n-n. [daN]

RAPPRESENTAZIONE GENERALE DELLE VERIFICHE VELA IN POSIZIONE ORIZZONTALE



Superelemento in acciaio composto da 8 aste: 6, 7, 8, 9, 10, 11, 12, 13

Caratteristiche del materiale

Acciaio: Fe360, fyk = 2350

Caratteristiche geometriche

Lunghezza: 750

Nodo iniziale: 48 Nodo finale: 56

Cerniera iniziale: No Cerniera finale: No

Sovreresistenza: 0% Sisma Z: No

Caratteristiche della sezione

Sezione	Rotazione	Area	Jx	Jy	ix	iy	Wx	Wy	Wplx	Wply
EN10219 150x150x8	0	43.24	1411.83	1411.83	5.71	5.71	188.24	188.24	225.96	225.96

Verifiche di resistenza

Verifiche a forza assiale §4.2.4.1.2.1 - §4.2.4.1.2.2 NTC18

X	Comb.	Sfruttamento	Classe	NEd	Nc,Rd	Nt,Rd	Riduzione da taglio	px	py	Verifica
0	SLU 42	0.003	1	-297.4	96780.8		1	0	0	Si

Verifiche a forza assiale SLD §4.2.4.1.2.1 - §4.2.4.1.2.2 NTC18

X	Comb.	Sfruttamento	Classe	NEd	Nc,Rd	Nt,Rd	Riduzione da taglio	px	py	Verifica
0	SLD 1	0.001	1	-120.6	96780.8		1	0	0	Si

Verifica a taglio X §4.2.4.1.2.4 NTC18

X	Comb.	Sfruttamento	VEd	Vc,Rd	Av	Interazione taglio-torsione	Riduzione torsione	Verifica
701.7	SLV 5	0.005	130.1	27938.2	21.62	Considerata	1	Si

Verifica a taglio X SLD §4.2.4.1.2.4 NTC18

X	Comb.	Sfruttamento	VEd	Vc,Rd	Av	Interazione taglio-torsione	Riduzione torsione	Verifica
700	SLD 6	0.002	66.5	27938.2	21.62	Considerata	1	Si

Verifica a taglio Y §4.2.4.1.2.4 NTC18

X	Comb.	Sfruttamento	VEd	Vc,Rd	Av	Interazione taglio-torsione	Riduzione torsione	Verifica
0	SLU 45	0.08	2236.1	27938.2	21.62	Considerata	1	Si

Verifica a taglio Y SLD §4.2.4.1.2.4 NTC18

X	Comb.	Sfruttamento	VEd	Vc,Rd	Av	Interazione taglio-torsione	Riduzione torsione	Verifica
0	SLD 4	0.016	437.4	27938.2	21.62	Considerata	1	Si

Verifica a flessione semplice X §§ 4.2.4.1.2.3 - 4.2.4.1.2.6 - 4.2.4.1.2.7 - 4.2.4.1.2.8 NTC18

X	Comb.	Sfruttamento	Classe	Mx,Ed	Mx,Rd	Rid. Mx,Rd da VEd	px	py	Verifica
586.7	SLV 1	0.021	1	-10447.1	505711.7	1	0	0	Si

Verifica a flessione semplice X SLD §§ 4.2.4.1.2.3 - 4.2.4.1.2.6 - 4.2.4.1.2.7 - 4.2.4.1.2.8 NTC18

X	Comb.	Sfruttamento	Classe	Mx,Ed	Mx,Rd	Rid. Mx,Rd da VEd	px	py	Verifica
186.7	SLD 14	0.016	1	-7859.1	505711.7	1	0	0	Si

Verifica a flessione semplice Y §§ 4.2.4.1.2.3 - 4.2.4.1.2.6 - 4.2.4.1.2.7 - 4.2.4.1.2.8 NTC18

X	Comb.	Sfruttamento	Classe	My,Ed	My,Rd	Rid. My,Rd da VEd	px	py	Verifica
633.3	SLV 3	0.002	1	-1072.2	505711.7	1	0	0	Si

Verifica a flessione semplice Y SLD §§ 4.2.4.1.2.3 - 4.2.4.1.2.6 - 4.2.4.1.2.7 - 4.2.4.1.2.8 NTC18

X	Comb.	Sfruttamento	Classe	My,Ed	My,Rd	Rid. My,Rd da VEd	px	py	Verifica
163.3	SLD 11	0.001	1	-444.4	505711.7	1	0	0	Si

Verifica a flessione deviata §§ 4.2.4.1.2.3 - 4.2.4.1.2.6 - 4.2.4.1.2.7 - 4.2.4.1.2.8 NTC18

X	Comb.	Sfruttamento	Classe	Mx,Ed	Mx,Rd	My,Ed	My,Rd	Rid. Mx,Rd da VEd	Rid. My,Rd da VEd	α	β	px	py	Verifica
0	SLV 12	0.139	1	51439	505712	-18936	505712	1	1			0	0	Si

Verifica a flessione deviata SLD §§ 4.2.4.1.2.3 - 4.2.4.1.2.6 - 4.2.4.1.2.7 - 4.2.4.1.2.8 NTC18

X	Comb.	Sfruttamento	Classe	Mx,Ed	Mx,Rd	My,Ed	My,Rd	Rid. Mx,Rd da VEd	Rid. My,Rd da VEd	α	β	px	py	Verifica
0	SLD 12	0.125	1	53512	505712	-9677	505712	1	1			0	0	Si

Verifica a presso/tenso flessione retta X §§ 4.2.4.1.2.3 - 4.2.4.1.2.6 - 4.2.4.1.2.7 - 4.2.4.1.2.8 NTC18

Verifiche eseguite utilizzando la formula conservativa (6.2) §6.2.1 EN 1993-1-1:2005.

X	Comb.	Sfruttamento	Classe	NEd	NRd	Rid. NRd da VEd	Mx,Ed	Mx,Rd	Rid. Mx,Rd da VEd	Rid. Mx,Rd da NEd	px	py	Verifica
0	SLU 41	0.586	1	-297.4	96780.8	1	294629	505712	1		0	0	Si

Verifica a presso/tenso flessione retta X SLD §§ 4.2.4.1.2.3 - 4.2.4.1.2.6 - 4.2.4.1.2.7 - 4.2.4.1.2.8 NTC18

Verifiche eseguite utilizzando la formula conservativa (6.2) §6.2.1 EN 1993-1-1:2005.

X	Comb.	Sfruttamento	Classe	NEd	NRd	Rid. NRd da VEd	Mx,Ed	Mx,Rd	Rid. Mx,Rd da VEd	Rid. Mx,Rd da NEd	px	py	Verifica
606.7	SLD 16	0.017	1	-104.4	96780.8	1	7833	505712	1		0	0	Si

Verifica a presso/tenso flessione retta Y §§ 4.2.4.1.2.3 - 4.2.4.1.2.6 - 4.2.4.1.2.7 - 4.2.4.1.2.8 NTC18

Verifiche eseguite utilizzando la formula conservativa (6.2) §6.2.1 EN 1993-1-1:2005.

X	Comb.	Sfruttamento	Classe	NEd	NRd	Rid. NRd da VEd	My,Ed	My,Rd	Rid. My,Rd da VEd	Rid. My,Rd da NEd	px	py	Verifica
196.7	SLV 3	0.003	1	-146.3	96780.8	1	615	505712	1		0	0	Si

Verifica a presso/tenso flessione deviata §§ 4.2.4.1.2.3 - 4.2.4.1.2.6 - 4.2.4.1.2.7 - 4.2.4.1.2.8 NTC18

Verifiche eseguite utilizzando la formula conservativa (6.2) §6.2.1 EN 1993-1-1:2005.

X	Comb.	Sfruttamento	Classe	NEd	NRd	Rid. NRd da VEd	Mx,Ed	Mx,Rd	My,Ed	My,Rd	Rid. Mx,Rd da VEd	Rid. Mx,Rd da NEd	Rid. My,Rd da VEd	Rid. My,Rd da NEd	α	β	px	py	Verifica
0	SLV 7	0.157	1	-93.6	96780.8	1	59873	505712	-18936	505712	1		1				0	0	Si

Verifica a presso/tenso flessione deviata SLD §§ 4.2.4.1.2.3 - 4.2.4.1.2.6 - 4.2.4.1.2.7 - 4.2.4.1.2.8 NTC18

Verifiche eseguite utilizzando la formula conservativa (6.2) §6.2.1 EN 1993-1-1:2005.

X	Comb.	Sfruttamento	Classe	NEd	NRd	Rid. NRd da VEd	Mx,Ed	Mx,Rd	My,Ed	My,Rd	Rid. Mx,Rd da VEd	Rid. Mx,Rd da NEd	Rid. My,Rd da VEd	Rid. My,Rd da NEd	α	β	px	py	Verifica
0	SLD 7	0.134	1	-74.5	96780.8	1	57801	505712	-9677	505712	1		1				0	0	Si

Verifiche ad instabilità
Caratteristiche iniziali

Membratura principale per controllo snellezza; Calcolo di snellezze ed N critici condotti secondo gli assi principali;

Curva X: c; Curva Y: c; Svergolamento: Carico all'estradosso; Curva svergolamento: d;

Dati per instabilità attorno a x

Numero rit.	Presente	Ascissa	Campata	$\beta x/m$	Vincolo a entrambi estremi	$\lambda x/m$	λVer
1	Si		0				
			1-2	1	Si	131.3	Si, (<200)
2	Si		750				

Dati per instabilità attorno a y

Numero rit.	Presente	Ascissa	Campata	$\beta y/n$	k,LT	kw,LT	Vincolo a entrambi estremi	$\lambda y/n$	λVer

Numero rit.	Presente	Ascissa	Campata	$\beta y/n$	k,LT	kw,LT	Vincolo a entrambi estremi	$\lambda y/n$	λVer
1	Si	0							
			1-2	1	1	1	Si	131.3	Si, (<200)
2	Si	750							

Verifica di stabilità per tenso-flessione deviata §5.5.3 - §5.5.4 ENV 1993-1-1:1994

X	Comb.	Sfruttamento	Classe	NEd	Mx,Ed	Mx,Eff,Ed	My,Ed	$\chi_{,LT}$	kLT	ky	M,critico	Wx	Wy	Verifica
0	SLV 16	0.094	1	74.4	41599.8	41373	-5680.7	0.983	1	1	10870149.3	226	226	Si

Verifica di stabilità per pressoflessione §C.4.2.4.1.3.3.2 NTC18

X	Comb.	Sfruttamento	Classe	NEd	NRk	Mx,Ed max	Mx,Rk	My,Ed max	My,Rk	$\chi_{,x}$	$\chi_{,y}$	kxx	kxy	kyy	$\chi_{,LT}$	Verifica	
400	SLU 46	0.599	1	-297.4	101619.8	294628.8	530997.3	0	530997.3	0.345	0.345	0.466	0.363	0.996	0.604	0.983	Si

Verifica di stabilità per pressoflessione SLD §C.4.2.4.1.3.3.2 NTC18

X	Comb.	Sfruttamento	Classe	NEd	NRk	Mx,Ed max	Mx,Rk	My,Ed max	My,Rk	$\chi_{,x}$	$\chi_{,y}$	kxx	kxy	kyy	$\chi_{,LT}$	Verifica	
46.7	SLD 4	0.132	1	-120.6	101619.8	62805.5	530997.3	2903.1	530997.3	0.345	0.345	0.428	0.27	0.998	0.451	0.983	Si

Verifica di stabilità a taglio anima X §4.2.4.1.2.4 [4.2.27] NTC18

η	hw	tw	hw/tw max	Verifica
1.2	13.4	0.8	60	Si

Verifica di stabilità a taglio anima X SLD §4.2.4.1.2.4 [4.2.27] NTC18

η	hw	tw	hw/tw max	Verifica
1.2	13.4	0.8	60	Si

Verifica di stabilità a taglio anima Y §4.2.4.1.2.4 [4.2.27] NTC18

η	hw	tw	hw/tw max	Verifica
1.2	13.4	0.8	60	Si

Verifica di stabilità a taglio anima Y SLD §4.2.4.1.2.4 [4.2.27] NTC18

η	hw	tw	hw/tw max	Verifica
1.2	13.4	0.8	60	Si

Verifiche a deformabilità

Mensola X: No; Mensola Y: No.

Frecce lungo X

Ascissa freccia	Combinazione	Freccia	Luce	L/f	L/f,min	Tipo	Verifica
316.7	SLE RA 1	0	750	10000	250	Totale	Si
316.7	SLE RA 2	0	750	10000	250	Totale	Si
316.7	SLE RA 3	0	750	10000	250	Totale	Si
316.7	SLE RA 4	0	750	10000	250	Totale	Si
316.7	SLE RA 5	0	750	10000	250	Totale	Si
256.7	SLE RA 2	0	750	10000	350	Variabile	Si
256.7	SLE RA 3	0	750	10000	350	Variabile	Si
0	SLE RA 4	0	750	10000	350	Variabile	Si
256.7	SLE RA 5	0	750	10000	350	Variabile	Si
256.7	SLE RA 6	0	750	10000	350	Variabile	Si

Frecce lungo Y

Ascissa freccia	Combinazione	Freccia	Luce	L/f	L/f,min	Tipo	Verifica
380	SLE RA 2	-1.074	750	698.3	250	Totale	Si
380	SLE RA 3	-1.074	750	698.3	250	Totale	Si
380	SLE RA 6	-1.074	750	698.3	250	Totale	Si
380	SLE RA 7	-1.074	750	698.3	250	Totale	Si
380	SLE RA 5	-0.688	750	1090.1	250	Totale	Si
380	SLE RA 2	-0.772	750	971.6	350	Variabile	Si
380	SLE RA 3	-0.772	750	971.6	350	Variabile	Si
380	SLE RA 6	-0.772	750	971.6	350	Variabile	Si
380	SLE RA 7	-0.772	750	971.6	350	Variabile	Si
380	SLE RA 5	-0.386	750	1943.1	350	Variabile	Si

Superelemento in acciaio composto da 8 aste: 14, 15, 16, 17, 18, 19, 20, 21

Caratteristiche del materiale

Acciaio: Fe360, fyk = 2350

Caratteristiche geometriche

Lunghezza: 750

Nodo iniziale: 56 Nodo finale: 64

Cerniera iniziale: No Cerniera finale: No

Sovreresistenza: 0% Sisma Z: No

Caratteristiche della sezione

Sezione	Rotazione	Area	Jx	Jy	ix	iy	Wx	Wy	Wplx	Wply
EN10219 150x150x8	0	43.24	1411.83	1411.83	5.71	5.71	188.24	188.24	225.96	225.96

Verifiche di resistenza

Verifiche a forza assiale §4.2.4.1.2.1 - §4.2.4.1.2.2 NTC18

X	Comb.	Sfruttamento	Classe	NEd	Nc,Rd	Nt,Rd	Riduzione da taglio	px	py	Verifica
0	SLU 42	0.003	1	-297.4	96780.8		1	0	0	Si

Verifiche a forza assiale SLD §4.2.4.1.2.1 - §4.2.4.1.2.2 NTC18

X	Comb.	Sfruttamento	Classe	NEd	Nc,Rd	Nt,Rd	Riduzione da taglio	px	py	Verifica
696.7	SLD 14	0.001	1	-120.6	96780.8		1	0	0	Si

Verifica a taglio X §4.2.4.1.2.4 NTC18

X	Comb.	Sfruttamento	VEd	Vc,Rd	Av	Interazione taglio-torsione	Riduzione torsione	Verifica
25	SLV 12	0.005	130.1	27938.2	21.62	Considerata	1	Si

Verifica a taglio X SLD §4.2.4.1.2.4 NTC18

X	Comb.	Sfruttamento	VEd	Vc,Rd	Av	Interazione taglio-torsione	Riduzione torsione	Verifica
0	SLD 11	0.002	66.5	27938.2	21.62	Considerata	1	Si

Verifica a taglio Y §4.2.4.1.2.4 NTC18

X	Comb.	Sfruttamento	VEd	Vc,Rd	Av	Interazione taglio-torsione	Riduzione torsione	Verifica
750	SLU 45	0.08	-2236.1	27938.2	21.62	Considerata	1	Si

Verifica a taglio Y SLD §4.2.4.1.2.4 NTC18

X	Comb.	Sfruttamento	VEd	Vc,Rd	Av	Interazione taglio-torsione	Riduzione torsione	Verifica
750	SLD 16	0.016	-437.4	27938.2	21.62	Considerata	1	Si

Verifica a flessione semplice X §§ 4.2.4.1.2.3 - 4.2.4.1.2.6 - 4.2.4.1.2.7 - 4.2.4.1.2.8 NTC18

X	Comb.	Sfruttamento	Classe	Mx,Ed	Mx,Rd	Rid. Mx,Rd da VEd	px	py	Verifica
163.3	SLV 16	0.021	1	-10447.1	505711.7	1	0	0	Si

Verifica a flessione semplice X SLD §§ 4.2.4.1.2.3 - 4.2.4.1.2.6 - 4.2.4.1.2.7 - 4.2.4.1.2.8 NTC18

X	Comb.	Sfruttamento	Classe	Mx,Ed	Mx,Rd	Rid. Mx,Rd da VEd	px	py	Verifica
563.3	SLD 1	0.016	1	-7859.1	505711.7	1	0	0	Si

Verifica a flessione semplice Y §§ 4.2.4.1.2.3 - 4.2.4.1.2.6 - 4.2.4.1.2.7 - 4.2.4.1.2.8 NTC18

X	Comb.	Sfruttamento	Classe	My,Ed	My,Rd	Rid. My,Rd da VEd	px	py	Verifica
116.7	SLV 13	0.002	1	1072.2	505711.7	1	0	0	Si

Verifica a flessione semplice Y SLD §§ 4.2.4.1.2.3 - 4.2.4.1.2.6 - 4.2.4.1.2.7 - 4.2.4.1.2.8 NTC18

X	Comb.	Sfruttamento	Classe	My,Ed	My,Rd	Rid. My,Rd da VEd	px	py	Verifica
586.7	SLD 5	0.001	1	444.4	505711.7	1	0	0	Si

Verifica a flessione deviata §§ 4.2.4.1.2.3 - 4.2.4.1.2.6 - 4.2.4.1.2.7 - 4.2.4.1.2.8 NTC18

X	Comb.	Sfruttamento	Classe	Mx,Ed	Mx,Rd	My,Ed	My,Rd	Rid. Mx,Rd da VEd	Rid. My,Rd da VEd	α	β	px	py	Verifica
750	SLV 7	0.139	1	51439	505712	-18936	505712	1	1			0	0	Si

Verifica a flessione deviata SLD §§ 4.2.4.1.2.3 - 4.2.4.1.2.6 - 4.2.4.1.2.7 - 4.2.4.1.2.8 NTC18

X	Comb.	Sfruttamento	Classe	Mx,Ed	Mx,Rd	My,Ed	My,Rd	Rid. Mx,Rd da VEd	Rid. My,Rd da VEd	α	β	px	py	Verifica
750	SLD 7	0.125	1	53512	505712	-9677	505712	1	1			0	0	Si

Verifica a presso/tenso flessione retta X §§ 4.2.4.1.2.3 - 4.2.4.1.2.6 - 4.2.4.1.2.7 - 4.2.4.1.2.8 NTC18

Verifiche eseguite utilizzando la formula conservativa (6.2) §6.2.1 EN 1993-1-1:2005.

X	Comb.	Sfruttamento	Classe	NEd	NRd	Rid. NRd da VEd	Mx,Ed	Mx,Rd	Rid. Mx,Rd da VEd	Rid. Mx,Rd da NEd	px	py	Verifica
750	SLU 41	0.586	1	-297.4	96780.8	1	294629	505712	1	1	0	0	Si

Verifica a presso/tenso flessione retta X SLD §§ 4.2.4.1.2.3 - 4.2.4.1.2.6 - 4.2.4.1.2.7 - 4.2.4.1.2.8 NTC18

Verifiche eseguite utilizzando la formula conservativa (6.2) §6.2.1 EN 1993-1-1:2005.

X	Comb.	Sfruttamento	Classe	NEd	NRd	Rid. NRd da VEd	Mx,Ed	Mx,Rd	Rid. Mx,Rd da VEd	Rid. Mx,Rd da NEd	px	py	Verifica
143.3	SLD 1	0.017	1	-104.4	96780.8	1	7833	505712	1	1	0	0	Si

Verifica a presso/tenso flessione retta Y §§ 4.2.4.1.2.3 - 4.2.4.1.2.6 - 4.2.4.1.2.7 - 4.2.4.1.2.8 NTC18

Verifiche eseguite utilizzando la formula conservativa (6.2) §6.2.1 EN 1993-1-1:2005.

X	Comb.	Sfruttamento	Classe	NEd	NRd	Rid. NRd da VEd	My,Ed	My,Rd	Rid. My,Rd da VEd	Rid. My,Rd da NEd	px	py	Verifica
553.3	SLV 13	0.003	1	-146.3	96780.8	1	-615	505712	1	1	0	0	Si

Verifica a presso/tenso flessione deviata §§ 4.2.4.1.2.3 - 4.2.4.1.2.6 - 4.2.4.1.2.7 - 4.2.4.1.2.8 NTC18

Verifiche eseguite utilizzando la formula conservativa (6.2) §6.2.1 EN 1993-1-1:2005.

X	Comb.	Sfruttamento	Classe	NEd	NRd	Rid. NRd da VEd	Mx,Ed	Mx,Rd	My,Ed	My,Rd	Rid. Mx,Rd da VEd	Rid. Mx,Rd da NEd	Rid. My,Rd da VEd	Rid. My,Rd da NEd	α	β	px	py	Verifica
750	SLV 11	0.157	1	-93.6	96780.8	1	59873	505712	-18936	505712	1		1				0	0	Si

Verifica a presso/tenso flessione deviata SLD §§ 4.2.4.1.2.3 - 4.2.4.1.2.6 - 4.2.4.1.2.7 - 4.2.4.1.2.8 NTC18

Verifiche eseguite utilizzando la formula conservativa (6.2) §6.2.1 EN 1993-1-1:2005.

X	Comb.	Sfruttamento	Classe	NEd	NRd	Rid. NRd da VEd	Mx,Ed	Mx,Rd	My,Ed	My,Rd	Rid. Mx,Rd da VEd	Rid. Mx,Rd da NEd	Rid. My,Rd da VEd	Rid. My,Rd da NEd	α	β	ρ_x	ρ_y	Verifica
750	SLD 11	0.134	1	-74.5	96780.8	1	57801	505712	-9677	505712	1		1				0	0	Si

Verifiche ad instabilità

Caratteristiche iniziali

Membratura principale per controllo snellezza; Calcolo di snellezze ed N critici condotti secondo gli assi principali;

Curva X: c; Curva Y: c; Svergolamento: Carico all'estradosso; Curva svergolamento: d;

Dati per instabilità attorno a x

Numero rit.	Presente	Ascissa	Campata	β_x/m	Vincolo a entrambi estremi	λ_x/m	λ_{Ver}
1	Si	0					
			1-2	1	Si	131.3	Si, (<200)
2	Si	750					

Dati per instabilità attorno a y

Numero rit.	Presente	Ascissa	Campata	β_y/n	k,LT	kw,LT	Vincolo a entrambi estremi	λ_y/n	λ_{Ver}
1	Si	0							
			1-2	1	1	1	Si	131.3	Si, (<200)
2	Si	750							

Verifica di stabilità per tenso-flessione deviata §5.5.3 - §5.5.4 ENV 1993-1-1:1994

X	Comb.	Sfruttamento	Classe	NEd	Mx,Ed	Mx,Eff,Ed	My,Ed	χ_{LT}	kLT	ky	M,critico	Wx	Wy	Verifica
750	SLV 1	0.094	1	74.4	41599.8	41373	5680.7	0.983	1	1	10870149.3	226	226	Si

Verifica di stabilità per pressoflessione §C.4.2.4.1.3.3.2 NTC18

X	Comb.	Sfruttamento	Classe	NEd	NRk	Mx,Ed max	Mx,Rk	My,Ed max	My,Rk	χ_x	χ_y	kxx	kxy	kyy	χ_{LT}	Verifica	
750	SLU 42	0.599	1	-297.4	101619.8	294628.8	530997.3	0	530997.3	0.345	0.345	0.466	0.363	0.996	0.604	0.983	Si

Verifica di stabilità per pressoflessione SLD §C.4.2.4.1.3.3.2 NTC18

X	Comb.	Sfruttamento	Classe	NEd	NRk	Mx,Ed max	Mx,Rk	My,Ed max	My,Rk	χ_x	χ_y	kxx	kxy	kyy	χ_{LT}	Verifica	
750	SLD 16	0.132	1	-120.6	101619.8	62805.5	530997.3	2903.1	530997.3	0.345	0.345	0.428	0.27	0.998	0.451	0.983	Si

Verifica di stabilità a taglio anima X §4.2.4.1.2.4 [4.2.27] NTC18

η	hw	tw	hw/tw max	Verifica
1.2	13.4	0.8	60	Si

Verifica di stabilità a taglio anima X SLD §4.2.4.1.2.4 [4.2.27] NTC18

η	hw	tw	hw/tw max	Verifica
1.2	13.4	0.8	60	Si

Verifica di stabilità a taglio anima Y §4.2.4.1.2.4 [4.2.27] NTC18

η	hw	tw	hw/tw max	Verifica
1.2	13.4	0.8	60	Si

Verifica di stabilità a taglio anima Y SLD §4.2.4.1.2.4 [4.2.27] NTC18

η	hw	tw	hw/tw max	Verifica
1.2	13.4	0.8	60	Si

Verifiche a deformabilità

Mensola X: No; Mensola Y: No.

Frecce lungo X

Ascissa freccia	Combinazione	Freccia	Luce	L/f	L/f,min	Tipo	Verifica
-----------------	--------------	---------	------	-----	---------	------	----------

Ascissa freccia	Combinazione	Freccia	Luce	L/f	L/f,min	Tipo	Verifica
433.3	SLE RA 1	0	750	10000	250	Totale	Si
433.3	SLE RA 2	0	750	10000	250	Totale	Si
433.3	SLE RA 3	0	750	10000	250	Totale	Si
433.3	SLE RA 4	0	750	10000	250	Totale	Si
433.3	SLE RA 5	0	750	10000	250	Totale	Si
353.3	SLE RA 2	0	750	10000	350	Variabile	Si
353.3	SLE RA 3	0	750	10000	350	Variabile	Si
0	SLE RA 4	0	750	10000	350	Variabile	Si
353.3	SLE RA 5	0	750	10000	350	Variabile	Si
353.3	SLE RA 6	0	750	10000	350	Variabile	Si

Freccie lungo Y

Ascissa freccia	Combinazione	Freccia	Luce	L/f	L/f,min	Tipo	Verifica
370	SLE RA 2	-1.074	750	698.3	250	Totale	Si
370	SLE RA 3	-1.074	750	698.3	250	Totale	Si
370	SLE RA 6	-1.074	750	698.3	250	Totale	Si
370	SLE RA 7	-1.074	750	698.3	250	Totale	Si
370	SLE RA 5	-0.688	750	1090.1	250	Totale	Si
370	SLE RA 2	-0.772	750	971.6	350	Variabile	Si
370	SLE RA 3	-0.772	750	971.6	350	Variabile	Si
370	SLE RA 6	-0.772	750	971.6	350	Variabile	Si
370	SLE RA 7	-0.772	750	971.6	350	Variabile	Si
370	SLE RA 5	-0.386	750	1943.1	350	Variabile	Si

Superelemento in acciaio composto da 9 aste: 23, 24, 25, 26, 27, 28, 29, 30, 31

Caratteristiche del materiale

Acciaio: Fe360, fyk = 2350

Caratteristiche geometriche

Lunghezza: 820

Nodo iniziale: 48 Nodo finale: 39

Cerniera iniziale: No Cerniera finale: No

Sovreresistenza: 0% Sisma Z: No

Caratteristiche della sezione

Sezione	Rotazione	Area	Jx	Jy	ix	iy	Wx	Wy	Wplx	Wply
EN10219 150x150x8	0	43.24	1411.83	1411.83	5.71	5.71	188.24	188.24	225.96	225.96

Verifiche di resistenza

Verifiche a forza assiale §4.2.4.1.2.1 - §4.2.4.1.2.2 NTC18

X	Comb.	Sfruttamento	Classe	NEd	Nc,Rd	Nt,Rd	Riduzione da taglio	px	py	Verifica
3.3	SLU 41	0.004	1	-360	96780.8		1	0	0	Si

Verifiche a forza assiale SLD §4.2.4.1.2.1 - §4.2.4.1.2.2 NTC18

X	Comb.	Sfruttamento	Classe	NEd	Nc,Rd	Nt,Rd	Riduzione da taglio	px	py	Verifica
616.7	SLD 2	0.001	1	-125.6	96780.8		1	0	0	Si

Verifica a taglio X §4.2.4.1.2.4 NTC18

X	Comb.	Sfruttamento	VEd	Vc,Rd	Av	Interazione taglio-torsione	Riduzione torsione	Verifica
100	SLV 11	0.005	-136.3	27888.3	21.62	Considerata	1	Si

Verifica a taglio X SLD §4.2.4.1.2.4 NTC18

X	Comb.	Sfruttamento	VEd	Vc,Rd	Av	Interazione taglio-torsione	Riduzione torsione	Verifica
76.7	SLD 11	0.002	-69.7	27912.7	21.62	Considerata	1	Si

Verifica a taglio Y §4.2.4.1.2.4 NTC18

X	Comb.	Sfruttamento	VEd	Vc,Rd	Av	Interazione taglio-torsione	Riduzione torsione	Verifica
0	SLU 42	0.085	2365.3	27938.2	21.62	Considerata	1	Si

Verifica a taglio Y SLD §4.2.4.1.2.4 NTC18

X	Comb.	Sfruttamento	VEd	Vc,Rd	Av	Interazione taglio-torsione	Riduzione torsione	Verifica
0	SLD 16	0.017	467.3	27938.2	21.62	Considerata	1	Si

Verifica a torsione §4.2.4.1.2.5 NTC18

X	Comb.	Sfruttamento torsione	TEd	TRd	Riduzione taglio resistente	Sfruttamento taglio-torsione	rEd,totale	rRd	Verifica
100	SLV 12	0.002	-736.5	412340.1	Considerata				Si

Verifica a torsione SLD §4.2.4.1.2.5 NTC18

X	Comb.	Sfruttamento torsione	TEd	TRd	Riduzione taglio resistente	Sfruttamento taglio-torsione	rEd,totale	rRd	Verifica
100	SLD 12	0.001	-376.4	412340.1	Considerata				Si

Verifica a flessione semplice X §§ 4.2.4.1.2.3 - 4.2.4.1.2.6 - 4.2.4.1.2.7 - 4.2.4.1.2.8 NTC18

X	Comb.	Sfruttamento	Classe	Mx,Ed	Mx,Rd	Rid. Mx,Rd da VEd	px	py	Verifica
700	SLU 45	0.063	1	31631	505711.7	1	0	0	Si

Verifica a flessione semplice X SLD §§ 4.2.4.1.2.3 - 4.2.4.1.2.6 - 4.2.4.1.2.7 - 4.2.4.1.2.8 NTC18

X	Comb.	Sfruttamento	Classe	Mx,Ed	Mx,Rd	Rid. Mx,Rd da VEd	px	py	Verifica
163.3	SLD 4	0.01	1	-5292.6	505711.7	1	0	0	Si

Verifica a flessione semplice Y §§ 4.2.4.1.2.3 - 4.2.4.1.2.6 - 4.2.4.1.2.7 - 4.2.4.1.2.8 NTC18

X	Comb.	Sfruttamento	Classe	My,Ed	My,Rd	Rid. My,Rd da VEd	px	py	Verifica
123.3	SLV 1	0.002	1	-898.2	505711.7	1	0	0	Si

Verifica a flessione deviata §§ 4.2.4.1.2.3 - 4.2.4.1.2.6 - 4.2.4.1.2.7 - 4.2.4.1.2.8 NTC18

X	Comb.	Sfruttamento	Classe	Mx,Ed	Mx,Rd	My,Ed	My,Rd	Rid. Mx,Rd da VEd	Rid. My,Rd da VEd	α	β	px	py	Verifica
0	SLV 7	0.141	1	52223	505712	18939	505712	1	1			0	0	Si

Verifica a flessione deviata SLD §§ 4.2.4.1.2.3 - 4.2.4.1.2.6 - 4.2.4.1.2.7 - 4.2.4.1.2.8 NTC18

X	Comb.	Sfruttamento	Classe	Mx,Ed	Mx,Rd	My,Ed	My,Rd	Rid. Mx,Rd da VEd	Rid. My,Rd da VEd	α	β	px	py	Verifica
0	SLD 1	0.102	1	48704	505712	-2904	505712	1	1			0	0	Si

Verifica a presso/tenso flessione retta X §§ 4.2.4.1.2.3 - 4.2.4.1.2.6 - 4.2.4.1.2.7 - 4.2.4.1.2.8 NTC18

Verifiche eseguite utilizzando la formula conservativa (6.2) §6.2.1 EN 1993-1-1:2005.

X	Comb.	Sfruttamento	Classe	NEd	NRd	Rid. NRd da VEd	Mx,Ed	Mx,Rd	Rid. Mx,Rd da VEd	Rid. Mx,Rd da NEd	px	py	Verifica
0	SLU 45	0.604	1	-360	96780.8	1	303760	505712	1		0	0	Si

Verifica a presso/tenso flessione retta X SLD §§ 4.2.4.1.2.3 - 4.2.4.1.2.6 - 4.2.4.1.2.7 - 4.2.4.1.2.8 NTC18

Verifiche eseguite utilizzando la formula conservativa (6.2) §6.2.1 EN 1993-1-1:2005.

X	Comb.	Sfruttamento	Classe	NEd	NRd	Rid. NRd da VEd	Mx,Ed	Mx,Rd	Rid. Mx,Rd da VEd	Rid. Mx,Rd da NEd	px	py	Verifica
683.3	SLD 3	0.043	1	-125.6	96780.8	1	21226	505712	1		0	0	Si

Verifica a presso/tenso flessione retta Y §§ 4.2.4.1.2.3 - 4.2.4.1.2.6 - 4.2.4.1.2.7 - 4.2.4.1.2.8 NTC18

Verifiche eseguite utilizzando la formula conservativa (6.2) §6.2.1 EN 1993-1-1:2005.

X	Comb.	Sfruttamento	Classe	NEd	NRd	Rid. NRd da VEd	My,Ed	My,Rd	Rid. My,Rd da VEd	Rid. My,Rd da NEd	px	py	Verifica
586.7	SLV 1	0.006	1	-145.5	96780.8	1	2151	505712	1		0	0	Si

Verifica a presso/tenso flessione retta Y SLD §§ 4.2.4.1.2.3 - 4.2.4.1.2.6 - 4.2.4.1.2.7 - 4.2.4.1.2.8 NTC18

Verifiche eseguite utilizzando la formula conservativa (6.2) §6.2.1 EN 1993-1-1:2005.

X	Comb.	Sfruttamento	Classe	NEd	NRd	Rid. NRd da VEd	My,Ed	My,Rd	Rid. My,Rd da VEd	Rid. My,Rd da NEd	px	py	Verifica
613.3	SLD 1	0.003	1	-125.6	96780.8	1	811	505712	1		0	0	Si

Verifica a presso/tenso flessione deviata §§ 4.2.4.1.2.3 - 4.2.4.1.2.6 - 4.2.4.1.2.7 - 4.2.4.1.2.8 NTC18

Verifiche eseguite utilizzando la formula conservativa (6.2) §6.2.1 EN 1993-1-1:2005.

X	Comb.	Sfruttamento	Classe	NEd	NRd	Rid. NRd da VEd	Mx,Ed	Mx,Rd	My,Ed	My,Rd	Rid. Mx,Rd da VEd	Rid. Mx,Rd da NEd	Rid. My,Rd da VEd	Rid. My,Rd da NEd	α	β	px	py	Verifica
0	SLV 11	0.162	1	-98.8	96780.8	1	62345	505712	18939	505712	1		1				0	0	Si

Verifica a presso/tenso flessione deviata SLD §§ 4.2.4.1.2.3 - 4.2.4.1.2.6 - 4.2.4.1.2.7 - 4.2.4.1.2.8 NTC18

Verifiche eseguite utilizzando la formula conservativa (6.2) §6.2.1 EN 1993-1-1:2005.

X	Comb.	Sfruttamento	Classe	NEd	NRd	Rid. NRd da VEd	Mx,Ed	Mx,Rd	My,Ed	My,Rd	Rid. Mx,Rd da VEd	Rid. Mx,Rd da NEd	Rid. My,Rd da VEd	Rid. My,Rd da NEd	α	β	px	py	Verifica
0	SLD 11	0.138	1	-82.7	96780.8	1	59858	505712	9679	505712	1		1				0	0	Si

Verifiche ad instabilità

Caratteristiche iniziali

Membratura principale per controllo snellezza; Calcolo di snellezze ed N critici condotti secondo gli assi principali;

Curva X: c; Curva Y: c; Svergolamento: Carico all'estradosso; Curva svergolamento: d;

Dati per instabilità attorno a x

Numero rit.	Presente	Ascissa	Campata	β_x/m	Vincolo a entrambi estremi	λ_x/m	λ_{Ver}
1	Si		0				
			1-2		1	143.5	Si, (<200)
2	Si		820				

Dati per instabilità attorno a y

Numero rit.	Presente	Ascissa	Campata	β_y/n	k,LT	kw,LT	Vincolo a entrambi estremi	λ_y/n	λ_{Ver}
1	Si		0						
			1-2		1	1	1	143.5	Si, (<200)
2	Si		820						

Verifica a svergolamento §4.2.4.1.3.2 NTC18

X	Comb.	Sfruttamento	Classe	Obblig.	Mx,Ed	Mb,Rd,x	$\chi_{i,LT}$	λ adim. LT	L,LT	M,critico	Verifica
700	SLU 46	0.064	1	Si	31631	493476.7	0.976	0.231	820	9957469.4	Si

Verifica a svergolamento con trazione §4.2.4.1.3.2 NTC18 - §5.5.3 ENV 1993-1-1:1994

X	Comb.	Sfruttamento	Classe	Obblig.	NEd	Mx,Ed	Mx,Eff,Ed	Mb,Rd,x	$\chi_{i,LT}$	λ adim. LT	L,LT	M,critico	Verifica
---	-------	--------------	--------	---------	-----	-------	-----------	---------	---------------	--------------------	------	-----------	----------

X	Comb.	Sfruttamento	Classe	Obblig.	NEd	Mx,Ed	Mx,Eff,Ed	Mb,Rd,x	$\chi_{,LT}$	λ adim. LT	L,LT	M,critico	Verifica
666.7	SLV 15	0.023	1	Si	51.3	-11377.4	-11221	493476.7	0.976	0.231	820	9957469.4	Si

Verifica di stabilità per tenso-flessione deviata §5.5.3 - §5.5.4 ENV 1993-1-1:1994

X	Comb.	Sfruttamento	Classe	NEd	Mx,Ed	Mx,Eff,Ed	My,Ed	$\chi_{,LT}$	kLT	ky	M,critico	Wx	Wy	Verifica
0	SLV 1	0.093	1	43.3	40413.3	40281.3	-5681.7	0.976	1	1	9957469.4	226	226	Si

Verifica di stabilità per pressoflessione §C.4.2.4.1.3.3.2 NTC18

X	Comb.	Sfruttamento	Classe	NEd	NRk	Mx,Ed max	Mx,Rk	My,Ed max	My,Rk	$\chi_{,x}$	$\chi_{,y}$	kxx	kxy	kyy	$\chi_{,LT}$	Verifica	
693.3	SLU 46	0.625	1	-360	101619.8	303760.1	530997.3	0	530997.3	0.301	0.301	0.568	0.364	0.996	0.606	0.976	Si

Verifica di stabilità per pressoflessione SLD §C.4.2.4.1.3.3.2 NTC18

X	Comb.	Sfruttamento	Classe	NEd	NRk	Mx,Ed max	Mx,Rk	My,Ed max	My,Rk	$\chi_{,x}$	$\chi_{,y}$	kxx	kxy	kyy	$\chi_{,LT}$	Verifica	
16.7	SLD 15	0.141	1	-121.6	101619.8	65864.6	530997.3	2903.6	530997.3	0.301	0.301	0.53	0.389	0.998	0.648	0.976	Si

Verifica di stabilità a taglio anima X §4.2.4.1.2.4 [4.2.27] NTC18

η	hw	tw	hw/tw max	Verifica
1.2	13.4	0.8	60	Si

Verifica di stabilità a taglio anima X SLD §4.2.4.1.2.4 [4.2.27] NTC18

η	hw	tw	hw/tw max	Verifica
1.2	13.4	0.8	60	Si

Verifica di stabilità a taglio anima Y §4.2.4.1.2.4 [4.2.27] NTC18

η	hw	tw	hw/tw max	Verifica
1.2	13.4	0.8	60	Si

Verifica di stabilità a taglio anima Y SLD §4.2.4.1.2.4 [4.2.27] NTC18

η	hw	tw	hw/tw max	Verifica
1.2	13.4	0.8	60	Si

Verifiche a deformabilità

Mensola X: No; Mensola Y: No.

Frecce lungo X

Ascissa freccia	Combinazione	Freccia	Luce	L/f	L/f,min	Tipo	Verifica
326.7	SLE RA 1	0	820	10000	250	Totale	Si
326.7	SLE RA 2	0	820	10000	250	Totale	Si
326.7	SLE RA 3	0	820	10000	250	Totale	Si
326.7	SLE RA 4	0	820	10000	250	Totale	Si
326.7	SLE RA 5	0	820	10000	250	Totale	Si
503.3	SLE RA 2	0	820	10000	350	Variabile	Si
503.3	SLE RA 3	0	820	10000	350	Variabile	Si
0	SLE RA 4	0	820	10000	350	Variabile	Si
503.3	SLE RA 5	0	820	10000	350	Variabile	Si
503.3	SLE RA 6	0	820	10000	350	Variabile	Si

Frecce lungo Y

Ascissa freccia	Combinazione	Freccia	Luce	L/f	L/f,min	Tipo	Verifica
410	SLE RA 2	-1.951	820	420.4	250	Totale	Si
410	SLE RA 3	-1.951	820	420.4	250	Totale	Si

Ascissa freccia	Combinazione	Freccia	Luce	L/f	L/f,min	Tipo	Verifica
410	SLE RA 6	-1.951	820	420.4	250	Totale	Si
410	SLE RA 7	-1.951	820	420.4	250	Totale	Si
410	SLE RA 5	-1.242	820	660.1	250	Totale	Si
410	SLE RA 2	-1.417	820	578.9	350	Variabile	Si
410	SLE RA 3	-1.417	820	578.9	350	Variabile	Si
410	SLE RA 6	-1.417	820	578.9	350	Variabile	Si
410	SLE RA 7	-1.417	820	578.9	350	Variabile	Si
410	SLE RA 5	-0.708	820	1157.8	350	Variabile	Si

Superelemento in acciaio composto da 9 aste: 32, 33, 34, 35, 36, 37, 38, 39, 40

Caratteristiche del materiale

Acciaio: Fe360, fyk = 2350

Caratteristiche geometriche

Lunghezza: 820

Nodo iniziale: 64 Nodo finale: 73

Cerniera iniziale: No Cerniera finale: No

Sovreresistenza: 0% Sisma Z: No

Caratteristiche della sezione

Sezione	Rotazione	Area	Jx	Jy	ix	iy	Wx	Wy	Wplx	Wply
EN10219 150x150x8	0	43.24	1411.83	1411.83	5.71	5.71	188.24	188.24	225.96	225.96

Verifiche di resistenza

Verifiche a forza assiale §4.2.4.1.2.1 - §4.2.4.1.2.2 NTC18

X	Comb.	Sfruttamento	Classe	NEd	Nc,Rd	Nt,Rd	Riduzione da taglio	px	py	Verifica
200	SLU 45	0.004	1	-360	96780.8		1	0	0	Si

Verifiche a forza assiale SLD §4.2.4.1.2.1 - §4.2.4.1.2.2 NTC18

X	Comb.	Sfruttamento	Classe	NEd	Nc,Rd	Nt,Rd	Riduzione da taglio	px	py	Verifica
700	SLD 16	0.001	1	-125.6	96780.8		1	0	0	Si

Verifica a taglio X §4.2.4.1.2.4 NTC18

X	Comb.	Sfruttamento	VEd	Vc,Rd	Av	Interazione taglio-torsione	Riduzione torsione	Verifica
93.3	SLV 6	0.005	-136.3	27888.3	21.62	Considerata	1	Si

Verifica a taglio X SLD §4.2.4.1.2.4 NTC18

X	Comb.	Sfruttamento	VEd	Vc,Rd	Av	Interazione taglio-torsione	Riduzione torsione	Verifica
0	SLD 5	0.002	-69.7	27912.7	21.62	Considerata	1	Si

Verifica a taglio Y §4.2.4.1.2.4 NTC18

X	Comb.	Sfruttamento	VEd	Vc,Rd	Av	Interazione taglio-torsione	Riduzione torsione	Verifica
0	SLU 42	0.085	2365.3	27938.2	21.62	Considerata	1	Si

Verifica a taglio Y SLD §4.2.4.1.2.4 NTC18

X	Comb.	Sfruttamento	VEd	Vc,Rd	Av	Interazione taglio-torsione	Riduzione torsione	Verifica
0	SLD 3	0.017	467.3	27938.2	21.62	Considerata	1	Si

Verifica a torsione §4.2.4.1.2.5 NTC18

X	Comb.	Sfruttamento torsione	TEd	TRd	Riduzione taglio resistente	Sfruttamento taglio-torsione	$\tau_{Ed,totale}$	τ_{Rd}	Verifica
0	SLV 5	0.002	-736.5	412340.1	Considerata				Si

Verifica a torsione SLD §4.2.4.1.2.5 NTC18

X	Comb.	Sfruttamento torsione	TEd	TRd	Riduzione taglio resistente	Sfruttamento taglio-torsione	$\tau_{Ed,totale}$	τ_{Rd}	Verifica
0	SLD 5	0.001	-376.4	412340.1	Considerata				Si

Verifica a flessione semplice X §§ 4.2.4.1.2.3 - 4.2.4.1.2.6 - 4.2.4.1.2.7 - 4.2.4.1.2.8 NTC18

X	Comb.	Sfruttamento	Classe	Mx,Ed	Mx,Rd	Rid. Mx,Rd da VEd	px	py	Verifica
700	SLU 45	0.063	1	31631	505711.7	1	0	0	Si

Verifica a flessione semplice X SLD §§ 4.2.4.1.2.3 - 4.2.4.1.2.6 - 4.2.4.1.2.7 - 4.2.4.1.2.8 NTC18

X	Comb.	Sfruttamento	Classe	Mx,Ed	Mx,Rd	Rid. Mx,Rd da VEd	px	py	Verifica
163.3	SLD 15	0.01	1	-5292.6	505711.7	1	0	0	Si

Verifica a flessione semplice Y §§ 4.2.4.1.2.3 - 4.2.4.1.2.6 - 4.2.4.1.2.7 - 4.2.4.1.2.8 NTC18

X	Comb.	Sfruttamento	Classe	My,Ed	My,Rd	Rid. My,Rd da VEd	px	py	Verifica
123.3	SLV 15	0.002	1	-898.2	505711.7	1	0	0	Si

Verifica a flessione deviata §§ 4.2.4.1.2.3 - 4.2.4.1.2.6 - 4.2.4.1.2.7 - 4.2.4.1.2.8 NTC18

X	Comb.	Sfruttamento	Classe	Mx,Ed	Mx,Rd	My,Ed	My,Rd	Rid. Mx,Rd da VEd	Rid. My,Rd da VEd	α	β	px	py	Verifica
0	SLV 11	0.141	1	52223	505712	-18939	505712	1	1			0	0	Si

Verifica a flessione deviata SLD §§ 4.2.4.1.2.3 - 4.2.4.1.2.6 - 4.2.4.1.2.7 - 4.2.4.1.2.8 NTC18

X	Comb.	Sfruttamento	Classe	Mx,Ed	Mx,Rd	My,Ed	My,Rd	Rid. Mx,Rd da VEd	Rid. My,Rd da VEd	α	β	px	py	Verifica
0	SLD 15	0.102	1	48704	505712	-2904	505712	1	1			0	0	Si

Verifica a presso/tenso flessione retta X §§ 4.2.4.1.2.3 - 4.2.4.1.2.6 - 4.2.4.1.2.7 - 4.2.4.1.2.8 NTC18

Verifiche eseguite utilizzando la formula conservativa (6.2) §6.2.1 EN 1993-1-1:2005.

X	Comb.	Sfruttamento	Classe	NEd	NRd	Rid. NRd da VEd	Mx,Ed	Mx,Rd	Rid. Mx,Rd da VEd	Rid. Mx,Rd da NEd	px	py	Verifica
0	SLU 46	0.604	1	-360	96780.8	1	303760	505712	1		0	0	Si

Verifica a presso/tenso flessione retta X SLD §§ 4.2.4.1.2.3 - 4.2.4.1.2.6 - 4.2.4.1.2.7 - 4.2.4.1.2.8 NTC18

Verifiche eseguite utilizzando la formula conservativa (6.2) §6.2.1 EN 1993-1-1:2005.

X	Comb.	Sfruttamento	Classe	NEd	NRd	Rid. NRd da VEd	Mx,Ed	Mx,Rd	Rid. Mx,Rd da VEd	Rid. Mx,Rd da NEd	px	py	Verifica
683.3	SLD 16	0.043	1	-125.6	96780.8	1	21226	505712	1		0	0	Si

Verifica a presso/tenso flessione retta Y §§ 4.2.4.1.2.3 - 4.2.4.1.2.6 - 4.2.4.1.2.7 - 4.2.4.1.2.8 NTC18

Verifiche eseguite utilizzando la formula conservativa (6.2) §6.2.1 EN 1993-1-1:2005.

X	Comb.	Sfruttamento	Classe	NEd	NRd	Rid. NRd da VEd	My,Ed	My,Rd	Rid. My,Rd da VEd	Rid. My,Rd da NEd	px	py	Verifica
586.7	SLV 15	0.006	1	-145.5	96780.8	1	2151	505712	1		0	0	Si

Verifica a presso/tenso flessione retta Y SLD §§ 4.2.4.1.2.3 - 4.2.4.1.2.6 - 4.2.4.1.2.7 - 4.2.4.1.2.8 NTC18

Verifiche eseguite utilizzando la formula conservativa (6.2) §6.2.1 EN 1993-1-1:2005.

X	Comb.	Sfruttamento	Classe	NEd	NRd	Rid. NRd da VEd	My,Ed	My,Rd	Rid. My,Rd da VEd	Rid. My,Rd da NEd	px	py	Verifica
613.3	SLD 15	0.003	1	-125.6	96780.8	1	811	505712	1		0	0	Si

Verifica a presso/tenso flessione deviata §§ 4.2.4.1.2.3 - 4.2.4.1.2.6 - 4.2.4.1.2.7 - 4.2.4.1.2.8 NTC18

Verifiche eseguite utilizzando la formula conservativa (6.2) §6.2.1 EN 1993-1-1:2005.

X	Comb.	Sfruttamento	Classe	NEd	NRd	Rid. NRd da VEd	Mx,Ed	Mx,Rd	My,Ed	My,Rd	Rid. Mx,Rd da VEd	Rid. Mx,Rd da NEd	Rid. My,Rd da VEd	Rid. My,Rd da NEd	α	β	p_x	p_y	Verifica
0	SLV 8	0.162	1	-98.8	96780.8	1	62345	505712	-18939	505712	1		1				0	0	Si

Verifica a presso/tenso flessione deviata SLD §§ 4.2.4.1.2.3 - 4.2.4.1.2.6 - 4.2.4.1.2.7 - 4.2.4.1.2.8 NTC18

Verifiche eseguite utilizzando la formula conservativa (6.2) §6.2.1 EN 1993-1-1:2005.

X	Comb.	Sfruttamento	Classe	NEd	NRd	Rid. NRd da VEd	Mx,Ed	Mx,Rd	My,Ed	My,Rd	Rid. Mx,Rd da VEd	Rid. Mx,Rd da NEd	Rid. My,Rd da VEd	Rid. My,Rd da NEd	α	β	p_x	p_y	Verifica
0	SLD 8	0.138	1	-82.7	96780.8	1	59858	505712	-9679	505712	1		1				0	0	Si

Verifiche ad instabilità

Caratteristiche iniziali

Membratura principale per controllo snellezza; Calcolo di snellezze ed N critici condotti secondo gli assi principali;

Curva X: c; Curva Y: c; Svergolamento: Carico all'estradosso; Curva svergolamento: d;

Dati per instabilità attorno a x

Numero rit.	Presente	Ascissa	Campata	β_x/m	Vincolo a entrambi estremi	λ_x/m	λ_{Ver}
1	Si		0				
			1-2	1	Si	143.5	Si, (<200)
2	Si	820					

Dati per instabilità attorno a y

Numero rit.	Presente	Ascissa	Campata	β_y/n	k,LT	kw,LT	Vincolo a entrambi estremi	λ_y/n	λ_{Ver}
1	Si		0						
			1-2	1	1	1	Si	143.5	Si, (<200)
2	Si	820							

Verifica a svergolamento §4.2.4.1.3.2 NTC18

X	Comb.	Sfruttamento	Classe	Obblig.	Mx,Ed	Mb,Rd,x	χ_{LT}	λ adim. LT	L,LT	M,critico	Verifica
700	SLU 46	0.064	1	Si	31631	493476.7	0.976	0.231	820	9957469.4	Si

Verifica a svergolamento con trazione §4.2.4.1.3.2 NTC18 - §5.5.3 ENV 1993-1-1:1994

X	Comb.	Sfruttamento	Classe	Obblig.	NEd	Mx,Ed	Mx,Eff,Ed	Mb,Rd,x	χ_{LT}	λ adim. LT	L,LT	M,critico	Verifica
666.7	SLV 1	0.023	1	Si	51.3	-11377.4	-11221	493476.7	0.976	0.231	820	9957469.4	Si

Verifica di stabilità per tenso-flessione deviata §5.5.3 - §5.5.4 ENV 1993-1-1:1994

X	Comb.	Sfruttamento	Classe	NEd	Mx,Ed	Mx,Eff,Ed	My,Ed	χ_{LT}	kLT	ky	M,critico	Wx	Wy	Verifica
0	SLV 15	0.093	1	43.3	40413.3	40281.3	-5681.7	0.976	1	1	9957469.4	226	226	Si

Verifica di stabilità per pressoflessione §C.4.2.4.1.3.3.2 NTC18

X	Comb.	Sfruttamento	Classe	NEd	NRk	Mx,Ed max	Mx,Rk	My,Ed max	My,Rk	χ_x	χ_y	kxx	kxy	kyy	χ_{LT}	Verifica	
6.7	SLU 41	0.625	1	-360	101619.8	303760.1	530997.3	0	530997.3	0.301	0.301	0.568	0.364	0.996	0.606	0.976	Si

Verifica di stabilità per pressoflessione SLD §C.4.2.4.1.3.3.2 NTC18

X	Comb.	Sfruttamento	Classe	NEd	NRk	Mx,Ed max	Mx,Rk	My,Ed max	My,Rk	χ_x	χ_y	kxx	kxy	kyy	χ_{LT}	Verifica	
0	SLD 1	0.141	1	-121.6	101619.8	65864.6	530997.3	2903.6	530997.3	0.301	0.301	0.53	0.389	0.998	0.648	0.976	Si

Verifica di stabilità a taglio anima X §4.2.4.1.2.4 [4.2.27] NTC18

η	hw	tw	hw/tw max	Verifica
1.2	13.4	0.8	60	Si

Verifica di stabilità a taglio anima X SLD §4.2.4.1.2.4 [4.2.27] NTC18

η	hw	tw	hw/tw max	Verifica

η	hw	tw	hw/tw max	Verifica
1.2	13.4	0.8	60	Si

Verifica di stabilità a taglio anima Y §4.2.4.1.2.4 [4.2.27] NTC18

η	hw	tw	hw/tw max	Verifica
1.2	13.4	0.8	60	Si

Verifica di stabilità a taglio anima Y SLD §4.2.4.1.2.4 [4.2.27] NTC18

η	hw	tw	hw/tw max	Verifica
1.2	13.4	0.8	60	Si

Verifiche a deformabilità

Mensola X: No; Mensola Y: No.

Frecce lungo X

Ascissa freccia	Combinazione	Freccia	Luce	L/f	L/f,min	Tipo	Verifica
326.7	SLE RA 1	0	820	10000	250	Totale	Si
326.7	SLE RA 2	0	820	10000	250	Totale	Si
326.7	SLE RA 3	0	820	10000	250	Totale	Si
326.7	SLE RA 4	0	820	10000	250	Totale	Si
326.7	SLE RA 5	0	820	10000	250	Totale	Si
323.3	SLE RA 2	0	820	10000	350	Variabile	Si
323.3	SLE RA 3	0	820	10000	350	Variabile	Si
0	SLE RA 4	0	820	10000	350	Variabile	Si
323.3	SLE RA 5	0	820	10000	350	Variabile	Si
323.3	SLE RA 6	0	820	10000	350	Variabile	Si

Frecce lungo Y

Ascissa freccia	Combinazione	Freccia	Luce	L/f	L/f,min	Tipo	Verifica
410	SLE RA 2	-1.951	820	420.4	250	Totale	Si
410	SLE RA 3	-1.951	820	420.4	250	Totale	Si
410	SLE RA 6	-1.951	820	420.4	250	Totale	Si
410	SLE RA 7	-1.951	820	420.4	250	Totale	Si
410	SLE RA 5	-1.242	820	660.1	250	Totale	Si
410	SLE RA 2	-1.417	820	578.9	350	Variabile	Si
410	SLE RA 3	-1.417	820	578.9	350	Variabile	Si
410	SLE RA 6	-1.417	820	578.9	350	Variabile	Si
410	SLE RA 7	-1.417	820	578.9	350	Variabile	Si
410	SLE RA 5	-0.708	820	1157.8	350	Variabile	Si

Superelemento in acciaio composto dall'asta 1
Caratteristiche del materiale

Acciaio: Fe360, $f_{yk} = 2350$

Caratteristiche geometriche

Lunghezza: 220

Nodo iniziale: 2 Nodo finale: 41

Cerniera iniziale: No Cerniera finale: No

Sovreresistenza: 0% Sisma Z: No

Caratteristiche della sezione

Sezione	Rotazione	Area	Jx	Jy	ix	iy	Wx	Wy	Wplx	Wply
IPE200	180	28.51	1945.38	142.39	8.26	2.23	194.54	28.48	220.89	44.63

Verifiche di resistenza
Verifiche a forza assiale §4.2.4.1.2.1 - §4.2.4.1.2.2 NTC18

X	Comb.	Sfruttamento	Classe	NEd	Nc,Rd	Nt,Rd	Riduzione da taglio	px	py	Verifica
0	SLU 45	0.038	1	-2424.8	63815.1		1	0	0	Si

Verifiche a forza assiale SLD §4.2.4.1.2.1 - §4.2.4.1.2.2 NTC18

X	Comb.	Sfruttamento	Classe	NEd	Nc,Rd	Nt,Rd	Riduzione da taglio	px	py	Verifica
0	SLD 4	0.008	1	-538.3	63815.1		1	0	0	Si

Verifica a taglio X §4.2.4.1.2.4 NTC18

X	Comb.	Sfruttamento	VEd	Vc,Rd	Av	Interazione taglio-torsione	Riduzione torsione	Verifica
220	SLU 41	0.015	360	23601.6	18.27	Considerata	1	Si

Verifica a taglio X SLD §4.2.4.1.2.4 NTC18

X	Comb.	Sfruttamento	VEd	Vc,Rd	Av	Interazione taglio-torsione	Riduzione torsione	Verifica
220	SLD 3	0.007	161.4	23601.6	18.27	Considerata	1	Si

Verifica a taglio Y §4.2.4.1.2.4 NTC18

X	Comb.	Sfruttamento	VEd	Vc,Rd	Av	Interazione taglio-torsione	Riduzione torsione	Verifica
117.3	SLV 9	0.009	159.2	18112.1	14.03	Considerata	1	Si

Verifica a taglio Y SLD §4.2.4.1.2.4 NTC18

X	Comb.	Sfruttamento	VEd	Vc,Rd	Av	Interazione taglio-torsione	Riduzione torsione	Verifica
117.3	SLD 9	0.004	81.4	18119.9	14.03	Considerata	1	Si

Verifica a torsione §4.2.4.1.2.5 NTC18

X	Comb.	Sfruttamento torsione	TEd	TRd	Riduzione taglio resistente	Sfruttamento taglio-torsione	rEd,totale	rRd	Verifica
220	SLV 12	0.002	17.1	7852.4	Considerata				Si

Verifica a torsione SLD §4.2.4.1.2.5 NTC18

X	Comb.	Sfruttamento torsione	TEd	TRd	Riduzione taglio resistente	Sfruttamento taglio-torsione	rEd,totale	rRd	Verifica
220	SLD 12	0.001	8.8	7852.4	Considerata				Si

Verifica a presso/tenso flessione retta X §§ 4.2.4.1.2.3 - 4.2.4.1.2.6 - 4.2.4.1.2.7 - 4.2.4.1.2.8 NTC18

Verifiche eseguite utilizzando la formula conservativa (6.2) §6.2.1 EN 1993-1-1:2005.

X	Comb.	Sfruttamento	Classe	NEd	NRd	Rid. NRd da VEd	Mx,Ed	Mx,Rd	Rid. Mx,Rd da VEd	Rid. Mx,Rd da NEd	px	py	Verifica
139.3	SLV 13	0.015	1	-428.2	63815.1	1	-4087	494376	1		0	0	Si

Verifica a presso/tenso flessione retta Y §§ 4.2.4.1.2.3 - 4.2.4.1.2.6 - 4.2.4.1.2.7 - 4.2.4.1.2.8 NTC18

Verifiche eseguite utilizzando la formula conservativa (6.2) §6.2.1 EN 1993-1-1:2005.

X	Comb.	Sfruttamento	Classe	NEd	NRd	Rid. NRd da VEd	My,Ed	My,Rd	Rid. My,Rd da VEd	Rid. My,Rd da NEd	px	py	Verifica
220	SLU 41	0.566	1	-2360.8	63815.1	1	-52832	99893	1		0	0	Si

Verifica a presso/tenso flessione retta Y SLD §§ 4.2.4.1.2.3 - 4.2.4.1.2.6 - 4.2.4.1.2.7 - 4.2.4.1.2.8 NTC18

Verifiche eseguite utilizzando la formula conservativa (6.2) §6.2.1 EN 1993-1-1:2005.

X	Comb.	Sfruttamento	Classe	NEd	NRd	Rid. NRd da VEd	My,Ed	My,Rd	Rid. My,Rd da VEd	Rid. My,Rd da NEd	px	py	Verifica
220	SLD 3	0.205	1	-489	63815.1	1	-19713	99893	1		0	0	Si

Verifica a presso/tenso flessione deviata §§ 4.2.4.1.2.3 - 4.2.4.1.2.6 - 4.2.4.1.2.7 - 4.2.4.1.2.8 NTC18

Verifiche eseguite utilizzando la formula conservativa (6.2) §6.2.1 EN 1993-1-1:2005.

X	Comb.	Sfruttamento	Classe	NEd	NRd	Rid. NRd da VEd	Mx,Ed	Mx,Rd	My,Ed	My,Rd	Rid. Mx,Rd da VEd	Rid. Mx,Rd da NEd	Rid. My,Rd da VEd	Rid. My,Rd da NEd	α	β	px	py	Verifica
220	SLV 1	0.303	1	-514.7	63815.1	1	-221	494376	-29403	99893	1		1				0	0	Si

Verifica a presso/tenso flessione deviata SLD §§ 4.2.4.1.2.3 - 4.2.4.1.2.6 - 4.2.4.1.2.7 - 4.2.4.1.2.8 NTC18

Verifiche eseguite utilizzando la formula conservativa (6.2) §6.2.1 EN 1993-1-1:2005.

X	Comb.	Sfruttamento	Classe	NEd	NRd	Rid. NRd da VEd	Mx,Ed	Mx,Rd	My,Ed	My,Rd	Rid. Mx,Rd da VEd	Rid. Mx,Rd da NEd	Rid. My,Rd da VEd	Rid. My,Rd da NEd	α	β	px	py	Verifica
212.7	SLD 1	0.194	1	-490.7	63815.1	1	-293	494376	-18519	99893	1		1				0	0	Si

Verifiche ad instabilità

Caratteristiche iniziali

Membratura principale per controllo snellezza; Calcolo di snellezze ed N critici condotti secondo gli assi principali;

Curva X: a; Curva Y: b; Svergolamento: Carico all'estradosso; Curva svergolamento: b;

Dati per instabilità attorno a x

Numero rit.	Presente	Ascissa	Campata	βx/m	Vincolo a entrambi estremi	λx/m	λVer
1	Si		0				
			1-2	1	Si	26.6	Si, (<200)
2	Si		220				

Dati per instabilità attorno a y

Numero rit.	Presente	Ascissa	Campata	βy/n	k,LT	kw,LT	Vincolo a entrambi estremi	ly/n	λVer
1	Si		0						
			1-2	1	1	1	Si	98.4	Si, (<200)
2	Si		220						

Verifica di stabilità per pressoflessione §C.4.2.4.1.3.3.2 NTC18

X	Comb.	Sfruttamento	Classe	NEd	NRk	Mx,Ed max	Mx,Rk	My,Ed max	My,Rk	χ,x	χ,y	kxx	kxy	kyy	χ,LT	Verifica	
0	SLU 46	0.3	1	-2424.8	67005.9	0	519095.1	52831.9	104887.5	0.981	0.56	0.602	0.263	0.981	0.438	0.915	Si

Verifica di stabilità per pressoflessione SLD §C.4.2.4.1.3.3.2 NTC18

X	Comb.	Sfruttamento	Classe	NEd	NRk	Mx,Ed max	Mx,Rk	My,Ed max	My,Rk	χ,x	χ,y	kxx	kxy	kyy	χ,LT	Verifica	
0	SLD 1	0.108	1	-538.3	67005.9	5501.2	519095.1	19712.6	104887.5	0.981	0.56	0.609	0.245	0.996	0.408	0.913	Si

Verifica di stabilità a taglio anima Y §4.2.4.1.2.4 [4.2.27] NTC18

η	hw	tw	hw/tw max	Verifica	
1.2		18.3	0.6	60	Si

Verifica di stabilità a taglio anima X §4.2.4.1.2.4 [4.2.27] NTC18

η	hw	tw	hw/tw max	Verifica	
1.2		18.3	0.6	60	Si

Verifiche a deformabilità

Mensola X: No; Mensola Y: No.

Verifiche non eseguite in quanto il superelemento è verticale.

Verifiche § 7.5 NTC18

Estremi dissipativi del sovrarelemento

Estremo notevole	Asta FEM	Estremo asta	Posizione	Ascissa	Tipo
Piede asta 1	1	Iniziale	0	0	Dissipa Mx, Dissipa My

Verifiche di duttilità §7.5.3.2 NTC18

Classe peggiore 1 <= 3 ad ascissa 0 in comb. SLV 1.

Controllo dello sforzo normale nelle zone dissipative di colonna §7.5.3.2 [7.5.3] NTC18

Estremo notevole	Comb.	Sfruttamento	NEd,ED	Npl,Rd,ED	Verifica
Piede asta 1	SLV 3	0.009	-563.9	63815.1	Si

Verifiche a resistenza ed instabilità della colonna §7.5.4.2 NTC18

Le verifiche previste non vengono condotte in quanto non esistono estremi notevoli dissipativi di trave idonei al calcolo di Ω .

NB: sovrarelemento non sollecitato. Verifiche non condotte.

Verifiche di gerarchia delle resistenze trave-colonna §7.5.4.2 [7.5.11] NTC18

Dati del nodo

Quota nodo	Cerniera plastica	Interno	EN di colonne	Tipo	Colonna senza EN	EN di travi	Tipo	Travi senza EN
0	Si	No	Piede asta 1	Dissipa Mx, Dissipa My				

$\gamma_{Rd} = 1.3$

Il nodo della colonna a quota 0 è zona di formazione di cerniera plastica e la verifica non deve essere condotta.

Sovrarelemento in acciaio composto dall'asta 3

Caratteristiche del materiale

Acciaio: Fe360, $f_{yk} = 2350$

Caratteristiche geometriche

Lunghezza: 220

Nodo iniziale: 3 Nodo finale: 48

Cerniera iniziale: No Cerniera finale: No

Sovreresistenza: 0% Sisma Z: No

Caratteristiche della sezione

Sezione	Rotazione	Area	Jx	Jy	ix	iy	Wx	Wy	Wplx	Wply
IPE220	180	33.4	2774.54	204.91	9.11	2.48	252.23	37.26	285.69	58.13

Verifiche di resistenza

Verifiche a forza assiale §4.2.4.1.2.1 - §4.2.4.1.2.2 NTC18

X	Comb.	Sfruttamento	Classe	NEd	Nc,Rd	Nt,Rd	Riduzione da taglio	px	py	Verifica
0	SLV 46	0.063	1	-4700	74751.3		1	0	0	Si

Verifiche a forza assiale SLD §4.2.4.1.2.1 - §4.2.4.1.2.2 NTC18

X	Comb.	Sfruttamento	Classe	NEd	Nc,Rd	Nt,Rd	Riduzione da taglio	px	py	Verifica
0	SLD 15	0.013	1	-941.1	74751.3		1	0	0	Si

Verifica a taglio X §4.2.4.1.2.4 NTC18

X	Comb.	Sfruttamento	VEd	Vc,Rd	Av	Interazione taglio-torsione	Riduzione torsione	Verifica
220	SLV 16	0.011	-297.1	27788.2	21.51	Considerata	1	Si

Verifica a taglio X SLD §4.2.4.1.2.4 NTC18

X	Comb.	Sfruttamento	VEd	Vc,Rd	Av	Interazione taglio-torsione	Riduzione torsione	Verifica
220	SLD 16	0.006	-156.6	27788.2	21.51	Considerata	1	Si

Verifica a taglio Y §4.2.4.1.2.4 NTC18

X	Comb.	Sfruttamento	VEd	Vc,Rd	Av	Interazione taglio-torsione	Riduzione torsione	Verifica
220	SLV 11	0.015	-308.8	20558.8	15.91	Considerata	1	Si

Verifica a taglio Y SLD §4.2.4.1.2.4 NTC18

X	Comb.	Sfruttamento	VEd	Vc,Rd	Av	Interazione taglio-torsione	Riduzione torsione	Verifica
220	SLD 11	0.008	-157.8	20558.8	15.91	Considerata	1	Si

Verifica a presso/tenso flessione retta Y §§ 4.2.4.1.2.3 - 4.2.4.1.2.6 - 4.2.4.1.2.7 - 4.2.4.1.2.8 NTC18

Verifiche eseguite utilizzando la formula conservativa (6.2) §6.2.1 EN 1993-1-1:2005.

X	Comb.	Sfruttamento	Classe	NEd	NRd	Rid. NRd da VEd	My,Ed	My,Rd	Rid. My,Rd da VEd	Rid. My,Rd da NEd	px	py	Verifica
220	SLV 42	0.132	1	-4625	74751.3	1	9131	130104	1		0	0	Si

Verifica a presso/tenso flessione retta Y SLD §§ 4.2.4.1.2.3 - 4.2.4.1.2.6 - 4.2.4.1.2.7 - 4.2.4.1.2.8 NTC18

Verifiche eseguite utilizzando la formula conservativa (6.2) §6.2.1 EN 1993-1-1:2005.

X	Comb.	Sfruttamento	Classe	NEd	NRd	Rid. NRd da VEd	My,Ed	My,Rd	Rid. My,Rd da VEd	Rid. My,Rd da NEd	px	py	Verifica
220	SLD 15	0.145	1	-883.4	74751.3	1	17357	130104	1		0	0	Si

Verifica a presso/tenso flessione deviata §§ 4.2.4.1.2.3 - 4.2.4.1.2.6 - 4.2.4.1.2.7 - 4.2.4.1.2.8 NTC18

Verifiche eseguite utilizzando la formula conservativa (6.2) §6.2.1 EN 1993-1-1:2005.

X	Comb.	Sfruttamento	Classe	NEd	NRd	Rid. NRd da VEd	Mx,Ed	Mx,Rd	My,Ed	My,Rd	Rid. Mx,Rd da VEd	Rid. Mx,Rd da NEd	Rid. My,Rd da VEd	Rid. My,Rd da NEd	α	β	px	py	Verifica
0	SLV 13	0.305	1	-947.7	74751.3	1	-20211	639392	-33893	130104	1		1				0	0	Si

Verifica a presso/tenso flessione deviata SLD §§ 4.2.4.1.2.3 - 4.2.4.1.2.6 - 4.2.4.1.2.7 - 4.2.4.1.2.8 NTC18

Verifiche eseguite utilizzando la formula conservativa (6.2) §6.2.1 EN 1993-1-1:2005.

X	Comb.	Sfruttamento	Classe	NEd	NRd	Rid. NRd da VEd	Mx,Ed	Mx,Rd	My,Ed	My,Rd	Rid. Mx,Rd da VEd	Rid. Mx,Rd da NEd	Rid. My,Rd da VEd	Rid. My,Rd da NEd	α	β	px	py	Verifica
0	SLD 13	0.164	1	-941.1	74751.3	1	-10329	639392	-17645	130104	1		1				0	0	Si

Verifiche ad instabilità
Caratteristiche iniziali

Membratura principale per controllo snellezza; Calcolo di snellezze ed N critici condotti secondo gli assi principali;

Curva X: a; Curva Y: b; Svergolamento: Carico all'estradosso; Curva svergolamento: b;

Dati per instabilità attorno a x

Numero rit.	Presente	Ascissa	Campata	βx/m	Vincolo a entrambi estremi	λx/m	λVer
1	Si		0				
			1-2		1	24.1	Si, (<200)
2	Si		220				

Dati per instabilità attorno a y

Numero rit.	Presente	Ascissa	Campata	βy/n	k,LT	kw,LT	Vincolo a entrambi estremi	λy/n	λVer
1	Si		0						
			1-2		1	1	1	88.8	Si, (<200)
2	Si		220						

Verifica di stabilità per pressoflessione §C.4.2.4.1.3.3.2 NTC18

X	Comb.	Sfruttamento	Classe	NEd	NRd	Mx,Ed max	Mx,Rd	My,Ed max	My,Rd	χx	χy	kxx	kxy	kyy	χ,LT	Verifica	
0	SLV 10	0.166	1	-938.3	78488.9	67369.8	671361.6	10906.1	136609.4	0.987	0.626	0.595	0.246	0.994	0.411	0.936	Si

Verifica di stabilità per pressoflessione SLD §4.2.4.1.3.3.2 NTC18

X	Comb.	Sfruttamento	Classe	NEd	NRk	Mx,Ed max	Mx,Rk	My,Ed max	My,Rk	χ_x	χ_y	kxx	kxy	kyy	χ_{LT}	Verifica	
0	SLD 9	0.097	1	-936.3	78488.9	34428.5	671361.6	6346.6	136609.4	0.987	0.626	0.595	0.246	0.994	0.41	0.936	Si

Verifica di stabilità a taglio anima Y §4.2.4.1.2.4 [4.2.27] NTC18

η	hw	tw	hw/tw max	Verifica
1.2	20.2	0.6	60	Si

Verifica di stabilità a taglio anima Y SLD §4.2.4.1.2.4 [4.2.27] NTC18

η	hw	tw	hw/tw max	Verifica
1.2	20.2	0.6	60	Si

Verifiche a deformabilità

Mensola X: No; Mensola Y: No.

Verifiche non eseguite in quanto il superelemento è verticale.

Verifiche § 7.5 NTC18
Estremi dissipativi del superelemento

Estremo notevole	Asta FEM	Estremo asta	Posizione	Ascissa	Tipo
Piede asta 3	3	Iniziale	0	0	Dissipa Mx, Dissipa My

Verifiche di duttilità §7.5.3.2 NTC18

Classe peggiore 1 <= 3 ad ascissa 0 in comb. SLV 1.

Controllo dello sforzo normale nelle zone dissipative di colonna §7.5.3.2 [7.5.3] NTC18

Estremo notevole	Comb.	Sfruttamento	NEd,ED	Npl,Rd,ED	Verifica
Piede asta 3	SLV 15	0.013	-947.7	74751.3	Si

Verifiche a resistenza ed instabilità della colonna §7.5.4.2 NTC18

Le verifiche previste non vengono condotte in quanto non esistono estremi notevoli dissipativi di trave idonei al calcolo di Ω .

NB: superelemento non sollecitato. Verifiche non condotte.

Verifiche di gerarchia delle resistenze trave-colonna §7.5.4.2 [7.5.11] NTC18
Dati del nodo

Quota nodo	Cerniera plastica	Interno	EN di colonne	Tipo	Colonna senza EN	EN di travi	Tipo	Travi senza EN
0	Si	No	Piede asta 3	Dissipa Mx, Dissipa My				

$\gamma_{Rd} = 1.3$

Il nodo della colonna a quota 0 è zona di formazione di cerniera plastica e la verifica non deve essere condotta.

Superelemento in acciaio composto dall'asta 4
Caratteristiche del materiale

Acciaio: Fe360, $f_{yk} = 2350$

Caratteristiche geometriche

Lunghezza: 220

Nodo iniziale: 4 Nodo finale: 56

Cerniera iniziale: No Cerniera finale: No

Sovraresistenza: 0% Sisma Z: No

Caratteristiche della sezione

Sezione	Rotazione	Area	Jx	Jy	ix	iy	Wx	Wy	Wplx	Wply
IPE220	180	33.4	2774.54	204.91	9.11	2.48	252.23	37.26	285.69	58.13

Verifiche di resistenza
Verifiche a forza assiale §4.2.4.1.2.1 - §4.2.4.1.2.2 NTC18

X	Comb.	Sfruttamento	Classe	NEd	Nc,Rd	Nt,Rd	Riduzione da taglio	px	py	Verifica
0	SLU 41	0.059	1	-4424.2	74751.3		1	0	0	Si

Verifiche a forza assiale SLD §4.2.4.1.2.1 - §4.2.4.1.2.2 NTC18

X	Comb.	Sfruttamento	Classe	NEd	Nc,Rd	Nt,Rd	Riduzione da taglio	px	py	Verifica
0	SLD 1	0.012	1	-885	74751.3		1	0	0	Si

Verifica a taglio X §4.2.4.1.2.4 NTC18

X	Comb.	Sfruttamento	VEd	Vc,Rd	Av	Interazione taglio-torsione	Riduzione torsione	Verifica
220	SLV 4	0.01	280	27788.2	21.51	Considerata	1	Si

Verifica a taglio X SLD §4.2.4.1.2.4 NTC18

X	Comb.	Sfruttamento	VEd	Vc,Rd	Av	Interazione taglio-torsione	Riduzione torsione	Verifica
220	SLD 4	0.005	142.4	27788.2	21.51	Considerata	1	Si

Verifica a taglio Y §4.2.4.1.2.4 NTC18

X	Comb.	Sfruttamento	VEd	Vc,Rd	Av	Interazione taglio-torsione	Riduzione torsione	Verifica
212.7	SLV 5	0.014	285.7	20558.8	15.91	Considerata	1	Si

Verifica a taglio Y SLD §4.2.4.1.2.4 NTC18

X	Comb.	Sfruttamento	VEd	Vc,Rd	Av	Interazione taglio-torsione	Riduzione torsione	Verifica
212.7	SLD 5	0.007	146	20558.8	15.91	Considerata	1	Si

Verifica a presso/tenso flessione retta Y §§ 4.2.4.1.2.3 - 4.2.4.1.2.6 - 4.2.4.1.2.7 - 4.2.4.1.2.8 NTC18

Verifiche eseguite utilizzando la formula conservativa (6.2) §6.2.1 EN 1993-1-1:2005.

X	Comb.	Sfruttamento	Classe	NEd	NRd	Rid. NRd da VEd	My,Ed	My,Rd	Rid. My,Rd da VEd	Rid. My,Rd da NEd	px	py	Verifica
220	SLV 3	0.242	1	-827.3	74751.3	1	-30007	130104	1		0	0	Si

Verifica a presso/tenso flessione retta Y SLD §§ 4.2.4.1.2.3 - 4.2.4.1.2.6 - 4.2.4.1.2.7 - 4.2.4.1.2.8 NTC18

Verifiche eseguite utilizzando la formula conservativa (6.2) §6.2.1 EN 1993-1-1:2005.

X	Comb.	Sfruttamento	Classe	NEd	NRd	Rid. NRd da VEd	My,Ed	My,Rd	Rid. My,Rd da VEd	Rid. My,Rd da NEd	px	py	Verifica
220	SLD 3	0.128	1	-827.3	74751.3	1	-15261	130104	1		0	0	Si

Verifica a presso/tenso flessione deviata §§ 4.2.4.1.2.3 - 4.2.4.1.2.6 - 4.2.4.1.2.7 - 4.2.4.1.2.8 NTC18

Verifiche eseguite utilizzando la formula conservativa (6.2) §6.2.1 EN 1993-1-1:2005.

X	Comb.	Sfruttamento	Classe	NEd	NRd	Rid. NRd da VEd	Mx,Ed	Mx,Rd	My,Ed	My,Rd	Rid. Mx,Rd da VEd	Rid. Mx,Rd da NEd	Rid. My,Rd da VEd	Rid. My,Rd da NEd	α	β	px	py	Verifica
0	SLV 1	0.292	1	-885	74751.3	1	-19019	639392	32609	130104	1		1				0	0	Si

Verifica a presso/tenso flessione deviata SLD §§ 4.2.4.1.2.3 - 4.2.4.1.2.6 - 4.2.4.1.2.7 - 4.2.4.1.2.8 NTC18

Verifiche eseguite utilizzando la formula conservativa (6.2) §6.2.1 EN 1993-1-1:2005.

X	Comb.	Sfruttamento	Classe	NEd	NRd	Rid. NRd da VEd	Mx,Ed	Mx,Rd	My,Ed	My,Rd	Rid. Mx,Rd da VEd	Rid. Mx,Rd da NEd	Rid. My,Rd da VEd	Rid. My,Rd da NEd	α	β	px	py	Verifica
0	SLD 1	0.155	1	-885	74751.3	1	-9720	639392	16585	130104	1		1				0	0	Si

Verifiche ad instabilità
Caratteristiche iniziali

Membratura principale per controllo snellezza; Calcolo di snellezze ed N critici condotti secondo gli assi principali;

Curva X: a; Curva Y: b; Svergolamento: Carico all'estradosso; Curva svergolamento: b;

Dati per instabilità attorno a x

Numero rit.	Presente	Ascissa	Campata	$\beta x/m$	Vincolo a entrambi estremi	$\lambda x/m$	λVer
1	Si		0				
			1-2	1	Si	24.1	Si, (<200)

Numero rit.	Presente	Ascissa	Campata	β /m	Vincolo a entrambi estremi	λ /m	λ Ver
2	Si	220					

Dati per instabilità attorno a y

Numero rit.	Presente	Ascissa	Campata	β /n	k,LT	kw,LT	Vincolo a entrambi estremi	λ /n	λ Ver
1	Si	0							
			1-2	1	1	1	Si	88.8	Si, (<200)
2	Si	220							

Verifica di stabilità membrature compresse §4.2.4.1.3.1 NTC18

X	Comb.	Sfruttamento	Classe	Obblig.	NEd	Nb,Rd	χ ,min	l0 x/m	l0 y/n	λ adim. x/m	λ adim. y/n	N,crit x/m	N,crit y/n	Verifica
0	SLU 41	0.095	1	Si	-4424.2	46782.1	0.626	220	220	0.26	0.955	1165501.2	86074.7	Si

Verifica di stabilità per pressoflessione §C.4.2.4.1.3.3.2 NTC18

X	Comb.	Sfruttamento	Classe	NEd	NRk	Mx,Ed max	Mx,Rk	My,Ed max	My,Rk	χ ,x	χ ,y	kxx	kxy	kyy	χ ,LT	Verifica	
0	SLV 8	0.155	1	-885	78488.9	63398.1	671361.6	9782.7	136609.4	0.987	0.626	0.602	0.246	0.995	0.41	0.935	Si

Verifica di stabilità per pressoflessione SLD §C.4.2.4.1.3.3.2 NTC18

X	Comb.	Sfruttamento	Classe	NEd	NRk	Mx,Ed max	Mx,Rk	My,Ed max	My,Rk	χ ,x	χ ,y	kxx	kxy	kyy	χ ,LT	Verifica	
0	SLD 7	0.089	1	-885	78488.9	32398.8	671361.6	4975.4	136609.4	0.987	0.626	0.602	0.246	0.995	0.41	0.935	Si

Verifica di stabilità a taglio anima Y §4.2.4.1.2.4 [4.2.27] NTC18

η	hw	tw	hw/tw max	Verifica
1.2	20.2	0.6	60	Si

Verifica di stabilità a taglio anima Y SLD §4.2.4.1.2.4 [4.2.27] NTC18

η	hw	tw	hw/tw max	Verifica
1.2	20.2	0.6	60	Si

Verifiche a deformabilità

Mensola X: No; Mensola Y: No.
Verifiche non eseguite in quanto il superelemento è verticale.

Verifiche § 7.5 NTC18

Estremi dissipativi del superelemento

Estremo notevole	Asta FEM	Estremo asta	Posizione	Ascissa	Tipo
Piede asta 4	4	Iniziale	0	0	Dissipa Mx, Dissipa My

Verifiche di duttilità §7.5.3.2 NTC18

Classe peggiore 1 <= 3 ad ascissa 0 in comb. SLV 1.

Controllo dello sforzo normale nelle zone dissipative di colonna §7.5.3.2 [7.5.3] NTC18

Estremo notevole	Comb.	Sfruttamento	NEd,ED	Npl,Rd,ED	Verifica
Piede asta 4	SLV 1	0.012	-885	74751.3	Si

Verifiche a resistenza ed instabilità della colonna §7.5.4.2 NTC18

Le verifiche previste non vengono condotte in quanto non esistono estremi notevoli dissipativi di trave idonei al calcolo di Ω .

NB: superelemento non sollecitato. Verifiche non condotte.

Verifiche di gerarchia delle resistenze trave-colonna §7.5.4.2 [7.5.11] NTC18

Dati del nodo

Quota nodo	Cerniera plastica	Interno	EN di colonne	Tipo	Colonna senza EN	EN di travi	Tipo	Travi senza EN
0	Si	No	Piede asta 4	Dissipa Mx, Dissipa My				

γ Rd = 1.3

Il nodo della colonna a quota 0 è zona di formazione di cerniera plastica e la verifica non deve essere condotta.

Superelemento in acciaio composto dall'asta 5

Caratteristiche del materiale

Acciaio: Fe360, fyk = 2350

Caratteristiche geometriche

Lunghezza: 220

Nodo iniziale: 5 Nodo finale: 64

Cerniera iniziale: No Cerniera finale: No

Sovreresistenza: 0% Sisma Z: No

Caratteristiche della sezione

Sezione	Rotazione	Area	Jx	Jy	ix	iy	Wx	Wy	Wplx	Wply
IPE220	180	33.4	2774.54	204.91	9.11	2.48	252.23	37.26	285.69	58.13

Verifiche di resistenza

Verifiche a forza assiale §4.2.4.1.2.1 - §4.2.4.1.2.2 NTC18

X	Comb.	Sfruttamento	Classe	NEd	Nc,Rd	Nt,Rd	Riduzione da taglio	px	py	Verifica
0	SLU 41	0.063	1	-4700	74751.3		1	0	0	Si

Verifiche a forza assiale SLD §4.2.4.1.2.1 - §4.2.4.1.2.2 NTC18

X	Comb.	Sfruttamento	Classe	NEd	Nc,Rd	Nt,Rd	Riduzione da taglio	px	py	Verifica
0	SLD 4	0.013	1	-941.1	74751.3		1	0	0	Si

Verifica a taglio X §4.2.4.1.2.4 NTC18

X	Comb.	Sfruttamento	VEd	Vc,Rd	Av	Interazione taglio-torsione	Riduzione torsione	Verifica
220	SLV 1	0.011	297.1	27788.2	21.51	Considerata	1	Si

Verifica a taglio X SLD §4.2.4.1.2.4 NTC18

X	Comb.	Sfruttamento	VEd	Vc,Rd	Av	Interazione taglio-torsione	Riduzione torsione	Verifica
0	SLD 1	0.006	156.6	27788.2	21.51	Considerata	1	Si

Verifica a taglio Y §4.2.4.1.2.4 NTC18

X	Comb.	Sfruttamento	VEd	Vc,Rd	Av	Interazione taglio-torsione	Riduzione torsione	Verifica
0	SLV 5	0.015	308.8	20558.8	15.91	Considerata	1	Si

Verifica a taglio Y SLD §4.2.4.1.2.4 NTC18

X	Comb.	Sfruttamento	VEd	Vc,Rd	Av	Interazione taglio-torsione	Riduzione torsione	Verifica
0	SLD 5	0.008	157.8	20558.8	15.91	Considerata	1	Si

Verifica a presso/tenso flessione retta Y §§ 4.2.4.1.2.3 - 4.2.4.1.2.6 - 4.2.4.1.2.7 - 4.2.4.1.2.8 NTC18

Verifiche eseguite utilizzando la formula conservativa (6.2) §6.2.1 EN 1993-1-1:2005.

X	Comb.	Sfruttamento	Classe	NEd	NRd	Rid. NRd da VEd	My,Ed	My,Rd	Rid. My,Rd da VEd	Rid. My,Rd da NEd	px	py	Verifica
220	SLU 42	0.132	1	-4625	74751.3	1	-9131	130104	1		0	0	Si

Verifica a presso/tenso flessione retta Y SLD §§ 4.2.4.1.2.3 - 4.2.4.1.2.6 - 4.2.4.1.2.7 - 4.2.4.1.2.8 NTC18

Verifiche eseguite utilizzando la formula conservativa (6.2) §6.2.1 EN 1993-1-1:2005.

X	Comb.	Sfruttamento	Classe	NEd	NRd	Rid. NRd da VEd	My,Ed	My,Rd	Rid. My,Rd da VEd	Rid. My,Rd da NEd	px	py	Verifica
220	SLD 1	0.145	1	-883.4	74751.3	1	-17357	130104	1		0	0	Si

Verifica a presso/tenso flessione deviata §§ 4.2.4.1.2.3 - 4.2.4.1.2.6 - 4.2.4.1.2.7 - 4.2.4.1.2.8 NTC18

Verifiche eseguite utilizzando la formula conservativa (6.2) §6.2.1 EN 1993-1-1:2005.

X	Comb.	Sfruttamento	Classe	NEd	NRd	Rid. NRd da VEd	Mx,Ed	Mx,Rd	My,Ed	My,Rd	Rid. Mx,Rd da VEd	Rid. Mx,Rd da NEd	Rid. My,Rd da VEd	Rid. My,Rd da NEd	α	β	ρ_x	ρ_y	Verifica
0	SLV 3	0.305	1	-947.7	74751.3	1	20211	639392	33893	130104	1		1				0	0	Si

Verifica a presso/tenso flessione deviata SLD §§ 4.2.4.1.2.3 - 4.2.4.1.2.6 - 4.2.4.1.2.7 - 4.2.4.1.2.8 NTC18

Verifiche eseguite utilizzando la formula conservativa (6.2) §6.2.1 EN 1993-1-1:2005.

X	Comb.	Sfruttamento	Classe	NEd	NRd	Rid. NRd da VEd	Mx,Ed	Mx,Rd	My,Ed	My,Rd	Rid. Mx,Rd da VEd	Rid. Mx,Rd da NEd	Rid. My,Rd da VEd	Rid. My,Rd da NEd	α	β	ρ_x	ρ_y	Verifica
0	SLD 4	0.164	1	-941.1	74751.3	1	10329	639392	17645	130104	1		1				0	0	Si

Verifiche ad instabilità

Caratteristiche iniziali

Membratura principale per controllo snellezza; Calcolo di snellezza ed N critici condotti secondo gli assi principali;

Curva X: a; Curva Y: b; Svergolamento: Carico all'estradosso; Curva svergolamento: b;

Dati per instabilità attorno a x

Numero rit.	Presente	Ascissa	Campata	β_x/m	Vincolo a entrambi estremi	λ_x/m	λ_{Ver}
1	Si		0				
			1-2	1	Si	24.1	Si, (<200)
2	Si		220				

Dati per instabilità attorno a y

Numero rit.	Presente	Ascissa	Campata	β_y/n	k,LT	kw,LT	Vincolo a entrambi estremi	λ_y/n	λ_{Ver}
1	Si		0						
			1-2	1	1	1	Si	88.8	Si, (<200)
2	Si		220						

Verifica di stabilità per pressoflessione §C.4.2.4.1.3.3.2 NTC18

X	Comb.	Sfruttamento	Classe	NEd	NRk	Mx,Ed max	Mx,Rk	My,Ed max	My,Rk	χ_x	χ_y	kxx	kxy	kyx	kyy	χ_{LT}	Verifica
0	SLV 7	0.166	1	-938.3	78488.9	67369.8	671361.6	10906.1	136609.4	0.987	0.626	0.595	0.246	0.994	0.411	0.936	Si

Verifica di stabilità per pressoflessione SLD §C.4.2.4.1.3.3.2 NTC18

X	Comb.	Sfruttamento	Classe	NEd	NRk	Mx,Ed max	Mx,Rk	My,Ed max	My,Rk	χ_x	χ_y	kxx	kxy	kyx	kyy	χ_{LT}	Verifica
0	SLD 7	0.097	1	-936.3	78488.9	34428.5	671361.6	6346.6	136609.4	0.987	0.626	0.595	0.246	0.994	0.41	0.936	Si

Verifica di stabilità a taglio anima Y §4.2.4.1.2.4 [4.2.27] NTC18

η	hw	tw	hw/tw max	Verifica	
1.2		20.2	0.6	60	Si

Verifica di stabilità a taglio anima Y SLD §4.2.4.1.2.4 [4.2.27] NTC18

η	hw	tw	hw/tw max	Verifica	
1.2		20.2	0.6	60	Si

Verifiche a deformabilità

Mensola X: No; Mensola Y: No.

Verifiche non eseguite in quanto il superelemento è verticale.

Verifiche § 7.5 NTC18

Estremi dissipativi del superelemento

Estremo notevole	Asta FEM	Estremo asta	Posizione	Ascissa	Tipo
Piede asta 5		5	Iniziale	0	Dissipa Mx, Dissipa My

Verifiche di duttilità §7.5.3.2 NTC18

Classe peggiore 1 <= 3 ad ascissa 0 in comb. SLV 1.

Controllo dello sforzo normale nelle zone dissipative di colonna §7.5.3.2 [7.5.3] NTC18

Estremo notevole	Comb.	Sfruttamento	NEd,ED	Npl,Rd,ED	Verifica
Piede asta 5	SLV 3	0.013	-947.7	74751.3	Si

Verifiche a resistenza ed instabilità della colonna §7.5.4.2 NTC18

Le verifiche previste non vengono condotte in quanto non esistono estremi notevoli dissipativi di trave idonei al calcolo di Ω .

NB: superelemento non sollecitato. Verifiche non condotte.

Verifiche di gerarchia delle resistenze trave-colonna §7.5.4.2 [7.5.11] NTC18
Dati del nodo

Quota nodo	Cerniera plastica	Interno	EN di colonne	Tipo	Colonna senza EN	EN di travi	Tipo	Travi senza EN
0	Si	No	Piede asta 5	Dissipa Mx, Dissipa My				

$\gamma_{Rd} = 1.3$

Il nodo della colonna a quota 0 è zona di formazione di cerniera plastica e la verifica non deve essere condotta.

Superelemento in acciaio composto dall'asta 22
Caratteristiche del materiale

Acciaio: Fe360, $f_{yk} = 2350$

Caratteristiche geometriche

Lunghezza: 220

Nodo iniziale: 6 Nodo finale: 71

Cerniera iniziale: No Cerniera finale: No

Sovraresistenza: 0% Sisma Z: No

Caratteristiche della sezione

Sezione	Rotazione	Area	Jx	Jy	ix	iy	Wx	Wy	Wplx	Wply
IPE200	180	28.51	1945.38	142.39	8.26	2.23	194.54	28.48	220.89	44.63

Verifiche di resistenza
Verifiche a forza assiale §4.2.4.1.2.1 - §4.2.4.1.2.2 NTC18

X	Comb.	Sfruttamento	Classe	NEd	Nc,Rd	Nt,Rd	Riduzione da taglio	p_x	p_y	Verifica
0	SLU 45	0.038	1	-2424.8	63815.1		1	0	0	Si

Verifiche a forza assiale SLD §4.2.4.1.2.1 - §4.2.4.1.2.2 NTC18

X	Comb.	Sfruttamento	Classe	NEd	Nc,Rd	Nt,Rd	Riduzione da taglio	p_x	p_y	Verifica
0	SLD 16	0.008	1	-538.3	63815.1		1	0	0	Si

Verifica a taglio X §4.2.4.1.2.4 NTC18

X	Comb.	Sfruttamento	VEd	Vc,Rd	Av	Interazione taglio-torsione	Riduzione torsione	Verifica
220	SLU 42	0.015	-360	23601.6	18.27	Considerata	1	Si

Verifica a taglio X SLD §4.2.4.1.2.4 NTC18

X	Comb.	Sfruttamento	VEd	Vc,Rd	Av	Interazione taglio-torsione	Riduzione torsione	Verifica
0	SLD 14	0.007	-161.4	23601.6	18.27	Considerata	1	Si

Verifica a taglio Y §4.2.4.1.2.4 NTC18

X	Comb.	Sfruttamento	VEd	Vc,Rd	Av	Interazione taglio-torsione	Riduzione torsione	Verifica
220	SLV 8	0.009	-159.2	18112.1	14.03	Considerata	1	Si

Verifica a taglio Y SLD §4.2.4.1.2.4 NTC18

X	Comb.	Sfruttamento	VEd	Vc,Rd	Av	Interazione taglio-torsione	Riduzione torsione	Verifica

X	Comb.	Sfruttamento	VEd	Vc,Rd	Av	Interazione taglio-torsione	Riduzione torsione	Verifica
220	SLD 8	0.004	-81.4	18119.9	14.03	Considerata	1	Si

Verifica a torsione §4.2.4.1.2.5 NTC18

X	Comb.	Sfruttamento torsione	TEd	TRd	Riduzione taglio resistente	Sfruttamento taglio-torsione	rEd,totale	rRd	Verifica
0	SLV 5	0.002	17.1	7852.4	Considerata				Si

Verifica a torsione SLD §4.2.4.1.2.5 NTC18

X	Comb.	Sfruttamento torsione	TEd	TRd	Riduzione taglio resistente	Sfruttamento taglio-torsione	rEd,totale	rRd	Verifica
0	SLD 5	0.001	8.8	7852.4	Considerata				Si

Verifica a presso/tenso flessione retta X §§ 4.2.4.1.2.3 - 4.2.4.1.2.6 - 4.2.4.1.2.7 - 4.2.4.1.2.8 NTC18

Verifiche eseguite utilizzando la formula conservativa (6.2) §6.2.1 EN 1993-1-1:2005.

X	Comb.	Sfruttamento	Classe	NEd	NRd	Rid. NRd da VEd	Mx,Ed	Mx,Rd	Rid. Mx,Rd da VEd	Rid. Mx,Rd da NEd	px	py	Verifica
139.3	SLV 3	0.015	1	-428.2	63815.1	1	4087	494376	1		0	0	Si

Verifica a presso/tenso flessione retta Y §§ 4.2.4.1.2.3 - 4.2.4.1.2.6 - 4.2.4.1.2.7 - 4.2.4.1.2.8 NTC18

Verifiche eseguite utilizzando la formula conservativa (6.2) §6.2.1 EN 1993-1-1:2005.

X	Comb.	Sfruttamento	Classe	NEd	NRd	Rid. NRd da VEd	My,Ed	My,Rd	Rid. My,Rd da VEd	Rid. My,Rd da NEd	px	py	Verifica
220	SLU 41	0.566	1	-2360.8	63815.1	1	52832	99893	1		0	0	Si

Verifica a presso/tenso flessione retta Y SLD §§ 4.2.4.1.2.3 - 4.2.4.1.2.6 - 4.2.4.1.2.7 - 4.2.4.1.2.8 NTC18

Verifiche eseguite utilizzando la formula conservativa (6.2) §6.2.1 EN 1993-1-1:2005.

X	Comb.	Sfruttamento	Classe	NEd	NRd	Rid. NRd da VEd	My,Ed	My,Rd	Rid. My,Rd da VEd	Rid. My,Rd da NEd	px	py	Verifica
220	SLD 13	0.205	1	-489	63815.1	1	19713	99893	1		0	0	Si

Verifica a presso/tenso flessione deviata §§ 4.2.4.1.2.3 - 4.2.4.1.2.6 - 4.2.4.1.2.7 - 4.2.4.1.2.8 NTC18

Verifiche eseguite utilizzando la formula conservativa (6.2) §6.2.1 EN 1993-1-1:2005.

X	Comb.	Sfruttamento	Classe	NEd	NRd	Rid. NRd da VEd	Mx,Ed	Mx,Rd	My,Ed	My,Rd	Rid. Mx,Rd da VEd	Rid. Mx,Rd da NEd	Rid. My,Rd da VEd	Rid. My,Rd da NEd	α	β	px	py	Verifica
220	SLV 16	0.303	1	-514.7	63815.1	1	221	494376	29403	99893	1		1				0	0	Si

Verifica a presso/tenso flessione deviata SLD §§ 4.2.4.1.2.3 - 4.2.4.1.2.6 - 4.2.4.1.2.7 - 4.2.4.1.2.8 NTC18

Verifiche eseguite utilizzando la formula conservativa (6.2) §6.2.1 EN 1993-1-1:2005.

X	Comb.	Sfruttamento	Classe	NEd	NRd	Rid. NRd da VEd	Mx,Ed	Mx,Rd	My,Ed	My,Rd	Rid. Mx,Rd da VEd	Rid. Mx,Rd da NEd	Rid. My,Rd da VEd	Rid. My,Rd da NEd	α	β	px	py	Verifica
212.7	SLD 16	0.194	1	-490.7	63815.1	1	293	494376	18519	99893	1		1				0	0	Si

Verifiche ad instabilità

Caratteristiche iniziali

Membratura principale per controllo snellezza; Calcolo di snellezze ed N critici condotti secondo gli assi principali;

Curva X: a; Curva Y: b; Svergolamento: Carico all'estradosso; Curva svergolamento: b;

Dati per instabilità attorno a x

Numero rit.	Presente	Ascissa	Campata	βx/m	Vincolo a entrambi estremi	λx/m	λVer
1	Si		0				
			1-2		1	26.6	Si, (<200)
2	Si		220				

Dati per instabilità attorno a y

Numero rit.	Presente	Ascissa	Campata	βy/n	k,LT	kw,LT	Vincolo a entrambi estremi	λy/n	λVer
1	Si		0						

Numero rit.	Presente	Ascissa	Campata	$\beta y/n$	k,LT	kw,LT	Vincolo a entrambi estremi	ly/n	λVer
			1-2	1	1	1	Si	98.4	Si, (<200)
2	Si	220							

Verifica di stabilità per pressoflessione §C.4.2.4.1.3.3.2 NTC18

X	Comb.	Sfruttamento	Classe	NEd	NRk	Mx,Ed max	Mx,Rk	My,Ed max	My,Rk	χ_x	χ_y	kxx	kxy	kyy	χ_{LT}	Verifica	
0	SLU 45	0.3	1	-2424.8	67005.9	0	519095.1	52831.9	104887.5	0.981	0.56	0.602	0.263	0.981	0.438	0.915	Si

Verifica di stabilità per pressoflessione SLD §C.4.2.4.1.3.3.2 NTC18

X	Comb.	Sfruttamento	Classe	NEd	NRk	Mx,Ed max	Mx,Rk	My,Ed max	My,Rk	χ_x	χ_y	kxx	kxy	kyy	χ_{LT}	Verifica	
0	SLD 15	0.108	1	-538.3	67005.9	5501.2	519095.1	19712.6	104887.5	0.981	0.56	0.609	0.245	0.996	0.408	0.913	Si

Verifica di stabilità a taglio anima Y §4.2.4.1.2.4 [4.2.27] NTC18

η	hw	tw	hw/tw max	Verifica
1.2	18.3	0.6	60	Si

Verifica di stabilità a taglio anima Y SLD §4.2.4.1.2.4 [4.2.27] NTC18

η	hw	tw	hw/tw max	Verifica
1.2	18.3	0.6	60	Si

Verifiche a deformabilità

Mensola X: No; Mensola Y: No.
Verifiche non eseguite in quanto il superelemento è verticale.

Verifiche § 7.5 NTC18

Estremi dissipativi del superelemento

Estremo notevole	Asta FEM	Estremo asta	Posizione	Ascissa	Tipo
Piede asta 22	22	Iniziale	0	0	Dissipa Mx, Dissipa My

Verifiche di duttilità §7.5.3.2 NTC18

Classe peggiore 1 <= 3 ad ascissa 0 in comb. SLV 1.

Controllo dello sforzo normale nelle zone dissipative di colonna §7.5.3.2 [7.5.3] NTC18

Estremo notevole	Comb.	Sfruttamento	NEd,ED	Npl,Rd,ED	Verifica
Piede asta 22	SLV 15	0.009	-563.9	63815.1	Si

Verifiche a resistenza ed instabilità della colonna §7.5.4.2 NTC18

Le verifiche previste non vengono condotte in quanto non esistono estremi notevoli dissipativi di trave idonei al calcolo di Ω .
NB: superelemento non sollecitato. Verifiche non condotte.

Verifiche di gerarchia delle resistenze trave-colonna §7.5.4.2 [7.5.11] NTC18

Dati del nodo

Quota nodo	Cerniera plastica	Interno	EN di colonne	Tipo	Colonna senza EN	EN di travi	Tipo	Travi senza EN
0	Si	No	Piede asta 22	Dissipa Mx, Dissipa My				

$\gamma_{Rd} = 1.3$

Il nodo della colonna a quota 0 è zona di formazione di cerniera plastica e la verifica non deve essere condotta.

Superelemento in acciaio composto dall'asta 80 – Asta in acciaio di supporto dei pannelli fotovoltaici [si riporta la verifica di un solo elemento di supporto dei pannelli fotovoltaici rappresentativo di tutti gli elementi a cui sono fissati i pannelli fotovoltaici]

Superelemento in acciaio composto dall'asta 80

Caratteristiche del materiale

Acciaio: Fe360, fyk = 2350, fuk = 3600

Caratteristiche geometriche

Lunghezza: 169

Nodo iniziale: 82 Nodo finale: 48

Cerniera iniziale: No Cerniera finale: No

Sovreresistenza: 0% Sisma Z: No

Irrigidimento: No

Caratteristiche della sezione

Sezione	Rotazione	Area	Jx	Jy	ix	iy	Wx	Wy	Wplx	Wply
OMEGA 80*40*25*3	0	6.82	55.15	29.58	2.84	2.08	13.23	7.04	17.32	13.25

Processo di formatura: A rullo.

Caratteristiche della sezione lorda ricavate dalla sezione a spigoli vivi

Area,g	Wx,y max,g	Wx,y min,g	Wy,x max,g	Wy,x min,g	xS	yS	Iw	yj
6.91	13.51	14.64	6.83	6.83	0	6.6	166.74	6.8

Caratteristiche della sezione efficace

Area,eff	Wx+,y max,eff	Wx+,y min,eff	Wx-,y max,eff	Wx-,y min,eff	Wy+,x max,eff	Wy+,x min,eff	Wy-,x max,eff	Wy-,x min,eff	eNx	eNy
6.91	13.51	14.64	13.51	14.64	6.83	6.83	6.83	6.83	0	0

Controlli geometrici

Verifica del massimo raggio §5.1(6) EN1993-1-3:2007

$r = 0.45 < 10.52$ - SODDISFATTA

Verifica del minimo raggio C11.3.4.11.2.1 NTC18

$r = 0.45 > 0.3$ - SODDISFATTA

Verifica dello spessore §3.2.4 EN1993-1-3:2007

$t = 0.3; 0.08 < t < 1.6$ - SODDISFATTA

Verifica del rapporto larghezza/spessore Tab. C4.2.XIX NTC18

Lato	b/t	c/t	d/t	Max rapporto	Verifica
1-2		8.33		50	Si
2-3	26.67			60	Si
3-4	13.33			500	Si
5-4	26.67			60	Si
6-5		8.33		50	Si

Verifica degli angoli interni §5.5.3.2 EN1993-1-3:2007; Tab. C4.2.XIX NTC18

Id	Φ	Φ_{min}	Φ_{max}	Verifica
2	90	45	135	Si
3	90	45	90	Si
4	90	45	90	Si
5	90	45	135	Si

Verifiche di resistenza

Verifica a taglio Y §C4.2.12.1.5.4.1 NTC18

X	Comb.	Sfruttamento	VEd	Vb,Rd	fyk	Verifica
169	SLU 36	0.002	-11.8	5997.2	2350	Si

Verifica a taglio Y SLD §C4.2.12.1.5.4.1 NTC18

X	Comb.	Sfruttamento	VEd	Vb,Rd	fyk	Verifica
169	SLD 14	0.002	-9.1	5997.2	2350	Si

Verifica a flessione semplice X §§C4.2.12.1.5.3-C4.2.12.1.5.4 NTC18

X	Comb.	Sfruttamento	Mx,Ed	Mcx,Rd	fymk	fyk	Verifica
169	SLU 52	0.028	994.4	35421.5	2811.63		Si

Verifica a flessione semplice X SLD §§C4.2.12.1.5.3-C4.2.12.1.5.4 NTC18

X	Comb.	Sfruttamento	Mx,Ed	Mcx,Rd	fymk	fyk	Verifica
28.2	SLD 11	0.001	21.2	35421.5	2811.63		Si

Verifica a flessione semplice Y §§C4.2.12.1.5.3-C4.2.12.1.5.4 NTC18

X	Comb.	Sfruttamento	My,Ed	Mcy,Rd	fymk	fyk	Verifica
16.9	SLV 1	0.001	27.3	18278.6	2811.63		Si

Verifica a flessione semplice Y SLD §§C4.2.12.1.5.3-C4.2.12.1.5.4 NTC18

X	Comb.	Sfruttamento	My,Ed	Mcy,Rd	fymk	fyk	Verifica
16.9	SLD 1	0.001	13.9	18278.6	2811.63		Si

Verifica a flessione deviata §§C4.2.12.1.5.3-C4.2.12.1.5.4 NTC18

X	Comb.	Sfruttamento	Mx,Ed	Mcx,Rd	My,Ed	Mcy,Rd	fymk	fyk	Verifica
169	SLV 1	0.037	765	35421	273	18279	2811.63		Si

Verifica a flessione deviata SLD §§C4.2.12.1.5.3-C4.2.12.1.5.4 NTC18

X	Comb.	Sfruttamento	Mx,Ed	Mcx,Rd	My,Ed	Mcy,Rd	fymk	fyk	Verifica
169	SLD 1	0.029	765	35421	139	18279	2811.63		Si

Verifiche ad instabilità

Caratteristiche iniziali

Membratura principale per controllo snellezza; Calcolo di snellezze ed N critici condotti secondo gli assi principali;

Curva X: b; Curva Y: b; Svergolamento: Carico all'estradosso; Curva svergolamento: b;

Verifica condotta considerando anche il carico critico Ncr a torsione/flesso-torsione.

Dati per instabilità attorno a x

Numero rit.	Presente	Ascissa	Campata	β_x/m	Vincolo a entrambi estremi	λ_x/m	λ_{Ver}
1	Si	0					
			1-2	1	Si	59.4	Si, (<200)
2	Si	169					

Dati per instabilità attorno a y

Numero rit.	Presente	Ascissa	Campata	β_y/n	k,LT	kw,LT	Vincolo a entrambi estremi	λ_y/n	λ_{Ver}
1	Si	0							
			1-2	1	1	1	Si	81.2	Si, (<200)
2	Si	169							

Verifica a svergolamento §C4.2.12.1.6.2 NTC18

X	Comb.	Sfruttamento	Obblig.	Mx,Ed	Mb,Rd,x	χ_{LT}	$\lambda_{adim. LT}$	L,LT	M,critico	Verifica
---	-------	--------------	---------	-------	---------	-------------	----------------------	------	-----------	----------

X	Comb.	Sfruttamento	Obblig.	Mx,Ed	Mb,Rd,x	χ_{LT}	λ adim. LT	L,LT	M,critico	Verifica
169	SLU 52	0.05	Si	994.4	19791	0.668	0.889	169	39366	Si

Verifica a svergolamento SLD §C4.2.12.1.6.2 NTC18

X	Comb.	Sfruttamento	Obblig.	Mx,Ed	Mb,Rd,x	χ_{LT}	λ adim. LT	L,LT	M,critico	Verifica
28.2	SLD 11	0.001	Si	21.2	19791	0.668	0.889	169	39366	Si

Verifica di stabilità per pressoflessione con svergolamento §6.5.2 ENV 1993-1-3:2000

X	Comb.	Sfruttamento	NEd	Mx,Ed	My,Ed	Aeff	Weff,x,com	Weff,y,com	χ_{min}	χ_{lat}	kx	ky	kLT	χ_{LT}	Verifica
169	SIV 1	0.053	0	765	272.8	6.82	14.4	6.8	0.225	0.225	1	1	1	0.668	Si

Verifica di stabilità per pressoflessione con svergolamento SLD §6.5.2 ENV 1993-1-3:2000

X	Comb.	Sfruttamento	NEd	Mx,Ed	My,Ed	Aeff	Weff,x,com	Weff,y,com	χ_{min}	χ_{lat}	kx	ky	kLT	χ_{LT}	Verifica
169	SLD 1	0.045	0	765	138.7	6.82	14.4	6.8	0.225	0.225	1	1	1	0.668	Si

Verifiche a deformabilità

Mensola X: No; Mensola Y: No.

Verifiche eseguite considerando, se necessario, la sezione efficace.

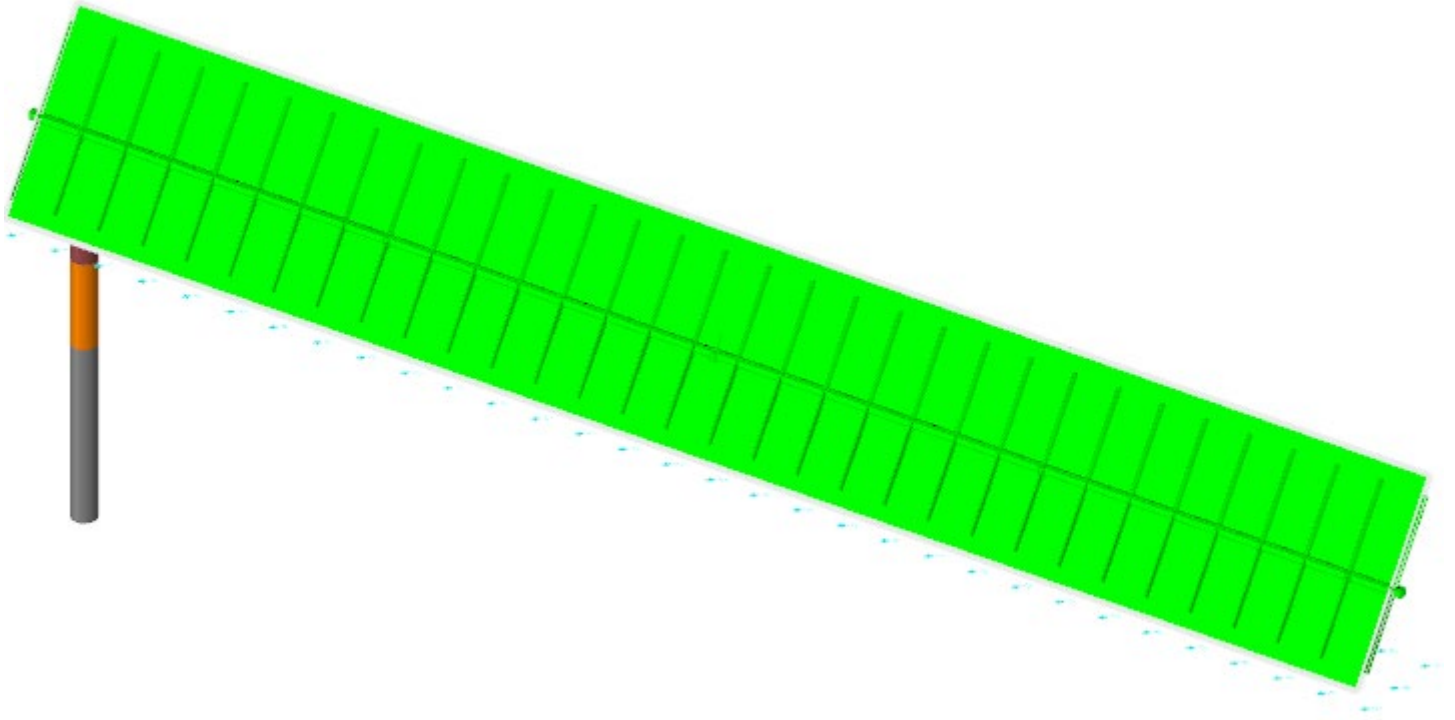
Frecce lungo X

Ascissa freccia	Combinazione	Freccia	Luce	L/f	L/f,min	Tipo	Verifica
107	SLE RA 1	0	169	10000	250	Totale	Si
107	SLE RA 2	0	169	10000	250	Totale	Si
107	SLE RA 3	0	169	10000	250	Totale	Si
107	SLE RA 4	0	169	10000	250	Totale	Si
107	SLE RA 5	0	169	10000	250	Totale	Si
90.1	SLE RA 2	0	169	10000	350	Variabile	Si
90.1	SLE RA 3	0	169	10000	350	Variabile	Si
0	SLE RA 4	0	169	10000	350	Variabile	Si
90.1	SLE RA 5	0	169	10000	350	Variabile	Si
90.1	SLE RA 6	0	169	10000	350	Variabile	Si

Frecce lungo Y

Ascissa freccia	Combinazione	Freccia	Luce	L/f	L/f,min	Tipo	Verifica
107	SLE RA 1	0.008	169	10000	250	Totale	Si
107	SLE RA 2	0.008	169	10000	250	Totale	Si
107	SLE RA 3	0.008	169	10000	250	Totale	Si
107	SLE RA 4	0.008	169	10000	250	Totale	Si
107	SLE RA 5	0.008	169	10000	250	Totale	Si
84.5	SLE RA 2	0	169	10000	350	Variabile	Si
84.5	SLE RA 3	0	169	10000	350	Variabile	Si
0	SLE RA 4	0	169	10000	350	Variabile	Si
84.5	SLE RA 5	0	169	10000	350	Variabile	Si
84.5	SLE RA 6	0	169	10000	350	Variabile	Si

RAPPRESENTAZIONE GENERALE DELLE VERIFICHE VELA INCLINATA 60°



Superelemento in acciaio composto da 2 aste: 100, 101

Caratteristiche del materiale

Acciaio: Fe360, fyk = 2350

Caratteristiche geometriche

Lunghezza: 120

Nodo iniziale: 41 Nodo finale: 39

Cerniera iniziale: No Cerniera finale: No

Sovreresistenza: 0% Sisma Z: No

Caratteristiche della sezione

Sezione	Rotazione	Area	Jx	Jy	ix	iy	Wx	Wy	Wplx	Wply
EN10219 150x150x8	0	43.24	1411.83	1411.83	5.71	5.71	188.24	188.24	225.96	225.96

Verifiche di resistenza

Verifica a taglio X §4.2.4.1.2.4 NTC18

X	Comb.	Sfruttamento	VEd	Vc,Rd	Av	Interazione taglio-torsione	Riduzione torsione	Verifica
100	SLV 8	0.001	-29.7	27938.2	21.62	Considerata	1	Si

Verifica a taglio Y §4.2.4.1.2.4 NTC18

X	Comb.	Sfruttamento	VEd	Vc,Rd	Av	Interazione taglio-torsione	Riduzione torsione	Verifica
0	SLU 46	0.03	830.7	27938.2	21.62	Considerata	1	Si

Verifica a taglio Y SLD §4.2.4.1.2.4 NTC18

X	Comb.	Sfruttamento	VEd	Vc,Rd	Av	Interazione taglio-torsione	Riduzione torsione	Verifica
0	SLD 14	0.004	123.9	27938.2	21.62	Considerata	1	Si

Verifica a flessione semplice X §§ 4.2.4.1.2.3 - 4.2.4.1.2.6 - 4.2.4.1.2.7 - 4.2.4.1.2.8 NTC18

X	Comb.	Sfruttamento	Classe	Mx,Ed	Mx,Rd	Rid. Mx,Rd da VEd	px	py	Verifica
0	SLU 45	0.086	1	43285.9	505711.7	1	0	0	Si

Verifica a flessione semplice X SLD §§ 4.2.4.1.2.3 - 4.2.4.1.2.6 - 4.2.4.1.2.7 - 4.2.4.1.2.8 NTC18

X	Comb.	Sfruttamento	Classe	Mx,Ed	Mx,Rd	Rid. Mx,Rd da VEd	px	py	Verifica
50	SLD 4	0.005	1	2674.1	505711.7	1	0	0	Si

Verifica a flessione semplice Y §§ 4.2.4.1.2.3 - 4.2.4.1.2.6 - 4.2.4.1.2.7 - 4.2.4.1.2.8 NTC18

X	Comb.	Sfruttamento	Classe	My,Ed	My,Rd	Rid. My,Rd da VEd	px	py	Verifica
93.3	SLV 15	0	1	191.7	505711.7	1	0	0	Si

Verifica a flessione deviata §§ 4.2.4.1.2.3 - 4.2.4.1.2.6 - 4.2.4.1.2.7 - 4.2.4.1.2.8 NTC18

X	Comb.	Sfruttamento	Classe	Mx,Ed	Mx,Rd	My,Ed	My,Rd	Rid. Mx,Rd da VEd	Rid. My,Rd da VEd	α	β	px	py	Verifica
0	SLV 6	0.021	1	7602	505712	-3030	505712	1	1			0	0	Si

Verifica a flessione deviata SLD §§ 4.2.4.1.2.3 - 4.2.4.1.2.6 - 4.2.4.1.2.7 - 4.2.4.1.2.8 NTC18

X	Comb.	Sfruttamento	Classe	Mx,Ed	Mx,Rd	My,Ed	My,Rd	Rid. Mx,Rd da VEd	Rid. My,Rd da VEd	α	β	px	py	Verifica
0	SLD 5	0.018	1	7575	505712	-1637	505712	1	1			0	0	Si

Verifiche ad instabilità

Caratteristiche iniziali

Membratura principale per controllo snellezza; Calcolo di snellezze ed N critici condotti secondo gli assi principali;

Curva X: c; Curva Y: c; Svergolamento: Carico all'estradosso; Curva svergolamento: d;

Dati per instabilità attorno a x

Numero rit.	Presente	Ascissa	Campata	$\beta x/m$	Vincolo a entrambi estremi	$\lambda x/m$	λVer
1	Si	0					
			1-2	1	Si	21	Si, (<200)
2	Si	120					

Dati per instabilità attorno a y

Numero rit.	Presente	Ascissa	Campata	$\beta y/n$	k,LT	kw,LT	Vincolo a entrambi estremi	$\lambda y/n$	λVer
1	Si	0							
			1-2	1	1	1	Si	21	Si, (<200)
2	Si	120							

Verifica a svergolamento §4.2.4.1.3.2 NTC18

X	Comb.	Sfruttamento	Classe	Obblig.	M_x,Ed	M_b,Rd,x	χ,LT	$\lambda adim. LT$	L,LT	$M_c,critico$	Verifica	
0	SLU 46	0.086	1	Si	43285.9	505711.7		1	0.068	120	114876212.2	Si

Verifica di stabilità per pressoflessione §C.4.2.4.1.3.3.2 NTC18

X	Comb.	Sfruttamento	Classe	NEd	NRk	$M_x,Ed max$	M_x,Rk	$M_y,Ed max$	M_y,Rk	χ_x	χ_y	k_{xx}	k_{xy}	k_{yx}	k_{yy}	χ,LT	Verifica
120	SLV 6	0.016	1	0	101619.8	7602	530997.3	3029.5	530997.3	0.987	0.987	0.404	0.318	0.826	0.53	1	Si

Verifica di stabilità per pressoflessione SLD §C.4.2.4.1.3.3.2 NTC18

X	Comb.	Sfruttamento	Classe	NEd	NRk	$M_x,Ed max$	M_x,Rk	$M_y,Ed max$	M_y,Rk	χ_x	χ_y	k_{xx}	k_{xy}	k_{yx}	k_{yy}	χ,LT	Verifica
120	SLD 6	0.014	1	0	101619.8	7575.4	530997.3	1637.1	530997.3	0.987	0.987	0.402	0.318	0.826	0.53	1	Si

Verifica di stabilità a taglio anima X §4.2.4.1.2.4 [4.2.27] NTC18

η	hw	tw	hw/tw max	Verifica	
1.2		13.4	0.8	60	Si

Verifica di stabilità a taglio anima Y §4.2.4.1.2.4 [4.2.27] NTC18

η	hw	tw	hw/tw max	Verifica	
1.2		13.4	0.8	60	Si

Verifica di stabilità a taglio anima Y SLD §4.2.4.1.2.4 [4.2.27] NTC18

η	hw	tw	hw/tw max	Verifica	
1.2		13.4	0.8	60	Si

Verifiche a deformabilità

Mensola X: No; Mensola Y: No.

Frecce lungo X

Ascissa freccia	Combinazione	Freccia	Luce	L/f	L/f,min	Tipo	Verifica
60	SLE RA 1	0	120	10000	250	Totale	Si
60	SLE RA 2	0	120	10000	250	Totale	Si
60	SLE RA 3	0	120	10000	250	Totale	Si
60	SLE RA 4	0	120	10000	250	Totale	Si
60	SLE RA 5	0	120	10000	250	Totale	Si
56.7	SLE RA 2	0	120	10000	350	Variabile	Si
56.7	SLE RA 3	0	120	10000	350	Variabile	Si

Ascissa freccia	Combinazione	Freccia	Luce	L/f	L/f,min	Tipo	Verifica
0	SLE RA 4	0	120	10000	350	Variabile	Si
56.7	SLE RA 5	0	120	10000	350	Variabile	Si
56.7	SLE RA 6	0	120	10000	350	Variabile	Si

Frecce lungo Y

Ascissa freccia	Combinazione	Freccia	Luce	L/f	L/f,min	Tipo	Verifica
43.3	SLE RA 1	0.001	120	10000	250	Totale	Si
40	SLE RA 2	0.003	120	10000	250	Totale	Si
40	SLE RA 3	0.003	120	10000	250	Totale	Si
43.3	SLE RA 4	0.001	120	10000	250	Totale	Si
40	SLE RA 5	0.002	120	10000	250	Totale	Si
40	SLE RA 2	0.002	120	10000	350	Variabile	Si
40	SLE RA 3	0.002	120	10000	350	Variabile	Si
0	SLE RA 4	0	120	10000	350	Variabile	Si
40	SLE RA 5	0.001	120	10000	350	Variabile	Si
40	SLE RA 6	0.003	120	10000	350	Variabile	Si

Superelemento in acciaio composto da 2 aste: 102, 103

Caratteristiche del materiale

Acciaio: Fe360, fyk = 2350

Caratteristiche geometriche

Lunghezza: 120

Nodo iniziale: 71 Nodo finale: 73

Cerniera iniziale: No Cerniera finale: No

Sovreresistenza: 0% Sisma Z: No

Caratteristiche della sezione

Sezione	Rotazione	Area	Jx	Jy	ix	iy	Wx	Wy	Wplx	Wply
EN10219 150x150x8	0	43.24	1411.83	1411.83	5.71	5.71	188.24	188.24	225.96	225.96

Verifiche di resistenza

Verifica a taglio X §4.2.4.1.2.4 NTC18

X	Comb.	Sfruttamento	VEd	Vc,Rd	Av	Interazione taglio-torsione	Riduzione torsione	Verifica
100	SLV 12	0.001	29.7	27938.2	21.62	Considerata	1	Si

Verifica a taglio Y §4.2.4.1.2.4 NTC18

X	Comb.	Sfruttamento	VEd	Vc,Rd	Av	Interazione taglio-torsione	Riduzione torsione	Verifica
0	SLU 46	0.03	830.7	27938.2	21.62	Considerata	1	Si

Verifica a taglio Y SLD §4.2.4.1.2.4 NTC18

X	Comb.	Sfruttamento	VEd	Vc,Rd	Av	Interazione taglio-torsione	Riduzione torsione	Verifica
0	SLD 1	0.004	123.9	27938.2	21.62	Considerata	1	Si

Verifica a flessione semplice X §§ 4.2.4.1.2.3 - 4.2.4.1.2.6 - 4.2.4.1.2.7 - 4.2.4.1.2.8 NTC18

X	Comb.	Sfruttamento	Classe	Mx,Ed	Mx,Rd	Rid. Mx,Rd da VEd	px	py	Verifica

X	Comb.	Sfruttamento	Classe	Mx,Ed	Mx,Rd	Rid. Mx,Rd da VEd	px	py	Verifica
0	SLU 45	0.086	1	43285.9	505711.7	1	0	0	Si

Verifica a flessione semplice X SLD §§ 4.2.4.1.2.3 - 4.2.4.1.2.6 - 4.2.4.1.2.7 - 4.2.4.1.2.8 NTC18

X	Comb.	Sfruttamento	Classe	Mx,Ed	Mx,Rd	Rid. Mx,Rd da VEd	px	py	Verifica
50	SLD 16	0.005	1	2674.1	505711.7	1	0	0	Si

Verifica a flessione semplice Y §§ 4.2.4.1.2.3 - 4.2.4.1.2.6 - 4.2.4.1.2.7 - 4.2.4.1.2.8 NTC18

X	Comb.	Sfruttamento	Classe	My,Ed	My,Rd	Rid. My,Rd da VEd	px	py	Verifica
93.3	SLV 3	0	1	-191.7	505711.7	1	0	0	Si

Verifica a flessione deviata §§ 4.2.4.1.2.3 - 4.2.4.1.2.6 - 4.2.4.1.2.7 - 4.2.4.1.2.8 NTC18

X	Comb.	Sfruttamento	Classe	Mx,Ed	Mx,Rd	My,Ed	My,Rd	Rid. Mx,Rd da VEd	Rid. My,Rd da VEd	α	β	px	py	Verifica
0	SLV 9	0.021	1	7602	505712	3030	505712	1	1			0	0	Si

Verifica a flessione deviata SLD §§ 4.2.4.1.2.3 - 4.2.4.1.2.6 - 4.2.4.1.2.7 - 4.2.4.1.2.8 NTC18

X	Comb.	Sfruttamento	Classe	Mx,Ed	Mx,Rd	My,Ed	My,Rd	Rid. Mx,Rd da VEd	Rid. My,Rd da VEd	α	β	px	py	Verifica
0	SLD 10	0.018	1	7575	505712	1637	505712	1	1			0	0	Si

Verifiche ad instabilità

Caratteristiche iniziali

Membratura principale per controllo snellezza; Calcolo di snellezze ed N critici condotti secondo gli assi principali;

Curva X: c; Svergolamento: Carico all'estradosso; Curva svergolamento: d;

Dati per instabilità attorno a x

Numero rit.	Presente	Ascissa	Campata	$\beta x/m$	Vincolo a entrambi estremi	$\lambda x/m$	λVer
1	Si		0				
			1-2	1	Si	21	Si, (<200)
2	Si	120					

Dati per instabilità attorno a y

Numero rit.	Presente	Ascissa	Campata	$\beta y/n$	k_{LT}	$k_{w,LT}$	Vincolo a entrambi estremi	$\lambda y/n$	λVer
1	Si	0							
			1-2	1	1	1	Si	21	Si, (<200)
2	Si	120							

Verifica a svergolamento §4.2.4.1.3.2 NTC18

X	Comb.	Sfruttamento	Classe	Obblig.	Mx,Ed	Mb,Rd,x	χ_{LT}	λ adim. LT	L _{LT}	M _{critico}	Verifica
0	SLU 46	0.086	1	Si	43285.9	505711.7	1	0.068	120	114876212.2	Si

Verifica di stabilità per pressoflessione §C.4.2.4.1.3.3.2 NTC18

X	Comb.	Sfruttamento	Classe	NEd	NRk	Mx,Ed max	Mx,Rk	My,Ed max	My,Rk	χ_x	χ_y	k _{xx}	k _{xy}	k _{yx}	k _{yy}	χ_{LT}	Verifica
118.7	SLV 9	0.016	1	0	101619.8	7602	530997.3	3029.5	530997.3	0.987	0.987	0.404	0.318	0.826	0.53	1	Si

Verifica di stabilità per pressoflessione SLD §C.4.2.4.1.3.3.2 NTC18

X	Comb.	Sfruttamento	Classe	NEd	NRk	Mx,Ed max	Mx,Rk	My,Ed max	My,Rk	χ_x	χ_y	k _{xx}	k _{xy}	k _{yx}	k _{yy}	χ_{LT}	Verifica
118.7	SLD 9	0.014	1	0	101619.8	7575.4	530997.3	1637.1	530997.3	0.987	0.987	0.402	0.318	0.826	0.53	1	Si

Verifica di stabilità a taglio anima X §4.2.4.1.2.4 [4.2.27] NTC18

η	hw	tw	hw/tw max	Verifica

η	hw	tw	hw/tw max	Verifica
1.2	13.4	0.8	60	Si

Verifica di stabilità a taglio anima Y §4.2.4.1.2.4 [4.2.27] NTC18

η	hw	tw	hw/tw max	Verifica
1.2	13.4	0.8	60	Si

Verifica di stabilità a taglio anima Y SLD §4.2.4.1.2.4 [4.2.27] NTC18

η	hw	tw	hw/tw max	Verifica
1.2	13.4	0.8	60	Si

Verifiche a deformabilità

Mensola X: No; Mensola Y: No.

Frecce lungo X

Ascissa freccia	Combinazione	Freccia	Luce	L/f	L/f,min	Tipo	Verifica
60	SLE RA 1	0	120	10000	250	Totale	Si
60	SLE RA 2	0	120	10000	250	Totale	Si
60	SLE RA 3	0	120	10000	250	Totale	Si
60	SLE RA 4	0	120	10000	250	Totale	Si
60	SLE RA 5	0	120	10000	250	Totale	Si
56.7	SLE RA 2	0	120	10000	350	Variabile	Si
56.7	SLE RA 3	0	120	10000	350	Variabile	Si
0	SLE RA 4	0	120	10000	350	Variabile	Si
56.7	SLE RA 5	0	120	10000	350	Variabile	Si
56.7	SLE RA 6	0	120	10000	350	Variabile	Si

Frecce lungo Y

Ascissa freccia	Combinazione	Freccia	Luce	L/f	L/f,min	Tipo	Verifica
43.3	SLE RA 1	0.001	120	10000	250	Totale	Si
40	SLE RA 2	0.003	120	10000	250	Totale	Si
40	SLE RA 3	0.003	120	10000	250	Totale	Si
43.3	SLE RA 4	0.001	120	10000	250	Totale	Si
40	SLE RA 5	0.002	120	10000	250	Totale	Si
40	SLE RA 2	0.002	120	10000	350	Variabile	Si
40	SLE RA 3	0.002	120	10000	350	Variabile	Si
0	SLE RA 4	0	120	10000	350	Variabile	Si
40	SLE RA 5	0.001	120	10000	350	Variabile	Si
40	SLE RA 6	0.003	120	10000	350	Variabile	Si

Superelemento in acciaio composto da 7 aste: 23, 24, 25, 26, 27, 28, 29
Caratteristiche del materiale

Acciaio: Fe360, $f_{yk} = 2350$

Caratteristiche geometriche

Lunghezza: 700

Nodo iniziale: 48 Nodo finale: 41

Cerniera iniziale: No Cerniera finale: No

Sovreresistenza: 0% Sisma Z: No

Caratteristiche della sezione

Sezione	Rotazione	Area	Jx	Jy	ix	iy	Wx	Wy	Wplx	Wply
EN10219 150x150x8	0	43.24	1411.83	1411.83	5.71	5.71	188.24	188.24	225.96	225.96

Verifiche di resistenza
Verifiche a forza assiale §4.2.4.1.2.1 - §4.2.4.1.2.2 NTC18

X	Comb.	Sfruttamento	Classe	NEd	Nc,Rd	Nt,Rd	Riduzione da taglio	px	py	Verifica
0	SLU 45	0.005	1	-503.4	96780.8		1	0	0	Si

Verifiche a forza assiale SLD §4.2.4.1.2.1 - §4.2.4.1.2.2 NTC18

X	Comb.	Sfruttamento	Classe	NEd	Nc,Rd	Nt,Rd	Riduzione da taglio	px	py	Verifica
603.3	SLD 2	0.002	1	-147	96780.8		1	0	0	Si

Verifica a taglio X §4.2.4.1.2.4 NTC18

X	Comb.	Sfruttamento	VEd	Vc,Rd	Av	Interazione taglio-torsione	Riduzione torsione	Verifica
53.3	SLV 7	0.006	-168.7	27872.1	21.62	Considerata	1	Si

Verifica a taglio X SLD §4.2.4.1.2.4 NTC18

X	Comb.	Sfruttamento	VEd	Vc,Rd	Av	Interazione taglio-torsione	Riduzione torsione	Verifica
20	SLD 8	0.003	-91.2	27897.7	21.62	Considerata	1	Si

Verifica a taglio Y §4.2.4.1.2.4 NTC18

X	Comb.	Sfruttamento	VEd	Vc,Rd	Av	Interazione taglio-torsione	Riduzione torsione	Verifica
0	SLU 46	0.118	3302.2	27938.2	21.62	Considerata	1	Si

Verifica a taglio Y SLD §4.2.4.1.2.4 NTC18

X	Comb.	Sfruttamento	VEd	Vc,Rd	Av	Interazione taglio-torsione	Riduzione torsione	Verifica
0	SLD 14	0.018	496.3	27938.2	21.62	Considerata	1	Si

Verifica a torsione §4.2.4.1.2.5 NTC18

X	Comb.	Sfruttamento torsione	TEd	TRd	Riduzione taglio resistente	Sfruttamento taglio-torsione	τEd,totale	τRd	Verifica
700	SLV 7	0.003	-1164.9	412340.1	Considerata				Si

Verifica a torsione SLD §4.2.4.1.2.5 NTC18

X	Comb.	Sfruttamento torsione	TEd	TRd	Riduzione taglio resistente	Sfruttamento taglio-torsione	τEd,totale	τRd	Verifica
700	SLD 7	0.002	-700.4	412340.1	Considerata				Si

Verifica a flessione semplice X §§ 4.2.4.1.2.3 - 4.2.4.1.2.6 - 4.2.4.1.2.7 - 4.2.4.1.2.8 NTC18

X	Comb.	Sfruttamento	Classe	Mx,Ed	Mx,Rd	Rid. Mx,Rd da VEd	px	py	Verifica
156.7	SLV 4	0.02	1	-10121.9	505711.7	1	0	0	Si

Verifica a flessione semplice X SLD §§ 4.2.4.1.2.3 - 4.2.4.1.2.6 - 4.2.4.1.2.7 - 4.2.4.1.2.8 NTC18

X	Comb.	Sfruttamento	Classe	Mx,Ed	Mx,Rd	Rid. Mx,Rd da VEd	px	py	Verifica
656.7	SLD 15	0.016	1	-7925.3	505711.7	1	0	0	Si

Verifica a flessione semplice Y §§ 4.2.4.1.2.3 - 4.2.4.1.2.6 - 4.2.4.1.2.7 - 4.2.4.1.2.8 NTC18

X	Comb.	Sfruttamento	Classe	My,Ed	My,Rd	Rid. My,Rd da VEd	px	py	Verifica

X	Comb.	Sfruttamento	Classe	My,Ed	My,Rd	Rid. My,Rd da VEd	px	py	Verifica
666.7	SLV 9	0.001	1	736.1	505711.7	1	0	0	Si

Verifica a flessione deviata §§ 4.2.4.1.2.3 - 4.2.4.1.2.6 - 4.2.4.1.2.7 - 4.2.4.1.2.8 NTC18

X	Comb.	Sfruttamento	Classe	Mx,Ed	Mx,Rd	My,Ed	My,Rd	Rid. Mx,Rd da VEd	Rid. My,Rd da VEd	α	β	px	py	Verifica
0	SLV 8	0.152	1	53553	505712	23430	505712	1	1			0	0	Si

Verifica a flessione deviata SLD §§ 4.2.4.1.2.3 - 4.2.4.1.2.6 - 4.2.4.1.2.7 - 4.2.4.1.2.8 NTC18

X	Comb.	Sfruttamento	Classe	Mx,Ed	Mx,Rd	My,Ed	My,Rd	Rid. Mx,Rd da VEd	Rid. My,Rd da VEd	α	β	px	py	Verifica
0	SLD 4	0.104	1	48599	505712	3844	505712	1	1			0	0	Si

Verifica a presso/tenso flessione retta X §§ 4.2.4.1.2.3 - 4.2.4.1.2.6 - 4.2.4.1.2.7 - 4.2.4.1.2.8 NTC18

Verifiche eseguite utilizzando la formula conservativa (6.2) §6.2.1 EN 1993-1-1:2005.

X	Comb.	Sfruttamento	Classe	NEd	NRd	Rid. NRd da VEd	Mx,Ed	Mx,Rd	Rid. Mx,Rd da VEd	Rid. Mx,Rd da NEd	px	py	Verifica
0	SLV 45	0.843	1	-503.4	96780.8	1	423735	505712	1		0	0	Si

Verifica a presso/tenso flessione retta X SLD §§ 4.2.4.1.2.3 - 4.2.4.1.2.6 - 4.2.4.1.2.7 - 4.2.4.1.2.8 NTC18

Verifiche eseguite utilizzando la formula conservativa (6.2) §6.2.1 EN 1993-1-1:2005.

X	Comb.	Sfruttamento	Classe	NEd	NRd	Rid. NRd da VEd	Mx,Ed	Mx,Rd	Rid. Mx,Rd da VEd	Rid. Mx,Rd da NEd	px	py	Verifica
690	SLD 3	0.055	1	-147	96780.8	1	27251	505712	1		0	0	Si

Verifica a presso/tenso flessione retta Y §§ 4.2.4.1.2.3 - 4.2.4.1.2.6 - 4.2.4.1.2.7 - 4.2.4.1.2.8 NTC18

Verifiche eseguite utilizzando la formula conservativa (6.2) §6.2.1 EN 1993-1-1:2005.

X	Comb.	Sfruttamento	Classe	NEd	NRd	Rid. NRd da VEd	My,Ed	My,Rd	Rid. My,Rd da VEd	Rid. My,Rd da NEd	px	py	Verifica
170	SLV 9	0.005	1	-95.8	96780.8	1	2010	505712	1		0	0	Si

Verifica a presso/tenso flessione retta Y SLD §§ 4.2.4.1.2.3 - 4.2.4.1.2.6 - 4.2.4.1.2.7 - 4.2.4.1.2.8 NTC18

Verifiche eseguite utilizzando la formula conservativa (6.2) §6.2.1 EN 1993-1-1:2005.

X	Comb.	Sfruttamento	Classe	NEd	NRd	Rid. NRd da VEd	My,Ed	My,Rd	Rid. My,Rd da VEd	Rid. My,Rd da NEd	px	py	Verifica
606.7	SLD 3	0.004	1	-147	96780.8	1	-1284	505712	1		0	0	Si

Verifica a presso/tenso flessione deviata §§ 4.2.4.1.2.3 - 4.2.4.1.2.6 - 4.2.4.1.2.7 - 4.2.4.1.2.8 NTC18

Verifiche eseguite utilizzando la formula conservativa (6.2) §6.2.1 EN 1993-1-1:2005.

X	Comb.	Sfruttamento	Classe	NEd	NRd	Rid. NRd da VEd	Mx,Ed	Mx,Rd	My,Ed	My,Rd	Rid. Mx,Rd da VEd	Rid. Mx,Rd da NEd	Rid. My,Rd da VEd	Rid. My,Rd da NEd	α	β	px	py	Verifica
0	SLV 9	0.179	1	-109.9	96780.8	1	66290	505712	-23430	505712	1		1				0	0	Si

Verifica a presso/tenso flessione deviata SLD §§ 4.2.4.1.2.3 - 4.2.4.1.2.6 - 4.2.4.1.2.7 - 4.2.4.1.2.8 NTC18

Verifiche eseguite utilizzando la formula conservativa (6.2) §6.2.1 EN 1993-1-1:2005.

X	Comb.	Sfruttamento	Classe	NEd	NRd	Rid. NRd da VEd	Mx,Ed	Mx,Rd	My,Ed	My,Rd	Rid. Mx,Rd da VEd	Rid. Mx,Rd da NEd	Rid. My,Rd da VEd	Rid. My,Rd da NEd	α	β	px	py	Verifica
0	SLD 9	0.151	1	-90.9	96780.8	1	63318	505712	-12667	505712	1		1				0	0	Si

Verifiche ad instabilità

Caratteristiche iniziali

Membratura principale per controllo snellezza; Calcolo di snellezze ed N critici condotti secondo gli assi principali;

Curva X: c; Curva Y: c; Svergolamento: Carico all'estradosso; Curva svergolamento: d;

Dati per instabilità attorno a x

Numero rit.	Presente	Ascissa	Campata	β /m	Vincolo a entrambi estremi	λ /m	λ Ver
1	Si	0					
			1-2	1	Si	122.5	Si, (<200)

Numero rit.	Presente	Ascissa	Campata	$\beta x/m$	Vincolo a entrambi estremi	$\lambda x/m$	λVer
2	Si	700					

Dati per instabilità attorno a y

Numero rit.	Presente	Ascissa	Campata	$\beta y/n$	k,LT	kw,LT	Vincolo a entrambi estremi	$\lambda y/n$	λVer
1	Si	0							
			1-2	1	1	1	Si	122.5	Si, (<200)
2	Si	700							

Verifica a svergolamento con trazione §4.2.4.1.3.2 NTC18 - §5.5.3 ENV 1993-1-1:1994

X	Comb.	Sfruttamento	Classe	Obblig.	NEd	Mx,Ed	Mx,Eff,Ed	Mb,Rd,x	$\chi_{,LT}$	λ adim. LT	L,LT	M,critico	Verifica
663.3	SLV 15	0.033	1	Si	76.9	-16646.1	-16411.6	500272	0.989	0.214	700	11631652.8	Si

Verifica di stabilità per tenso-flessione deviata §5.5.3 - §5.5.4 ENV 1993-1-1:1994

X	Comb.	Sfruttamento	Classe	NEd	Mx,Ed	Mx,Eff,Ed	My,Ed	$\chi_{,LT}$	kLT	ky	M,critico	Wx	Wy	Verifica
0	SLV 3	0.091	1	67	38693.4	38489.2	7113.8	0.989	1	1	11631652.8	226	226	Si

Verifica di stabilità per pressoflessione §C.4.2.4.1.3.3.2 NTC18

X	Comb.	Sfruttamento	Classe	NEd	NRk	Mx,Ed max	Mx,Rk	My,Ed max	My,Rk	$\chi_{,x}$	$\chi_{,y}$	kxx	kxy	kyy	$\chi_{,LT}$	Verifica	
436.7	SLU 46	0.857	1	-503.4	101619.8	423734.9	530997.3	1.4	530997.3	0.382	0.382	0.546	0.601	0.995	1.002	0.989	Si

Verifica di stabilità per pressoflessione SLD §C.4.2.4.1.3.3.2 NTC18

X	Comb.	Sfruttamento	Classe	NEd	NRk	Mx,Ed max	Mx,Rk	My,Ed max	My,Rk	$\chi_{,x}$	$\chi_{,y}$	kxx	kxy	kyy	$\chi_{,LT}$	Verifica	
43.3	SLD 14	0.151	1	-141.7	101619.8	71243.5	530997.3	3844.1	530997.3	0.382	0.382	0.481	0.366	0.998	0.61	0.989	Si

Verifica di stabilità a taglio anima X §4.2.4.1.2.4 [4.2.27] NTC18

η	hw	tw	hw/tw max	Verifica
1.2	13.4	0.8	60	Si

Verifica di stabilità a taglio anima X SLD §4.2.4.1.2.4 [4.2.27] NTC18

η	hw	tw	hw/tw max	Verifica
1.2	13.4	0.8	60	Si

Verifica di stabilità a taglio anima Y §4.2.4.1.2.4 [4.2.27] NTC18

η	hw	tw	hw/tw max	Verifica
1.2	13.4	0.8	60	Si

Verifica di stabilità a taglio anima Y SLD §4.2.4.1.2.4 [4.2.27] NTC18

η	hw	tw	hw/tw max	Verifica
1.2	13.4	0.8	60	Si

Verifiche a deformabilità

Mensola X: No; Mensola Y: No.

Frecce lungo X

Ascissa freccia	Combinazione	Freccia	Luce	L/f	L/f,min	Tipo	Verifica
363.3	SLE RA 1	0	700	10000	250	Totale	Si
390	SLE RA 2	0	700	10000	250	Totale	Si
390	SLE RA 3	0	700	10000	250	Totale	Si
363.3	SLE RA 4	0	700	10000	250	Totale	Si
383.3	SLE RA 5	0	700	10000	250	Totale	Si

Ascissa freccia	Combinazione	Freccia	Luce	L/f	L/f,min	Tipo	Verifica
403.3	SLE RA 2	0	700	10000	350	Variabile	Si
403.3	SLE RA 3	0	700	10000	350	Variabile	Si
0	SLE RA 4	0	700	10000	350	Variabile	Si
403.3	SLE RA 5	0	700	10000	350	Variabile	Si
403.3	SLE RA 6	0	700	10000	350	Variabile	Si

Frecce lungo Y

Ascissa freccia	Combinazione	Freccia	Luce	L/f	L/f,min	Tipo	Verifica
386.7	SLE RA 6	-2.178	700	321.4	250	Totale	Si
386.7	SLE RA 7	-2.178	700	321.4	250	Totale	Si
386.7	SLE RA 11	-1.907	700	367	250	Totale	Si
386.7	SLE RA 13	-1.907	700	367	250	Totale	Si
386.7	SLE RA 2	-1.67	700	419.1	250	Totale	Si
386.7	SLE RA 6	-1.726	700	405.5	350	Variabile	Si
386.7	SLE RA 7	-1.726	700	405.5	350	Variabile	Si
386.7	SLE RA 11	-1.456	700	480.9	350	Variabile	Si
386.7	SLE RA 13	-1.456	700	480.9	350	Variabile	Si
386.7	SLE RA 2	-1.219	700	574.4	350	Variabile	Si

Superelemento in acciaio composto da 7 aste: 30, 31, 32, 33, 34, 35, 36

Caratteristiche del materiale

Acciaio: Fe360, fyk = 2350

Caratteristiche geometriche

Lunghezza: 700

Nodo iniziale: 64 Nodo finale: 71

Cerniera iniziale: No Cerniera finale: No

Sovreresistenza: 0% Sisma Z: No

Caratteristiche della sezione

Sezione	Rotazione	Area	Jx	Jy	ix	iy	Wx	Wy	Wplx	Wply
EN10219 150x150x8	0	43.24	1411.83	1411.83	5.71	5.71	188.24	188.24	225.96	225.96

Verifiche di resistenza

Verifiche a forza assiale §4.2.4.1.2.1 - §4.2.4.1.2.2 NTC18

X	Comb.	Sfruttamento	Classe	NEd	Nc,Rd	Nt,Rd	Riduzione da taglio	px	py	Verifica
700	SLU 45	0.005	1	-503.4	96780.8		1	0	0	Si

Verifiche a forza assiale SLD §4.2.4.1.2.1 - §4.2.4.1.2.2 NTC18

X	Comb.	Sfruttamento	Classe	NEd	Nc,Rd	Nt,Rd	Riduzione da taglio	px	py	Verifica
673.3	SLD 14	0.002	1	-147	96780.8		1	0	0	Si

Verifica a taglio X §4.2.4.1.2.4 NTC18

X	Comb.	Sfruttamento	VEd	Vc,Rd	Av	Interazione taglio-torsione	Riduzione torsione	Verifica
50	SLV 11	0.006	168.7	27872.1	21.62	Considerata	1	Si

Verifica a taglio X SLD §4.2.4.1.2.4 NTC18

X	Comb.	Sfruttamento	VEd	Vc,Rd	Av	Interazione taglio-torsione	Riduzione torsione	Verifica
100	SLD 12	0.003	91.2	27897.7	21.62	Considerata	1	Si

Verifica a taglio Y §4.2.4.1.2.4 NTC18

X	Comb.	Sfruttamento	VEd	Vc,Rd	Av	Interazione taglio-torsione	Riduzione torsione	Verifica
0	SLU 46	0.118	3302.2	27938.2	21.62	Considerata	1	Si

Verifica a taglio Y SLD §4.2.4.1.2.4 NTC18

X	Comb.	Sfruttamento	VEd	Vc,Rd	Av	Interazione taglio-torsione	Riduzione torsione	Verifica
0	SLD 1	0.018	496.3	27938.2	21.62	Considerata	1	Si

Verifica a torsione §4.2.4.1.2.5 NTC18

X	Comb.	Sfruttamento torsione	TEd	TRd	Riduzione taglio resistente	Sfruttamento taglio-torsione	rEd,totale	rRd	Verifica
700	SLV 12	0.003	1164.9	412340.1	Considerata				Si

Verifica a torsione SLD §4.2.4.1.2.5 NTC18

X	Comb.	Sfruttamento torsione	TEd	TRd	Riduzione taglio resistente	Sfruttamento taglio-torsione	rEd,totale	rRd	Verifica
600	SLD 11	0.002	700.4	412340.1	Considerata				Si

Verifica a flessione semplice X §§ 4.2.4.1.2.3 - 4.2.4.1.2.6 - 4.2.4.1.2.7 - 4.2.4.1.2.8 NTC18

X	Comb.	Sfruttamento	Classe	Mx,Ed	Mx,Rd	Rid. Mx,Rd da VEd	px	py	Verifica
156.7	SLV 16	0.02	1	-10121.9	505711.7	1	0	0	Si

Verifica a flessione semplice X SLD §§ 4.2.4.1.2.3 - 4.2.4.1.2.6 - 4.2.4.1.2.7 - 4.2.4.1.2.8 NTC18

X	Comb.	Sfruttamento	Classe	Mx,Ed	Mx,Rd	Rid. Mx,Rd da VEd	px	py	Verifica
656.7	SLD 3	0.016	1	-7925.3	505711.7	1	0	0	Si

Verifica a flessione semplice Y §§ 4.2.4.1.2.3 - 4.2.4.1.2.6 - 4.2.4.1.2.7 - 4.2.4.1.2.8 NTC18

X	Comb.	Sfruttamento	Classe	My,Ed	My,Rd	Rid. My,Rd da VEd	px	py	Verifica
666.7	SLV 5	0.001	1	-736.1	505711.7	1	0	0	Si

Verifica a flessione deviata §§ 4.2.4.1.2.3 - 4.2.4.1.2.6 - 4.2.4.1.2.7 - 4.2.4.1.2.8 NTC18

X	Comb.	Sfruttamento	Classe	Mx,Ed	Mx,Rd	My,Ed	My,Rd	Rid. Mx,Rd da VEd	Rid. My,Rd da VEd	α	β	px	py	Verifica
0	SLV 11	0.152	1	53553	505712	-23430	505712	1	1			0	0	Si

Verifica a flessione deviata SLD §§ 4.2.4.1.2.3 - 4.2.4.1.2.6 - 4.2.4.1.2.7 - 4.2.4.1.2.8 NTC18

X	Comb.	Sfruttamento	Classe	Mx,Ed	Mx,Rd	My,Ed	My,Rd	Rid. Mx,Rd da VEd	Rid. My,Rd da VEd	α	β	px	py	Verifica
0	SLD 15	0.104	1	48599	505712	-3844	505712	1	1			0	0	Si

Verifica a presso/tenso flessione retta X §§ 4.2.4.1.2.3 - 4.2.4.1.2.6 - 4.2.4.1.2.7 - 4.2.4.1.2.8 NTC18

Verifiche eseguite utilizzando la formula conservativa (6.2) §6.2.1 EN 1993-1-1:2005.

X	Comb.	Sfruttamento	Classe	NEd	NRd	Rid. NRd da VEd	Mx,Ed	Mx,Rd	Rid. Mx,Rd da VEd	Rid. Mx,Rd da NEd	px	py	Verifica
0	SLU 45	0.843	1	-503.4	96780.8	1	423735	505712	1		0	0	Si

Verifica a presso/tenso flessione retta X SLD §§ 4.2.4.1.2.3 - 4.2.4.1.2.6 - 4.2.4.1.2.7 - 4.2.4.1.2.8 NTC18

Verifiche eseguite utilizzando la formula conservativa (6.2) §6.2.1 EN 1993-1-1:2005.

X	Comb.	Sfruttamento	Classe	NEd	NRd	Rid. NRd da VEd	Mx,Ed	Mx,Rd	Rid. Mx,Rd da VEd	Rid. Mx,Rd da NEd	px	py	Verifica
---	-------	--------------	--------	-----	-----	-----------------	-------	-------	-------------------	-------------------	----	----	----------

X	Comb.	Sfruttamento	Classe	NEd	NRd	Rid. NRd da VEd	Mx,Ed	Mx,Rd	Rid. Mx,Rd da VEd	Rid. Mx,Rd da NEd	px	py	Verifica
690	SLD 16	0.055	1	-147	96780.8	1	27251	505712	1		0	0	Si

Verifica a presso/tenso flessione retta Y §§ 4.2.4.1.2.3 - 4.2.4.1.2.6 - 4.2.4.1.2.7 - 4.2.4.1.2.8 NTC18

Verifiche eseguite utilizzando la formula conservativa (6.2) §6.2.1 EN 1993-1-1:2005.

X	Comb.	Sfruttamento	Classe	NEd	NRd	Rid. NRd da VEd	My,Ed	My,Rd	Rid. My,Rd da VEd	Rid. My,Rd da NEd	px	py	Verifica
170	SLV 5	0.005	1	-95.8	96780.8	1	-2010	505712	1		0	0	Si

Verifica a presso/tenso flessione retta Y SLD §§ 4.2.4.1.2.3 - 4.2.4.1.2.6 - 4.2.4.1.2.7 - 4.2.4.1.2.8 NTC18

Verifiche eseguite utilizzando la formula conservativa (6.2) §6.2.1 EN 1993-1-1:2005.

X	Comb.	Sfruttamento	Classe	NEd	NRd	Rid. NRd da VEd	My,Ed	My,Rd	Rid. My,Rd da VEd	Rid. My,Rd da NEd	px	py	Verifica
606.7	SLD 15	0.004	1	-147	96780.8	1	1284	505712	1		0	0	Si

Verifica a presso/tenso flessione deviata §§ 4.2.4.1.2.3 - 4.2.4.1.2.6 - 4.2.4.1.2.7 - 4.2.4.1.2.8 NTC18

Verifiche eseguite utilizzando la formula conservativa (6.2) §6.2.1 EN 1993-1-1:2005.

X	Comb.	Sfruttamento	Classe	NEd	NRd	Rid. NRd da VEd	Mx,Ed	Mx,Rd	My,Ed	My,Rd	Rid. Mx,Rd da VEd	Rid. Mx,Rd da NEd	Rid. My,Rd da VEd	Rid. My,Rd da NEd	α	β	px	py	Verifica
0	SLV 6	0.179	1	-109.9	96780.8	1	66290	505712	23430	505712	1		1				0	0	Si

Verifica a presso/tenso flessione deviata SLD §§ 4.2.4.1.2.3 - 4.2.4.1.2.6 - 4.2.4.1.2.7 - 4.2.4.1.2.8 NTC18

Verifiche eseguite utilizzando la formula conservativa (6.2) §6.2.1 EN 1993-1-1:2005.

X	Comb.	Sfruttamento	Classe	NEd	NRd	Rid. NRd da VEd	Mx,Ed	Mx,Rd	My,Ed	My,Rd	Rid. Mx,Rd da VEd	Rid. Mx,Rd da NEd	Rid. My,Rd da VEd	Rid. My,Rd da NEd	α	β	px	py	Verifica
0	SLD 5	0.151	1	-90.9	96780.8	1	63318	505712	12667	505712	1		1				0	0	Si

Verifiche ad instabilità

Caratteristiche iniziali

Membratura principale per controllo snellezza; Calcolo di snellezze ed N critici condotti secondo gli assi principali;

Curva X: c; Curva Y: c; Svergolamento: Carico all'estradosso; Curva svergolamento: d;

Dati per instabilità attorno a x

Numero rit.	Presente	Ascissa	Campata	$\beta x/m$	Vincolo a entrambi estremi	$\lambda x/m$	λVer
1	Si		0				
			1-2	1	Si	122.5	Si, (<200)
2	Si	700					

Dati per instabilità attorno a y

Numero rit.	Presente	Ascissa	Campata	$\beta y/n$	k,LT	kw,LT	Vincolo a entrambi estremi	$\lambda y/n$	λVer
1	Si		0						
			1-2	1	1	1	Si	122.5	Si, (<200)
2	Si	700							

Verifica a svergolamento con trazione §4.2.4.1.3.2 NTC18 - §5.5.3 ENV 1993-1-1:1994

X	Comb.	Sfruttamento	Classe	Obblig.	NEd	Mx,Ed	Mx,Eff,Ed	Mb,Rd,x	χ_{LT}	λ adim. LT	L,LT	M,critico	Verifica
663.3	SLV 3	0.033	1	Si	76.9	-16646.1	-16411.6	500272	0.989	0.214	700	11631652.8	Si

Verifica di stabilità per tenso-flessione deviata §5.5.3 - §5.5.4 ENV 1993-1-1:1994

X	Comb.	Sfruttamento	Classe	NEd	Mx,Ed	Mx,Eff,Ed	My,Ed	χ_{LT}	kLT	ky	M,critico	Wx	Wy	Verifica
0	SLV 15	0.091	1	67	38693.4	38489.2	-7113.8	0.989	1	1	11631652.8	226	226	Si

Verifica di stabilità per pressoflessione §C.4.2.4.1.3.3.2 NTC18

X	Comb.	Sfruttamento	Classe	NEd	NRk	Mx,Ed max	Mx,Rk	My,Ed max	My,Rk	χ_x	χ_y	kxx	kxy	kyx	kyy	χ_{LT}	Verifica

X	Comb.	Sfruttamento	Classe	NEd	NRk	Mx,Ed max	Mx,Rk	My,Ed max	My,Rk	χ_x	χ_y	kxx	kxy	kyy	χ_{LT}	Verifica	
696.7	SLU 46	0.857	1	-503.4	101619.8	423734.9	530997.3	1.4	530997.3	0.382	0.382	0.546	0.601	0.995	1.002	0.989	Si

Verifica di stabilità per pressoflessione SLD §C.4.2.4.1.3.3.2 NTC18

X	Comb.	Sfruttamento	Classe	NEd	NRk	Mx,Ed max	Mx,Rk	My,Ed max	My,Rk	χ_x	χ_y	kxx	kxy	kyy	χ_{LT}	Verifica	
0	SLD 1	0.151	1	-141.7	101619.8	71243.5	530997.3	3844.1	530997.3	0.382	0.382	0.481	0.366	0.998	0.61	0.989	Si

Verifica di stabilità a taglio anima X §4.2.4.1.2.4 [4.2.27] NTC18

η	hw	tw	hw/tw max	Verifica
1.2	13.4	0.8	60	Si

Verifica di stabilità a taglio anima X SLD §4.2.4.1.2.4 [4.2.27] NTC18

η	hw	tw	hw/tw max	Verifica
1.2	13.4	0.8	60	Si

Verifica di stabilità a taglio anima Y §4.2.4.1.2.4 [4.2.27] NTC18

η	hw	tw	hw/tw max	Verifica
1.2	13.4	0.8	60	Si

Verifica di stabilità a taglio anima Y SLD §4.2.4.1.2.4 [4.2.27] NTC18

η	hw	tw	hw/tw max	Verifica
1.2	13.4	0.8	60	Si

Verifiche a deformabilità

Mensola X: No; Mensola Y: No.

Frecce lungo X

Ascissa freccia	Combinazione	Freccia	Luce	L/f	L/f,min	Tipo	Verifica
363.3	SLE RA 1	0	700	10000	250	Totale	Si
390	SLE RA 2	0	700	10000	250	Totale	Si
390	SLE RA 3	0	700	10000	250	Totale	Si
363.3	SLE RA 4	0	700	10000	250	Totale	Si
383.3	SLE RA 5	0	700	10000	250	Totale	Si
403.3	SLE RA 2	0	700	10000	350	Variabile	Si
403.3	SLE RA 3	0	700	10000	350	Variabile	Si
0	SLE RA 4	0	700	10000	350	Variabile	Si
403.3	SLE RA 5	0	700	10000	350	Variabile	Si
403.3	SLE RA 6	0	700	10000	350	Variabile	Si

Frecce lungo Y

Ascissa freccia	Combinazione	Freccia	Luce	L/f	L/f,min	Tipo	Verifica
386.7	SLE RA 6	-2.178	700	321.4	250	Totale	Si
386.7	SLE RA 7	-2.178	700	321.4	250	Totale	Si
386.7	SLE RA 11	-1.907	700	367	250	Totale	Si
386.7	SLE RA 13	-1.907	700	367	250	Totale	Si
386.7	SLE RA 2	-1.67	700	419.1	250	Totale	Si
386.7	SLE RA 6	-1.726	700	405.5	350	Variabile	Si
386.7	SLE RA 7	-1.726	700	405.5	350	Variabile	Si

Ascissa freccia	Combinazione	Freccia	Luce	L/f	L/f,min	Tipo	Verifica
386.7	SLE RA 11	-1.456	700	480.9	350	Variabile	Si
386.7	SLE RA 13	-1.456	700	480.9	350	Variabile	Si
386.7	SLE RA 2	-1.219	700	574.4	350	Variabile	Si

Superelemento in acciaio composto da 8 aste: 6, 7, 8, 9, 10, 11, 12, 13

Caratteristiche del materiale

Acciaio: Fe360, fyk = 2350

Caratteristiche geometriche

Lunghezza: 750

Nodo iniziale: 48 Nodo finale: 56

Cerniera iniziale: No Cerniera finale: No

Sovraresistenza: 0% Sisma Z: No

Caratteristiche della sezione

Sezione	Rotazione	Area	Jx	Jy	ix	iy	Wx	Wy	Wplx	Wply
EN10219 150x150x8	0	43.24	1411.83	1411.83	5.71	5.71	188.24	188.24	225.96	225.96

Verifiche di resistenza

Verifiche a forza assiale §4.2.4.1.2.1 - §4.2.4.1.2.2 NTC18

X	Comb.	Sfruttamento	Classe	NEd	Nc,Rd	Nt,Rd	Riduzione da taglio	px	py	Verifica
750	SLU 46	0.004	1	-415.6	96780.8		1	0	0	Si

Verifiche a forza assiale SLD §4.2.4.1.2.1 - §4.2.4.1.2.2 NTC18

X	Comb.	Sfruttamento	Classe	NEd	Nc,Rd	Nt,Rd	Riduzione da taglio	px	py	Verifica
0	SLD 1	0.001	1	-143.2	96780.8		1	0	0	Si

Verifica a taglio X §4.2.4.1.2.4 NTC18

X	Comb.	Sfruttamento	VEd	Vc,Rd	Av	Interazione taglio-torsione	Riduzione torsione	Verifica
750	SLV 8	0.006	-160.8	27906.2	21.62	Considerata	1	Si

Verifica a taglio X SLD §4.2.4.1.2.4 NTC18

X	Comb.	Sfruttamento	VEd	Vc,Rd	Av	Interazione taglio-torsione	Riduzione torsione	Verifica
750	SLD 8	0.003	-86.9	27915	21.62	Considerata	1	Si

Verifica a taglio Y §4.2.4.1.2.4 NTC18

X	Comb.	Sfruttamento	VEd	Vc,Rd	Av	Interazione taglio-torsione	Riduzione torsione	Verifica
0	SLU 45	0.112	3121	27938.2	21.62	Considerata	1	Si

Verifica a taglio Y SLD §4.2.4.1.2.4 NTC18

X	Comb.	Sfruttamento	VEd	Vc,Rd	Av	Interazione taglio-torsione	Riduzione torsione	Verifica
0	SLD 1	0.017	462.8	27938.2	21.62	Considerata	1	Si

Verifica a torsione §4.2.4.1.2.5 NTC18

X	Comb.	Sfruttamento torsione	TEd	TRd	Riduzione taglio resistente	Sfruttamento taglio-torsione	rEd,totale	rRd	Verifica
750	SLV 8	0.001	471.9	412340.1	Considerata				Si

Verifica a torsione SLD §4.2.4.1.2.5 NTC18

X	Comb.	Sfruttamento torsione	TEd	TRd	Riduzione taglio resistente	Sfruttamento taglio-torsione	$\tau_{Ed,totale}$	τ_{Rd}	Verifica
700	SLD 7	0.001	342.2	412340.1	Considerata				Si

Verifica a flessione semplice X §§ 4.2.4.1.2.3 - 4.2.4.1.2.6 - 4.2.4.1.2.7 - 4.2.4.1.2.8 NTC18

X	Comb.	Sfruttamento	Classe	Mx,Ed	Mx,Rd	Rid. Mx,Rd da VEd	p_x	p_y	Verifica
586.7	SLV 4	0.025	1	-12792.8	505711.7	1	0	0	Si

Verifica a flessione semplice X SLD §§ 4.2.4.1.2.3 - 4.2.4.1.2.6 - 4.2.4.1.2.7 - 4.2.4.1.2.8 NTC18

X	Comb.	Sfruttamento	Classe	Mx,Ed	Mx,Rd	Rid. Mx,Rd da VEd	p_x	p_y	Verifica
580	SLD 4	0.018	1	-9053.5	505711.7	1	0	0	Si

Verifica a flessione semplice Y §§ 4.2.4.1.2.3 - 4.2.4.1.2.6 - 4.2.4.1.2.7 - 4.2.4.1.2.8 NTC18

X	Comb.	Sfruttamento	Classe	My,Ed	My,Rd	Rid. My,Rd da VEd	p_x	p_y	Verifica
156.7	SLV 9	0.004	1	1800.3	505711.7	1	0	0	Si

Verifica a flessione semplice Y SLD §§ 4.2.4.1.2.3 - 4.2.4.1.2.6 - 4.2.4.1.2.7 - 4.2.4.1.2.8 NTC18

X	Comb.	Sfruttamento	Classe	My,Ed	My,Rd	Rid. My,Rd da VEd	p_x	p_y	Verifica
146.7	SLD 13	0.001	1	470.6	505711.7	1	0	0	Si

Verifica a flessione deviata §§ 4.2.4.1.2.3 - 4.2.4.1.2.6 - 4.2.4.1.2.7 - 4.2.4.1.2.8 NTC18

X	Comb.	Sfruttamento	Classe	Mx,Ed	Mx,Rd	My,Ed	My,Rd	Rid. Mx,Rd da VEd	Rid. My,Rd da VEd	α	β	p_x	p_y	Verifica
0	SLV 12	0.151	1	52937	505712	-23401	505712	1	1			0	0	Si

Verifica a flessione deviata SLD §§ 4.2.4.1.2.3 - 4.2.4.1.2.6 - 4.2.4.1.2.7 - 4.2.4.1.2.8 NTC18

X	Comb.	Sfruttamento	Classe	Mx,Ed	Mx,Rd	My,Ed	My,Rd	Rid. Mx,Rd da VEd	Rid. My,Rd da VEd	α	β	p_x	p_y	Verifica
0	SLD 11	0.135	1	55400	505712	-12652	505712	1	1			0	0	Si

Verifica a presso/tenso flessione retta X §§ 4.2.4.1.2.3 - 4.2.4.1.2.6 - 4.2.4.1.2.7 - 4.2.4.1.2.8 NTC18

Verifiche eseguite utilizzando la formula conservativa (6.2) §6.2.1 EN 1993-1-1:2005.

X	Comb.	Sfruttamento	Classe	NEd	NRd	Rid. NRd da VEd	Mx,Ed	Mx,Rd	Rid. Mx,Rd da VEd	Rid. Mx,Rd da NEd	p_x	p_y	Verifica
0	SLU 45	0.817	1	-415.6	96780.8	1	410939	505712	1		0	0	Si

Verifica a presso/tenso flessione retta X SLD §§ 4.2.4.1.2.3 - 4.2.4.1.2.6 - 4.2.4.1.2.7 - 4.2.4.1.2.8 NTC18

Verifiche eseguite utilizzando la formula conservativa (6.2) §6.2.1 EN 1993-1-1:2005.

X	Comb.	Sfruttamento	Classe	NEd	NRd	Rid. NRd da VEd	Mx,Ed	Mx,Rd	Rid. Mx,Rd da VEd	Rid. Mx,Rd da NEd	p_x	p_y	Verifica
606.7	SLD 13	0.02	1	-122	96780.8	1	9494	505712	1		0	0	Si

Verifica a presso/tenso flessione retta Y §§ 4.2.4.1.2.3 - 4.2.4.1.2.6 - 4.2.4.1.2.7 - 4.2.4.1.2.8 NTC18

Verifiche eseguite utilizzando la formula conservativa (6.2) §6.2.1 EN 1993-1-1:2005.

X	Comb.	Sfruttamento	Classe	NEd	NRd	Rid. NRd da VEd	My,Ed	My,Rd	Rid. My,Rd da VEd	Rid. My,Rd da NEd	p_x	p_y	Verifica
643.3	SLV 1	0.004	1	63.8	96780.8	1	1753	505712	1		0	0	Si

Verifica a presso/tenso flessione retta Y SLD §§ 4.2.4.1.2.3 - 4.2.4.1.2.6 - 4.2.4.1.2.7 - 4.2.4.1.2.8 NTC18

Verifiche eseguite utilizzando la formula conservativa (6.2) §6.2.1 EN 1993-1-1:2005.

X	Comb.	Sfruttamento	Classe	NEd	NRd	Rid. NRd da VEd	My,Ed	My,Rd	Rid. My,Rd da VEd	Rid. My,Rd da NEd	p_x	p_y	Verifica
186.7	SLD 1	0.002	1	-118.1	96780.8	1	-239	505712	1		0	0	Si

Verifica a presso/tenso flessione deviata §§ 4.2.4.1.2.3 - 4.2.4.1.2.6 - 4.2.4.1.2.7 - 4.2.4.1.2.8 NTC18

Verifiche eseguite utilizzando la formula conservativa (6.2) §6.2.1 EN 1993-1-1:2005.

X	Comb.	Sfruttamento	Classe	NEd	NRd	Rid. NRd da VEd	Mx,Ed	Mx,Rd	My,Ed	My,Rd	Rid. Mx,Rd da VEd	Rid. Mx,Rd da NEd	Rid. My,Rd da VEd	Rid. My,Rd da NEd	α	β	ρ_x	ρ_y	Verifica
0	SLV 5	0.173	1	-105.7	96780.8	1	63495	505712	23401	505712	1		1				0	0	Si

Verifica a presso/tenso flessione deviata SLD § 4.2.4.1.2.3 - 4.2.4.1.2.6 - 4.2.4.1.2.7 - 4.2.4.1.2.8 NTC18

Verifiche eseguite utilizzando la formula conservativa (6.2) §6.2.1 EN 1993-1-1:2005.

X	Comb.	Sfruttamento	Classe	NEd	NRd	Rid. NRd da VEd	Mx,Ed	Mx,Rd	My,Ed	My,Rd	Rid. Mx,Rd da VEd	Rid. Mx,Rd da NEd	Rid. My,Rd da VEd	Rid. My,Rd da NEd	α	β	ρ_x	ρ_y	Verifica
0	SLD 5	0.147	1	-83.1	96780.8	1	61032	505712	12652	505712	1		1				0	0	Si

Verifiche ad instabilità

Caratteristiche iniziali

Membratura principale per controllo snellezza; Calcolo di snellezze ed N critici condotti secondo gli assi principali;

Curva X: c; Curva Y: c; Svergolamento: Carico all'estradosso; Curva svergolamento: d;

Dati per instabilità attorno a x

Numero rit.	Presente	Ascissa	Campata	β_x/m	Vincolo a entrambi estremi	λ_x/m	λ_{Ver}
1	Si		0				
			1-2	1	Si	131.3	Si, (<200)
2	Si		750				

Dati per instabilità attorno a y

Numero rit.	Presente	Ascissa	Campata	β_y/n	k,LT	kw,LT	Vincolo a entrambi estremi	λ_y/n	λ_{Ver}
1	Si		0						
			1-2	1	1	1	Si	131.3	Si, (<200)
2	Si		750						

Verifica a svergolamento con trazione §4.2.4.1.3.2 NTC18 - §5.5.3 ENV 1993-1-1:1994

X	Comb.	Sfruttamento	Classe	Obblig.	NEd	Mx,Ed	Mx,Eff,Ed	Mb,Rd,x	χ_{LT}	λ adim. LT	L,LT	M,critico	Verifica
176.7	SLV 16	0.022	1	Si	56.5	-11223.4	-11051.1	497365.8	0.983	0.221	750	10870149.3	Si

Verifica di stabilità per tenso-flessione deviata §5.5.3 - §5.5.4 ENV 1993-1-1:1994

X	Comb.	Sfruttamento	Classe	NEd	Mx,Ed	Mx,Eff,Ed	My,Ed	χ_{LT}	kLT	ky	M,critico	Wx	Wy	Verifica
0	SLV 16	0.095	1	103.6	40618.9	40303.3	-7028	0.983	1	1	10870149.3	226	226	Si

Verifica di stabilità per pressoflessione §C.4.2.4.1.3.3.2 NTC18

X	Comb.	Sfruttamento	Classe	NEd	NRk	Mx,Ed max	Mx,Rk	My,Ed max	My,Rk	χ_x	χ_y	kxx	kxy	kyy	χ_{LT}	Verifica	
143.3	SLU 45	0.834	1	-415.6	101619.8	410939.4	530997.3	1.1	530997.3	0.345	0.345	0.467	0.242	0.994	0.404	0.983	Si

Verifica di stabilità per pressoflessione SLD §C.4.2.4.1.3.3.2 NTC18

X	Comb.	Sfruttamento	Classe	NEd	NRk	Mx,Ed max	Mx,Rk	My,Ed max	My,Rk	χ_x	χ_y	kxx	kxy	kyy	χ_{LT}	Verifica	
0	SLD 1	0.143	1	-143.2	101619.8	67601.7	530997.3	3799.4	530997.3	0.345	0.345	0.42	0.273	0.997	0.454	0.983	Si

Verifica di stabilità a taglio anima X §4.2.4.1.2.4 [4.2.27] NTC18

η	hw	tw	hw/tw max	Verifica	
1.2		13.4	0.8	60	Si

Verifica di stabilità a taglio anima X SLD §4.2.4.1.2.4 [4.2.27] NTC18

η	hw	tw	hw/tw max	Verifica	
1.2		13.4	0.8	60	Si

Verifica di stabilità a taglio anima Y §4.2.4.1.2.4 [4.2.27] NTC18

η	hw	tw	hw/tw max	Verifica	

η	hw	tw	hw/tw max	Verifica
1.2	13.4	0.8	60	Si

Verifica di stabilità a taglio anima Y SLD §4.2.4.1.2.4 [4.2.27] NTC18

η	hw	tw	hw/tw max	Verifica
1.2	13.4	0.8	60	Si

Verifiche a deformabilità

Mensola X: No; Mensola Y: No.

Frecce lungo X

Ascissa freccia	Combinazione	Freccia	Luce	L/f	L/f,min	Tipo	Verifica
466.7	SLE RA 1	0	750	10000	250	Totale	Si
473.3	SLE RA 2	0	750	10000	250	Totale	Si
473.3	SLE RA 3	0	750	10000	250	Totale	Si
466.7	SLE RA 4	0	750	10000	250	Totale	Si
470	SLE RA 5	0	750	10000	250	Totale	Si
120	SLE RA 2	0	750	10000	350	Variabile	Si
120	SLE RA 3	0	750	10000	350	Variabile	Si
0	SLE RA 4	0	750	10000	350	Variabile	Si
120	SLE RA 5	0	750	10000	350	Variabile	Si
120	SLE RA 6	0	750	10000	350	Variabile	Si

Frecce lungo Y

Ascissa freccia	Combinazione	Freccia	Luce	L/f	L/f,min	Tipo	Verifica
380	SLE RA 6	-1.489	750	503.6	250	Totale	Si
380	SLE RA 7	-1.489	750	503.6	250	Totale	Si
380	SLE RA 11	-1.305	750	574.6	250	Totale	Si
380	SLE RA 13	-1.305	750	574.6	250	Totale	Si
380	SLE RA 2	-1.144	750	655.5	250	Totale	Si
380	SLE RA 6	-1.173	750	639.2	350	Variabile	Si
380	SLE RA 7	-1.173	750	639.2	350	Variabile	Si
380	SLE RA 11	-0.989	750	758.1	350	Variabile	Si
380	SLE RA 13	-0.989	750	758.1	350	Variabile	Si
380	SLE RA 2	-0.828	750	905.5	350	Variabile	Si

Superelemento in acciaio composto da 8 aste: 14, 15, 16, 17, 18, 19, 20, 21
Caratteristiche del materiale

Acciaio: Fe360, fyk = 2350

Caratteristiche geometriche

Lunghezza: 750

Nodo iniziale: 56 Nodo finale: 64

Cerniera iniziale: No Cerniera finale: No

Sovreresistenza: 0% Sisma Z: No

Caratteristiche della sezione

Sezione	Rotazione	Area	Jx	Jy	ix	iy	Wx	Wy	Wplx	Wply
EN10219 150x150x8	0	43.24	1411.83	1411.83	5.71	5.71	188.24	188.24	225.96	225.96

Verifiche di resistenza

Verifiche a forza assiale §4.2.4.1.2.1 - §4.2.4.1.2.2 NTC18

X	Comb.	Sfruttamento	Classe	NEd	Nc,Rd	Nt,Rd	Riduzione da taglio	px	py	Verifica
750	SLU 46	0.004	1	-415.6	96780.8		1	0	0	Si

Verifiche a forza assiale SLD §4.2.4.1.2.1 - §4.2.4.1.2.2 NTC18

X	Comb.	Sfruttamento	Classe	NEd	Nc,Rd	Nt,Rd	Riduzione da taglio	px	py	Verifica
696.7	SLD 14	0.001	1	-143.2	96780.8		1	0	0	Si

Verifica a taglio X §4.2.4.1.2.4 NTC18

X	Comb.	Sfruttamento	VEd	Vc,Rd	Av	Interazione taglio-torsione	Riduzione torsione	Verifica
50	SLV 11	0.006	160.8	27906.2	21.62	Considerata	1	Si

Verifica a taglio X SLD §4.2.4.1.2.4 NTC18

X	Comb.	Sfruttamento	VEd	Vc,Rd	Av	Interazione taglio-torsione	Riduzione torsione	Verifica
3.3	SLD 12	0.003	86.9	27915	21.62	Considerata	1	Si

Verifica a taglio Y §4.2.4.1.2.4 NTC18

X	Comb.	Sfruttamento	VEd	Vc,Rd	Av	Interazione taglio-torsione	Riduzione torsione	Verifica
750	SLU 46	0.112	-3121	27938.2	21.62	Considerata	1	Si

Verifica a taglio Y SLD §4.2.4.1.2.4 NTC18

X	Comb.	Sfruttamento	VEd	Vc,Rd	Av	Interazione taglio-torsione	Riduzione torsione	Verifica
750	SLD 14	0.017	-462.8	27938.2	21.62	Considerata	1	Si

Verifica a torsione §4.2.4.1.2.5 NTC18

X	Comb.	Sfruttamento torsione	TEd	TRd	Riduzione taglio resistente	Sfruttamento taglio-torsione	rEd,totale	rRd	Verifica
10	SLV 12	0.001	-471.9	412340.1	Considerata				Si

Verifica a torsione SLD §4.2.4.1.2.5 NTC18

X	Comb.	Sfruttamento torsione	TEd	TRd	Riduzione taglio resistente	Sfruttamento taglio-torsione	rEd,totale	rRd	Verifica
50	SLD 12	0.001	-342.2	412340.1	Considerata				Si

Verifica a flessione semplice X §§ 4.2.4.1.2.3 - 4.2.4.1.2.6 - 4.2.4.1.2.7 - 4.2.4.1.2.8 NTC18

X	Comb.	Sfruttamento	Classe	Mx,Ed	Mx,Rd	Rid. Mx,Rd da VEd	px	py	Verifica
163.3	SLV 16	0.025	1	-12792.8	505711.7	1	0	0	Si

Verifica a flessione semplice X SLD §§ 4.2.4.1.2.3 - 4.2.4.1.2.6 - 4.2.4.1.2.7 - 4.2.4.1.2.8 NTC18

X	Comb.	Sfruttamento	Classe	Mx,Ed	Mx,Rd	Rid. Mx,Rd da VEd	px	py	Verifica
170	SLD 16	0.018	1	-9053.5	505711.7	1	0	0	Si

Verifica a flessione semplice Y §§ 4.2.4.1.2.3 - 4.2.4.1.2.6 - 4.2.4.1.2.7 - 4.2.4.1.2.8 NTC18

X	Comb.	Sfruttamento	Classe	My,Ed	My,Rd	Rid. My,Rd da VEd	px	py	Verifica

X	Comb.	Sfruttamento	Classe	My,Ed	My,Rd	Rid. My,Rd da VEd	px	py	Verifica
593.3	SLV 5	0.004	1	1800.3	505711.7	1	0	0	Si

Verifica a flessione semplice Y SLD §§ 4.2.4.1.2.3 - 4.2.4.1.2.6 - 4.2.4.1.2.7 - 4.2.4.1.2.8 NTC18

X	Comb.	Sfruttamento	Classe	My,Ed	My,Rd	Rid. My,Rd da VEd	px	py	Verifica
603.3	SLD 1	0.001	1	470.6	505711.7	1	0	0	Si

Verifica a flessione deviata §§ 4.2.4.1.2.3 - 4.2.4.1.2.6 - 4.2.4.1.2.7 - 4.2.4.1.2.8 NTC18

X	Comb.	Sfruttamento	Classe	Mx,Ed	Mx,Rd	My,Ed	My,Rd	Rid. Mx,Rd da VEd	Rid. My,Rd da VEd	α	β	px	py	Verifica
750	SLV 8	0.151	1	52937	505712	-23401	505712	1	1			0	0	Si

Verifica a flessione deviata SLD §§ 4.2.4.1.2.3 - 4.2.4.1.2.6 - 4.2.4.1.2.7 - 4.2.4.1.2.8 NTC18

X	Comb.	Sfruttamento	Classe	Mx,Ed	Mx,Rd	My,Ed	My,Rd	Rid. Mx,Rd da VEd	Rid. My,Rd da VEd	α	β	px	py	Verifica
750	SLD 7	0.135	1	55400	505712	-12652	505712	1	1			0	0	Si

Verifica a presso/tenso flessione retta X §§ 4.2.4.1.2.3 - 4.2.4.1.2.6 - 4.2.4.1.2.7 - 4.2.4.1.2.8 NTC18

Verifiche eseguite utilizzando la formula conservativa (6.2) §6.2.1 EN 1993-1-1:2005.

X	Comb.	Sfruttamento	Classe	NEd	NRd	Rid. NRd da VEd	Mx,Ed	Mx,Rd	Rid. Mx,Rd da VEd	Rid. Mx,Rd da NEd	px	py	Verifica
750	SLU 45	0.817	1	-415.6	96780.8	1	410939	505712	1		0	0	Si

Verifica a presso/tenso flessione retta X SLD §§ 4.2.4.1.2.3 - 4.2.4.1.2.6 - 4.2.4.1.2.7 - 4.2.4.1.2.8 NTC18

Verifiche eseguite utilizzando la formula conservativa (6.2) §6.2.1 EN 1993-1-1:2005.

X	Comb.	Sfruttamento	Classe	NEd	NRd	Rid. NRd da VEd	Mx,Ed	Mx,Rd	Rid. Mx,Rd da VEd	Rid. Mx,Rd da NEd	px	py	Verifica
143.3	SLD 1	0.02	1	-122	96780.8	1	9494	505712	1		0	0	Si

Verifica a presso/tenso flessione retta Y §§ 4.2.4.1.2.3 - 4.2.4.1.2.6 - 4.2.4.1.2.7 - 4.2.4.1.2.8 NTC18

Verifiche eseguite utilizzando la formula conservativa (6.2) §6.2.1 EN 1993-1-1:2005.

X	Comb.	Sfruttamento	Classe	NEd	NRd	Rid. NRd da VEd	My,Ed	My,Rd	Rid. My,Rd da VEd	Rid. My,Rd da NEd	px	py	Verifica
106.7	SLV 13	0.004	1	63.8	96780.8	1	1753	505712	1		0	0	Si

Verifica a presso/tenso flessione retta Y SLD §§ 4.2.4.1.2.3 - 4.2.4.1.2.6 - 4.2.4.1.2.7 - 4.2.4.1.2.8 NTC18

Verifiche eseguite utilizzando la formula conservativa (6.2) §6.2.1 EN 1993-1-1:2005.

X	Comb.	Sfruttamento	Classe	NEd	NRd	Rid. NRd da VEd	My,Ed	My,Rd	Rid. My,Rd da VEd	Rid. My,Rd da NEd	px	py	Verifica
563.3	SLD 13	0.002	1	-118.1	96780.8	1	-239	505712	1		0	0	Si

Verifica a presso/tenso flessione deviata §§ 4.2.4.1.2.3 - 4.2.4.1.2.6 - 4.2.4.1.2.7 - 4.2.4.1.2.8 NTC18

Verifiche eseguite utilizzando la formula conservativa (6.2) §6.2.1 EN 1993-1-1:2005.

X	Comb.	Sfruttamento	Classe	NEd	NRd	Rid. NRd da VEd	Mx,Ed	Mx,Rd	My,Ed	My,Rd	Rid. Mx,Rd da VEd	Rid. Mx,Rd da NEd	Rid. My,Rd da VEd	Rid. My,Rd da NEd	α	β	px	py	Verifica
750	SLV 9	0.173	1	-105.7	96780.8	1	63495	505712	23401	505712	1		1				0	0	Si

Verifica a presso/tenso flessione deviata SLD §§ 4.2.4.1.2.3 - 4.2.4.1.2.6 - 4.2.4.1.2.7 - 4.2.4.1.2.8 NTC18

Verifiche eseguite utilizzando la formula conservativa (6.2) §6.2.1 EN 1993-1-1:2005.

X	Comb.	Sfruttamento	Classe	NEd	NRd	Rid. NRd da VEd	Mx,Ed	Mx,Rd	My,Ed	My,Rd	Rid. Mx,Rd da VEd	Rid. Mx,Rd da NEd	Rid. My,Rd da VEd	Rid. My,Rd da NEd	α	β	px	py	Verifica
750	SLD 9	0.147	1	-83.1	96780.8	1	61032	505712	12652	505712	1		1				0	0	Si

Verifiche ad instabilità

Caratteristiche iniziali

Membratura principale per controllo snellezza; Calcolo di snellezze ed N critici condotti secondo gli assi principali; Curva X: c; Curva Y: c; Svergolamento: Carico all'estradosso; Curva svergolamento: d;

Dati per instabilità attorno a x

Numero rit.	Presente	Ascissa	Campata	$\beta x/m$	Vincolo a entrambi estremi	$\lambda x/m$	λVer
1	Si	0					
			1-2	1	Si	131.3	Si, (<200)
2	Si	750					

Dati per instabilità attorno a y

Numero rit.	Presente	Ascissa	Campata	$\beta y/n$	k,LT	kw,LT	Vincolo a entrambi estremi	$\lambda y/n$	λVer
1	Si	0							
			1-2	1	1	1	Si	131.3	Si, (<200)
2	Si	750							

Verifica a svergolamento con trazione §4.2.4.1.3.2 NTC18 - §5.5.3 ENV 1993-1-1:1994

X	Comb.	Sfruttamento	Classe	Obblig.	NEd	Mx,Ed	Mx,Eff,Ed	Mb,Rd,x	χ_{LT}	λ adim. LT	L,LT	M,critico	Verifica
573.3	SLV 3	0.022	1	Si	56.5	-11223.4	-11051.1	497365.8	0.983	0.221	750	10870149.3	Si

Verifica di stabilità per tenso-flessione deviata §5.5.3 - §5.5.4 ENV 1993-1-1:1994

X	Comb.	Sfruttamento	Classe	NEd	Mx,Ed	Mx,Eff,Ed	My,Ed	χ_{LT}	kLT	ky	M,critico	Wx	Wy	Verifica
750	SLV 4	0.095	1	103.6	40618.9	40303.3	-7028	0.983	1	1	10870149.3	226	226	Si

Verifica di stabilità per pressoflessione §C.4.2.4.1.3.3.2 NTC18

X	Comb.	Sfruttamento	Classe	NEd	NRk	Mx,Ed max	Mx,Rk	My,Ed max	My,Rk	χ_x	χ_y	kxx	kxy	kyy	χ_{LT}	Verifica	
156.7	SLU 45	0.834	1	-415.6	101619.8	410939.4	530997.3	1.1	530997.3	0.345	0.345	0.467	0.242	0.994	0.404	0.983	Si

Verifica di stabilità per pressoflessione SLD §C.4.2.4.1.3.3.2 NTC18

X	Comb.	Sfruttamento	Classe	NEd	NRk	Mx,Ed max	Mx,Rk	My,Ed max	My,Rk	χ_x	χ_y	kxx	kxy	kyy	χ_{LT}	Verifica	
696.7	SLD 14	0.143	1	-143.2	101619.8	67601.7	530997.3	3799.4	530997.3	0.345	0.345	0.42	0.273	0.997	0.454	0.983	Si

Verifica di stabilità a taglio anima X §4.2.4.1.2.4 [4.2.27] NTC18

η	hw	tw	hw/tw max	Verifica
1.2	13.4	0.8	60	Si

Verifica di stabilità a taglio anima X SLD §4.2.4.1.2.4 [4.2.27] NTC18

η	hw	tw	hw/tw max	Verifica
1.2	13.4	0.8	60	Si

Verifica di stabilità a taglio anima Y §4.2.4.1.2.4 [4.2.27] NTC18

η	hw	tw	hw/tw max	Verifica
1.2	13.4	0.8	60	Si

Verifica di stabilità a taglio anima Y SLD §4.2.4.1.2.4 [4.2.27] NTC18

η	hw	tw	hw/tw max	Verifica
1.2	13.4	0.8	60	Si

Verifiche a deformabilità

Mensola X: No; Mensola Y: No.

Frecce lungo X

Ascissa freccia	Combinazione	Freccia	Luce	L/f	L/f,min	Tipo	Verifica
283.3	SLE RA 1	0	750	10000	250	Totale	Si
276.7	SLE RA 2	0	750	10000	250	Totale	Si

Ascissa freccia	Combinazione	Freccia	Luce	L/f	L/f,min	Tipo	Verifica
276.7	SLE RA 3	0	750	10000	250	Totale	Si
283.3	SLE RA 4	0	750	10000	250	Totale	Si
280	SLE RA 5	0	750	10000	250	Totale	Si
630	SLE RA 2	0	750	10000	350	Variabile	Si
630	SLE RA 3	0	750	10000	350	Variabile	Si
0	SLE RA 4	0	750	10000	350	Variabile	Si
630	SLE RA 5	0	750	10000	350	Variabile	Si
630	SLE RA 6	0	750	10000	350	Variabile	Si

Freccie lungo Y

Ascissa freccia	Combinazione	Freccia	Luce	L/f	L/f,min	Tipo	Verifica
370	SLE RA 6	-1.489	750	503.6	250	Totale	Si
370	SLE RA 7	-1.489	750	503.6	250	Totale	Si
370	SLE RA 11	-1.305	750	574.6	250	Totale	Si
370	SLE RA 13	-1.305	750	574.6	250	Totale	Si
370	SLE RA 2	-1.144	750	655.5	250	Totale	Si
370	SLE RA 6	-1.173	750	639.2	350	Variabile	Si
370	SLE RA 7	-1.173	750	639.2	350	Variabile	Si
370	SLE RA 11	-0.989	750	758.1	350	Variabile	Si
370	SLE RA 13	-0.989	750	758.1	350	Variabile	Si
370	SLE RA 2	-0.828	750	905.5	350	Variabile	Si

Superelemento in acciaio composto dall'asta 1

Caratteristiche del materiale

Acciaio: Fe360, $f_{yk} = 2350$

Caratteristiche geometriche

Lunghezza: 220

Nodo iniziale: 2 Nodo finale: 41

Cerniera iniziale: No Cerniera finale: No

Sovreresistenza: 0% Sisma Z: No

Caratteristiche della sezione

Sezione	Rotazione	Area	Jx	Jy	ix	iy	Wx	Wy	Wplx	Wply
IPE200	180	28.51	1945.38	142.39	8.26	2.23	194.54	28.48	220.89	44.63

Verifiche di resistenza

Verifiche a forza assiale §4.2.4.1.2.1 - §4.2.4.1.2.2 NTC18

X	Comb.	Sfruttamento	Classe	NEd	Nc,Rd	Nt,Rd	Riduzione da taglio	px	py	Verifica
0	SIU 45	0.052	1	-3345.2	63815.1		1	0	0	Si

Verifiche a forza assiale SLD §4.2.4.1.2.1 - §4.2.4.1.2.2 NTC18

X	Comb.	Sfruttamento	Classe	NEd	Nc,Rd	Nt,Rd	Riduzione da taglio	px	py	Verifica
0	SLD 4	0.009	1	-567.6	63815.1		1	0	0	Si

Verifica a taglio X §4.2.4.1.2.4 NTC18

X	Comb.	Sfruttamento	VEd	Vc,Rd	Av	Interazione taglio-torsione	Riduzione torsione	Verifica
95.3	SLU 46	0.021	503.4	23601.6	18.27	Considerata	1	Si

Verifica a taglio X SLD §4.2.4.1.2.4 NTC18

X	Comb.	Sfruttamento	VEd	Vc,Rd	Av	Interazione taglio-torsione	Riduzione torsione	Verifica
0	SLD 1	0.008	193.4	23601.6	18.27	Considerata	1	Si

Verifica a taglio Y §4.2.4.1.2.4 NTC18

X	Comb.	Sfruttamento	VEd	Vc,Rd	Av	Interazione taglio-torsione	Riduzione torsione	Verifica
220	SLV 11	0.011	-196.2	18108.4	14.03	Considerata	1	Si

Verifica a taglio Y SLD §4.2.4.1.2.4 NTC18

X	Comb.	Sfruttamento	VEd	Vc,Rd	Av	Interazione taglio-torsione	Riduzione torsione	Verifica
220	SLD 11	0.006	-106.1	18117.4	14.03	Considerata	1	Si

Verifica a torsione §4.2.4.1.2.5 NTC18

X	Comb.	Sfruttamento torsione	TEd	TRd	Riduzione taglio resistente	Sfruttamento taglio-torsione	rEd,totale	rRd	Verifica
220	SLV 8	0.003	21.3	7852.4	Considerata				Si

Verifica a torsione SLD §4.2.4.1.2.5 NTC18

X	Comb.	Sfruttamento torsione	TEd	TRd	Riduzione taglio resistente	Sfruttamento taglio-torsione	rEd,totale	rRd	Verifica
220	SLD 8	0.001	11.5	7852.4	Considerata				Si

Verifica a presso/tenso flessione retta X §§ 4.2.4.1.2.3 - 4.2.4.1.2.6 - 4.2.4.1.2.7 - 4.2.4.1.2.8 NTC18

Verifiche eseguite utilizzando la formula conservativa (6.2) §6.2.1 EN 1993-1-1:2005.

X	Comb.	Sfruttamento	Classe	NEd	NRd	Rid. NRd da VEd	Mx,Ed	Mx,Rd	Rid. Mx,Rd da VEd	Rid. Mx,Rd da NEd	px	py	Verifica
95.3	SLV 8	0.061	1	-530.8	63815.1	1	25864	494376	1		0	0	Si

Verifica a presso/tenso flessione retta Y §§ 4.2.4.1.2.3 - 4.2.4.1.2.6 - 4.2.4.1.2.7 - 4.2.4.1.2.8 NTC18

Verifiche eseguite utilizzando la formula conservativa (6.2) §6.2.1 EN 1993-1-1:2005.

X	Comb.	Sfruttamento	Classe	NEd	NRd	Rid. NRd da VEd	My,Ed	My,Rd	Rid. My,Rd da VEd	Rid. My,Rd da NEd	px	py	Verifica
220	SLV 1	0.356	1	-549.2	63815.1	1	-34727	99893	1		0	0	Si

Verifica a presso/tenso flessione retta Y SLD §§ 4.2.4.1.2.3 - 4.2.4.1.2.6 - 4.2.4.1.2.7 - 4.2.4.1.2.8 NTC18

Verifiche eseguite utilizzando la formula conservativa (6.2) §6.2.1 EN 1993-1-1:2005.

X	Comb.	Sfruttamento	Classe	NEd	NRd	Rid. NRd da VEd	My,Ed	My,Rd	Rid. My,Rd da VEd	Rid. My,Rd da NEd	px	py	Verifica
220	SLD 1	0.241	1	-518.3	63815.1	1	-23248	99893	1		0	0	Si

Verifica a presso/tenso flessione deviata §§ 4.2.4.1.2.3 - 4.2.4.1.2.6 - 4.2.4.1.2.7 - 4.2.4.1.2.8 NTC18

Verifiche eseguite utilizzando la formula conservativa (6.2) §6.2.1 EN 1993-1-1:2005.

X	Comb.	Sfruttamento	Classe	NEd	NRd	Rid. NRd da VEd	Mx,Ed	Mx,Rd	My,Ed	My,Rd	Rid. Mx,Rd da VEd	Rid. Mx,Rd da NEd	Rid. My,Rd da VEd	Rid. My,Rd da NEd	α	β	px	py	Verifica
220	SLU 46	0.791	1	-3281.2	63815.1	1	332	494376	-73801	99893	1		1				0	0	Si

Verifica a presso/tenso flessione deviata SLD §§ 4.2.4.1.2.3 - 4.2.4.1.2.6 - 4.2.4.1.2.7 - 4.2.4.1.2.8 NTC18

Verifiche eseguite utilizzando la formula conservativa (6.2) §6.2.1 EN 1993-1-1:2005.

X	Comb.	Sfruttamento	Classe	NEd	NRd	Rid. NRd da VEd	Mx,Ed	Mx,Rd	My,Ed	My,Rd	Rid. Mx,Rd da VEd	Rid. Mx,Rd da NEd	Rid. My,Rd da VEd	Rid. My,Rd da NEd	α	β	px	py	Verifica
220	SLD 3	0.242	1	-518.3	63815.1	1	435	494376	-23248	99893	1		1				0	0	Si

Verifiche ad instabilità

Caratteristiche iniziali

Membratura principale per controllo snellezza; Calcolo di snellezze ed N critici condotti secondo gli assi principali;
Curva X: a; Curva Y: b; Svergolamento: Carico all'estradosso; Curva svergolamento: b;

Dati per instabilità attorno a x

Numero rit.	Presente	Ascissa	Campata	$\beta x/m$	Vincolo a entrambi estremi	$\lambda x/m$	λVer
1	Si	0					
			1-2	1	Si	26.6	Si, (<200)
2	Si	220					

Dati per instabilità attorno a y

Numero rit.	Presente	Ascissa	Campata	$\beta y/n$	k,LT	kw,LT	Vincolo a entrambi estremi	$\lambda y/n$	λVer
1	Si	0							
			1-2	1	1	1	Si	98.4	Si, (<200)
2	Si	220							

Verifica di stabilità per pressoflessione §C.4.2.4.1.3.3.2 NTC18

X	Comb.	Sfruttamento	Classe	NEd	NRk	Mx,Ed max	Mx,Rk	My,Ed max	My,Rk	χ_x	χ_y	kxx	kxy	kyy	χ_{LT}	Verifica	
0	SLU 46	0.429	1	-3345.2	67005.9	335.2	519095.1	73800.7	104887.5	0.981	0.56	1.001	0.271	0.987	0.452	0.802	Si

Verifica di stabilità per pressoflessione SLD §C.4.2.4.1.3.3.2 NTC18

X	Comb.	Sfruttamento	Classe	NEd	NRk	Mx,Ed max	Mx,Rk	My,Ed max	My,Rk	χ_x	χ_y	kxx	kxy	kyy	χ_{LT}	Verifica	
0	SLD 4	0.127	1	-567.6	67005.9	7394.2	519095.1	23248.2	104887.5	0.981	0.56	0.624	0.245	0.996	0.409	0.909	Si

Verifica di stabilità a taglio anima Y §4.2.4.1.2.4 [4.2.27] NTC18

η	hw	tw	hw/tw max	Verifica
1.2	18.3	0.6	60	Si

Verifica di stabilità a taglio anima Y SLD §4.2.4.1.2.4 [4.2.27] NTC18

η	hw	tw	hw/tw max	Verifica
1.2	18.3	0.6	60	Si

Verifiche a deformabilità

Mensola X: No; Mensola Y: No.

Verifiche non eseguite in quanto il superelemento è verticale.

Verifiche § 7.5 NTC18

Estremi dissipativi del superelemento

Estremo notevole	Asta FEM	Estremo asta	Posizione	Ascissa	Tipo
Piede asta 1	1	Iniziale	0	0	Dissipa Mx, Dissipa My

Verifiche di duttilità §7.5.3.2 NTC18

Classe peggiore 1 <= 3 ad ascissa 0 in comb. SLV 1.

Controllo dello sforzo normale nelle zone dissipative di colonna §7.5.3.2 [7.5.3] NTC18

Estremo notevole	Comb.	Sfruttamento	NEd,ED	Npl,Rd,ED	Verifica
Piede asta 1	SLV 3	0.009	-598.4	63815.1	Si

Verifiche a resistenza ed instabilità della colonna §7.5.4.2 NTC18

Le verifiche previste non vengono condotte in quanto non esistono estremi notevoli dissipativi di trave idonei al calcolo di Ω .

NB: superelemento non sollecitato. Verifiche non condotte.

Verifiche di gerarchia delle resistenze trave-colonna §7.5.4.2 [7.5.11] NTC18

Dati del nodo

Quota nodo	Cerniera plastica	Interno	EN di colonne	Tipo	Colonna senza EN	EN di travi	Tipo	Travi senza EN
0	si	No	Piede asta 1	Dissipa Mx, Dissipa My				

$y_{Rd} = 1.3$

Il nodo della colonna a quota 0 è zona di formazione di cerniera plastica e la verifica non deve essere condotta.

Superelemento in acciaio composto dall'asta 3

Caratteristiche del materiale

Acciaio: Fe360, $f_{yk} = 2350$

Caratteristiche geometriche

Lunghezza: 220

Nodo iniziale: 3 Nodo finale: 48

Cerniera iniziale: No Cerniera finale: No

Sovraresistenza: 0% Sisma Z: No

Caratteristiche della sezione

Sezione	Rotazione	Area	Jx	Jy	ix	iy	Wx	Wy	Wplx	Wply
IFE220	180	33.4	2774.54	204.91	9.11	2.48	252.23	37.26	285.69	58.13

Verifiche di resistenza

Verifiche a forza assiale §4.2.4.1.2.1 - §4.2.4.1.2.2 NTC18

X	Comb.	Sfruttamento	Classe	NEd	Nc,Rd	Nt,Rd	Riduzione da taglio	px	py	Verifica
0	SLU 45	0.087	1	-6522.7	74751.3		1	0	0	Si

Verifiche a forza assiale SLD §4.2.4.1.2.1 - §4.2.4.1.2.2 NTC18

X	Comb.	Sfruttamento	Classe	NEd	Nc,Rd	Nt,Rd	Riduzione da taglio	px	py	Verifica
0	SLD 14	0.013	1	-983.5	74751.3		1	0	0	Si

Verifica a taglio X §4.2.4.1.2.4 NTC18

X	Comb.	Sfruttamento	VEd	Vc,Rd	Av	Interazione taglio-torsione	Riduzione torsione	Verifica
0	SLV 14	0.013	-367.3	27788.2	21.51	Considerata	1	Si

Verifica a taglio X SLD §4.2.4.1.2.4 NTC18

X	Comb.	Sfruttamento	VEd	Vc,Rd	Av	Interazione taglio-torsione	Riduzione torsione	Verifica
0	SLD 14	0.007	-201.4	27788.2	21.51	Considerata	1	Si

Verifica a taglio Y §4.2.4.1.2.4 NTC18

X	Comb.	Sfruttamento	VEd	Vc,Rd	Av	Interazione taglio-torsione	Riduzione torsione	Verifica
220	SLV 8	0.019	-381.1	20558.8	15.91	Considerata	1	Si

Verifica a taglio Y SLD §4.2.4.1.2.4 NTC18

X	Comb.	Sfruttamento	VEd	Vc,Rd	Av	Interazione taglio-torsione	Riduzione torsione	Verifica
220	SLD 8	0.01	-206.1	20558.8	15.91	Considerata	1	Si

Verifica a presso/tenso flessione retta X §§ 4.2.4.1.2.3 - 4.2.4.1.2.6 - 4.2.4.1.2.7 - 4.2.4.1.2.8 NTC18

Verifiche eseguite utilizzando la formula conservativa (6.2) §6.2.1 EN 1993-1-1:2005.

X	Comb.	Sfruttamento	Classe	NEd	NRd	Rid. NRd da VEd	Mx,Ed	Mx,Rd	Rid. Mx,Rd da VEd	Rid. Mx,Rd da NEd	px	py	Verifica
110	SLV 11	0.078	1	-950.7	74751.3	1	41669	639392	1		0	0	Si

Verifica a presso/tenso flessione retta Y §§ 4.2.4.1.2.3 - 4.2.4.1.2.6 - 4.2.4.1.2.7 - 4.2.4.1.2.8 NTC18

Verifiche eseguite utilizzando la formula conservativa (6.2) §6.2.1 EN 1993-1-1:2005.

X	Comb.	Sfruttamento	Classe	NEd	NRd	Rid. NRd da VEd	My,Ed	My,Rd	Rid. My,Rd da VEd	Rid. My,Rd da NEd	px	py	Verifica
220	SLV 13	0.323	1	-934	74751.3	1	40420	130104	1		0	0	Si

Verifica a presso/tenso flessione retta Y SLD §§ 4.2.4.1.2.3 - 4.2.4.1.2.6 - 4.2.4.1.2.7 - 4.2.4.1.2.8 NTC18

Verifiche eseguite utilizzando la formula conservativa (6.2) §6.2.1 EN 1993-1-1:2005.

X	Comb.	Sfruttamento	Classe	NEd	NRd	Rid. NRd da VEd	My,Ed	My,Rd	Rid. My,Rd da VEd	Rid. My,Rd da NEd	px	py	Verifica
220	SLD 13	0.184	1	-925.9	74751.3	1	22355	130104	1		0	0	Si

Verifica a presso/tenso flessione deviata §§ 4.2.4.1.2.3 - 4.2.4.1.2.6 - 4.2.4.1.2.7 - 4.2.4.1.2.8 NTC18

Verifiche eseguite utilizzando la formula conservativa (6.2) §6.2.1 EN 1993-1-1:2005.

X	Comb.	Sfruttamento	Classe	NEd	NRd	Rid. NRd da VEd	Mx,Ed	Mx,Rd	My,Ed	My,Rd	Rid. Mx,Rd da VEd	Rid. Mx,Rd da NEd	Rid. My,Rd da VEd	Rid. My,Rd da NEd	α	β	px	py	Verifica
0	SLV 16	0.378	1	-991.6	74751.3	1	25335	639392	-42240	130104	1		1				0	0	Si

Verifica a presso/tenso flessione deviata SLD §§ 4.2.4.1.2.3 - 4.2.4.1.2.6 - 4.2.4.1.2.7 - 4.2.4.1.2.8 NTC18

Verifiche eseguite utilizzando la formula conservativa (6.2) §6.2.1 EN 1993-1-1:2005.

X	Comb.	Sfruttamento	Classe	NEd	NRd	Rid. NRd da VEd	Mx,Ed	Mx,Rd	My,Ed	My,Rd	Rid. Mx,Rd da VEd	Rid. Mx,Rd da NEd	Rid. My,Rd da VEd	Rid. My,Rd da NEd	α	β	px	py	Verifica
0	SLD 16	0.211	1	-983.5	74751.3	1	13872	639392	-22936	130104	1		1				0	0	Si

Verifiche ad instabilità
Caratteristiche iniziali

Membratura principale per controllo snellezza; Calcolo di snellezze ed N critici condotti secondo gli assi principali;

Curva X: a; Curva Y: b; Svergolamento: Carico all'estradosso; Curva svergolamento: b;

Dati per instabilità attorno a x

Numero rit.	Presente	Ascissa	Campata	βx/m	Vincolo a entrambi estremi	λx/m	λVer
1	Si		0				
			1-2	1	Si	24.1	Si, (<200)
2	Si		220				

Dati per instabilità attorno a y

Numero rit.	Presente	Ascissa	Campata	βy/n	k,LT	kw,LT	Vincolo a entrambi estremi	λy/n	λVer
1	Si		0						
			1-2	1	1	1	Si	88.8	Si, (<200)
2	Si		220						

Verifica di stabilità per pressoflessione §C.4.2.4.1.3.3.2 NTC18

X	Comb.	Sfruttamento	Classe	NEd	NRk	Mx,Ed max	Mx,Rk	My,Ed max	My,Rk	χ _x	χ _y	k _{xx}	k _{xy}	k _{yx}	k _{yy}	χ _{LT}	Verifica
0	SLV 13	0.204	1	-991.6	78488.9	24752.2	671361.6	42239.5	136609.4	0.987	0.626	0.59	0.247	0.994	0.411	0.779	Si

Verifica di stabilità per pressoflessione SLD §C.4.2.4.1.3.3.2 NTC18

X	Comb.	Sfruttamento	Classe	NEd	NRk	Mx,Ed max	Mx,Rk	My,Ed max	My,Rk	χ _x	χ _y	k _{xx}	k _{xy}	k _{yx}	k _{yy}	χ _{LT}	Verifica
0	SLD 12	0.122	1	-977.1	78488.9	45496.1	671361.6	7900.1	136609.4	0.987	0.626	0.6	0.247	0.994	0.411	0.933	Si

Verifica di stabilità a taglio anima Y §4.2.4.1.2.4 [4.2.27] NTC18

η	hw	tw	hw/tw max	Verifica
1.2		20.2	0.6	60
				Si

Verifica di stabilità a taglio anima Y SLD §4.2.4.1.2.4 [4.2.27] NTC18

η	hw	tw	hw/tw max	Verifica
1.2	20.2	0.6	60	Si

Verifiche a deformabilità

Mensola X: No; Mensola Y: No.

Verifiche non eseguite in quanto il superelemento è verticale.

Verifiche § 7.5 NTC18
Estremi dissipativi del superelemento

Estremo notevole	Asta FEM	Estremo asta	Posizione	Ascissa	Tipo
Piede asta 3	3	Iniziale	0	0	Dissipa Mx, Dissipa My

Verifiche di duttilità §7.5.3.2 NTC18

Classe peggiore 1 <= 3 ad ascissa 0 in comb. SLV 1.

Controllo dello sforzo normale nelle zone dissipative di colonna §7.5.3.2 [7.5.3] NTC18

Estremo notevole	Comb.	Sfruttamento	NEd,ED	Npl,Rd,ED	Verifica
Piede asta 3	SLV 13	0.013	-991.6	74751.3	Si

Verifiche a resistenza ed instabilità della colonna §7.5.4.2 NTC18

Le verifiche previste non vengono condotte in quanto non esistono estremi notevoli dissipativi di trave idonei al calcolo di Ω .

NB: superelemento non sollecitato. Verifiche non condotte.

Verifiche di gerarchia delle resistenze trave-colonna §7.5.4.2 [7.5.11] NTC18
Dati del nodo

Quota nodo	Cerniera plastica	Interno	EN di colonne	Tipo	Colonna senza EN	EN di travi	Tipo	Travi senza EN
0	Si	No	Piede asta 3	Dissipa Mx, Dissipa My				

$\gamma_{Rd} = 1.3$

Il nodo della colonna a quota 0 è zona di formazione di cerniera plastica e la verifica non deve essere condotta.

Superelemento in acciaio composto dall'asta 4
Caratteristiche del materiale

Acciaio: Fe360, $f_{yk} = 2350$

Caratteristiche geometriche

Lunghezza: 220

Nodo iniziale: 4 Nodo finale: 56

Cerniera iniziale: No Cerniera finale: No

Sovraresistenza: 0% Sisma Z: No

Caratteristiche della sezione

Sezione	Rotazione	Area	Jx	Jy	ix	iy	Wx	Wy	Wplx	Wply
IPE220	180	33.4	2774.54	204.91	9.11	2.48	252.23	37.26	285.69	58.13

Verifiche di resistenza
Verifiche a forza assiale §4.2.4.1.2.1 - §4.2.4.1.2.2 NTC18

X	Comb.	Sfruttamento	Classe	NEd	Nc,Rd	Nt,Rd	Riduzione da taglio	px	py	Verifica
0	SLU 45	0.082	1	-6135.8	74751.3		1	0	0	Si

Verifiche a forza assiale SLD §4.2.4.1.2.1 - §4.2.4.1.2.2 NTC18

X	Comb.	Sfruttamento	Classe	NEd	Nc,Rd	Nt,Rd	Riduzione da taglio	px	py	Verifica
0	SLD 7	0.012	1	-922.7	74751.3		1	0	0	Si

Verifica a taglio X §4.2.4.1.2.4 NTC18

X	Comb.	Sfruttamento	VEd	Vc,Rd	Av	Interazione taglio-torsione	Riduzione torsione	Verifica

X	Comb.	Sfruttamento	VEd	Vc,Rd	Av	Interazione taglio-torsione	Riduzione torsione	Verifica
220	SLV 4	0.013	348	27788.2	21.51	Considerata	1	Si

Verifica a taglio X SLD §4.2.4.1.2.4 NTC18

X	Comb.	Sfruttamento	VEd	Vc,Rd	Av	Interazione taglio-torsione	Riduzione torsione	Verifica
220	SLD 4	0.007	185.6	27788.2	21.51	Considerata	1	Si

Verifica a taglio Y §4.2.4.1.2.4 NTC18

X	Comb.	Sfruttamento	VEd	Vc,Rd	Av	Interazione taglio-torsione	Riduzione torsione	Verifica
117.3	SLV 5	0.017	352.4	20558.8	15.91	Considerata	1	Si

Verifica a taglio Y SLD §4.2.4.1.2.4 NTC18

X	Comb.	Sfruttamento	VEd	Vc,Rd	Av	Interazione taglio-torsione	Riduzione torsione	Verifica
117.3	SLD 5	0.009	190.5	20558.8	15.91	Considerata	1	Si

Verifica a presso/tenso flessione retta X §§ 4.2.4.1.2.3 - 4.2.4.1.2.6 - 4.2.4.1.2.7 - 4.2.4.1.2.8 NTC18

Verifiche eseguite utilizzando la formula conservativa (6.2) §6.2.1 EN 1993-1-1:2005.

X	Comb.	Sfruttamento	Classe	NEd	NRd	Rid. NRd da VEd	Mx,Ed	Mx,Rd	Rid. Mx,Rd da VEd	Rid. Mx,Rd da NEd	px	py	Verifica
0	SLU 45	0.083	1	-6135.8	74751.3	1	497	639392	1		0	0	Si

Verifica a presso/tenso flessione retta Y §§ 4.2.4.1.2.3 - 4.2.4.1.2.6 - 4.2.4.1.2.7 - 4.2.4.1.2.8 NTC18

Verifiche eseguite utilizzando la formula conservativa (6.2) §6.2.1 EN 1993-1-1:2005.

X	Comb.	Sfruttamento	Classe	NEd	NRd	Rid. NRd da VEd	My,Ed	My,Rd	Rid. My,Rd da VEd	Rid. My,Rd da NEd	px	py	Verifica
220	SLV 1	0.3	1	-865	74751.3	1	-37525	130104	1		0	0	Si

Verifica a presso/tenso flessione retta Y SLD §§ 4.2.4.1.2.3 - 4.2.4.1.2.6 - 4.2.4.1.2.7 - 4.2.4.1.2.8 NTC18

Verifiche eseguite utilizzando la formula conservativa (6.2) §6.2.1 EN 1993-1-1:2005.

X	Comb.	Sfruttamento	Classe	NEd	NRd	Rid. NRd da VEd	My,Ed	My,Rd	Rid. My,Rd da VEd	Rid. My,Rd da NEd	px	py	Verifica
212.7	SLD 1	0.155	1	-866.9	74751.3	1	-18622	130104	1		0	0	Si

Verifica a presso/tenso flessione deviata §§ 4.2.4.1.2.3 - 4.2.4.1.2.6 - 4.2.4.1.2.7 - 4.2.4.1.2.8 NTC18

Verifiche eseguite utilizzando la formula conservativa (6.2) §6.2.1 EN 1993-1-1:2005.

X	Comb.	Sfruttamento	Classe	NEd	NRd	Rid. NRd da VEd	Mx,Ed	Mx,Rd	My,Ed	My,Rd	Rid. Mx,Rd da VEd	Rid. Mx,Rd da NEd	Rid. My,Rd da VEd	Rid. My,Rd da NEd	α	β	px	py	Verifica
0	SLV 15	0.363	1	-922.7	74751.3	1	23950	639392	-40779	130104	1		1				0	0	Si

Verifica a presso/tenso flessione deviata SLD §§ 4.2.4.1.2.3 - 4.2.4.1.2.6 - 4.2.4.1.2.7 - 4.2.4.1.2.8 NTC18

Verifiche eseguite utilizzando la formula conservativa (6.2) §6.2.1 EN 1993-1-1:2005.

X	Comb.	Sfruttamento	Classe	NEd	NRd	Rid. NRd da VEd	Mx,Ed	Mx,Rd	My,Ed	My,Rd	Rid. Mx,Rd da VEd	Rid. Mx,Rd da NEd	Rid. My,Rd da VEd	Rid. My,Rd da NEd	α	β	px	py	Verifica
0	SLD 3	0.2	1	-922.7	74751.3	1	13125	639392	21751	130104	1		1				0	0	Si

Verifiche ad instabilità

Caratteristiche iniziali

Membratura principale per controllo snellezza; Calcolo di snellezze ed N critici condotti secondo gli assi principali; Curva X: a; Curva Y: b; Svergolamento: Carico all'estradosso; Curva svergolamento: b;

Dati per instabilità attorno a x

Numero rit.	Presente	Ascissa	Campata	βx/m	Vincolo a entrambi estremi	λx/m	λVer
1	Si		0				
			1-2		1	24.1	Si, (<200)
2	Si		220				

Dati per instabilità attorno a y

Numero rit.	Presente	Ascissa	Campata	$\beta y/n$	k,LT	kw,LT	Vincolo a entrambi estremi	$\lambda y/n$	λVer
1	Si	0							
			1-2	1	1	1	Si	88.8	Si, (<200)
2	Si	220							

Verifica di stabilità per pressoflessione §C.4.2.4.1.3.3.2 NTC18

X	Comb.	Sfruttamento	Classe	NEd	NRk	Mx,Ed max	Mx,Rk	My,Ed max	My,Rk	χ_x	χ_y	kxx	kxy	kyy	χ_{LT}	Verifica	
0	SLV 8	0.19	1	-922.7	78488.9	78941.4	671361.6	12233.8	136609.4	0.987	0.626	0.605	0.246	0.995	0.41	0.934	Si

Verifica di stabilità per pressoflessione SLD §C.4.2.4.1.3.3.2 NTC18

X	Comb.	Sfruttamento	Classe	NEd	NRk	Mx,Ed max	Mx,Rk	My,Ed max	My,Rk	χ_x	χ_y	kxx	kxy	kyy	χ_{LT}	Verifica	
0	SLD 7	0.112	1	-922.7	78488.9	42856.8	671361.6	6525.2	136609.4	0.987	0.626	0.607	0.246	0.995	0.41	0.934	Si

Verifica di stabilità a taglio anima Y §4.2.4.1.2.4 [4.2.27] NTC18

η	hw	tw	hw/tw max	Verifica
1.2	20.2	0.6	60	Si

Verifica di stabilità a taglio anima Y SLD §4.2.4.1.2.4 [4.2.27] NTC18

η	hw	tw	hw/tw max	Verifica
1.2	20.2	0.6	60	Si

Verifiche a deformabilità

Mensola X: No; Mensola Y: No.

Verifiche non eseguite in quanto il superelemento è verticale.

Verifiche § 7.5 NTC18

Estremi dissipativi del superelemento

Estremo notevole	Asta FEM	Estremo asta	Posizione	Ascissa	Tipo
Piede asta 4	4	Iniziale	0	0	Dissipa Mx, Dissipa My

Verifiche di duttilità §7.5.3.2 NTC18

Classe peggiore 1 <= 3 ad ascissa 0 in comb. SLV 1.

Controllo dello sforzo normale nelle zone dissipative di colonna §7.5.3.2 [7.5.3] NTC18

Estremo notevole	Comb.	Sfruttamento	NEd,ED	Npl,Rd,ED	Verifica
Piede asta 4	SLV 7	0.012	-922.7	74751.3	Si

Verifiche a resistenza ed instabilità della colonna §7.5.4.2 NTC18

Le verifiche previste non vengono condotte in quanto non esistono estremi notevoli dissipativi di trave idonei al calcolo di Ω .

NB: superelemento non sollecitato. Verifiche non condotte.

Verifiche di gerarchia delle resistenze trave-colonna §7.5.4.2 [7.5.11] NTC18

Dati del nodo

Quota nodo	Cerniera plastica	Interno	EN di colonne	Tipo	Colonna senza EN	EN di travi	Tipo	Travi senza EN
0	Si	No	Piede asta 4	Dissipa Mx, Dissipa My				

$\gamma_{Rd} = 1.3$

Il nodo della colonna a quota 0 è zona di formazione di cerniera plastica e la verifica non deve essere condotta.

Superelemento in acciaio composto dall'asta 5

Caratteristiche del materiale

Acciaio: Fe360, $f_{yk} = 2350$

Caratteristiche geometriche

Lunghezza: 220

Nodo iniziale: 5 Nodo finale: 64

Cerniera iniziale: No Cerniera finale: No
Sovreresistenza: 0% Sisma Z: No

Caratteristiche della sezione

Sezione	Rotazione	Area	Jx	Jy	ix	iy	Wx	Wy	Wplx	Wply
IPE220	180	33.4	2774.54	204.91	9.11	2.48	252.23	37.26	285.69	58.13

Verifiche di resistenza

Verifiche a forza assiale §4.2.4.1.2.1 - §4.2.4.1.2.2 NTC18

X	Comb.	Sfruttamento	Classe	NEd	Nc,Rd	Nt,Rd	Riduzione da taglio	px	py	Verifica
0	SLU 45	0.087	1	-6522.7	74751.3		1	0	0	Si

Verifiche a forza assiale SLD §4.2.4.1.2.1 - §4.2.4.1.2.2 NTC18

X	Comb.	Sfruttamento	Classe	NEd	Nc,Rd	Nt,Rd	Riduzione da taglio	px	py	Verifica
0	SLD 1	0.013	1	-983.5	74751.3		1	0	0	Si

Verifica a taglio X §4.2.4.1.2.4 NTC18

X	Comb.	Sfruttamento	VEd	Vc,Rd	Av	Interazione taglio-torsione	Riduzione torsione	Verifica
198	SLV 1	0.013	367.3	27788.2	21.51	Considerata	1	Si

Verifica a taglio X SLD §4.2.4.1.2.4 NTC18

X	Comb.	Sfruttamento	VEd	Vc,Rd	Av	Interazione taglio-torsione	Riduzione torsione	Verifica
0	SLD 1	0.007	201.4	27788.2	21.51	Considerata	1	Si

Verifica a taglio Y §4.2.4.1.2.4 NTC18

X	Comb.	Sfruttamento	VEd	Vc,Rd	Av	Interazione taglio-torsione	Riduzione torsione	Verifica
220	SLV 11	0.019	-381.1	20558.8	15.91	Considerata	1	Si

Verifica a taglio Y SLD §4.2.4.1.2.4 NTC18

X	Comb.	Sfruttamento	VEd	Vc,Rd	Av	Interazione taglio-torsione	Riduzione torsione	Verifica
220	SLD 11	0.01	-206.1	20558.8	15.91	Considerata	1	Si

Verifica a presso/tenso flessione retta X §§ 4.2.4.1.2.3 - 4.2.4.1.2.6 - 4.2.4.1.2.7 - 4.2.4.1.2.8 NTC18

Verifiche eseguite utilizzando la formula conservativa (6.2) §6.2.1 EN 1993-1-1:2005.

X	Comb.	Sfruttamento	Classe	NEd	NRd	Rid. NRd da VEd	Mx,Ed	Mx,Rd	Rid. Mx,Rd da VEd	Rid. Mx,Rd da NEd	px	py	Verifica
110	SLV 7	0.078	1	-950.7	74751.3	1	41669	639392	1		0	0	Si

Verifica a presso/tenso flessione retta Y §§ 4.2.4.1.2.3 - 4.2.4.1.2.6 - 4.2.4.1.2.7 - 4.2.4.1.2.8 NTC18

Verifiche eseguite utilizzando la formula conservativa (6.2) §6.2.1 EN 1993-1-1:2005.

X	Comb.	Sfruttamento	Classe	NEd	NRd	Rid. NRd da VEd	My,Ed	My,Rd	Rid. My,Rd da VEd	Rid. My,Rd da NEd	px	py	Verifica
220	SLV 1	0.323	1	-934	74751.3	1	-40420	130104	1		0	0	Si

Verifica a presso/tenso flessione retta Y SLD §§ 4.2.4.1.2.3 - 4.2.4.1.2.6 - 4.2.4.1.2.7 - 4.2.4.1.2.8 NTC18

Verifiche eseguite utilizzando la formula conservativa (6.2) §6.2.1 EN 1993-1-1:2005.

X	Comb.	Sfruttamento	Classe	NEd	NRd	Rid. NRd da VEd	My,Ed	My,Rd	Rid. My,Rd da VEd	Rid. My,Rd da NEd	px	py	Verifica
220	SLD 1	0.184	1	-925.9	74751.3	1	-22355	130104	1		0	0	Si

Verifica a presso/tenso flessione deviata §§ 4.2.4.1.2.3 - 4.2.4.1.2.6 - 4.2.4.1.2.7 - 4.2.4.1.2.8 NTC18

Verifiche eseguite utilizzando la formula conservativa (6.2) §6.2.1 EN 1993-1-1:2005.

X	Comb.	Sfruttamento	Classe	NEd	NRd	Rid. NRd da VEd	Mx,Ed	Mx,Rd	My,Ed	My,Rd	Rid. Mx,Rd da VEd	Rid. Mx,Rd da NEd	Rid. My,Rd da VEd	Rid. My,Rd da NEd	α	β	px	py	Verifica

X	Comb.	Sfruttamento	Classe	NEd	NRd	Rid. NRd da VEd	Mx,Ed	Mx,Rd	My,Ed	My,Rd	Rid. Mx,Rd da VEd	Rid. Mx,Rd da NEd	Rid. My,Rd da VEd	Rid. My,Rd da NEd	α	β	ρ_x	ρ_y	Verifica
0	SLV 4	0.378	1	-991.6	74751.3	1	25335	639392	42240	130104	1		1				0	0	Si

Verifica a presso/tenso flessione deviata SLD §§ 4.2.4.1.2.3 - 4.2.4.1.2.6 - 4.2.4.1.2.7 - 4.2.4.1.2.8 NTC18

Verifiche eseguite utilizzando la formula conservativa (6.2) §6.2.1 EN 1993-1-1:2005.

X	Comb.	Sfruttamento	Classe	NEd	NRd	Rid. NRd da VEd	Mx,Ed	Mx,Rd	My,Ed	My,Rd	Rid. Mx,Rd da VEd	Rid. Mx,Rd da NEd	Rid. My,Rd da VEd	Rid. My,Rd da NEd	α	β	ρ_x	ρ_y	Verifica
0	SLD 3	0.211	1	-983.5	74751.3	1	13872	639392	22936	130104	1		1				0	0	Si

Verifiche ad instabilità

Caratteristiche iniziali

Membratura principale per controllo snellezza; Calcolo di snellezze ed N critici condotti secondo gli assi principali;

Curva X: a; Curva Y: b; Svergolamento: Carico all'estradosso; Curva svergolamento: b;

Dati per instabilità attorno a x

Numero rit.	Presente	Ascissa	Campata	β_x/m	Vincolo a entrambi estremi	λ_x/m	λ_{Ver}
1	Si	0					
			1-2	1	Si	24.1	Si, (<200)
2	Si	220					

Dati per instabilità attorno a y

Numero rit.	Presente	Ascissa	Campata	β_y/n	k,LT	kw,LT	Vincolo a entrambi estremi	λ_y/n	λ_{Ver}
1	Si	0							
			1-2	1	1	1	Si	88.8	Si, (<200)
2	Si	220							

Verifica di stabilità per pressoflessione §C.4.2.4.1.3.3.2 NTC18

X	Comb.	Sfruttamento	Classe	NEd	NRk	Mx,Ed max	Mx,Rk	My,Ed max	My,Rk	χ_x	χ_y	kxx	kxy	kyy	χ_{LT}	Verifica	
0	SLV 1	0.204	1	-991.6	78488.9	24752.2	671361.6	42239.5	136609.4	0.987	0.626	0.59	0.247	0.994	0.411	0.779	Si

Verifica di stabilità per pressoflessione SLD §C.4.2.4.1.3.3.2 NTC18

X	Comb.	Sfruttamento	Classe	NEd	NRk	Mx,Ed max	Mx,Rk	My,Ed max	My,Rk	χ_x	χ_y	kxx	kxy	kyy	χ_{LT}	Verifica	
0	SLD 7	0.122	1	-977.1	78488.9	45496.1	671361.6	7900.1	136609.4	0.987	0.626	0.6	0.247	0.994	0.411	0.933	Si

Verifica di stabilità a taglio anima Y §4.2.4.1.2.4 [4.2.27] NTC18

η	hw	tw	hw/tw max	Verifica
1.2	20.2	0.6	60	Si

Verifica di stabilità a taglio anima Y SLD §4.2.4.1.2.4 [4.2.27] NTC18

η	hw	tw	hw/tw max	Verifica
1.2	20.2	0.6	60	Si

Verifiche a deformabilità

Mensola X: No; Mensola Y: No.

Verifiche non eseguite in quanto il superelemento è verticale.

Verifiche § 7.5 NTC18

Estremi dissipativi del superelemento

Estremo notevole	Asta FEM	Estremo asta	Posizione	Ascissa	Tipo
Piede asta 5	5	Iniziale	0	0	Dissipa Mx, Dissipa My

Verifiche di duttilità §7.5.3.2 NTC18

Classe peggiore 1 <= 3 ad ascissa 0 in comb. SLV 1.

Controllo dello sforzo normale nelle zone dissipative di colonna §7.5.3.2 [7.5.3] NTC18

Estremo notevole	Comb.	Sfruttamento	NEd,ED	Npl,Rd,ED	Verifica
Piede asta 5	SLV 1	0.013	-991.6	74751.3	Si

Verifiche a resistenza ed instabilità della colonna §7.5.4.2 NTC18

Le verifiche previste non vengono condotte in quanto non esistono estremi notevoli dissipativi di trave idonei al calcolo di Ω .

NB: superelemento non sollecitato. Verifiche non condotte.

Verifiche di gerarchia delle resistenze trave-colonna §7.5.4.2 [7.5.11] NTC18
Dati del nodo

Quota nodo	Cerniera plastica	Interno	EN di colonne	Tipo	Colonna senza EN	EN di travi	Tipo	Travi senza EN
0	Si	No	Piede asta 5	Dissipa Mx, Dissipa My				

$\gamma_{Rd} = 1.3$

Il nodo della colonna a quota 0 è zona di formazione di cerniera plastica e la verifica non deve essere condotta.

Superelemento in acciaio composto dall'asta 22
Caratteristiche del materiale

Acciaio: Fe360, $f_{yk} = 2350$

Caratteristiche geometriche

Lunghezza: 220

Nodo iniziale: 6 Nodo finale: 71

Cerniera iniziale: No Cerniera finale: No

Sovraresistenza: 0% Sisma Z: No

Caratteristiche della sezione

Sezione	Rotazione	Area	Jx	Jy	ix	iy	Wx	Wy	Wplx	Wply
IPE200	180	28.51	1945.38	142.39	8.26	2.23	194.54	28.48	220.89	44.63

Verifiche di resistenza
Verifiche a forza assiale §4.2.4.1.2.1 - §4.2.4.1.2.2 NTC18

X	Comb.	Sfruttamento	Classe	NEd	Nc,Rd	Nt,Rd	Riduzione da taglio	p_x	p_y	Verifica
0	SLU 45	0.052	1	-3345.2	63815.1		1	0	0	Si

Verifiche a forza assiale SLD §4.2.4.1.2.1 - §4.2.4.1.2.2 NTC18

X	Comb.	Sfruttamento	Classe	NEd	Nc,Rd	Nt,Rd	Riduzione da taglio	p_x	p_y	Verifica
0	SLD 16	0.009	1	-567.6	63815.1		1	0	0	Si

Verifica a taglio X §4.2.4.1.2.4 NTC18

X	Comb.	Sfruttamento	VEd	Vc,Rd	Av	Interazione taglio-torsione	Riduzione torsione	Verifica
220	SLU 46	0.021	-503.4	23601.6	18.27	Considerata	1	Si

Verifica a taglio X SLD §4.2.4.1.2.4 NTC18

X	Comb.	Sfruttamento	VEd	Vc,Rd	Av	Interazione taglio-torsione	Riduzione torsione	Verifica
220	SLD 13	0.008	-193.4	23601.6	18.27	Considerata	1	Si

Verifica a taglio Y §4.2.4.1.2.4 NTC18

X	Comb.	Sfruttamento	VEd	Vc,Rd	Av	Interazione taglio-torsione	Riduzione torsione	Verifica
220	SLV 8	0.011	-196.2	18108.4	14.03	Considerata	1	Si

Verifica a taglio Y SLD §4.2.4.1.2.4 NTC18

X	Comb.	Sfruttamento	VEd	Vc,Rd	Av	Interazione taglio-torsione	Riduzione torsione	Verifica

X	Comb.	Sfruttamento	VEd	Vc,Rd	Av	Interazione taglio-torsione	Riduzione torsione	Verifica
220	SLD 8	0.006	-106.1	18117.4	14.03	Considerata	1	Si

Verifica a torsione §4.2.4.1.2.5 NTC18

X	Comb.	Sfruttamento torsione	TEd	TRd	Riduzione taglio resistente	Sfruttamento taglio-torsione	rEd,totale	rRd	Verifica
205.3	SLV 12	0.003	-21.3	7852.4	Considerata				Si

Verifica a torsione SLD §4.2.4.1.2.5 NTC18

X	Comb.	Sfruttamento torsione	TEd	TRd	Riduzione taglio resistente	Sfruttamento taglio-torsione	rEd,totale	rRd	Verifica
220	SLD 12	0.001	-11.5	7852.4	Considerata				Si

Verifica a presso/tenso flessione retta X §§ 4.2.4.1.2.3 - 4.2.4.1.2.6 - 4.2.4.1.2.7 - 4.2.4.1.2.8 NTC18

Verifiche eseguite utilizzando la formula conservativa (6.2) §6.2.1 EN 1993-1-1:2005.

X	Comb.	Sfruttamento	Classe	NEd	NRd	Rid. NRd da VEd	Mx,Ed	Mx,Rd	Rid. Mx,Rd da VEd	Rid. Mx,Rd da NEd	px	py	Verifica
95.3	SLV 12	0.061	1	-530.8	63815.1	1	25864	494376	1		0	0	Si

Verifica a presso/tenso flessione retta Y §§ 4.2.4.1.2.3 - 4.2.4.1.2.6 - 4.2.4.1.2.7 - 4.2.4.1.2.8 NTC18

Verifiche eseguite utilizzando la formula conservativa (6.2) §6.2.1 EN 1993-1-1:2005.

X	Comb.	Sfruttamento	Classe	NEd	NRd	Rid. NRd da VEd	My,Ed	My,Rd	Rid. My,Rd da VEd	Rid. My,Rd da NEd	px	py	Verifica
220	SLV 13	0.356	1	-549.2	63815.1	1	34727	99893	1		0	0	Si

Verifica a presso/tenso flessione retta Y SLD §§ 4.2.4.1.2.3 - 4.2.4.1.2.6 - 4.2.4.1.2.7 - 4.2.4.1.2.8 NTC18

Verifiche eseguite utilizzando la formula conservativa (6.2) §6.2.1 EN 1993-1-1:2005.

X	Comb.	Sfruttamento	Classe	NEd	NRd	Rid. NRd da VEd	My,Ed	My,Rd	Rid. My,Rd da VEd	Rid. My,Rd da NEd	px	py	Verifica
220	SLD 13	0.241	1	-518.3	63815.1	1	23248	99893	1		0	0	Si

Verifica a presso/tenso flessione deviata §§ 4.2.4.1.2.3 - 4.2.4.1.2.6 - 4.2.4.1.2.7 - 4.2.4.1.2.8 NTC18

Verifiche eseguite utilizzando la formula conservativa (6.2) §6.2.1 EN 1993-1-1:2005.

X	Comb.	Sfruttamento	Classe	NEd	NRd	Rid. NRd da VEd	Mx,Ed	Mx,Rd	My,Ed	My,Rd	Rid. Mx,Rd da VEd	Rid. Mx,Rd da NEd	Rid. My,Rd da VEd	Rid. My,Rd da NEd	α	β	px	py	Verifica
220	SLU 45	0.791	1	-3281.2	63815.1	1	332	494376	73801	99893	1		1				0	0	Si

Verifica a presso/tenso flessione deviata SLD §§ 4.2.4.1.2.3 - 4.2.4.1.2.6 - 4.2.4.1.2.7 - 4.2.4.1.2.8 NTC18

Verifiche eseguite utilizzando la formula conservativa (6.2) §6.2.1 EN 1993-1-1:2005.

X	Comb.	Sfruttamento	Classe	NEd	NRd	Rid. NRd da VEd	Mx,Ed	Mx,Rd	My,Ed	My,Rd	Rid. Mx,Rd da VEd	Rid. Mx,Rd da NEd	Rid. My,Rd da VEd	Rid. My,Rd da NEd	α	β	px	py	Verifica
220	SLD 16	0.242	1	-518.3	63815.1	1	435	494376	23248	99893	1		1				0	0	Si

Verifiche ad instabilità

Caratteristiche iniziali

Membratura principale per controllo snellezza; Calcolo di snellezze ed N critici condotti secondo gli assi principali;

Curva X: a; Curva Y: b; Svergolamento: Carico all'estradosso; Curva svergolamento: b;

Dati per instabilità attorno a x

Numero rit.	Presente	Ascissa	Campata	$\beta x/m$	Vincolo a entrambi estremi	$\lambda x/m$	λVer
1	Si		0				
			1-2		1	26.6	Si, (<200)
2	Si		220				

Dati per instabilità attorno a y

Numero rit.	Presente	Ascissa	Campata	$\beta y/n$	k,LT	kw,LT	Vincolo a entrambi estremi	$\lambda y/n$	λVer
1	Si		0						

Numero rit.	Presente	Ascissa	Campata	$\beta y/n$	k,LT	kw,LT	Vincolo a entrambi estremi	ly/n	λVer
			1-2	1	1	1	Si	98.4	Si, (<200)
2	Si	220							

Verifica di stabilità per pressoflessione §C.4.2.4.1.3.3.2 NTC18

X	Comb.	Sfruttamento	Classe	NEd	NRk	Mx,Ed max	Mx,Rk	My,Ed max	My,Rk	χ_x	χ_y	kxx	kxy	kyy	$\chi_{,LT}$	Verifica	
0	SLU 45	0.429	1	-3345.2	67005.9	335.2	519095.1	73800.7	104887.5	0.981	0.56	1.001	0.271	0.987	0.452	0.802	Si

Verifica di stabilità per pressoflessione SLD §C.4.2.4.1.3.3.2 NTC18

X	Comb.	Sfruttamento	Classe	NEd	NRk	Mx,Ed max	Mx,Rk	My,Ed max	My,Rk	χ_x	χ_y	kxx	kxy	kyy	$\chi_{,LT}$	Verifica	
0	SLD 15	0.127	1	-567.6	67005.9	7394.2	519095.1	23248.2	104887.5	0.981	0.56	0.624	0.245	0.996	0.409	0.909	Si

Verifica di stabilità a taglio anima Y §4.2.4.1.2.4 [4.2.27] NTC18

η	hw	tw	hw/tw max	Verifica
1.2	18.3	0.6	60	Si

Verifica di stabilità a taglio anima Y SLD §4.2.4.1.2.4 [4.2.27] NTC18

η	hw	tw	hw/tw max	Verifica
1.2	18.3	0.6	60	Si

Verifiche a deformabilità

Mensola X: No; Mensola Y: No.
Verifiche non eseguite in quanto il superelemento è verticale.

Verifiche § 7.5 NTC18

Estremi dissipativi del superelemento

Estremo notevole	Asta FEM	Estremo asta	Posizione	Ascissa	Tipo
Piede asta 22	22	Iniziale	0	0	Dissipa Mx, Dissipa My

Verifiche di duttilità §7.5.3.2 NTC18

Classe peggiore 1 <= 3 ad ascissa 0 in comb. SLV 1.

Controllo dello sforzo normale nelle zone dissipative di colonna §7.5.3.2 [7.5.3] NTC18

Estremo notevole	Comb.	Sfruttamento	NEd,ED	Npl,Rd,ED	Verifica
Piede asta 22	SLV 15	0.009	-598.4	63815.1	Si

Verifiche a resistenza ed instabilità della colonna §7.5.4.2 NTC18

Le verifiche previste non vengono condotte in quanto non esistono estremi notevoli dissipativi di trave idonei al calcolo di Ω .
NB: superelemento non sollecitato. Verifiche non condotte.

Verifiche di gerarchia delle resistenze trave-colonna §7.5.4.2 [7.5.11] NTC18

Dati del nodo

Quota nodo	Cerniera plastica	Interno	EN di colonne	Tipo	Colonna senza EN	EN di travi	Tipo	Travi senza EN
0	Si	No	Piede asta 22	Dissipa Mx, Dissipa My				

$\gamma_{Rd} = 1.3$

Il nodo della colonna a quota 0 è zona di formazione di cerniera plastica e la verifica non deve essere condotta.

Superelemento in acciaio composto dall'asta 80 – Asta in acciaio di supporto dei pannelli fotovoltaici [si riporta la verifica di un solo elemento di supporto dei pannelli fotovoltaici rappresentativo di tutti gli elementi a cui sono fissati i pannelli fotovoltaici]

Superelemento in acciaio composto dall'asta 80

Caratteristiche del materiale

Acciaio: Fe360, fyk = 2350, fuk = 3600

Caratteristiche geometriche

Lunghezza: 180.7

Nodo iniziale: 93 Nodo finale: 60

Cerniera iniziale: No Cerniera finale: No

Sovreresistenza: 0% Sisma Z: No

Irridimento: No

Caratteristiche della sezione

Sezione	Rotazione	Area	Jx	Jy	ix	iy	Wx	Wy	Wplx	Wply
OMEGA 80*40*25*3	0	6.82	55.15	29.58	2.84	2.08	13.23	7.04	17.32	13.25

Processo di formatura: A rullo.

Caratteristiche della sezione lorda ricavate dalla sezione a spigoli vivi

Area,g	Wx,y max,g	Wx,y min,g	Wy,x max,g	Wy,x min,g	xS	yS	Iw	yj
6.91	13.51	14.64	6.83	6.83	0	6.6	166.74	6.8

Caratteristiche della sezione efficace

Area,eff	Wx+,y max,eff	Wx+,y min,eff	Wx-,y max,eff	Wx-,y min,eff	Wy+,x max,eff	Wy+,x min,eff	Wy-,x max,eff	Wy-,x min,eff	eNx	eNy
6.91	13.51	14.64	13.51	14.64	6.83	6.83	6.83	6.83	0	0

Controlli geometrici

Verifica del massimo raggio §5.1(6) EN1993-1-3:2007

$r = 0.45 < 10.52$ - SODDISFATTA

Verifica del minimo raggio C11.3.4.11.2.1 NTC18

$r = 0.45 > 0.3$ - SODDISFATTA

Verifica dello spessore §3.2.4 EN1993-1-3:2007

$t = 0.3: 0.08 < t < 1.6$ - SODDISFATTA

Verifica del rapporto larghezza/spessore Tab. C4.2.XIX NTC18

Lato	b/t	c/t	d/t	Max rapporto	Verifica
1-2		8.33		50	Si
2-3	26.67			60	Si
3-4	13.33			500	Si
5-4	26.67			60	Si
6-5		8.33		50	Si

Verifica degli angoli interni §5.5.3.2 EN1993-1-3:2007; Tab. C4.2.XIX NTC18

Id	Φ	Φ_{min}	Φ_{max}	Verifica
2	90	45	135	Si
3	90	45	90	Si
4	90	45	90	Si
5	90	45	135	Si

Verifiche di resistenza

Verifica a taglio Y §C4.2.12.1.5.4.1 NTC18

X	Comb.	Sfruttamento	VEd	Vb,Rd	fyk	Verifica
180.7	SLU 30	0.001	-7	5997.2	2350	Si

Verifica a taglio Y SLD §C4.2.12.1.5.4.1 NTC18

X	Comb.	Sfruttamento	VEd	Vb,Rd	fyk	Verifica
180.7	SLD 12	0.001	-6.3	5997.2	2350	Si

Verifica a flessione semplice X §§C4.2.12.1.5.3-C4.2.12.1.5.4 NTC18

X	Comb.	Sfruttamento	Mx,Ed	Mcx,Rd	fymk	fyk	Verifica
150.6	SLU 4	0.01	338.5	35421.5	2811.63		Si

Verifica a flessione semplice X SLD §§C4.2.12.1.5.3-C4.2.12.1.5.4 NTC18

X	Comb.	Sfruttamento	Mx,Ed	Mcx,Rd	fymk	fyk	Verifica
18.1	SLD 11	0.001	20.5	35421.5	2811.63		Si

Verifica a flessione semplice Y §§C4.2.12.1.5.3-C4.2.12.1.5.4 NTC18

X	Comb.	Sfruttamento	My,Ed	Mcy,Rd	fymk	fyk	Verifica
48.2	SLV 13	0.005	-93.8	18278.6	2811.63		Si

Verifica a flessione semplice Y SLD §§C4.2.12.1.5.3-C4.2.12.1.5.4 NTC18

X	Comb.	Sfruttamento	My,Ed	Mcy,Rd	fymk	fyk	Verifica
36.1	SLD 14	0.002	-37.5	18278.6	2811.63		Si

Verifica a flessione deviata §§C4.2.12.1.5.3-C4.2.12.1.5.4 NTC18

X	Comb.	Sfruttamento	Mx,Ed	Mcx,Rd	My,Ed	Mcy,Rd	fymk	fyk	Verifica
156.6	SLV 16	0.029	441	35421	-305	18279	2811.63		Si

Verifica a flessione deviata SLD §§C4.2.12.1.5.3-C4.2.12.1.5.4 NTC18

X	Comb.	Sfruttamento	Mx,Ed	Mcx,Rd	My,Ed	Mcy,Rd	fymk	fyk	Verifica
156.6	SLD 16	0.02	407	35421	-163	18279	2811.63		Si

Verifica a presso/tenso flessione §C4.2.12.1.5.4 NTC18

X	Comb.	Sfruttamento	NEd	Nc,Rd	Nt,Rd	Mx,Ed	Mcx,Rd,com	Mcx,Rd,ten	My,Ed	Mcy,Rd,com	Mcy,Rd,ten	fymk	fyk	Verifica
180.7	SLV 16	0.035	-7.7	18272.1		574.15	38551.68	35421.47	-351.79	18278.59	18278.59	2811.63		Si

Verifica a presso/tenso flessione SLD §C4.2.12.1.5.4 NTC18

X	Comb.	Sfruttamento	NEd	Nc,Rd	Nt,Rd	Mx,Ed	Mcx,Rd,com	Mcx,Rd,ten	My,Ed	Mcy,Rd,com	Mcy,Rd,ten	fymk	fyk	Verifica
180.7	SLD 16	0.025	-7.9	18272.1		534.32	38551.68	35421.47	-187.68	18278.59	18278.59	2811.63		Si

Verifiche ad instabilità

Caratteristiche iniziali

Membratura principale per controllo snellezza; Calcolo di snellezze ed N critici condotti secondo gli assi principali;

Curva X: b; Curva Y: b; Svergolamento: Carico all'estradosso; Curva svergolamento: b;

Verifica condotta considerando anche il carico critico Ncr a torsione/flesso-torsione.

Dati per instabilità attorno a x

Numero rit.	Presente	Ascissa	Campata	$\beta x/m$	Vincolo a entrambi estremi	$\lambda x/m$	λVer
1	Si	0					
			1-2	1	Si	63.5	Si, (<200)
2	Si	180.7					

Dati per instabilità attorno a y

Numero rit.	Presente	Ascissa	Campata	$\beta y/n$	$k_{,LT}$	$kw_{,LT}$	Vincolo a entrambi estremi	$\lambda y/n$	λVer
1	Si	0							
			1-2	1	1	1	si	86.8	Si, (<200)
2	Si	180.7							

Verifica a svergolamento §C4.2.12.1.6.2 NTC18

X	Comb.	Sfruttamento	Obblig.	Mx,Ed	Mb,Rd,x	$\chi_{,LT}$	$\lambda adim. LT$	$L_{,LT}$	$M_{,critico}$	Verifica
150.6	SLU 4	0.018	si	338.5	19289.6	0.652	0.915	180.7	37132.1	Si

Verifica a svergolamento SLD §C4.2.12.1.6.2 NTC18

X	Comb.	Sfruttamento	Obblig.	Mx,Ed	Mb,Rd,x	$\chi_{,LT}$	$\lambda adim. LT$	$L_{,LT}$	$M_{,critico}$	Verifica
18.1	SLD 11	0.001	si	20.5	19289.6	0.652	0.915	180.7	37132.1	Si

Verifica di stabilità per pressoflessione con svergolamento §6.5.2 ENV 1993-1-3:2000

X	Comb.	Sfruttamento	NEd	Mx,Ed	My,Ed	Aeff	Weff,x,com	Weff,y,com	$\chi_{,min}$	$\chi_{,lat}$	kx	ky	kLT	$\chi_{,LT}$	Verifica
180.7	SIV 16	0.053	-7.7	574.1	-351.8	6.82	14.4	6.8	0.212	0.212	1	1.002	0.999	0.652	Si

Verifica di stabilità per pressoflessione con svergolamento SLD §6.5.2 ENV 1993-1-3:2000

X	Comb.	Sfruttamento	NEd	Mx,Ed	My,Ed	Aeff	Weff,x,com	Weff,y,com	$\chi_{,min}$	$\chi_{,lat}$	kx	ky	kLT	$\chi_{,LT}$	Verifica
180.7	SLD 16	0.04	-7.9	534.3	-187.7	6.82	14.4	6.8	0.212	0.212	1	1.002	0.999	0.652	Si

Verifica di stabilità per pressoflessione retta §6.2.5(2) EN1993-1-3:2007

X	Comb.	Sfruttamento	NEd	Nb,Rd	Mx,Ed	Mb,Rd,x	$\chi_{,min}$	$l_0 x/m$	$l_0 y/n$	$\lambda adim. x/m$	$\lambda adim. y/n$	$N_{,crit x/m}$	$N_{,crit y/n}$	$\chi_{,LT}$	$\lambda adim. LT$	$M_{,critico}$	Verifica
180.7	SLU 30	0.075	-10.4	3231.5	633.7	19289.6	0.212	180.7	180.7	0.683	1.989	34353.3	4054.9	0.652	0.915	37132.1	Si

Verifiche a deformabilità

Mensola X: No; Mensola Y: No.

Verifiche eseguite considerando, se necessario, la sezione efficace.

Frecce lungo X

Ascissa freccia	Combinazione	Freccia	Luce	L/f	L/f,min	Tipo	Verifica
102.4	SLE RA 1	0	180.7	10000	250	Totale	Si
102.4	SLE RA 2	0	180.7	10000	250	Totale	Si
102.4	SLE RA 3	0	180.7	10000	250	Totale	Si
102.4	SLE RA 4	0	180.7	10000	250	Totale	Si
102.4	SLE RA 5	0	180.7	10000	250	Totale	Si
102.4	SLE RA 2	0	180.7	10000	350	Variabile	Si
102.4	SLE RA 3	0	180.7	10000	350	Variabile	Si
0	SLE RA 4	0	180.7	10000	350	Variabile	Si
102.4	SLE RA 5	0	180.7	10000	350	Variabile	Si
102.4	SLE RA 6	0	180.7	10000	350	Variabile	Si

Frecce lungo Y

Ascissa freccia	Combinazione	Freccia	Luce	L/f	L/f,min	Tipo	Verifica
114.4	SLE RA 1	0.006	180.7	10000	250	Totale	Si
114.4	SLE RA 2	0.006	180.7	10000	250	Totale	Si
114.4	SLE RA 3	0.006	180.7	10000	250	Totale	Si

Ascissa freccia	Combinazione	Freccia	Luce	L/f	L/f,min	Tipo	Verifica
114.4	SLE RA 4	0.006	180.7	10000	250	Totale	Si
114.4	SLE RA 5	0.006	180.7	10000	250	Totale	Si
102.4	SLE RA 2	0	180.7	10000	350	Variabile	Si
102.4	SLE RA 3	0	180.7	10000	350	Variabile	Si
0	SLE RA 4	0	180.7	10000	350	Variabile	Si
102.4	SLE RA 5	0	180.7	10000	350	Variabile	Si
102.4	SLE RA 6	0	180.7	10000	350	Variabile	Si

ALLEGATO 04 – VERIFICHE GEOTECNICHE DEI PALI

ALLEGATO 05 – DATI DI DEFINIZIONE PER DIMENSIONAMENTO BASAMENTI

1. DATI DI DEFINIZIONE

1.1 PREFERENZE COMMESSA

1.1.1 Preferenze di analisi

Metodo di analisi	D.M. 17-01-18 (N.T.C.)
Tipo di costruzione	2 - Costruzioni con livelli di prestazioni ordinari
Vn	50
Classe d'uso	II
Vr	50
Tipo di analisi	Lineare statica
Località	Foggia, Ascoli Satriano, Stazione di Ascoli Satriano; Latitudine ED50 41,2448° (41° 14' 41"); Longitudine ED50 15,5325° (15° 31' 57"); Altitudine s.l.m. 207,03 m.
Categoria del suolo	Località Sal di Collina: E - Terreni con caratteristiche e valori di velocità equivalente riconducibili a quelle definite per le categorie C o D, con profondità del substrato non superiore a 30 m Località Sal di Mezzana: C - Depositi di terreni a grana grossa mediamente addensati o terreni a grana fina mediamente consistenti
Categoria topografica	T1 - Superficie pianeggiante, pendii e rilievi isolati con inclinazione media $i \leq 15^\circ$
Ss orizzontale SLD	1.6
Tb orizzontale SLD	0.193 [s]
Tc orizzontale SLD	0.58 [s]
Td orizzontale SLD	1.837 [s]
Ss orizzontale SLV	1.5056
Tb orizzontale SLV	0.225 [s]
Tc orizzontale SLV	0.675 [s]
Td orizzontale SLV	2.323 [s]
Ss verticale	1
Tb verticale	0.05 [s]
Tc verticale	0.15 [s]
Td verticale	1 [s]
St	1
PVr SLD (%)	63
Tr SLD	50
Ag/g SLD	0.0594
Fo SLD	2.568
Tc* SLD	0.32 [s]
PVr SLV (%)	10
Tr SLV	475
Ag/g SLV	0.1808
Fo SLV	2.486
Tc* SLV	0.412 [s]
Smorzamento viscoso (%)	5
Classe di duttilità	Non dissipativa
Rotazione del sisma	0 [deg]
Quota dello '0' sismico	0 [cm]
Regolarità in pianta	Si

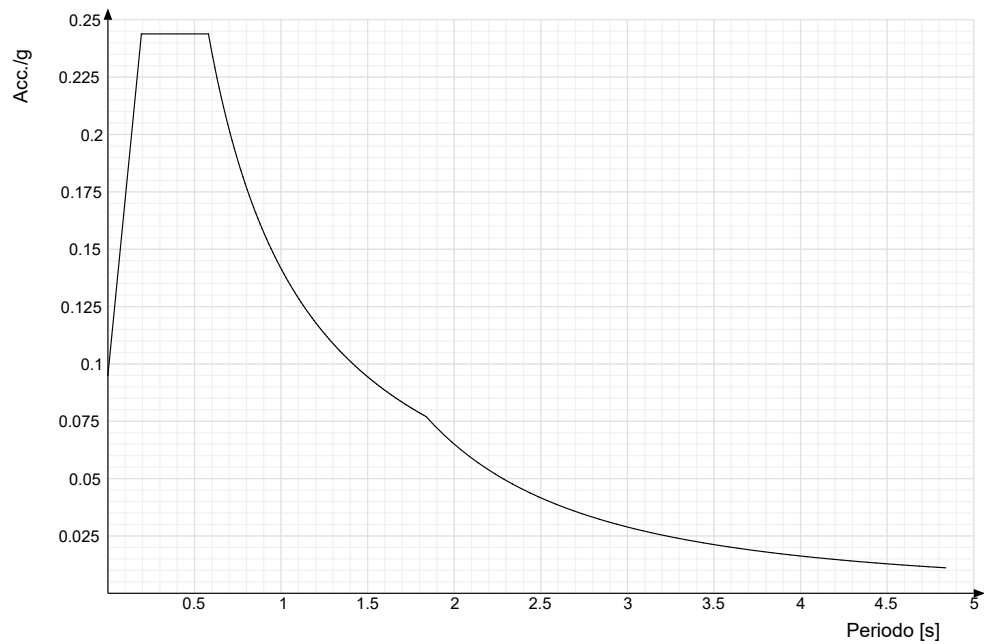
Regolarità in elevazione	Si
Edificio C.A.	Si
Edificio esistente	No
Altezza costruzione	30 [cm]
C1	0.05
T1,x	0.02027 [s]
T1,y	0.02027 [s]
λ SLD,x	1
λ SLD,y	1
λ SLV,x	1
λ SLV,y	1
Limite spostamenti interpiano SLD	0.005
Fattore di comportamento per sisma SLD X	1.2
Fattore di comportamento per sisma SLD Y	1.2
Fattore di comportamento per sisma SLV X	1.2
Fattore di comportamento per sisma SLV Y	1.2
Coefficiente di sicurezza per carico limite (fondazioni superficiali)	2.3
Coefficiente di sicurezza per scorrimento (fondazioni superficiali)	1.1
Coefficiente di sicurezza portanza verticale pali infissi, punta	1.15
Coefficiente di sicurezza portanza verticale pali infissi, laterale compressione	1.15
Coefficiente di sicurezza portanza verticale pali infissi, laterale trazione	1.25
Coefficiente di sicurezza portanza verticale pali trivellati, punta	1.35
Coefficiente di sicurezza portanza verticale pali trivellati, laterale compressione	1.15
Coefficiente di sicurezza portanza verticale pali trivellati, laterale trazione	1.25
Coefficiente di sicurezza portanza verticale micropali, punta	1.35
Coefficiente di sicurezza portanza verticale micropali, laterale compressione	1.15
Coefficiente di sicurezza portanza verticale micropali, laterale trazione	1.25
Coefficiente di sicurezza portanza trasversale pali	1.3
Fattore di correlazione resistenza caratteristica dei pali in base alle verticali indagate	1.7
Coefficiente di sicurezza per ribaltamento (plinti superficiali)	1.15
Combinazioni analisi statica non lineare.	Componenti orizzontali separate secondo Circolare 7 21-01-19 §C7.3.5
Calcola I.R. per elementi nuovi	No

1.1.2 Spettri D.M. 17-01-18

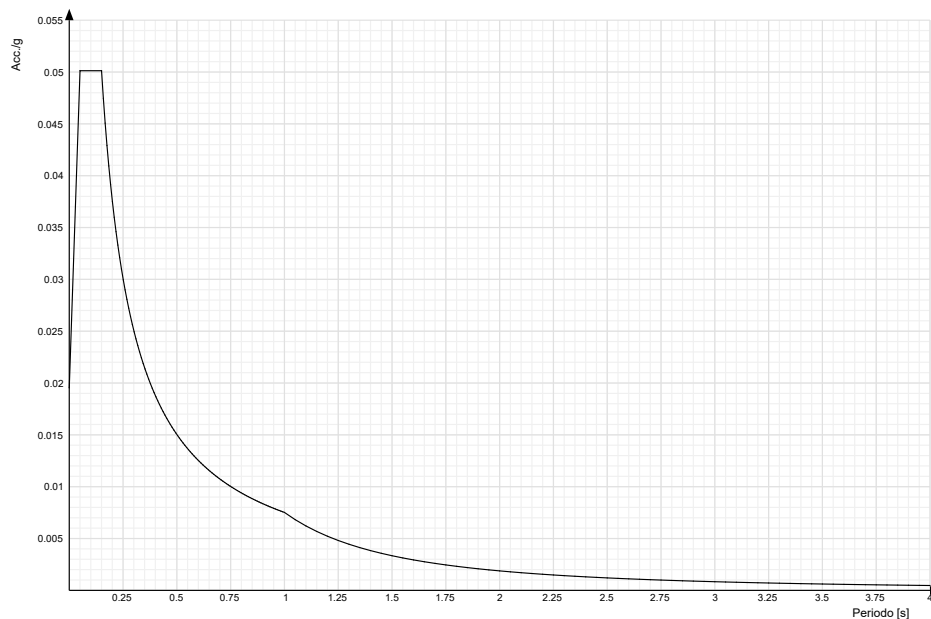
Acc./g: Accelerazione spettrale normalizzata ottenuta dividendo l'accelerazione spettrale per l'accelerazione di gravità.

Periodo: Periodo di vibrazione.

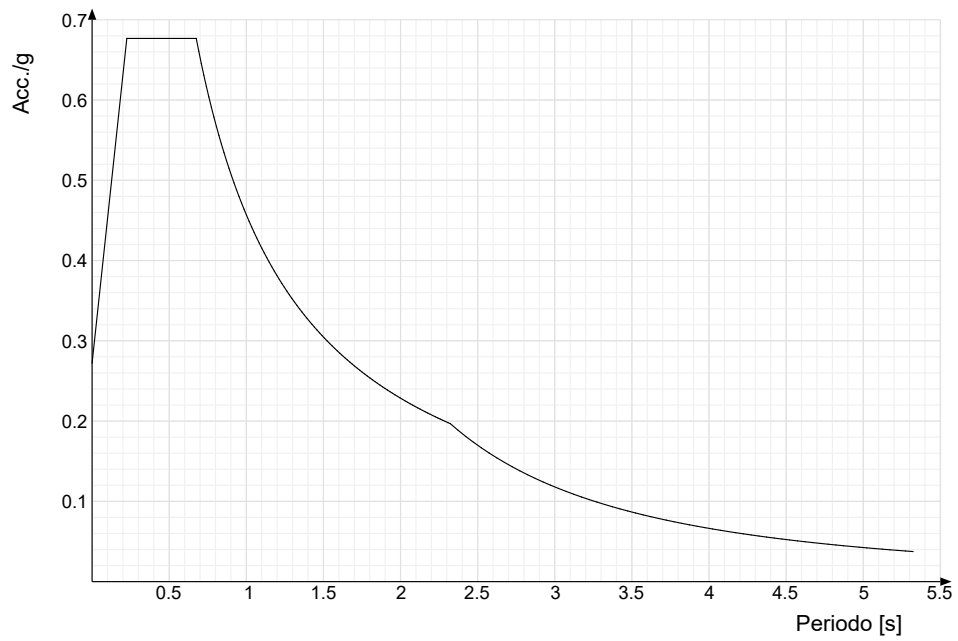
Spettro di risposta elastico in accelerazione delle componenti orizzontali SLD § 3.2.3.2.1 [3.2.2]



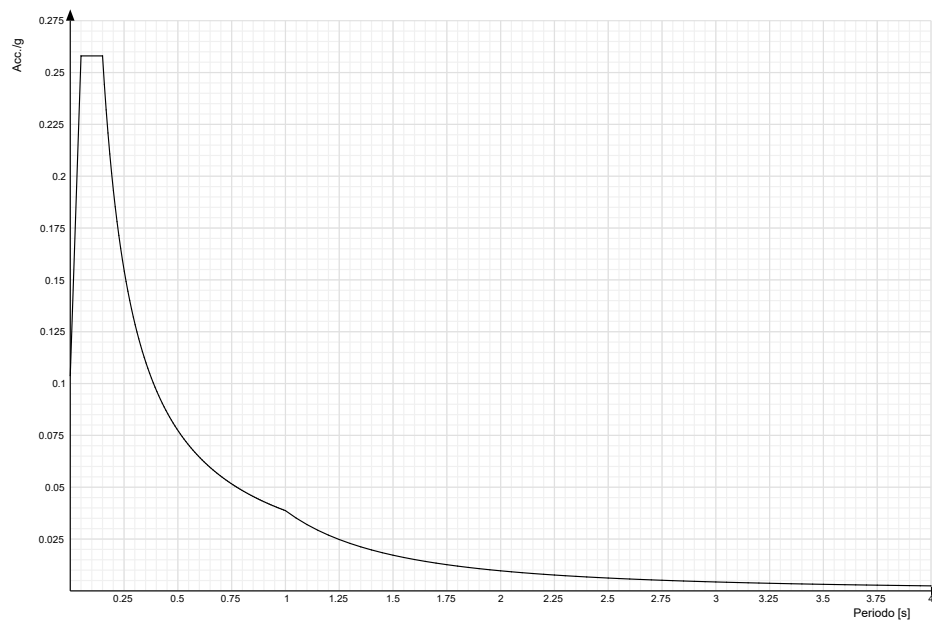
Spettro di risposta elastico in accelerazione della componente verticale SLD § 3.2.3.2.2 [3.2.8]



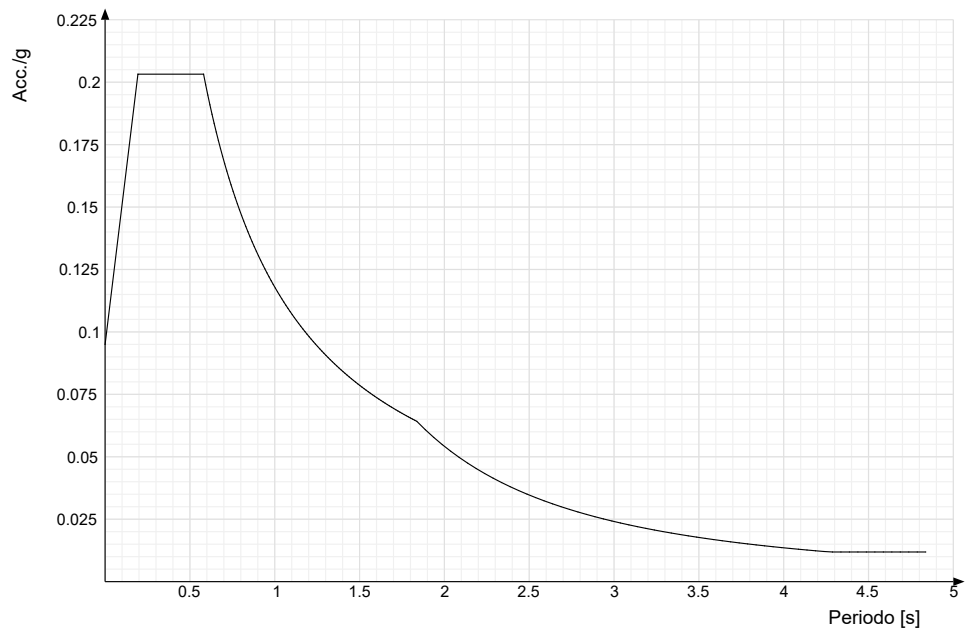
Spettro di risposta elastico in accelerazione delle componenti orizzontali SLV § 3.2.3.2.1 [3.2.2]



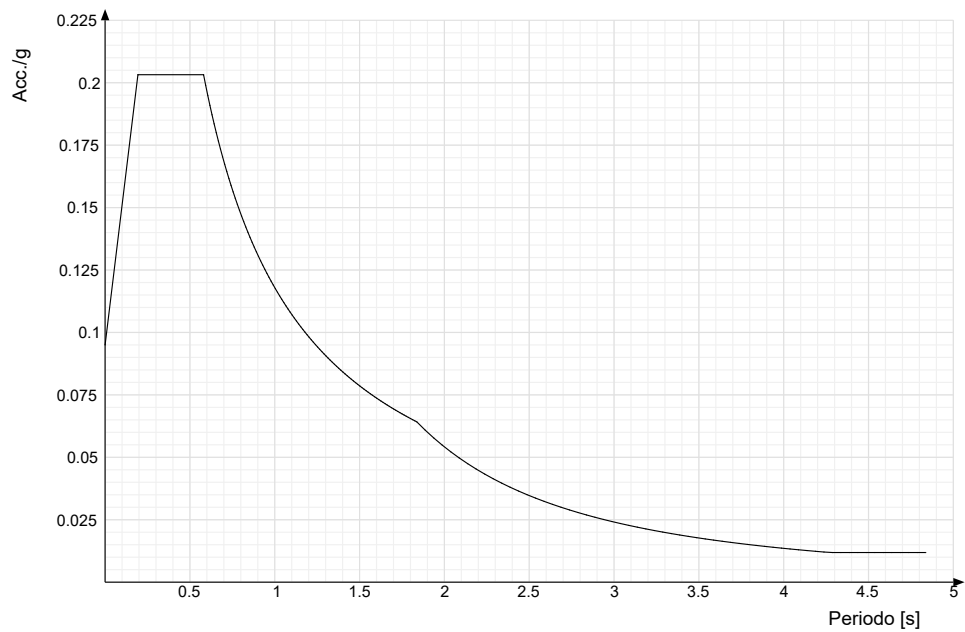
Spettro di risposta elastico in accelerazione della componente verticale SLV § 3.2.3.2.2 [3.2.8]



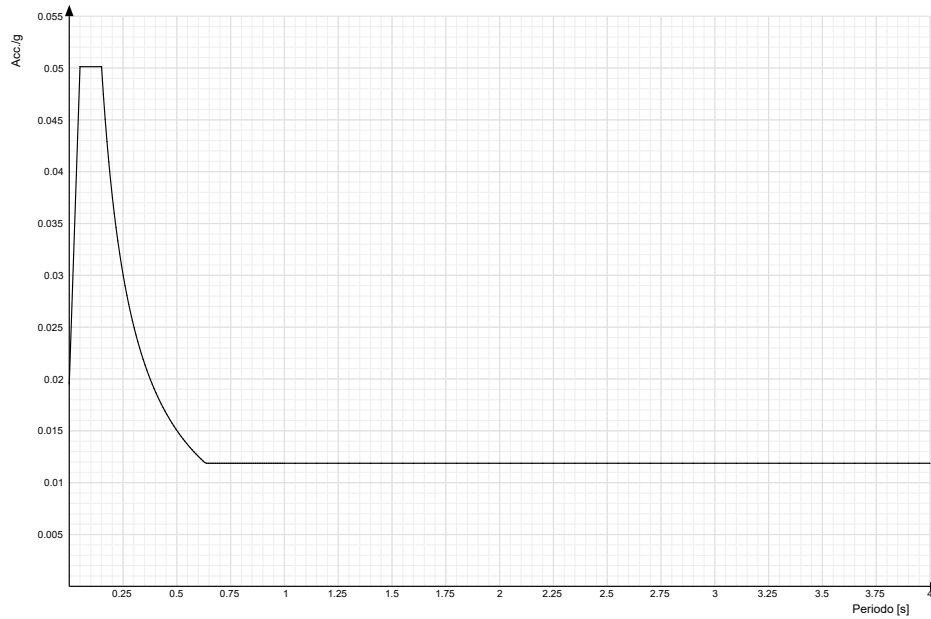
Spettro di risposta di progetto in accelerazione della componente X SLD § 3.2.3.5



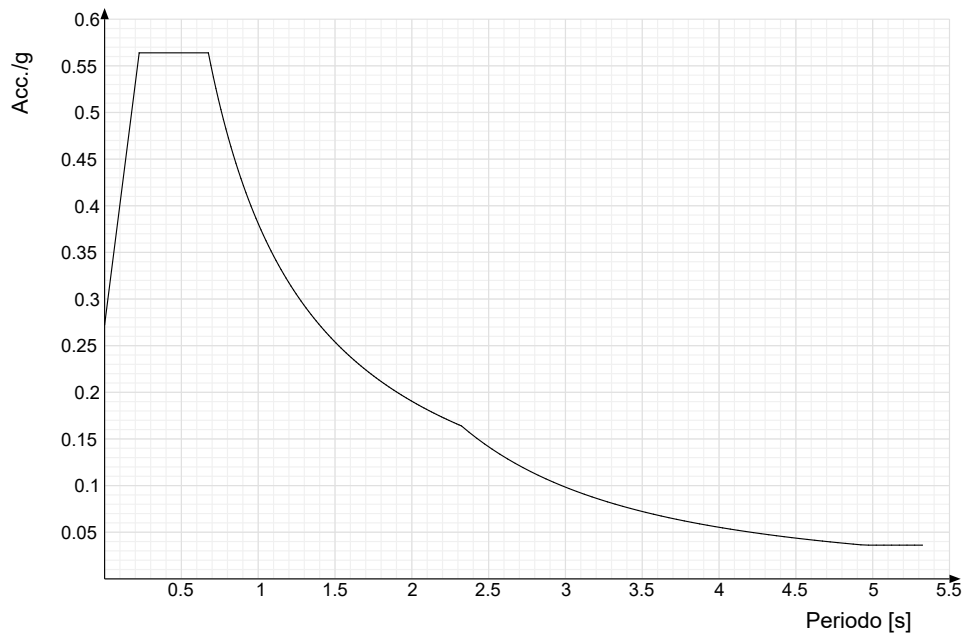
Spettro di risposta di progetto in accelerazione della componente Y SLD § 3.2.3.5



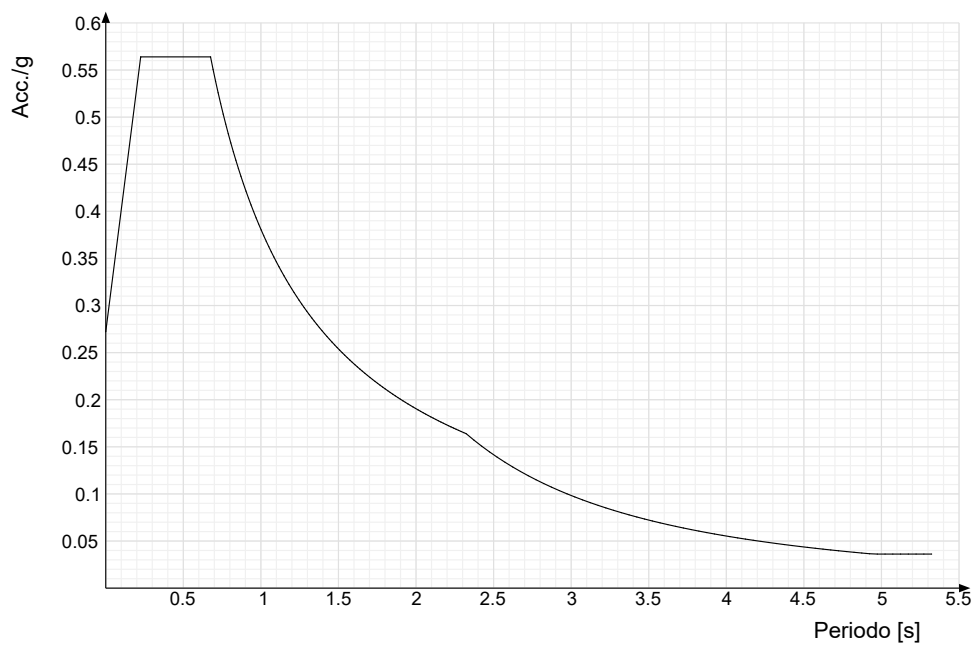
Spettro di risposta di progetto in accelerazione della componente verticale SLD § 3.2.3.5



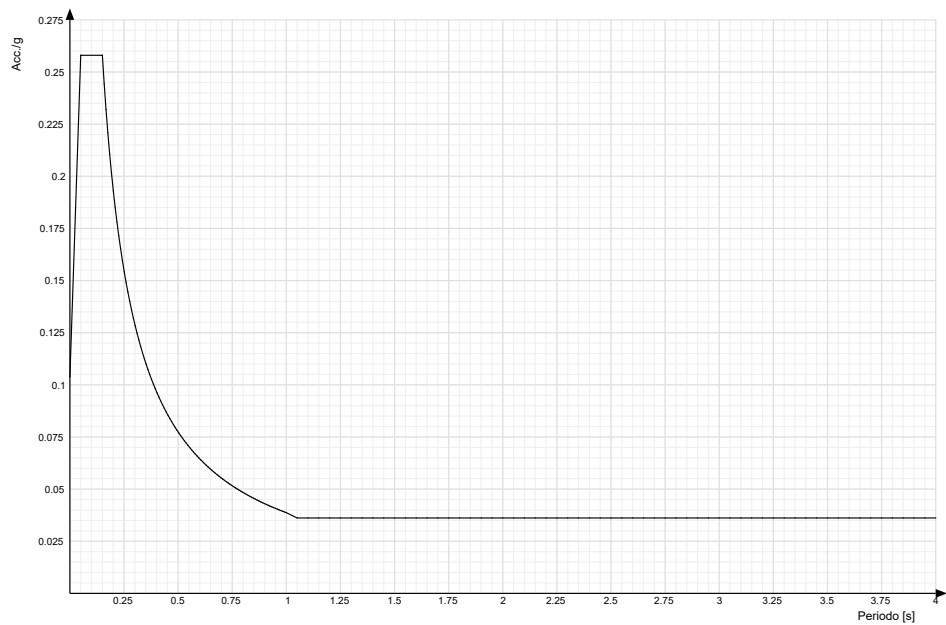
Spettro di risposta di progetto in accelerazione della componente X SLV § 3.2.3.5



Spettro di risposta di progetto in accelerazione della componente Y SLV § 3.2.3.5

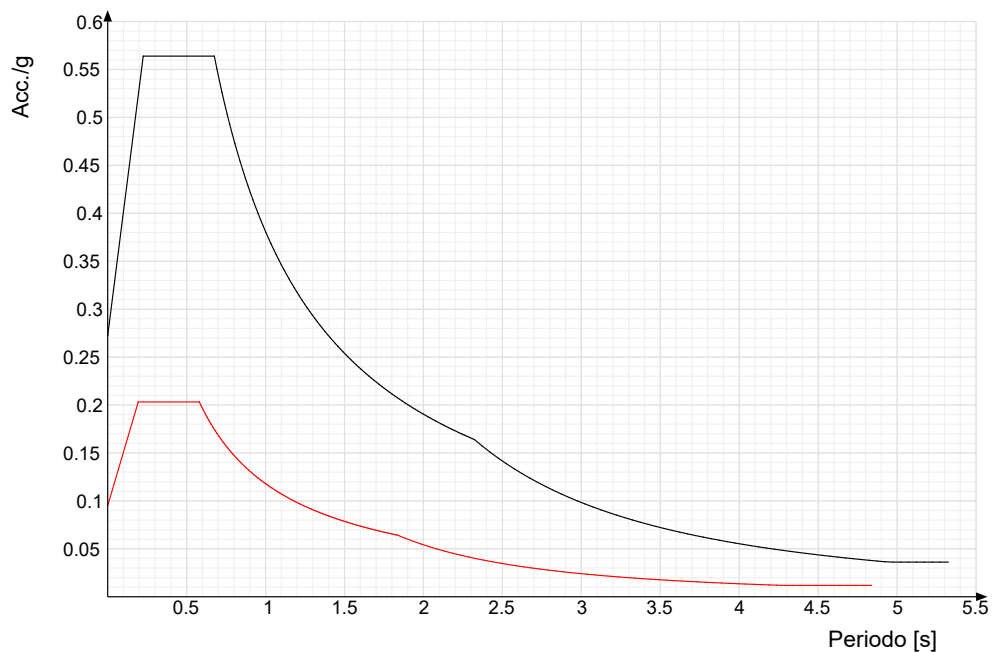


Spettro di risposta di progetto in accelerazione della componente verticale SLV § 3.2.3.5

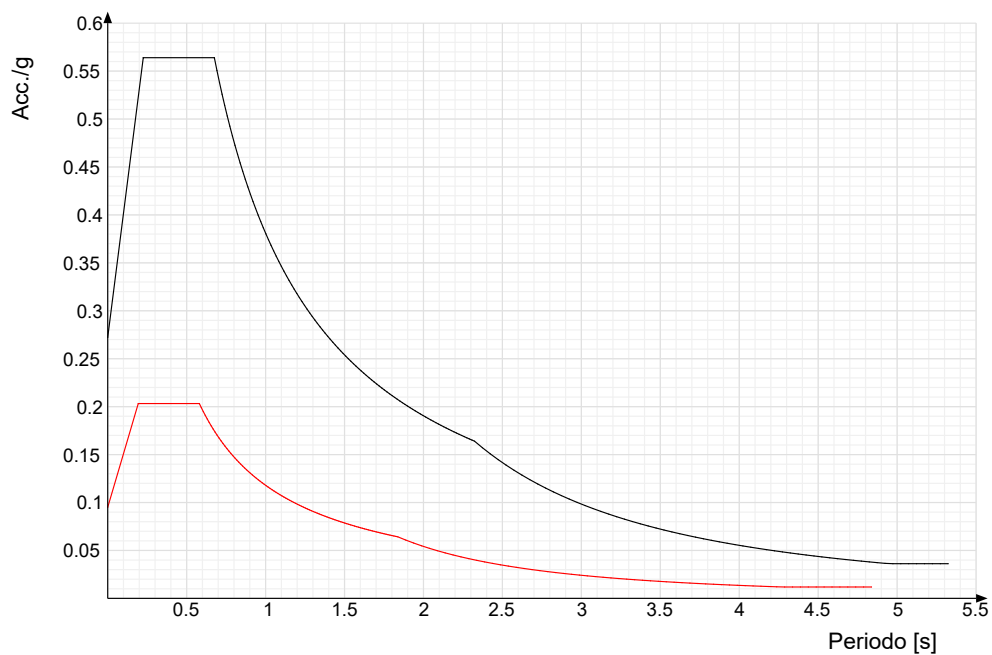


Confronti spettri SLV-SLD

Vengono confrontati lo spettro Spettro di risposta di progetto in accelerazione della componente X SLD § 3.2.3.5 (di colore rosso) e Spettro di risposta di progetto in accelerazione della componente X SLV § 3.2.3.5 (di colore nero).



Vengono confrontati lo spettro Spettro di risposta di progetto in accelerazione della componente Y SLD § 3.2.3.5 (di colore rosso) e Spettro di risposta di progetto in accelerazione della componente Y SLV § 3.2.3.5 (di colore nero).



1.1.3 Preferenze di verifica

1.1.3.1 Normativa di verifica in uso

Norma di verifica	D.M. 17-01-18 (N.T.C.)
Cemento armato	Preferenze analisi di verifica in stato limite

1.1.3.2 Normativa di verifica c.a.

Coefficiente di omogeneizzazione	15
γ_s (fattore di sicurezza parziale per l'acciaio)	1.15
γ_c (fattore di sicurezza parziale per il calcestruzzo)	1.5
Limite σ_c/f_{ck} in combinazione rara	0.6
Limite σ_c/f_{ck} in combinazione quasi permanente	0.45
Limite σ_s/f_{yk} in combinazione rara	0.8
Coefficiente di riduzione della τ per cattiva aderenza	0.7
Dimensione limite fessure w1 §4.1.2.2.4	0.02 [cm]
Dimensione limite fessure w2 §4.1.2.2.4	0.03 [cm]
Dimensione limite fessure w3 §4.1.2.2.4	0.04 [cm]
Fattori parziali di sicurezza unitari per meccanismi duttili di strutture esistenti con fattore q	No
Copriferro secondo EC2	No

1.1.4 Preferenze FEM

Dimensione massima ottimale mesh pareti (default)	50 [cm]
Dimensione massima ottimale mesh piastre (default)	50 [cm]
Tipo di mesh dei gusci (default)	Quadrilateri o triangoli
Tipo di mesh imposta ai gusci	Specifico dell'elemento
Metodo P-Delta	non utilizzato
Analisi buckling	non utilizzata
Tolleranza di parallelismo	4.99 [deg]
Tolleranza di unicità punti	10 [cm]
Tolleranza generazione nodi di aste	1 [cm]
Tolleranza di parallelismo in suddivisione aste	4.99 [deg]
Tolleranza generazione nodi di gusci	4 [cm]
Tolleranza eccentricità carichi concentrati	100 [cm]
Considera deformabilità a taglio negli elementi guscio	No
Segno risultati analisi spettrale	Analisi statica
Memoria utilizzabile dal solutore	8000000
Metodo di risoluzione della matrice	AspenTech MA57
Scrivi commenti nel file di input	No
Scrivi file di output in formato testo	No
Solidi colle e corpi ruvidi (default)	Solidi reali
Moltiplicatore rigidità molla torsionale applicata ad aste di fondazione	1
Modello trave su suolo alla Winkler nel caso di modellazione lineare	Equilibrio elastico

1.1.5 Moltiplicatori inerziali

Tipologia: tipo di entità a cui si riferiscono i moltiplicatori inerziali.

J2: moltiplicatore inerziale di J2. Il valore è adimensionale.

J3: moltiplicatore inerziale di J3. Il valore è adimensionale.

Jt: moltiplicatore inerziale di Jt. Il valore è adimensionale.

A: moltiplicatore dell'area della sezione. Il valore è adimensionale.

A2: moltiplicatore dell'area a taglio in direzione 2. Il valore è adimensionale.

A3: moltiplicatore dell'area a taglio in direzione 3. Il valore è adimensionale.

Conci rigidi: fattore di riduzione dei tronchi rigidi. Il valore è adimensionale.

Tipologia	J2	J3	Jt	A	A2	A3	Conci rigidi
Trave C.A.	1	1	0.01	1	1	1	0.5
Pilastro C.A.	1	1	0.01	1	1	1	0.5
Trave di fondazione	1	1	0.01	1	1	1	0.5

1.1.6 Preferenze di analisi non lineare FEM

Metodo iterativo	Secante
Tolleranza iterazione	0.0001
Numero massimo iterazioni	50

1.1.7 Preferenze di analisi carichi superficiali

Detrazione peso proprio solai nelle zone di sovrapposizione	non applicata
Metodo di ripartizione	a zone d'influenza
Percentuale carico calcolato a trave continua	0
Esegui smoothing diagrammi di carico	applicata
Tolleranza smoothing altezza trapezi	0.001 [daN/cm]
Tolleranza smoothing altezza media trapezi	0.001 [daN/cm]

1.1.8 Preferenze del suolo

Fondazioni non modellate e struttura bloccata alla base	si
Fondazioni bloccate orizzontalmente	no
Considera peso sismico delle fondazioni	no
Fondazioni superficiali e profonde su suolo elastoplastico	si
Coefficiente di sottofondo verticale per fondazioni superficiali (default)	3 [daN/cm ³]
Rapporto di coefficiente sottofondo orizzontale/verticale	0.5
Pressione verticale limite sul terreno per abbassamento (default)	10 [daN/cm ²]
Pressione verticale limite sul terreno per innalzamento (default)	0.001 [daN/cm ²]
Metodo di calcolo della K verticale	Vesic
Metodo di calcolo della portanza e della pressione limite	Vesic
Terreno laterale di riporto da piano posa fondazioni (default)	Argilla Sbbiosa
Dimensione massima della discretizzazione del palo (default)	200 [cm]
Moltiplicatore coesione per pressione orizzontale limite nei pali	1
Moltiplicatore spinta passiva per pressione orizzontale pali	1
K punta palo (default)	2 [daN/cm ³]
Pressione limite punta palo (default)	5 [daN/cm ²]
Pressione per verifica schiacciamento fondazioni superficiali	6 [daN/cm ²]
Calcola cedimenti fondazioni superficiali	no
Spessore massimo strato	100 [cm]
Profondità massima	3000 [cm]
Cedimento assoluto ammissibile	5 [cm]
Cedimento differenziale ammissibile	5 [cm]
Cedimento relativo ammissibile	5 [cm]
Rapporto di inflessione F/L ammissibile	0.003333

Rotazione rigida ammissibile	0.191 [deg]
Rotazione assoluta ammissibile	0.191 [deg]
Distorsione positiva ammissibile	0.191 [deg]
Distorsione negativa ammissibile	0.095 [deg]
Considera fondazioni compensate	no
Coefficiente di riduzione della a Max attesa	0.3
Condizione per la valutazione della spinta su pareti	Lungo termine
Considera l'azione sismica del terreno anche su pareti sotto lo zero sismico	si
Calcola cedimenti teorici pali	si
Considera accorciamento del palo	si
Distanza influenza cedimento palo	1000 [cm]
Distribuzione attrito laterale	Attrito laterale uniforme
Ripartizione del carico	Ripartizione come da modello FEM
Scelta terreno laterale	Media pesata degli strati coinvolti
Scelta terreno punta	Media pesata degli strati coinvolti
Cedimento assoluto ammissibile	5 [cm]
Cedimento medio ammissibile	5 [cm]
Cedimento differenziale ammissibile	5 [cm]
Rotazione rigida ammissibile	0.191 [deg]
Trascura la coesione efficace in verifica allo scorrimento	si
Considera inclinazione spinta del terreno contro pareti	no
Esegui verifica a liquefazione	no
Metodo di verifica liquefazione	Seed-Idriss (1982)
Coeff. di sicurezza minimo a liquefazione	1.3
Magnitudo scaling factor per liquefazione	1

2. AZIONI E CARICHI

2.1 CONDIZIONI ELEMENTARI DI CARICO

Descrizione: nome assegnato alla condizione elementare.

Nome breve: nome breve assegnato alla condizione elementare.

Durata: descrive la durata della condizione (necessario per strutture in legno).

ψ_0 : coefficiente moltiplicatore ψ_0 . Il valore è adimensionale.

ψ_1 : coefficiente moltiplicatore ψ_1 . Il valore è adimensionale.

ψ_2 : coefficiente moltiplicatore ψ_2 . Il valore è adimensionale.

Con segno: descrive se la condizione elementare ha la possibilità di variare di segno.

Descrizione	Nome breve	Durata	ψ_0	ψ_1	ψ_2	Con segno
Pesi strutturali	Pesi	Permanente				
Permanenti portati	Port.	Permanente				
Vento	Vento	Media	0.6	0.2	0	
Variabile A	Variabile A	Media	0.7	0.5	0.3	
Neve	Neve	Media	0.5	0.2	0	
ΔT	ΔT	Media	0.6	0.5	0	No
Sisma X SLV	X SLV					
Sisma Y SLV	Y SLV					
Sisma Z SLV	Z SLV					
Eccentricità Y per sisma X SLV	EY SLV					
Eccentricità X per sisma Y SLV	EX SLV					
Sisma X SLD	X SLD					
Sisma Y SLD	Y SLD					
Sisma Z SLD	Z SLD					
Eccentricità Y per sisma X SLD	EY SLD					
Eccentricità X per sisma Y SLD	EX SLD					
Rig. Ux	R Ux					
Rig. Uy	R Uy					
Rig. Rz	R Rz					

2.2 COMBINAZIONI DI CARICO

Nome: E' il nome esteso che contraddistingue la condizione elementare di carico.

Nome breve: E' il nome compatto della condizione elementare di carico, che viene utilizzato altrove nella relazione.

Pesi: Pesi strutturali

Port.: Permanenti portati

Vento: Vento

Variabile A: Variabile A

Neve: Neve

ΔT : ΔT

X SLD: Sisma X SLD

Y SLD: Sisma Y SLD

Z SLD: Sisma Z SLD

EY SLD: Eccentricità Y per sisma X SLD

EX SLD: Eccentricità X per sisma Y SLD

Tr x SLD: Terreno sisma X SLD

Tr y SLD: Terreno sisma Y SLD

Tr z SLD: Terreno sisma Z SLD

X SLV: Sisma X SLV

Y SLV: Sisma Y SLV

Z SLV: Sisma Z SLV

EY SLV: Eccentricità Y per sisma X SLV

EX SLV: Eccentricità X per sisma Y SLV

Tr x SLV: Terreno sisma X SLV

Tr y SLV: Terreno sisma Y SLV

Tr z SLV: Terreno sisma Z SLV

R Ux: Rig. Ux

R Uy: Rig. Uy

R Rz: Rig. Rz

Tutte le combinazioni di carico vengono raggruppate per famiglia di appartenenza. Le celle di una riga contengono i coefficienti moltiplicatori della i-esima combinazione, dove il valore della prima cella è da intendersi come moltiplicatore associato alla prima condizione elementare, la seconda cella si riferisce alla seconda condizione elementare e così via.

Famiglia SLU

Il nome compatto della famiglia è SLU.

Nome	Nome breve	Pesi	Port.	Vento	Variabile A	Neve	ΔT
1	SLU 1	1	0.8	0	0	0	0
2	SLU 2	1	0.8	0	0	1.5	0
3	SLU 3	1	0.8	0	1.05	1.5	0
4	SLU 4	1	0.8	0	1.5	0	0
5	SLU 5	1	0.8	0	1.5	0.75	0
6	SLU 6	1	0.8	0.9	0	1.5	0
7	SLU 7	1	0.8	0.9	1.05	1.5	0
8	SLU 8	1	0.8	0.9	1.5	0	0
9	SLU 9	1	0.8	0.9	1.5	0.75	0
10	SLU 10	1	0.8	1.5	0	0	0
11	SLU 11	1	0.8	1.5	0	0.75	0
12	SLU 12	1	0.8	1.5	1.05	0	0
13	SLU 13	1	0.8	1.5	1.05	0.75	0
14	SLU 14	1	1.5	0	0	0	0
15	SLU 15	1	1.5	0	0	1.5	0
16	SLU 16	1	1.5	0	1.05	1.5	0
17	SLU 17	1	1.5	0	1.5	0	0
18	SLU 18	1	1.5	0	1.5	0.75	0
19	SLU 19	1	1.5	0.9	0	1.5	0
20	SLU 20	1	1.5	0.9	1.05	1.5	0
21	SLU 21	1	1.5	0.9	1.5	0	0
22	SLU 22	1	1.5	0.9	1.5	0.75	0
23	SLU 23	1	1.5	1.5	0	0	0
24	SLU 24	1	1.5	1.5	0	0.75	0
25	SLU 25	1	1.5	1.5	1.05	0	0
26	SLU 26	1	1.5	1.5	1.05	0.75	0
27	SLU 27	1.3	0.8	0	0	0	0
28	SLU 28	1.3	0.8	0	0	1.5	0
29	SLU 29	1.3	0.8	0	1.05	1.5	0
30	SLU 30	1.3	0.8	0	1.5	0	0
31	SLU 31	1.3	0.8	0	1.5	0.75	0
32	SLU 32	1.3	0.8	0.9	0	1.5	0
33	SLU 33	1.3	0.8	0.9	1.05	1.5	0
34	SLU 34	1.3	0.8	0.9	1.5	0	0
35	SLU 35	1.3	0.8	0.9	1.5	0.75	0
36	SLU 36	1.3	0.8	1.5	0	0	0
37	SLU 37	1.3	0.8	1.5	0	0.75	0
38	SLU 38	1.3	0.8	1.5	1.05	0	0
39	SLU 39	1.3	0.8	1.5	1.05	0.75	0
40	SLU 40	1.3	1.5	0	0	0	0
41	SLU 41	1.3	1.5	0	0	1.5	0
42	SLU 42	1.3	1.5	0	1.05	1.5	0
43	SLU 43	1.3	1.5	0	1.5	0	0
44	SLU 44	1.3	1.5	0	1.5	0.75	0
45	SLU 45	1.3	1.5	0.9	0	1.5	0
46	SLU 46	1.3	1.5	0.9	1.05	1.5	0
47	SLU 47	1.3	1.5	0.9	1.5	0	0
48	SLU 48	1.3	1.5	0.9	1.5	0.75	0
49	SLU 49	1.3	1.5	1.5	0	0	0
50	SLU 50	1.3	1.5	1.5	0	0.75	0
51	SLU 51	1.3	1.5	1.5	1.05	0	0
52	SLU 52	1.3	1.5	1.5	1.05	0.75	0

Famiglia SLE rara

Il nome compatto della famiglia è SLE RA.

Nome	Nome breve	Pesi	Port.	Vento	Variabile A	Neve	ΔT
1	SLE RA 1	1	1	0	0	0	0
2	SLE RA 2	1	1	0	0	1	0
3	SLE RA 3	1	1	0	0.7	1	0
4	SLE RA 4	1	1	0	1	0	0
5	SLE RA 5	1	1	0	1	0.5	0
6	SLE RA 6	1	1	0.6	0	1	0
7	SLE RA 7	1	1	0.6	0.7	1	0

Nome	Nome breve	Pesi	Port.	Vento	Variabile A	Neve	ΔT
8	SLE RA 8	1	1	0.6	1	0	0
9	SLE RA 9	1	1	0.6	1	0.5	0
10	SLE RA 10	1	1	1	0	0	0
11	SLE RA 11	1	1	1	0	0.5	0
12	SLE RA 12	1	1	1	0.7	0	0
13	SLE RA 13	1	1	1	0.7	0.5	0

Famiglia SLE frequente

Il nome compatto della famiglia è SLE FR.

Nome	Nome breve	Pesi	Port.	Vento	Variabile A	Neve	ΔT
1	SLE FR 1	1	1	0	0	0	0
2	SLE FR 2	1	1	0	0	0.2	0
3	SLE FR 3	1	1	0	0.3	0.2	0
4	SLE FR 4	1	1	0	0.5	0	0
5	SLE FR 5	1	1	0.2	0	0	0
6	SLE FR 6	1	1	0.2	0.3	0	0

Famiglia SLE quasi permanente

Il nome compatto della famiglia è SLE QP.

Nome	Nome breve	Pesi	Port.	Vento	Variabile A	Neve	ΔT
1	SLE QP 1	1	1	0	0	0	0
2	SLE QP 2	1	1	0	0.3	0	0

Famiglia SLU eccezionale

Il nome compatto della famiglia è SLU EX.

Nome	Nome breve	Pesi	Port.	Vento	Variabile A	Neve	ΔT
------	------------	------	-------	-------	-------------	------	------------

Famiglia SLD

Il nome compatto della famiglia è SLD.

Nome	Nome breve	Pesi	Port.	Vento	Variabile A	Neve	ΔT	X SLD	Y SLD	Z SLD	EY SLD	EX SLD
1	SLD 1	1	1	0	0.3	0	0	-1	-0.3	0	-1	0.3
2	SLD 2	1	1	0	0.3	0	0	-1	-0.3	0	1	-0.3
3	SLD 3	1	1	0	0.3	0	0	-1	0.3	0	-1	0.3
4	SLD 4	1	1	0	0.3	0	0	-1	0.3	0	1	-0.3
5	SLD 5	1	1	0	0.3	0	0	-0.3	-1	0	-0.3	1
6	SLD 6	1	1	0	0.3	0	0	-0.3	-1	0	0.3	-1
7	SLD 7	1	1	0	0.3	0	0	-0.3	1	0	-0.3	1
8	SLD 8	1	1	0	0.3	0	0	-0.3	1	0	0.3	-1
9	SLD 9	1	1	0	0.3	0	0	0.3	-1	0	-0.3	1
10	SLD 10	1	1	0	0.3	0	0	0.3	-1	0	0.3	-1
11	SLD 11	1	1	0	0.3	0	0	0.3	1	0	-0.3	1
12	SLD 12	1	1	0	0.3	0	0	0.3	1	0	0.3	-1
13	SLD 13	1	1	0	0.3	0	0	1	-0.3	0	-1	0.3
14	SLD 14	1	1	0	0.3	0	0	1	-0.3	0	1	-0.3
15	SLD 15	1	1	0	0.3	0	0	1	0.3	0	-1	0.3
16	SLD 16	1	1	0	0.3	0	0	1	0.3	0	1	-0.3

Famiglia SLV

Il nome compatto della famiglia è SLV.

Nome	Nome breve	Pesi	Port.	Vento	Variabile A	Neve	ΔT	X SLV	Y SLV	Z SLV	EY SLV	EX SLV
1	SLV 1	1	1	0	0.3	0	0	-1	-0.3	0	-1	0.3
2	SLV 2	1	1	0	0.3	0	0	-1	-0.3	0	1	-0.3
3	SLV 3	1	1	0	0.3	0	0	-1	0.3	0	-1	0.3
4	SLV 4	1	1	0	0.3	0	0	-1	0.3	0	1	-0.3
5	SLV 5	1	1	0	0.3	0	0	-0.3	-1	0	-0.3	1
6	SLV 6	1	1	0	0.3	0	0	-0.3	-1	0	0.3	-1
7	SLV 7	1	1	0	0.3	0	0	-0.3	1	0	-0.3	1
8	SLV 8	1	1	0	0.3	0	0	-0.3	1	0	0.3	-1
9	SLV 9	1	1	0	0.3	0	0	0.3	-1	0	-0.3	1
10	SLV 10	1	1	0	0.3	0	0	0.3	-1	0	0.3	-1
11	SLV 11	1	1	0	0.3	0	0	0.3	1	0	-0.3	1
12	SLV 12	1	1	0	0.3	0	0	0.3	1	0	0.3	-1
13	SLV 13	1	1	0	0.3	0	0	1	-0.3	0	-1	0.3
14	SLV 14	1	1	0	0.3	0	0	1	-0.3	0	1	-0.3
15	SLV 15	1	1	0	0.3	0	0	1	0.3	0	-1	0.3
16	SLV 16	1	1	0	0.3	0	0	1	0.3	0	1	-0.3

Famiglia Calcolo rigidezza torsionale/flessionale di piano

Il nome compatto della famiglia è CRTFP.

Nome	Nome breve	R Ux	R Uy	R Rz
Rig. Ux+	CRTFP Ux+	1	0	0
Rig. Ux-	CRTFP Ux-	-1	0	0
Rig. Uy+	CRTFP Uy+	0	1	0
Rig. Uy-	CRTFP Uy-	0	-1	0
Rig. Rz+	CRTFP Rz+	0	0	1
Rig. Rz-	CRTFP Rz-	0	0	-1

2.3 DEFINIZIONI DI CARICHI SUPERFICIALI

Nome: nome identificativo della definizione di carico.

Valori: valori associati alle condizioni di carico.

Condizione: condizione di carico a cui sono associati i valori.

Descrizione: nome assegnato alla condizione elementare.

Valore: modulo del carico superficiale applicato alla superficie. [daN/cm²]

Applicazione: modalità con cui il carico è applicato alla superficie.

2.3.1 Cabina Power station

Nome	Valori		
	Condizione Descrizione	Valore	Applicazione
Peso cabina	Pesi strutturali	0	Verticale
	Permanenti portati	0.05	Verticale
	Vento	0	Verticale
	Variabile A	0.04	Verticale
Transformer	Neve	0.0072	Verticale
	Pesi strutturali	0	Verticale
	Permanenti portati	0.015	Verticale
	Vento	0	Verticale
	Variabile A	0	Verticale
	Neve	0	Verticale

2.3.2 Cabina generale MT - ausiliari

Nome	Valori		
	Condizione Descrizione	Valore	Applicazione
Peso cabina	Pesi strutturali	0	Verticale
	Permanenti portati	0.05	Verticale
	Vento	0	Verticale
	Variabile A	0.04	Verticale
	Neve	0.0072	Verticale

2.4 DEFINIZIONI DI CARICHI CONCENTRATI

Nome: nome identificativo della definizione di carico.

Valori: valori associati alle condizioni di carico.

Condizione: condizione di carico a cui sono associati i valori.

Descrizione: nome assegnato alla condizione elementare.

Fx: componente X del carico concentrato. [daN]

Fy: componente Y del carico concentrato. [daN]

Fz: componente Z del carico concentrato. [daN]

Mx: componente di momento della coppia concentrata attorno all'asse X. [daN*cm]

My: componente di momento della coppia concentrata attorno all'asse Y. [daN*cm]

Mz: componente di momento della coppia concentrata attorno all'asse Z. [daN*cm]

2.4.1 Cabina Power station

Nome	Condizione Descrizione	Valori					
		Fx	Fy	Fz	Mx	My	Mz
Transformer	Pesi strutturali	0	0	0	0	0	0
	Permanenti portati	0	0	-1625	0	0	0
	Vento	0	0	0	0	0	0
	Variabile A	0	0	0	0	0	0
	Neve	0	0	0	0	0	0

3. Quote

3.1 LIVELLI

Descrizione breve: nome sintetico assegnato al livello.

Descrizione: nome assegnato al livello.

Quota: quota superiore espressa nel sistema di riferimento assoluto. [cm]

Spessore: spessore del livello. [cm]

Descrizione breve	Descrizione	Quota	Spessore
L1	Fondazione	0	30

I livelli sopra descritti sono comuni a tutti i basamenti in progetto per la località Sal di Collina

Descrizione breve	Descrizione	Quota	Spessore
L1	Fondazione	0	25

I livelli sopra descritti sono comuni a tutti i basamenti in progetto per la località Sal di Mezzana

4. MATERIALI

4.1 MATERIALI C.A.

Descrizione: descrizione o nome assegnato all'elemento.

Rck: resistenza caratteristica cubica; valore medio nel caso di edificio esistente. [daN/cm²]

E: modulo di elasticità longitudinale del materiale per edifici o materiali nuovi. [daN/cm²]

G: modulo di elasticità tangenziale del materiale, viene impiegato nella modellazione di aste e di elementi guscio a comportamento ortotropo. [daN/cm²]

v: coefficiente di Poisson. Il valore è adimensionale.

γ: peso specifico del materiale. [daN/cm³]

α: coefficiente longitudinale di dilatazione termica. [°C-1]

Descrizione	Rck	E	G	v	γ	α
C28/35	350	325881	Default (148127.76)	0.1	0.0025	0.00001

4.1.1 Curve di materiali c.a.

Descrizione: descrizione o nome assegnato all'elemento.

Curva: curva caratteristica.

Reaz.traz.: reagisce a trazione.

Comp.frag.: ha comportamento fragile.

E.compr.: modulo di elasticità a compressione. [daN/cm²]

Incr.compr.: incrudimento di compressione. Il valore è adimensionale.

EpsEc: ε elastico a compressione. Il valore è adimensionale.

EpsUc: ε ultimo a compressione. Il valore è adimensionale.

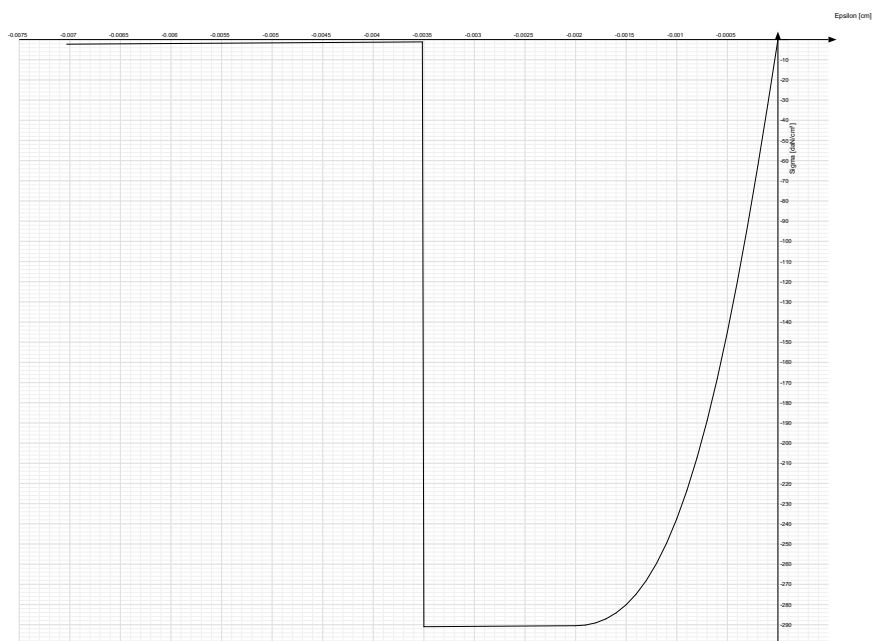
E.traz.: modulo di elasticità a trazione. [daN/cm²]

Incr.traz.: incrudimento di trazione. Il valore è adimensionale.

EpsEt: ε elastico a trazione. Il valore è adimensionale.

EpsUt: ε ultimo a trazione. Il valore è adimensionale.

Descrizione	Curva									
	Reaz.traz.	Comp.frag.	E.compr.	Incr.compr.	EpsEc	EpsUc	E.traz.	Incr.traz.	EpsEt	EpsUt
C28/35	No	Si	325881.08	0.001	-	-	325881.08	0.001	0.0000609	0.000067



4.2 ARMATURE

Descrizione: descrizione o nome assegnato all'elemento.

f_{yk} : resistenza caratteristica. [daN/cm²]

$\sigma_{amm.}$: tensione ammissibile. [daN/cm²]

Tipo: tipo di barra.

E : modulo di elasticità longitudinale del materiale per edifici o materiali nuovi. [daN/cm²]

γ : peso specifico del materiale. [daN/cm³]

ν : coefficiente di Poisson. Il valore è adimensionale.

α : coefficiente longitudinale di dilatazione termica. [°C⁻¹]

Livello di conoscenza: indica se il materiale è nuovo o esistente, e in tal caso il livello di conoscenza secondo Circ.617 02/02/09 §C8A. Informazione impiegata solo in analisi D.M. 14-01-08 (N.T.C.) e D.M. 17-01-18 (N.T.C.).

Descrizione	f_{yk}	$\sigma_{amm.}$	Tipo	E	γ	ν	α	Livello di conoscenza
B450C	4500	2550	Aderenza migliorata	2060000	0.00785	0.3	0.000012	Nuovo

5. PIASTRE C.A.

Livello: quota di inserimento espressa con notazione breve esprimibile come livello, falda, piano orizzontale alla Z specificata. [cm]

Sp.: spessore misurato in direzione ortogonale al piano medio dell'elemento. [cm]

Punti: punti di definizione in pianta.

I: indice del punto corrente nell'insieme dei punti di definizione dell'elemento.

X: coordinata X. [cm]

Y: coordinata Y. [cm]

Estr.: distanza dalla quota di inserimento misurata in direzione ortogonale al piano della quota e con verso positivo verso l'alto. [cm]

Mat.: riferimento ad una definizione di calcestruzzo.

Car.sup.: riferimento alla definizione di un carico superficiale. Accetta anche il valore "Nessuno".

Car.pot.: riferimento alla definizione di un carico potenziale. Accetta anche il valore "Nessuno".

DeltaT: riferimento alla definizione di una variazione termica. Accetta anche il valore "Nessuno".

Sovr.: aliquota di sovrarresistenza da assicurare in verifica.

S.Z: indica se l'elemento deve essere verificato considerando il sisma verticale.

P.sup.: peso per unità di superficie. [daN/cm²]

Fond.: riferimento alla fondazione sottostante l'elemento.

Fori: riferimenti a tutti gli elementi che forano la piastra.

5.1 CABINA POWER STATION

Livello	Sp.	Punti			Estr.	Mat.	Car.sup.	Car.pot.	DeltaT	Sovr.	S.Z	P.sup.	Fond.	Fori
		I.	X	Y										
L1	30	1	-50	-50	0	C28/35				0	No	0.075		
		2	1650	-50										
		3	1650	290										
		4	-50	290										

5.2 CABINA GENERALE MT – AUSILIARI

Livello	Sp.	Punti			Estr.	Mat.	Car.sup.	Car.pot.	DeltaT	Sovr.	S.Z	P.sup.	Fond.	Fori
		I.	X	Y										
L1	30	1	-50	-50	0	C28/35				0	No	0.075		
		2	2050	-50										
		3	2050	520										
		4	-50	520										

ALLEGATO 06 – VERIFICHE BASAMENTI CABINE

VERIFICHE LOCALITA' SAL DI COLLINA

Verifiche piastre in c.a.

Le unità di misura elencate nel capitolo sono in [cm, daN, deg] ove non espressamente specificato.

Nodo: indice del nodo di verifica.

Dir.: direzione della sezione di verifica.

B: base della sezione rettangolare di verifica. [cm]

H: altezza della sezione rettangolare di verifica. [cm]

A. sup.: area barre armatura superiori. [cm²]

C. sup.: distanza media delle barre superiori dal bordo superiore della sezione. [cm]

A. inf.: area barre armatura inferiori. [cm²]

C. inf.: distanza media delle barre inferiori dal bordo inferiore della sezione. [cm]

Comb.: combinazione di verifica.

M: momento flettente. [daN*cm]

N: sforzo normale. [daN]

Mu: momento flettente ultimo. [daN*cm]

Nu: sforzo normale ultimo. [daN]

c.s.: coefficiente di sicurezza.

Verifica: stato di verifica.

σ_c : tensione nel calcestruzzo. [daN/cm²]

σ_{lim} : tensione limite. [daN/cm²]

Es/Ec: coefficiente di omogenizzazione.

σ_f : tensione nell'acciaio d'armatura. [daN/cm²]

Comb.: combinazione.

Fh: componente orizzontale del carico. [daN]

Fv: componente verticale del carico. [daN]

Cnd: resistenza valutata a breve o lungo termine (BT - LT).

Ad: adesione di progetto. [daN/cm²]

Phi: angolo di attrito di progetto. [deg]

RPI: resistenza passiva laterale unitaria di progetto. [daN/cm²]

γ_R : coefficiente parziale sulla resistenza di progetto.

Rd: resistenza alla traslazione di progetto. [daN]

Ed: azione di progetto. [daN]

Rd/Ed: coefficiente di sicurezza allo scorrimento.

ID: indice della verifica di capacità portante.

Fx: componente lungo x del carico. [daN]

Fy: componente lungo y del carico. [daN]

Fz: componente verticale del carico. [daN]

Mx: componente lungo x del momento. [daN*cm]

My: componente lungo y del momento. [daN*cm]

ix: inclinazione del carico in x. [deg]

iy: inclinazione del carico in y. [deg]

ex: eccentricità del carico in x. [cm]

ey: eccentricità del carico in y. [cm]

B': larghezza efficace. [cm]

L': lunghezza efficace. [cm]

C: coesione di progetto. [daN/cm²]

Qs: sovraccarico laterale da piano di posa. [daN/cm²]

Rd: resistenza alla rottura del complesso di progetto. [daN]

Ed: azione di progetto (sforzo normale al piano di posa). [daN]

Rd/Ed: coefficiente di sicurezza alla capacità portante.

N:

Nq: fattore di capacità portante per il termine di sovraccarico.

Nc: fattore di capacità portante per il termine coesivo.

Ng: fattore di capacità portante per il termine attritivo.

S:

Sq: fattore correttivo di capacità portante per forma (shape), per il termine di sovraccarico.

Sc: fattore correttivo di capacità portante per forma (shape), per il termine coesivo.

Sg: fattore correttivo di capacità portante per forma (shape), per il termine attritivo.

D:

Dq: fattore correttivo di capacità portante per approfondimento (deep), per il termine di sovraccarico.

Dc: fattore correttivo di capacità portante per approfondimento (deep), per il termine coesivo.

Dg: fattore correttivo di capacità portante per approfondimento (deep), per il termine attritivo.

I:

Iq: fattore correttivo di capacità portante per inclinazione del carico, per il termine di sovraccarico.

Ic: fattore correttivo di capacità portante per inclinazione del carico, per il termine coesivo.

Ig: fattore correttivo di capacità portante per inclinazione del carico, per il termine attritivo.

B:

Bq: fattore correttivo di capacità portante per inclinazione della base, per il termine di sovraccarico.

Bc: fattore correttivo di capacità portante per inclinazione della base, per il termine coesivo.

Bg: fattore correttivo di capacità portante per inclinazione della base, per il termine attritivo.

G:

Gq: fattore correttivo di capacità portante per inclinazione del pendio, per il termine di sovraccarico.

Gc: fattore correttivo di capacità portante per inclinazione del pendio, per il termine coesivo.

Gg: fattore correttivo di capacità portante per inclinazione del pendio, per il termine attritivo.

P:

Pq: fattore correttivo di capacità portante per punzonamento, per il termine di sovraccarico.

Pc: fattore correttivo di capacità portante per punzonamento, per il termine coesivo.

Pg: fattore correttivo di capacità portante per punzonamento, per il termine attritivo.

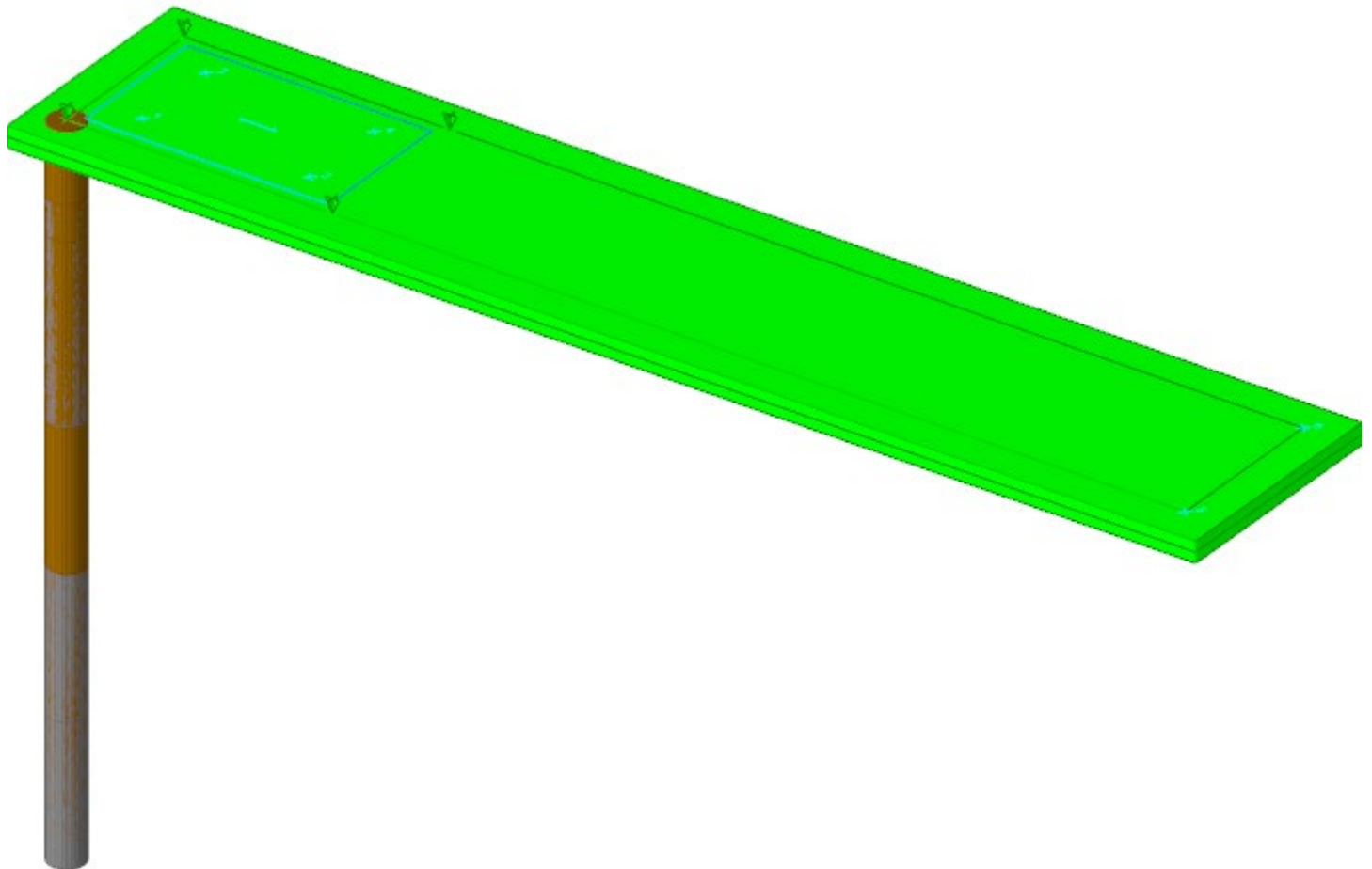
E:

Eq: fattore correttivo di capacità portante per sisma (earthquake), per il termine di sovraccarico.

Ec: fattore correttivo di capacità portante per sisma (earthquake), per il termine coesivo.

Eg: fattore correttivo di capacità portante per sisma (earthquake), per il termine attritivo.

RAPPRESENTAZIONE GENERALE DELLE VERIFICHE BASAMENTO CABINA POWER STATION



Platea a "Fondazione"

Verifiche condotte secondo D.M. 17-01-18 (N.T.C.)

Geometria



Caratteristiche dei materiali

Acciaio: B450C Fyk 4500
Calcestruzzo: C28/35 Rck 350

Sistema di riferimento e direzioni di armatura

Le coordinate citate nel seguito sono espresse in un sistema di riferimento cartesiano con origine in (-50; -50; 0), direzione dell'asse X = (1; 0; 0), direzione dell'asse Y = (0; 1; 0).

Le direzioni X/Y di armatura e le sezioni X/Y di verifica sono individuate dagli assi del sistema di riferimento.

Verifiche nei nodi

Verifiche SLU flessione nei nodi

Nodo	Dir.	B	H	A. sup.	C. sup.	A. inf.	C. inf.	Comb.	M	N	Mu	Nu	c.s.	Verifica
305	Y	50	30	2.83	5.6	2.83	5.6	SLU 14	35990	0	285117	0	7.9222	Si
11	Y	50	30	2.83	5.6	2.83	5.6	SLU 14	35813	0	285117	0	7.9613	Si
62	Y	100	30	5.65	5.6	5.65	5.6	SLU 14	64344	0	579798	0	9.0109	Si
272	Y	100	30	5.65	5.6	5.65	5.6	SLU 14	63428	0	579798	0	9.141	Si
37	Y	81.9	30	4.63	5.6	4.63	5.6	SLU 40	-46562	0	-458872	0	9.8551	Si

Verifiche SLD Resistenza flessione nei nodi

Nodo	Dir.	B	H	A. sup.	C. sup.	A. inf.	C. inf.	Comb.	M	N	Mu	Nu	c.s.	Verifica
305	Y	50	30	2.83	5.6	2.83	5.6	SLD 1	23782	0	236093	0	9.9276	Si
11	Y	50	30	2.83	5.6	2.83	5.6	SLD 1	23698	0	236093	0	9.9627	Si
62	Y	100	30	5.65	5.6	5.65	5.6	SLD 1	42546	0	498552	0	11.718	Si
272	Y	100	30	5.65	5.6	5.65	5.6	SLD 1	41969	0	498552	0	11.8792	Si
37	Y	81.9	30	4.63	5.6	4.63	5.6	SLD 1	-31081	0	-370910	0	11.9336	Si

Verifiche SLE tensione calcestruzzo nei nodi

Nodo	Dir.	B	H	A. sup.	C. sup.	A. inf.	C. inf.	Comb.	M	N	σ_c	σ_{lim}	Es/Ec	Verifica
305	Y	50	30	2.83	5.6	2.83	5.6	SLE QP 1	23782	0	-3	130.7	15	Si
11	Y	50	30	2.83	5.6	2.83	5.6	SLE QP 1	23698	0	-3	130.7	15	Si
62	Y	100	30	5.65	5.6	5.65	5.6	SLE QP 1	42546	0	-2.7	130.7	15	Si
272	Y	100	30	5.65	5.6	5.65	5.6	SLE QP 1	41969	0	-2.6	130.7	15	Si
37	Y	81.9	30	4.63	5.6	4.63	5.6	SLE QP 1	-31081	0	-2.4	130.7	15	Si

Verifiche SLE tensione acciaio nei nodi

Nodo	Dir.	B	H	A. sup.	C. sup.	A. inf.	C. inf.	Comb.	M	N	σ_f	σ_{lim}	Es/Ec	Verifica
305	Y	50	30	2.83	5.6	2.83	5.6	SLE RA 1	23782	0	27.9	3600	15	Si
11	Y	50	30	2.83	5.6	2.83	5.6	SLE RA 1	23698	0	27.8	3600	15	Si
62	Y	100	30	5.65	5.6	5.65	5.6	SLE RA 1	42546	0	25	3600	15	Si
272	Y	100	30	5.65	5.6	5.65	5.6	SLE RA 1	41969	0	24.7	3600	15	Si
37	Y	81.9	30	4.63	5.6	4.63	5.6	SLE RA 1	-31081	0	22.3	3600	15	Si

Verifiche SLE fessurazione nei nodi

La piastra non presenta nodi con apertura delle fessure.

Verifiche geotecniche

Dati geometrici dell'impronta di calcolo

Forma dell'impronta di calcolo: rettangolare di area equivalente
 Centro impronta, nel sistema globale: 800; 120; -30
 Lato minore B dell'impronta: 340
 Lato maggiore L dell'impronta: 1700
 Area dell'impronta rettangolare di calcolo: 578000

Verifica di scorrimento sul piano di posa

Coefficiente di sicurezza minimo per scorrimento 99999

Comb.	Fh	Fv	Cnd	Ad	Phi	RPI	yR	Rd	Ed	Rd/Ed	Verifica
SLU 1	0	-48550	LT	0	15	0	1.1	11826	0	99999	Si
SLV 1	0	-49850	LT	0	15	0	1.1	12143	0	99999	Si

Verifica di capacità portante sul piano di posa

Profondità massima del bulbo di rottura considerato: 3.03 m
 Accelerazione normalizzata massima attesa al suolo Amax per verifiche in SLD: 0.028
 Accelerazione normalizzata massima attesa al suolo Amax per verifiche in SLV: 0.068

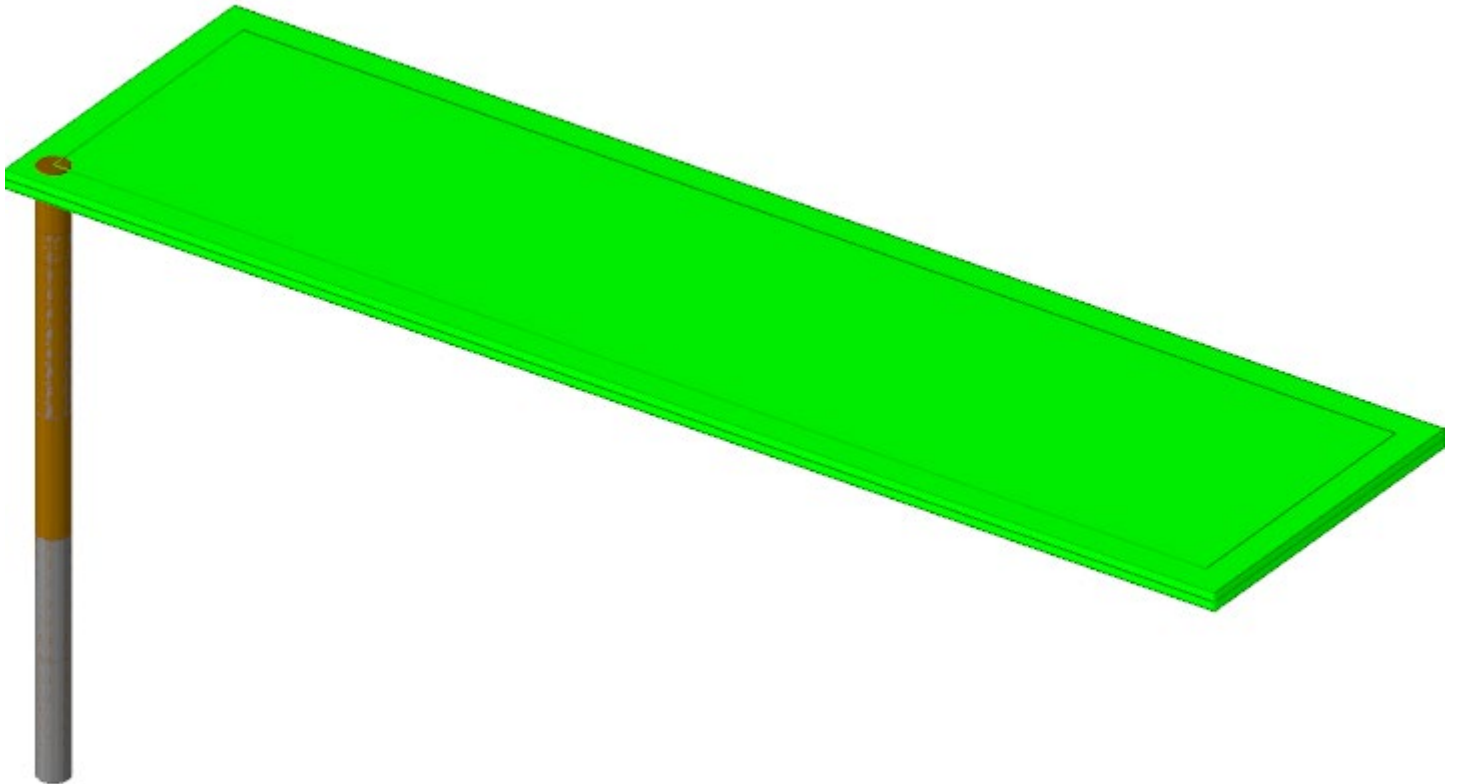
Coefficiente di sicurezza minimo per portanza 1.77

ID	Comb.	Fx	Fy	Fz	Mx	My	ix	iy	ex	ey	B'	L'	Cnd	C	Phi	Qs	yR	Rd	Ed	Rd/Ed	Verifica
1	SLU 40	0	0	-66105	0	-5947500	0	0	-90	0	340	1520	BT	0.1	0	0	2.3	117095	-66105	1.77	Si
2	SLV 1	0	0	-49850	0	-3965000	0	0	-80	0	340	1541	BT	0.1	0	0	2.3	118633	-49850	2.38	Si
3	SLD 1	0	0	-49850	0	-3965000	0	0	-80	0	340	1541	BT	0.1	0	0	2.3	118633	-49850	2.38	Si

Verifiche geotecniche di capacità portante - fattori utilizzati nel calcolo di Rd

ID	N			S			D			I			B			G			P			E		
	Nq	Nc	Ng	Sq	Sc	Sg	Dq	Dc	Dg	Iq	Ic	Ig	Bq	Bc	Bg	Gq	Gc	Gg	Pq	Pc	Pg	Eq	Ec	Eg
1	1	5	0	0	0.04	0	0	0	0	0	0	0	0	0	0	0	0	0	1	1	1	0	0	0
2	1	5	0	0	0.04	0	0	0	0	0	0	0	0	0	0	0	0	0	1	1	1	0	0	0
3	1	5	0	0	0.04	0	0	0	0	0	0	0	0	0	0	0	0	0	1	1	1	0	0	0

RAPPRESENTAZIONE GENERALE DELLE VERIFICHE BASAMENTO CABINA GENERALE MT - AUSILIARI



Platea a "Fondazione"

Verifiche condotte secondo D.M. 17-01-18 (N.T.C.)

Geometria



Caratteristiche dei materiali

Acciaio: B450C Fyk 4500

Calcestruzzo: C28/35 Rck 350

Sistema di riferimento e direzioni di armatura

Le coordinate citate nel seguito sono espresse in un sistema di riferimento cartesiano con origine in (-50; -50; 0), direzione dell'asse X = (1; 0; 0), direzione dell'asse Y = (0; 1; 0).

Le direzioni X/Y di armatura e le sezioni X/Y di verifica sono individuate dagli assi del sistema di riferimento.

Verifiche nei nodi

Verifiche SLU flessione nei nodi

Nodo	Dir.	B	H	A. sup.	C. sup.	A. inf.	C. inf.	Comb.	M	N	Mu	Nu	c.s.	Verifica
241	Y	100	30	5.65	5.6	5.65	5.6	SLU 27	-2023	0	-579798	0	286.6346	Si
280	Y	100	30	5.65	5.6	5.65	5.6	SLU 27	-2023	0	-579798	0	286.6374	Si
239	Y	100	30	5.65	5.6	5.65	5.6	SLU 27	-2023	0	-579798	0	286.6496	Si
278	Y	100	30	5.65	5.6	5.65	5.6	SLU 27	-2023	0	-579798	0	286.6735	Si
259	Y	100	30	5.65	5.6	5.65	5.6	SLU 27	-2018	0	-579798	0	287.3756	Si

Verifiche SLD Resistenza flessione nei nodi

Nodo	Dir.	B	H	A. sup.	C. sup.	A. inf.	C. inf.	Comb.	M	N	Mu	Nu	c.s.	Verifica
486	Y	50	30	2.83	5.6	2.83	5.6	SLD 1	-740	0	-236093	0	319.1203	Si
13	Y	50	30	2.83	5.6	2.83	5.6	SLD 1	-740	0	-236093	0	319.2106	Si
485	Y	50	30	2.83	5.6	2.83	5.6	SLD 1	-739	0	-236093	0	319.4226	Si
12	Y	50	30	2.83	5.6	2.83	5.6	SLD 1	-739	0	-236093	0	319.5553	Si
33	Y	50	30	2.83	5.6	2.83	5.6	SLD 1	-738	0	-236093	0	319.8407	Si

Verifiche SLE tensione calcestruzzo nei nodi

Nodo	Dir.	B	H	A. sup.	C. sup.	A. inf.	C. inf.	Comb.	M	N	σc	σlim	Es/Ec	Verifica
241	Y	100	30	5.65	5.6	5.65	5.6	SLE QP 1	-1556	0	-0.1	130.7	15	Si
280	Y	100	30	5.65	5.6	5.65	5.6	SLE QP 1	-1556	0	-0.1	130.7	15	Si
239	Y	100	30	5.65	5.6	5.65	5.6	SLE QP 1	-1556	0	-0.1	130.7	15	Si
278	Y	100	30	5.65	5.6	5.65	5.6	SLE QP 1	-1556	0	-0.1	130.7	15	Si
259	Y	100	30	5.65	5.6	5.65	5.6	SLE QP 1	-1552	0	-0.1	130.7	15	Si

Verifiche SLE tensione acciaio nei nodi

Nodo	Dir.	B	H	A. sup.	C. sup.	A. inf.	C. inf.	Comb.	M	N	σf	σlim	Es/Ec	Verifica
241	Y	100	30	5.65	5.6	5.65	5.6	SLE RA 1	-1556	0	0.9	3600	15	Si
280	Y	100	30	5.65	5.6	5.65	5.6	SLE RA 1	-1556	0	0.9	3600	15	Si
239	Y	100	30	5.65	5.6	5.65	5.6	SLE RA 1	-1556	0	0.9	3600	15	Si
278	Y	100	30	5.65	5.6	5.65	5.6	SLE RA 1	-1556	0	0.9	3600	15	Si
259	Y	100	30	5.65	5.6	5.65	5.6	SLE RA 1	-1552	0	0.9	3600	15	Si

Verifiche SLE fessurazione nei nodi

La piastra non presenta nodi con apertura delle fessure.

Verifiche geotecniche

Dati geometrici dell'impronta di calcolo

Forma dell'impronta di calcolo: rettangolare di area equivalente

Centro impronta, nel sistema globale: 1000; 235; -30

Lato minore B dell'impronta: 570

Lato maggiore L dell'impronta: 2100

Area dell'impronta rettangolare di calcolo: 1197000

Verifica di scorrimento sul piano di posa

Coefficiente di sicurezza minimo per scorrimento 99999

Comb.	Fh	Fv	Cnd	Ad	Phi	RPI	γR	Rd	Ed	Rd/Ed	Verifica
SLU 1	0	-89775	LT	0	15	0	1.1	21868	0	99999	Si
SLV 1	0	-89775	LT	0	15	0	1.1	21868	0	99999	Si

Verifica di capacità portante sul piano di posa

Profondità massima del bulbo di rottura considerato: 5.41 m

Accelerazione normalizzata massima attesa al suolo Amax per verifiche in SLD: 0.028

Accelerazione normalizzata massima attesa al suolo Amax per verifiche in SLV: 0.082

Coefficiente di sicurezza minimo per portanza 1.31

ID	Comb.	Fx	Fy	Fz	Mx	My	ix	iy	ex	ey	B'	L'	Cnd	C	Phi	Qs	γR	Rd	Ed	Rd/Ed	Verifica
1	SLU 27	0	0	-116707	0	0	0	0	0	0	570	2100	BT	0.05	0	0	2.3	153202	-116707	1.31	Si
2	SLV 1	0	0	-89775	0	0	0	0	0	0	570	2100	BT	0.05	0	0	2.3	153202	-89775	1.71	Si
3	SLD 1	0	0	-89775	0	0	0	0	0	0	570	2100	BT	0.05	0	0	2.3	153202	-89775	1.71	Si

Verifiche geotecniche di capacità portante - fattori utilizzati nel calcolo di Rd

ID	N			S			D			I			B			G			P			E		
	Nq	Nc	Ng	Sq	Sc	Sg	Dq	Dc	Dg	Iq	Ic	Ig	Bq	Bc	Bg	Gq	Gc	Gg	Pq	Pc	Pg	Eq	Ec	Eg
1	1	5	0	0	0.05	0	0	0	0	0	0	0	0	0	0	0	0	0	1	1	1	0	0	0
2	1	5	0	0	0.05	0	0	0	0	0	0	0	0	0	0	0	0	0	1	1	1	0	0	0
3	1	5	0	0	0.05	0	0	0	0	0	0	0	0	0	0	0	0	0	1	1	1	0	0	0

VERIFICHE LOCALITA' SAL DI MEZZANA

Verifiche piastre in c.a.

Le unità di misura elencate nel capitolo sono in [cm, daN, deg] ove non espressamente specificato.

Nodo: indice del nodo di verifica.

Dir.: direzione della sezione di verifica.

B: base della sezione rettangolare di verifica. [cm]

H: altezza della sezione rettangolare di verifica. [cm]

A. sup.: area barre armatura superiori. [cm²]

C. sup.: distanza media delle barre superiori dal bordo superiore della sezione. [cm]

A. inf.: area barre armatura inferiori. [cm²]

C. inf.: distanza media delle barre inferiori dal bordo inferiore della sezione. [cm]

Comb.: combinazione di verifica.

M: momento flettente. [daN*cm]

N: sforzo normale. [daN]

Mu: momento flettente ultimo. [daN*cm]

Nu: sforzo normale ultimo. [daN]

c.s.: coefficiente di sicurezza.

Verifica: stato di verifica.

σ_c : tensione nel calcestruzzo. [daN/cm²]

σ_{lim} : tensione limite. [daN/cm²]

Es/Ec: coefficiente di omogenizzazione.

σ_f : tensione nell'acciaio d'armatura. [daN/cm²]

Comb.: combinazione.

Fh: componente orizzontale del carico. [daN]

Fv: componente verticale del carico. [daN]

Cnd: resistenza valutata a breve o lungo termine (BT - LT).

Ad: adesione di progetto. [daN/cm²]

Phi: angolo di attrito di progetto. [deg]

RPI: resistenza passiva laterale unitaria di progetto. [daN/cm²]

γ_R : coefficiente parziale sulla resistenza di progetto.

Rd: resistenza alla traslazione di progetto. [daN]

Ed: azione di progetto. [daN]

Rd/Ed: coefficiente di sicurezza allo scorrimento.

ID: indice della verifica di capacità portante.

Fx: componente lungo x del carico. [daN]

Fy: componente lungo y del carico. [daN]

Fz: componente verticale del carico. [daN]

Mx: componente lungo x del momento. [daN*cm]

My: componente lungo y del momento. [daN*cm]

ix: inclinazione del carico in x. [deg]

iy: inclinazione del carico in y. [deg]

ex: eccentricità del carico in x. [cm]

ey: eccentricità del carico in y. [cm]

B': larghezza efficace. [cm]

L': lunghezza efficace. [cm]

C: coesione di progetto. [daN/cm²]

Qs: sovraccarico laterale da piano di posa. [daN/cm²]

Rd: resistenza alla rottura del complesso di progetto. [daN]

Ed: azione di progetto (sforzo normale al piano di posa). [daN]

Rd/Ed: coefficiente di sicurezza alla capacità portante.

N:

Nq: fattore di capacità portante per il termine di sovraccarico.

Nc: fattore di capacità portante per il termine coesivo.

Ng: fattore di capacità portante per il termine attritivo.

S:

Sq: fattore correttivo di capacità portante per forma (shape), per il termine di sovraccarico.

Sc: fattore correttivo di capacità portante per forma (shape), per il termine coesivo.

Sg: fattore correttivo di capacità portante per forma (shape), per il termine attritivo.

D:

Dq: fattore correttivo di capacità portante per approfondimento (deep), per il termine di sovraccarico.

Dc: fattore correttivo di capacità portante per approfondimento (deep), per il termine coesivo.

Dg: fattore correttivo di capacità portante per approfondimento (deep), per il termine attritivo.

I:

Iq: fattore correttivo di capacità portante per inclinazione del carico, per il termine di sovraccarico.

Ic: fattore correttivo di capacità portante per inclinazione del carico, per il termine coesivo.

Ig: fattore correttivo di capacità portante per inclinazione del carico, per il termine attritivo.

B:

Bq: fattore correttivo di capacità portante per inclinazione della base, per il termine di sovraccarico.

Bc: *fattore correttivo di capacità portante per inclinazione della base, per il termine coesivo.*

Bg: *fattore correttivo di capacità portante per inclinazione della base, per il termine attritivo.*

G:

Gq: *fattore correttivo di capacità portante per inclinazione del pendio, per il termine di sovraccarico.*

Gc: *fattore correttivo di capacità portante per inclinazione del pendio, per il termine coesivo.*

Gg: *fattore correttivo di capacità portante per inclinazione del pendio, per il termine attritivo.*

P:

Pq: *fattore correttivo di capacità portante per punzonamento, per il termine di sovraccarico.*

Pc: *fattore correttivo di capacità portante per punzonamento, per il termine coesivo.*

Pg: *fattore correttivo di capacità portante per punzonamento, per il termine attritivo.*

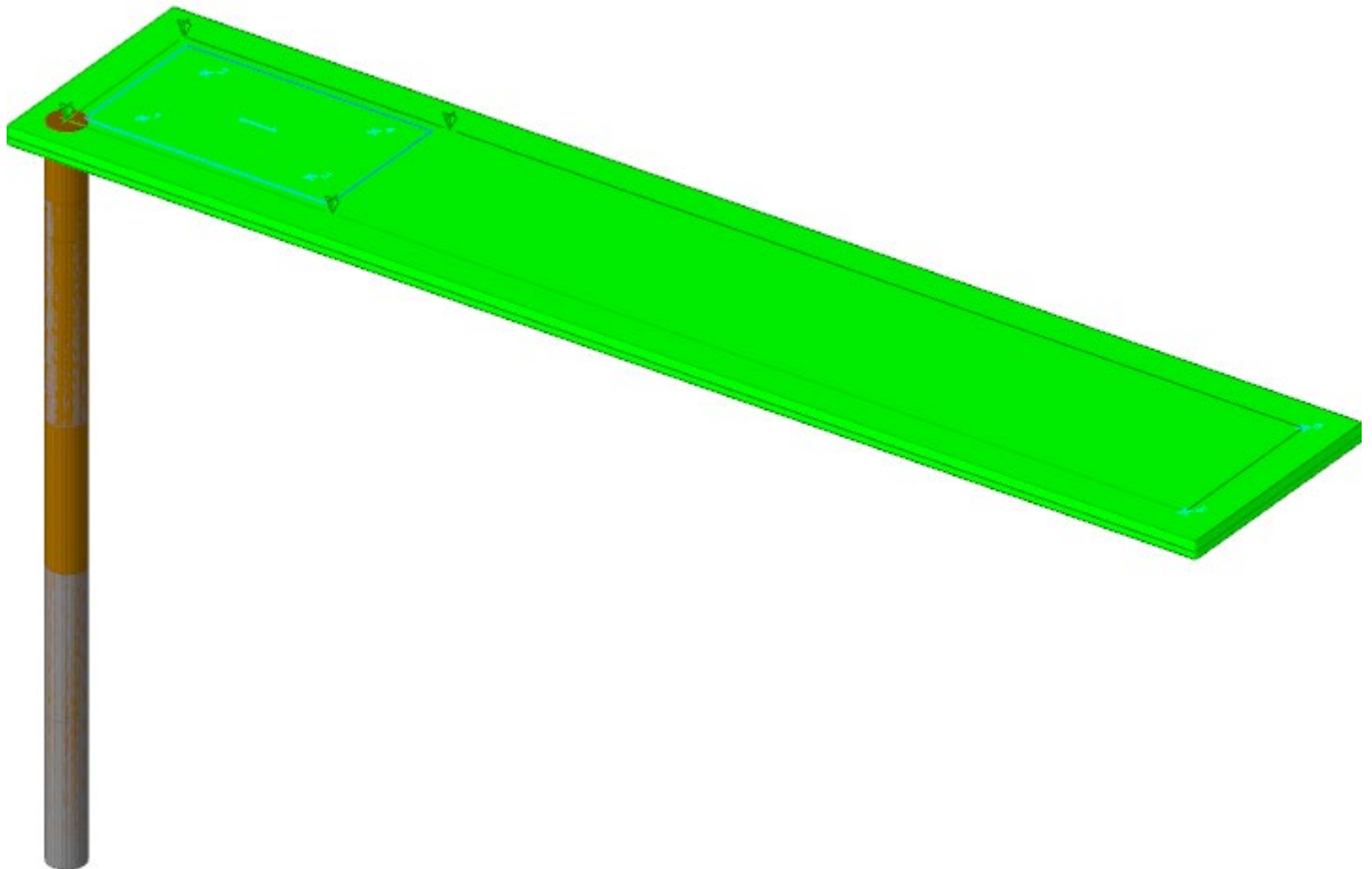
E:

Eq: *fattore correttivo di capacità portante per sisma (earthquake), per il termine di sovraccarico.*

Ec: *fattore correttivo di capacità portante per sisma (earthquake), per il termine coesivo.*

Eg: *fattore correttivo di capacità portante per sisma (earthquake), per il termine attritivo.*

RAPPRESENTAZIONE GENERALE DELLE VERIFICHE BASAMENTO CABINA POWER STATION



Platea a "Fondazione"

Verifiche condotte secondo D.M. 17-01-18 (N.T.C.)

Geometria



Caratteristiche dei materiali

Acciaio: B450C Fyk 4500
Calcestruzzo: C28/35 Rck 350

Sistema di riferimento e direzioni di armatura

Le coordinate citate nel seguito sono espresse in un sistema di riferimento cartesiano con origine in (-50; -50; 0), direzione dell'asse X = (1; 0; 0), direzione dell'asse Y = (0; 1; 0).

Le direzioni X/Y di armatura e le sezioni X/Y di verifica sono individuate dagli assi del sistema di riferimento.

Verifiche nei nodi

Verifiche SLU flessione nei nodi

Nodo	Dir.	B	H	A. sup.	C. sup.	A. inf.	C. inf.	Comb.	M	N	Mu	Nu	c.s.	Verifica
305	Y	50	25	2.83	5.6	2.83	5.6	SLU 14	35656	0	233136	0	6.5385	Si
11	Y	50	25	2.83	5.6	2.83	5.6	SLU 14	35486	0	233136	0	6.5698	Si
62	Y	100	25	5.65	5.6	5.65	5.6	SLU 14	63726	0	489360	0	7.6791	Si
272	Y	100	25	5.65	5.6	5.65	5.6	SLU 14	62728	0	489360	0	7.8013	Si
253	Y	100	25	5.65	5.6	5.65	5.6	SLU 14	54135	0	489360	0	9.0396	Si

Verifiche SLD Resistenza flessione nei nodi

Nodo	Dir.	B	H	A. sup.	C. sup.	A. inf.	C. inf.	Comb.	M	N	Mu	Nu	c.s.	Verifica
305	Y	50	25	2.83	5.6	2.83	5.6	SLD 1	23592	0	185663	0	7.8697	Si
11	Y	50	25	2.83	5.6	2.83	5.6	SLD 1	23508	0	185663	0	7.898	Si
62	Y	100	25	5.65	5.6	5.65	5.6	SLD 1	42188	0	395775	0	9.3812	Si
272	Y	100	25	5.65	5.6	5.65	5.6	SLD 1	41550	0	395775	0	9.5254	Si
37	Y	81.9	25	4.63	5.6	4.63	5.6	SLD 1	-27393	0	-290039	0	10.5881	Si

Verifiche SLE tensione calcestruzzo nei nodi

Nodo	Dir.	B	H	A. sup.	C. sup.	A. inf.	C. inf.	Comb.	M	N	σ_c	σ_{lim}	Es/Ec	Verifica
305	Y	50	25	2.83	5.6	2.83	5.6	SLE QP 1	23592	0	-4.3	130.7	15	Si
11	Y	50	25	2.83	5.6	2.83	5.6	SLE QP 1	23508	0	-4.2	130.7	15	Si
62	Y	100	25	5.65	5.6	5.65	5.6	SLE QP 1	42188	0	-3.8	130.7	15	Si
272	Y	100	25	5.65	5.6	5.65	5.6	SLE QP 1	41550	0	-3.8	130.7	15	Si
253	Y	100	25	5.65	5.6	5.65	5.6	SLE QP 1	35785	0	-3.2	130.7	15	Si

Verifiche SLE tensione acciaio nei nodi

Nodo	Dir.	B	H	A. sup.	C. sup.	A. inf.	C. inf.	Comb.	M	N	σ_f	σ_{lim}	Es/Ec	Verifica
305	Y	50	25	2.83	5.6	2.83	5.6	SLE RA 1	23592	0	35.3	3600	15	Si
11	Y	50	25	2.83	5.6	2.83	5.6	SLE RA 1	23508	0	35.2	3600	15	Si
62	Y	100	25	5.65	5.6	5.65	5.6	SLE RA 1	42188	0	31.6	3600	15	Si
272	Y	100	25	5.65	5.6	5.65	5.6	SLE RA 1	41550	0	31.1	3600	15	Si
253	Y	100	25	5.65	5.6	5.65	5.6	SLE RA 1	35785	0	26.8	3600	15	Si

Verifiche SLE fessurazione nei nodi

La piastra non presenta nodi con apertura delle fessure.

Verifiche geotecniche

Dati geometrici dell'impronta di calcolo

Forma dell'impronta di calcolo: rettangolare di area equivalente
 Centro impronta, nel sistema globale: 800; 120; -25
 Lato minore B dell'impronta: 340
 Lato maggiore L dell'impronta: 1700
 Area dell'impronta rettangolare di calcolo: 578000

Verifica di scorrimento sul piano di posa

Coefficiente di sicurezza minimo per scorrimento 99999

Comb.	Fh	Fv	Cnd	Ad	Phi	RPI	yR	Rd	Ed	Rd/Ed	Verifica
SLU 1	0	-41325	LT	0	15	0	1.1	10066	0	99999	Si
SLV 1	0	-42625	LT	0	15	0	1.1	10383	0	99999	Si

Verifica di capacità portante sul piano di posa

Profondità massima del bulbo di rottura considerato: 3.22 m
 Accelerazione normalizzata massima attesa al suolo Amax per verifiche in SLD: 0.026
 Accelerazione normalizzata massima attesa al suolo Amax per verifiche in SLV: 0.063

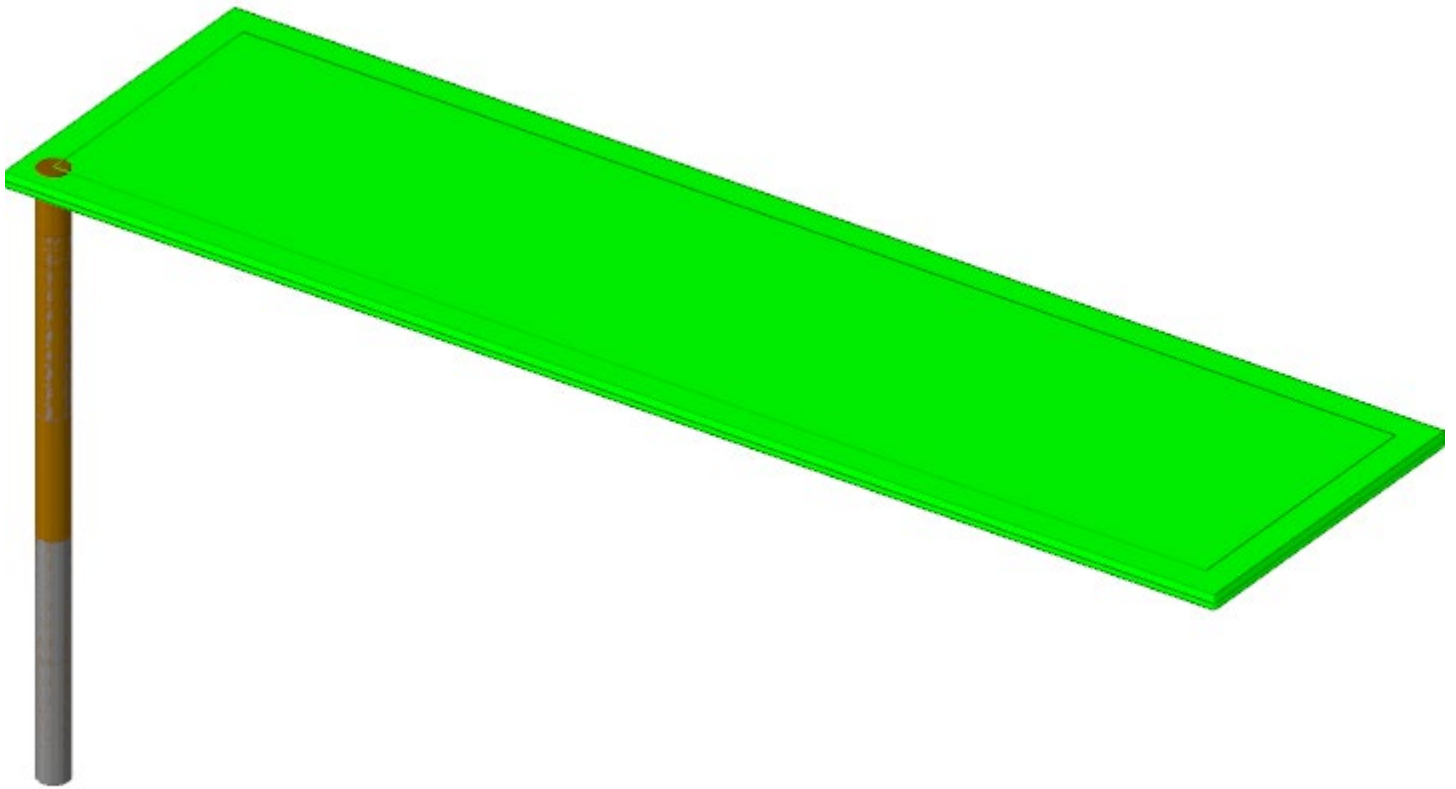
Coefficiente di sicurezza minimo per portanza 1.19

ID	Comb.	Fx	Fy	Fz	Mx	My	ix	iy	ex	ey	B'	L'	Cnd	C	Phi	Qs	yR	Rd	Ed	Rd/Ed	Verifica
1	SLU 40	0	0	-56712	0	-5947500	0	0	-105	0	340	1490	BT	0.06	0	0	2.3	67671	-56712	1.19	Si
2	SLV 1	0	0	-42625	0	-3965000	0	0	-93	0	340	1514	BT	0.06	0	0	2.3	68700	-42625	1.61	Si
3	SLD 1	0	0	-42625	0	-3965000	0	0	-93	0	340	1514	BT	0.06	0	0	2.3	68700	-42625	1.61	Si

Verifiche geotecniche di capacità portante - fattori utilizzati nel calcolo di Rd

ID	N			S			D			I			B			G			P			E		
	Nq	Nc	Ng	Sq	Sc	Sg	Dq	Dc	Dg	Iq	Ic	Ig	Bq	Bc	Bg	Gq	Gc	Gg	Pq	Pc	Pg	Eq	Ec	Eg
1	1	5	0	0	0.05	0	0	0	0	0	0	0	0	0	0	0	0	0	1	1	1	0	0	0
2	1	5	0	0	0.04	0	0	0	0	0	0	0	0	0	0	0	0	0	1	1	1	0	0	0
3	1	5	0	0	0.04	0	0	0	0	0	0	0	0	0	0	0	0	0	1	1	1	0	0	0

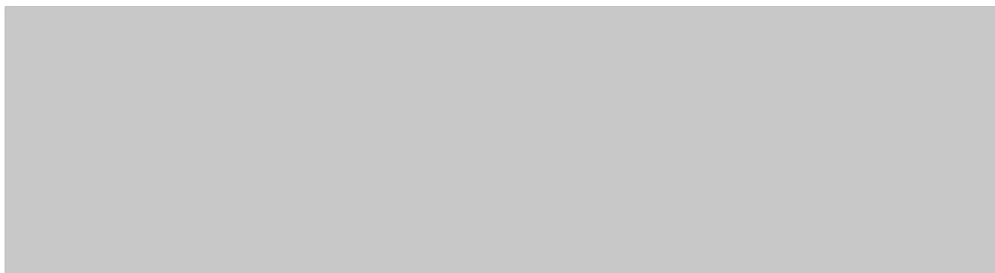
RAPPRESENTAZIONE GENERALE DELLE VERIFICHE BASAMENTO CABINA GENERALE MT - AUSILIARI



Platea a "Fondazione"

Verifiche condotte secondo D.M. 17-01-18 (N.T.C.)

Geometria



Caratteristiche dei materiali

Acciaio: B450C Fyk 4500
Calcestruzzo: C28/35 Rck 350

Sistema di riferimento e direzioni di armatura

Le coordinate citate nel seguito sono espresse in un sistema di riferimento cartesiano con origine in (-50; -50; 0), direzione dell'asse X = (1; 0; 0), direzione dell'asse Y = (0; 1; 0).

Le direzioni X/Y di armatura e le sezioni X/Y di verifica sono individuate dagli assi del sistema di riferimento.

Verifiche nei nodi

Verifiche SLU flessione nei nodi

Nodo	Dir.	B	H	A. sup.	C. sup.	A. inf.	C. inf.	Comb.	M	N	Mu	Nu	c.s.	Verifica
238	Y	100	25	5.65	5.6	5.65	5.6	SLU 27	-1715	0	-489360	0	285.3119	Si
282	Y	100	25	5.65	5.6	5.65	5.6	SLU 27	-1715	0	-489360	0	285.3133	Si
237	Y	100	25	5.65	5.6	5.65	5.6	SLU 27	-1715	0	-489360	0	285.3444	Si
281	Y	100	25	5.65	5.6	5.65	5.6	SLU 27	-1715	0	-489360	0	285.3737	Si
284	Y	100	25	5.65	5.6	5.65	5.6	SLU 27	-1713	0	-489360	0	285.6063	Si

Verifiche SLD Resistenza flessione nei nodi

Nodo	Dir.	B	H	A. sup.	C. sup.	A. inf.	C. inf.	Comb.	M	N	Mu	Nu	c.s.	Verifica
238	Y	100	25	5.65	5.6	5.65	5.6	SLD 1	-1319	0	-395775	0	299.974	Si
282	Y	100	25	5.65	5.6	5.65	5.6	SLD 1	-1319	0	-395775	0	299.9754	Si
237	Y	100	25	5.65	5.6	5.65	5.6	SLD 1	-1319	0	-395775	0	300.0082	Si
281	Y	100	25	5.65	5.6	5.65	5.6	SLD 1	-1319	0	-395775	0	300.039	Si
284	Y	100	25	5.65	5.6	5.65	5.6	SLD 1	-1318	0	-395775	0	300.2835	Si

Verifiche SLE tensione calcestruzzo nei nodi

Nodo	Dir.	B	H	A. sup.	C. sup.	A. inf.	C. inf.	Comb.	M	N	σ_c	σ_{lim}	Es/Ec	Verifica
238	Y	100	25	5.65	5.6	5.65	5.6	SLE QP 1	-1319	0	-0.1	130.7	15	Si
282	Y	100	25	5.65	5.6	5.65	5.6	SLE QP 1	-1319	0	-0.1	130.7	15	Si
237	Y	100	25	5.65	5.6	5.65	5.6	SLE QP 1	-1319	0	-0.1	130.7	15	Si
281	Y	100	25	5.65	5.6	5.65	5.6	SLE QP 1	-1319	0	-0.1	130.7	15	Si
284	Y	100	25	5.65	5.6	5.65	5.6	SLE QP 1	-1318	0	-0.1	130.7	15	Si

Verifiche SLE tensione acciaio nei nodi

Nodo	Dir.	B	H	A. sup.	C. sup.	A. inf.	C. inf.	Comb.	M	N	σ_f	σ_{lim}	Es/Ec	Verifica
238	Y	100	25	5.65	5.6	5.65	5.6	SLE RA 1	-1319	0	1	3600	15	Si
282	Y	100	25	5.65	5.6	5.65	5.6	SLE RA 1	-1319	0	1	3600	15	Si
237	Y	100	25	5.65	5.6	5.65	5.6	SLE RA 1	-1319	0	1	3600	15	Si
281	Y	100	25	5.65	5.6	5.65	5.6	SLE RA 1	-1319	0	1	3600	15	Si
284	Y	100	25	5.65	5.6	5.65	5.6	SLE RA 1	-1318	0	1	3600	15	Si

Verifiche SLE fessurazione nei nodi

La piastra non presenta nodi con apertura delle fessure.

Verifiche geotecniche

Dati geometrici dell'impronta di calcolo

Forma dell'impronta di calcolo: rettangolare di area equivalente
 Centro impronta, nel sistema globale: 1000; 235; -25
 Lato minore B dell'impronta: 570
 Lato maggiore L dell'impronta: 2100
 Area dell'impronta rettangolare di calcolo: 1197000

Verifica di scorrimento sul piano di posa

Coefficiente di sicurezza minimo per scorrimento 99999

Comb.	Fh	Fv	Cnd	Ad	Phi	RPI	yR	Rd	Ed	Rd/Ed	Verifica
SLU 1	0	-74812	LT	0	15	0	1.1	18224	0	99999	Si
SLV 1	0	-74812	LT	0	15	0	1.1	18224	0	99999	Si

Verifica di capacità portante sul piano di posa

Profondità massima del bulbo di rottura considerato: 5.24 m
 Accelerazione normalizzata massima attesa al suolo Amax per verifiche in SLD: 0.027
 Accelerazione normalizzata massima attesa al suolo Amax per verifiche in SLV: 0.078

Coefficiente di sicurezza minimo per portanza 1.02

ID	Comb.	Fx	Fy	Fz	Mx	My	ix	iy	ex	ey	B'	L'	Cnd	C	Phi	Qs	yR	Rd	Ed	Rd/Ed	Verifica
1	SLU 27	0	0	-97256	0	0	0	0	0	0	570	2100	BT	0.04	0	0	2.3	98962	-97256	1.02	Si
2	SLV 1	0	0	-74812	0	0	0	0	0	0	570	2100	BT	0.04	0	0	2.3	98962	-74812	1.32	Si
3	SLD 1	0	0	-74812	0	0	0	0	0	0	570	2100	BT	0.04	0	0	2.3	98962	-74812	1.32	Si

Verifiche geotecniche di capacità portante - fattori utilizzati nel calcolo di Rd

ID	N			S			D			I			B			G			P			E		
	Nq	Nc	Ng	Sq	Sc	Sg	Dq	Dc	Dg	Iq	Ic	Ig	Bq	Bc	Bg	Gq	Gc	Gg	Pq	Pc	Pg	Eq	Ec	Eg
1	1	5	0	0	0.05	0	0	0	0	0	0	0	0	0	0	0	0	0	1	1	1	0	0	0
2	1	5	0	0	0.05	0	0	0	0	0	0	0	0	0	0	0	0	0	1	1	1	0	0	0
3	1	5	0	0	0.05	0	0	0	0	0	0	0	0	0	0	0	0	0	1	1	1	0	0	0

ALLEGATO 07 – DATI DI DEFINIZIONE PANNELLI FV

DATI DI DEFINIZIONE

PREFERENZE COMMESSA

Preferenze di analisi

Metodo di analisi	D.M. 17-01-18 (N.T.C.)
Tipo di costruzione	2 - Costruzioni con livelli di prestazioni ordinari
Vn	50
Classe d'uso	II
Vr	50
Tipo di analisi	Lineare dinamica
Località	Foggia, Ascoli Satriano, Stazione di Ascoli Satriano; Latitudine ED50 41,2448° (41° 14' 41"); Longitudine ED50 15,5325° (15° 31' 57"); Altitudine s.l.m. 207,03 m.
Categoria del suolo	Località Sal di Collina: E - Terreni con caratteristiche e valori di velocità equivalente riconducibili a quelle definite per le categorie C o D, con profondità del substrato non superiore a 30 m Località Sal di Mezzana: C - Depositi di terreni a grana grossa mediamente addensati o terreni a grana fina mediamente consistenti
Categoria topografica	T1 - Superficie pianeggiante, pendii e rilievi isolati con inclinazione media $i \leq 15^\circ$
Ss orizzontale SLD	1.6
Tb orizzontale SLD	0.193 [s]
Tc orizzontale SLD	0.58 [s]
Td orizzontale SLD	1.837 [s]
Ss orizzontale SLV	1.5056
Tb orizzontale SLV	0.225 [s]
Tc orizzontale SLV	0.675 [s]
Td orizzontale SLV	2.323 [s]
Ss verticale	1
Tb verticale	0.05 [s]
Tc verticale	0.15 [s]
Td verticale	1 [s]
St	1
PVr SLD (%)	63
Tr SLD	50
Ag/g SLD	0.0594
Fo SLD	2.568
Tc* SLD	0.32 [s]
PVr SLV (%)	10
Tr SLV	475
Ag/g SLV	0.1808
Fo SLV	2.486
Tc* SLV	0.412 [s]
Smorzamento viscoso (%)	5
Classe di duttilità	Non dissipativa
Rotazione del sisma	0 [deg]
Quota dello '0' sismico	0 [cm]
Regolarità in pianta	Si

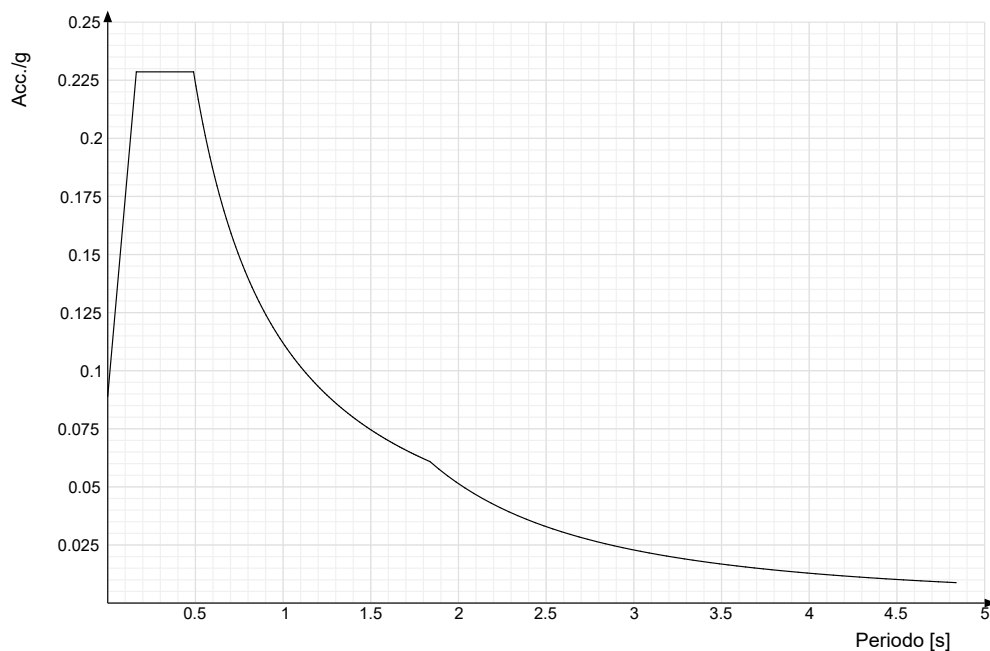
Regolarità in elevazione	Si
Edificio C.A.	Si
Edificio esistente	No
Altezza costruzione	30 [cm]
C1	0.05
T1,x	0.02027 [s]
T1,y	0.02027 [s]
λ SLD,x	1
λ SLD,y	1
λ SLV,x	1
λ SLV,y	1
Limite spostamenti interpiano SLD	0.005
Fattore di comportamento per sisma SLD X	1.2
Fattore di comportamento per sisma SLD Y	1.2
Fattore di comportamento per sisma SLV X	1.2
Fattore di comportamento per sisma SLV Y	1.2
Coefficiente di sicurezza per carico limite (fondazioni superficiali)	2.3
Coefficiente di sicurezza per scorrimento (fondazioni superficiali)	1.1
Coefficiente di sicurezza portanza verticale pali infissi, punta	1.15
Coefficiente di sicurezza portanza verticale pali infissi, laterale compressione	1.15
Coefficiente di sicurezza portanza verticale pali infissi, laterale trazione	1.25
Coefficiente di sicurezza portanza verticale pali trivellati, punta	1.35
Coefficiente di sicurezza portanza verticale pali trivellati, laterale compressione	1.15
Coefficiente di sicurezza portanza verticale pali trivellati, laterale trazione	1.25
Coefficiente di sicurezza portanza verticale micropali, punta	1.35
Coefficiente di sicurezza portanza verticale micropali, laterale compressione	1.15
Coefficiente di sicurezza portanza verticale micropali, laterale trazione	1.25
Coefficiente di sicurezza portanza trasversale pali	1.3
Fattore di correlazione resistenza caratteristica dei pali in base alle verticali indagate	1.7
Coefficiente di sicurezza per ribaltamento (plinti superficiali)	1.15
Combinazioni analisi statica non lineare.	Componenti orizzontali separate secondo Circolare 7 21-01-19 §C7.3.5
Calcola I.R. per elementi nuovi	No

Spettri D.M. 17-01-18

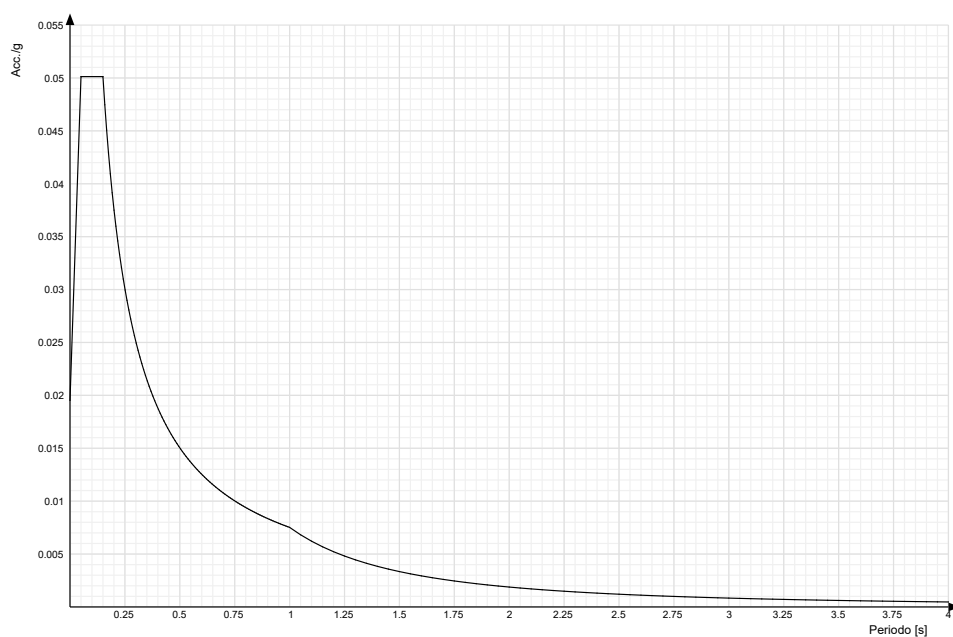
Acc./g: Accelerazione spettrale normalizzata ottenuta dividendo l'accelerazione spettrale per l'accelerazione di gravità.

Periodo: Periodo di vibrazione.

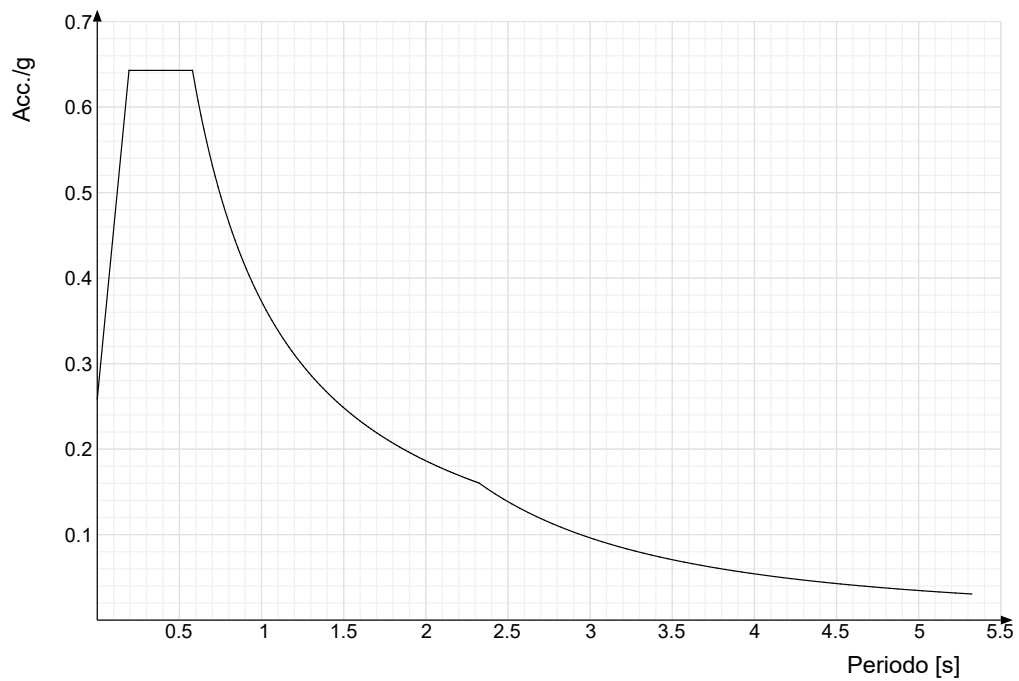
Spettro di risposta elastico in accelerazione delle componenti orizzontali SLD § 3.2.3.2.1 [3.2.2]



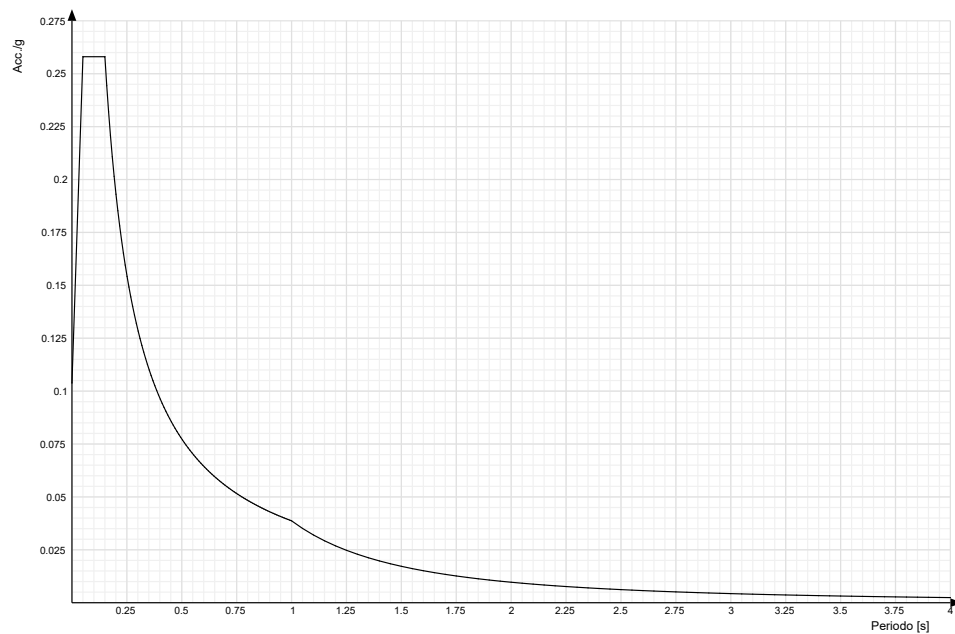
Spettro di risposta elastico in accelerazione delle componenti orizzontali SLV § 3.2.3.2.1 [3.2.2]



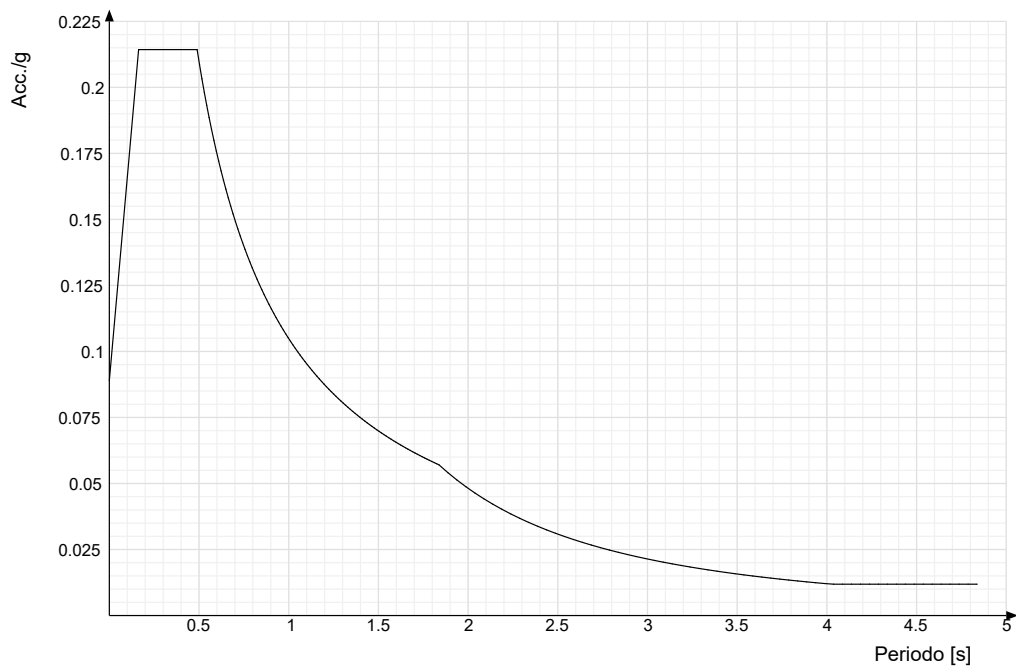
Spettro di risposta elastico in accelerazione delle componenti orizzontali SLV § 3.2.3.2.1 [3.2.2]



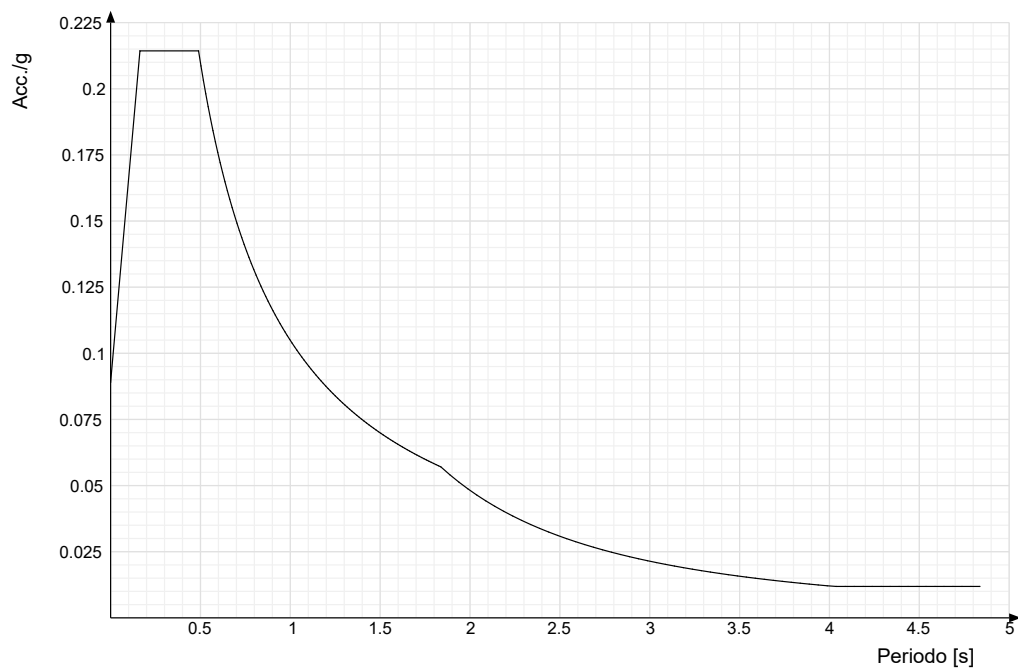
Spettro di risposta elastico in accelerazione della componente verticale SLV § 3.2.3.2.2 [3.2.8]



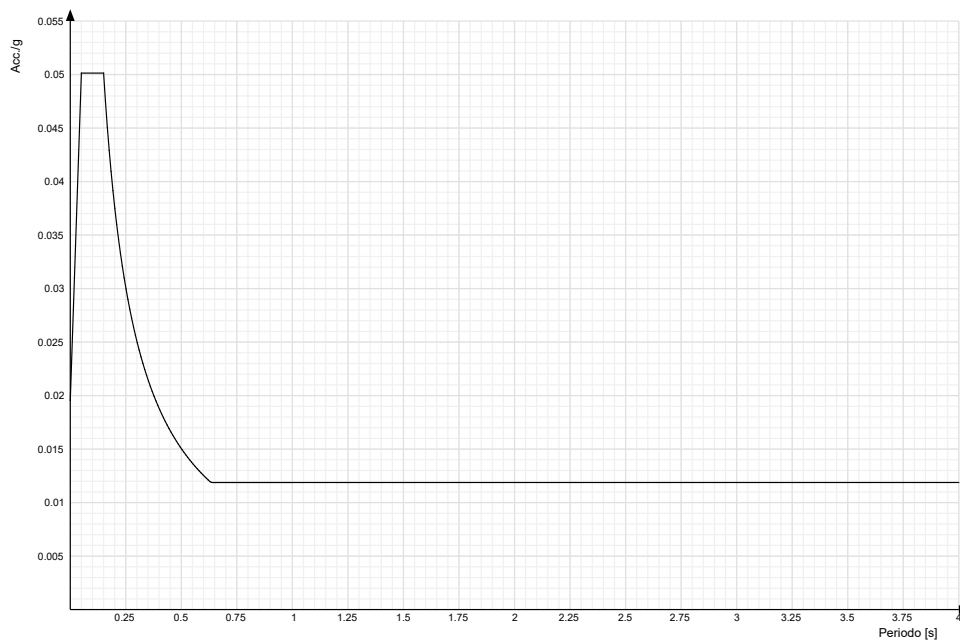
Spettro di risposta di progetto in accelerazione della componente X SLD § 3.2.3.5



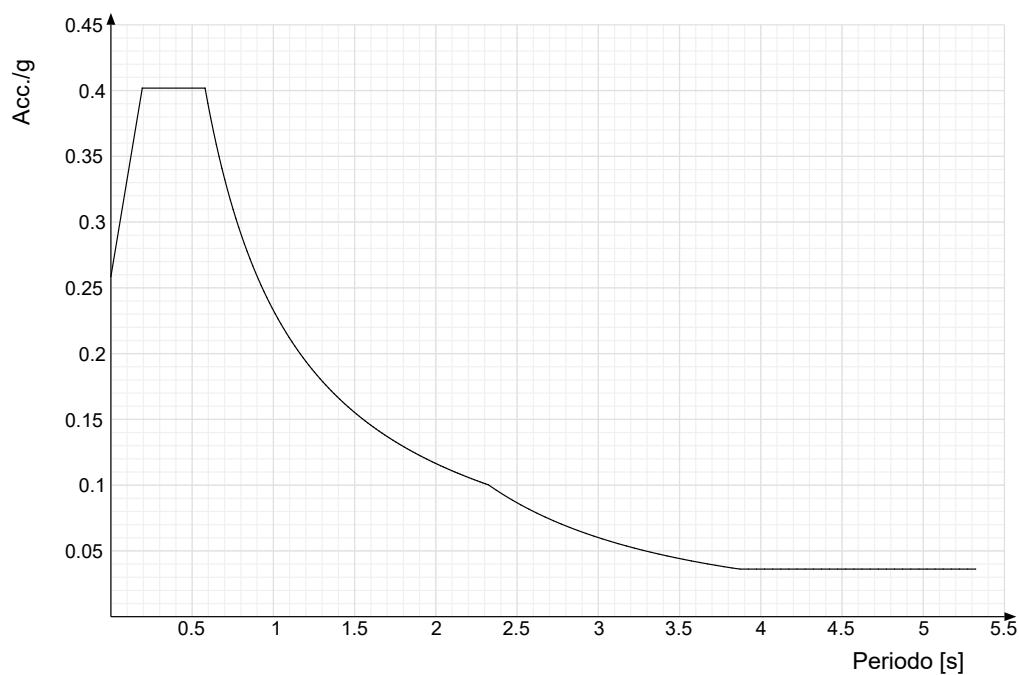
Spettro di risposta di progetto in accelerazione della componente Y SLD § 3.2.3.5



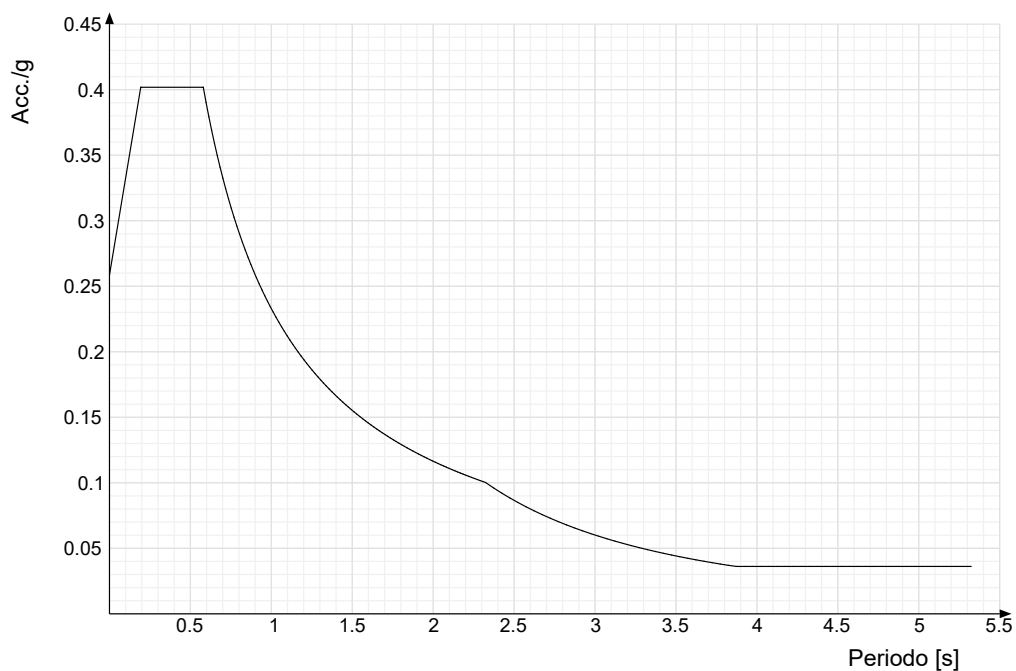
Spettro di risposta di progetto in accelerazione della componente verticale SLD § 3.2.3.5



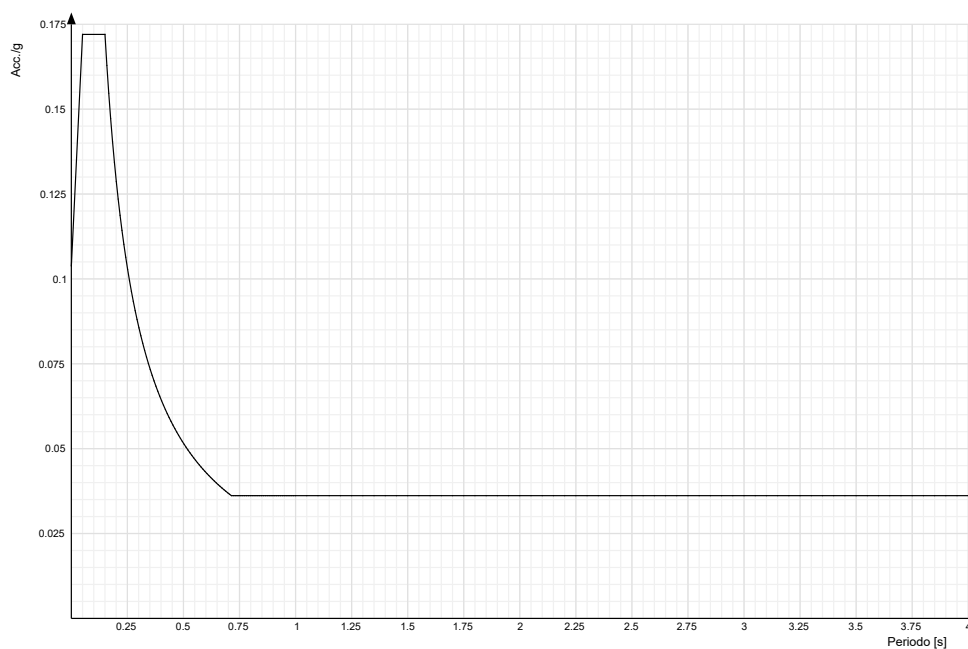
Spettro di risposta di progetto in accelerazione della componente X SLV § 3.2.3.5



Spettro di risposta di progetto in accelerazione della componente Y SLV § 3.2.3.5

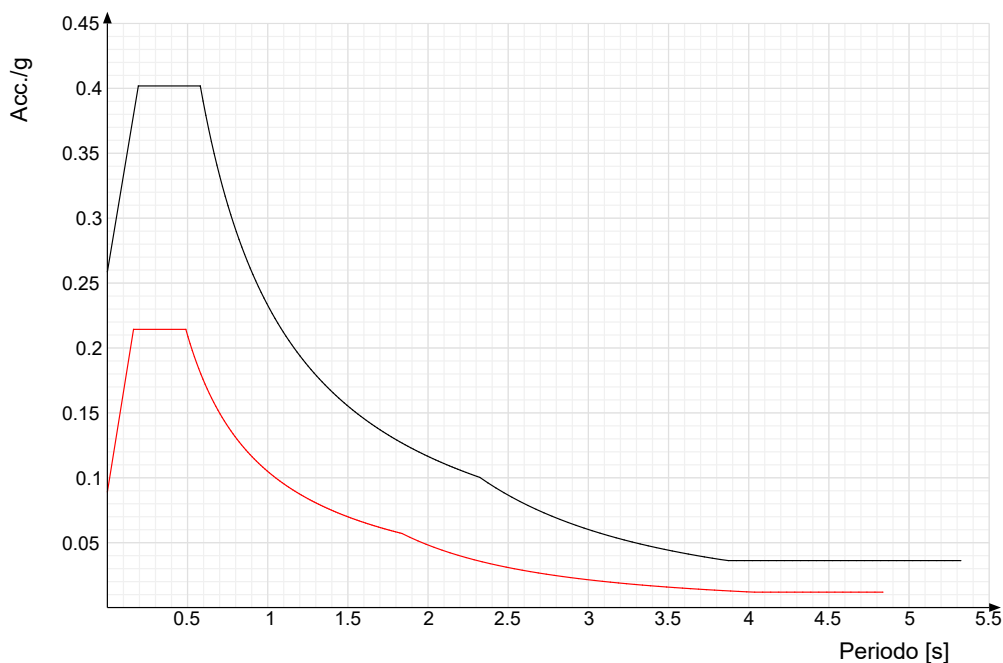


Spettro di risposta di progetto in accelerazione della componente verticale SLV § 3.2.3.5

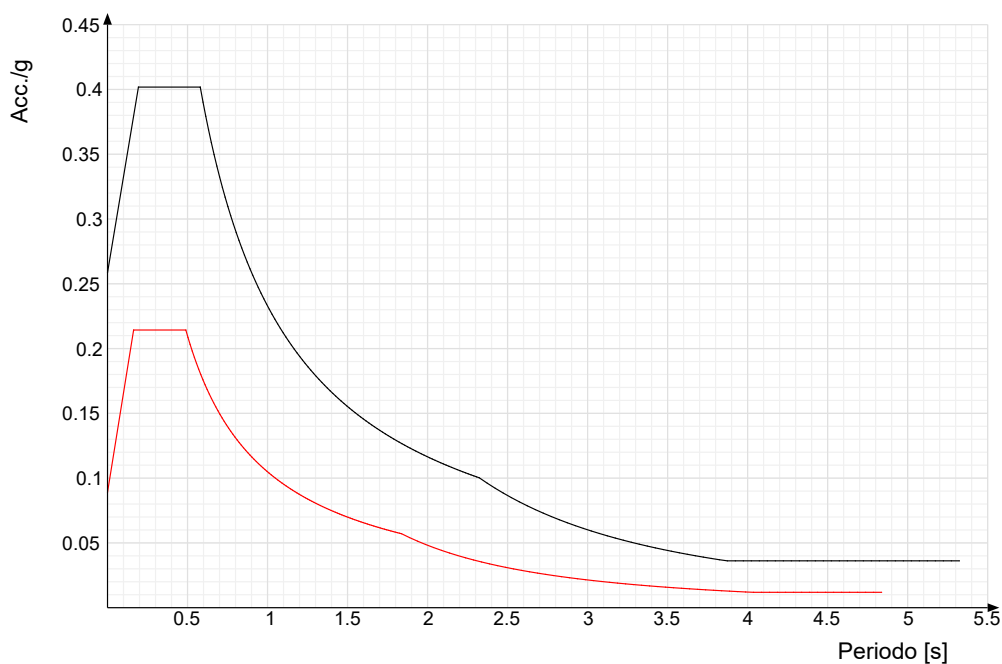


Confronti spettri SLV-SLD

Vengono confrontati lo spettro Spettro di risposta di progetto in accelerazione della componente X SLD § 3.2.3.5 (di colore rosso) e Spettro di risposta di progetto in accelerazione della componente X SLV § 3.2.3.5 (di colore nero).



Vengono confrontati lo spettro Spettro di risposta di progetto in accelerazione della componente Y SLD § 3.2.3.5 (di colore rosso) e Spettro di risposta di progetto in accelerazione della componente Y SLV § 3.2.3.5 (di colore nero).



Preferenze di verifica

Normativa di verifica in uso

Norma di verifica	D.M. 17-01-18 (N.T.C.)
Cemento armato	Preferenze analisi di verifica in stato limite
Acciaio	Preferenze di verifica acciaio D.M. 17-01-18 (N.T.C.)

Normativa di verifica c.a.

Coefficiente di omogeneizzazione	15
γ_s (fattore di sicurezza parziale per l'acciaio)	1.15
γ_c (fattore di sicurezza parziale per il calcestruzzo)	1.5
Limite σ_c/f_{ck} in combinazione rara	0.6
Limite σ_c/f_{ck} in combinazione quasi permanente	0.45
Limite σ_s/f_{yk} in combinazione rara	0.8
Coefficiente di riduzione della τ per cattiva aderenza	0.7
Dimensione limite fessure w1 §4.1.2.2.4	0.02 [cm]
Dimensione limite fessure w2 §4.1.2.2.4	0.03 [cm]
Dimensione limite fessure w3 §4.1.2.2.4	0.04 [cm]
Fattori parziali di sicurezza unitari per meccanismi duttili di strutture esistenti con fattore q	No
Copriferro secondo EC2	No

Normativa di verifica acciaio

γ_{m0}	1.05
γ_{m1}	1.05
γ_{m2}	1.25
Coefficiente riduttivo per effetto vettoriale	0.7
Calcolo coefficienti C1, C2, C3 per M _{cr}	automatico
Coefficienti α , β per flessione deviata	unitari
Verifica semplificata conservativa	si
L/e0 iniziale per profili accoppiati compressi	500
Metodo semplificato formula (4.2.82)	si
Escludi 6.2.6.7 e 6.2.6.8 in 7.5.4.3 e 7.5.4.5	si
Applica Nota 1 del prospetto 6.2	no
Riduzione f_y per tubi tondi di classe 4	no
Effettua la verifica secondo 6.2.8 con irrigidimenti superiori (piastra di base)	no
Limite spostamento relativo interpiano e monopiano colonne	0.00333
Limite spostamento relativo complessivo multipiano colonne	0.002
Considera taglio resistente estremità sagomati	no
Fattori parziali di sicurezza unitari per meccanismi duttili di strutture esistenti con fattore q	no

Preferenze FEM

Dimensione massima ottimale mesh pareti (default)	50 [cm]
Dimensione massima ottimale mesh piastre (default)	50 [cm]

Tipo di mesh dei gusci (default)	Quadrilateri o triangoli
Tipo di mesh imposta ai gusci	Specifico dell'elemento
Metodo P-Delta	non utilizzato
Analisi buckling	non utilizzata
Tolleranza di parallelismo	4.99 [deg]
Tolleranza di unicità punti	10 [cm]
Tolleranza generazione nodi di aste	1 [cm]
Tolleranza di parallelismo in suddivisione aste	4.99 [deg]
Tolleranza generazione nodi di gusci	4 [cm]
Tolleranza eccentricità carichi concentrati	100 [cm]
Considera deformabilità a taglio negli elementi guscio	No
Segno risultati analisi spettrale	Analisi statica
Memoria utilizzabile dal solutore	8000000
Metodo di risoluzione della matrice	AspenTech MA57
Scrivi commenti nel file di input	No
Scrivi file di output in formato testo	No
Solidi colle e corpi ruvidi (default)	Solidi reali
Moltiplicatore rigidità molla torsionale applicata ad aste di fondazione	1
Modello trave su suolo alla Winkler nel caso di modellazione lineare	Equilibrio elastico

Moltiplicatori inerziali

Tipologia: tipo di entità a cui si riferiscono i moltiplicatori inerziali.

J2: moltiplicatore inerziale di J2. Il valore è adimensionale.

J3: moltiplicatore inerziale di J3. Il valore è adimensionale.

Jt: moltiplicatore inerziale di Jt. Il valore è adimensionale.

A: moltiplicatore dell'area della sezione. Il valore è adimensionale.

A2: moltiplicatore dell'area a taglio in direzione 2. Il valore è adimensionale.

A3: moltiplicatore dell'area a taglio in direzione 3. Il valore è adimensionale.

Conci rigidi: fattore di riduzione dei tronchi rigidi. Il valore è adimensionale.

Tipologia	J2	J3	Jt	A	A2	A3	Conci rigidi
Trave C.A.	1	1	0.01	1	1	1	0.5
Pilastro C.A.	1	1	0.01	1	1	1	0.5
Colonna in acciaio	1	1	1	1	1	1	1
Trave di fondazione	1	1	0.01	1	1	1	0.5

Preferenze di analisi non lineare FEM

Metodo iterativo	Secante
Tolleranza iterazione	0.0001
Numero massimo iterazioni	50

Preferenze di analisi carichi superficiali

Detrazione peso proprio solai nelle zone di sovrapposizione	non applicata
Metodo di ripartizione	a zone d'influenza
Percentuale carico calcolato a trave continua	0
Esegui smoothing diagrammi di carico	applicata
Tolleranza smoothing altezza trapezi	0.001 [daN/cm]
Tolleranza smoothing altezza media trapezi	0.001 [daN/cm]

Preferenze del suolo

Fondazioni non modellate e struttura bloccata alla base	si
Fondazioni bloccate orizzontalmente	no
Considera peso sismico delle fondazioni	no
Fondazioni superficiali e profonde su suolo elastoplastico	si
Coefficiente di sottofondo verticale per fondazioni superficiali (default)	3 [daN/cm ³]
Rapporto di coefficiente sottofondo orizzontale/verticale	0.5
Pressione verticale limite sul terreno per abbassamento (default)	10 [daN/cm ²]
Pressione verticale limite sul terreno per innalzamento (default)	0.001 [daN/cm ²]
Metodo di calcolo della K verticale	Vesic
Metodo di calcolo della portanza e della pressione limite	Vesic
Terreno laterale di riporto da piano posa fondazioni (default)	Sabbia ghiaiosa con ciottoli in matrice limosa
Dimensione massima della discretizzazione del palo (default)	200 [cm]
Moltiplicatore coesione per pressione orizzontale limite nei pali	1
Moltiplicatore spinta passiva per pressione orizzontale pali	1
K punta palo (default)	2 [daN/cm ³]
Pressione limite punta palo (default)	5 [daN/cm ²]
Pressione per verifica schiacciamento fondazioni superficiali	6 [daN/cm ²]
Calcola cedimenti fondazioni superficiali	no
Spessore massimo strato	100 [cm]
Profondità massima	3000 [cm]
Cedimento assoluto ammissibile	5 [cm]
Cedimento differenziale ammissibile	5 [cm]
Cedimento relativo ammissibile	5 [cm]
Rapporto di inflessione F/L ammissibile	0.003333
Rotazione rigida ammissibile	0.191 [deg]
Rotazione assoluta ammissibile	0.191 [deg]
Distorsione positiva ammissibile	0.191 [deg]
Distorsione negativa ammissibile	0.095 [deg]
Considera fondazioni compensate	no
Coefficiente di riduzione della a Max attesa	0.3
Condizione per la valutazione della spinta su pareti	Lungo termine
Considera l'azione sismica del terreno anche su pareti sotto lo zero sismico	si
Calcola cedimenti teorici pali	si
Considera accorciamento del palo	si
Distanza influenza cedimento palo	1000 [cm]
Distribuzione attrito laterale	Attrito laterale uniforme
Ripartizione del carico	Ripartizione come da modello FEM
Scelta terreno laterale	Media pesata degli strati coinvolti
Scelta terreno punta	Media pesata degli strati coinvolti
Cedimento assoluto ammissibile	5 [cm]
Cedimento medio ammissibile	5 [cm]
Cedimento differenziale ammissibile	5 [cm]
Rotazione rigida ammissibile	0.191 [deg]
Trascura la coesione efficace in verifica allo scorrimento	si
Considera inclinazione spinta del terreno contro pareti	no
Esegui verifica a liquefazione	no
Metodo di verifica liquefazione	Seed-Idriss (1982)
Coeff. di sicurezza minimo a liquefazione	1.3

AZIONI E CARICHI

CONDIZIONI ELEMENTARI DI CARICO

Descrizione: nome assegnato alla condizione elementare.

Nome breve: nome breve assegnato alla condizione elementare.

Durata: descrive la durata della condizione (necessario per strutture in legno).

ψ_0 : coefficiente moltiplicatore ψ_0 . Il valore è adimensionale.

ψ_1 : coefficiente moltiplicatore ψ_1 . Il valore è adimensionale.

ψ_2 : coefficiente moltiplicatore ψ_2 . Il valore è adimensionale.

Con segno: descrive se la condizione elementare ha la possibilità di variare di segno.

Descrizione	Nome breve	Durata	ψ_0	ψ_1	ψ_2	Con segno
Pesi strutturali	Pesi	Permanente				
Permanenti portati	Port.	Permanente				
Vento	Vento	Media	0.6	0.2	0	
Variabile A	Variabile A	Media	0.7	0.5	0.3	
Neve	Neve	Media	0.5	0.2	0	
ΔT	ΔT	Media	0.6	0.5	0	No
Sisma X SLV	X SLV					
Sisma Y SLV	Y SLV					
Sisma Z SLV	Z SLV					
Eccentricità Y per sisma X SLV	EY SLV					
Eccentricità X per sisma Y SLV	EX SLV					
Sisma X SLD	X SLD					
Sisma Y SLD	Y SLD					
Sisma Z SLD	Z SLD					
Eccentricità Y per sisma X SLD	EY SLD					
Eccentricità X per sisma Y SLD	EX SLD					
Rig. Ux	R Ux					
Rig. Uy	R Uy					
Rig. Rz	R Rz					

COMBINAZIONI DI CARICO

Nome: E' il nome esteso che contraddistingue la condizione elementare di carico.

Nome breve: E' il nome compatto della condizione elementare di carico, che viene utilizzato altrove nella relazione.

Pesi: Pesi strutturali

Port.: Permanenti portati

Vento: Vento

Variabile A: Variabile A

Neve: Neve

ΔT : ΔT

X SLD: Sisma X SLD

Y SLD: Sisma Y SLD

Z SLD: Sisma Z SLD

EY SLD: Eccentricità Y per sisma X SLD

EX SLD: Eccentricità X per sisma Y SLD

Tr x SLD: Terreno sisma X SLD

Tr y SLD: Terreno sisma Y SLD

Tr z SLD: Terreno sisma Z SLD

X SLV: Sisma X SLV

Y SLV: Sisma Y SLV

Z SLV: Sisma Z SLV

EY SLV: Eccentricità Y per sisma X SLV

EX SLV: Eccentricità X per sisma Y SLV

Tr x SLV: Terreno sisma X SLV

Tr y SLV: Terreno sisma Y SLV

Tr z SLV: Terreno sisma Z SLV

R Ux: Rig. Ux

R Uy: Rig. Uy

R Rz: Rig. Rz

Tutte le combinazioni di carico vengono raggruppate per famiglia di appartenenza. Le celle di una riga contengono i coefficienti moltiplicatori della i-esima combinazione, dove il valore della prima cella è da intendersi come moltiplicatore associato alla prima condizione elementare, la seconda cella si riferisce alla seconda condizione elementare e così via.

Famiglia SLU

Il nome compatto della famiglia è SLU.

Nome	Nome breve	Pesi	Port.	Vento	Variabile A	Neve	ΔT
1	SLU 1	1	0.8	0	0	0	0
2	SLU 2	1	0.8	0	0	1.5	0
3	SLU 3	1	0.8	0	1.05	1.5	0
4	SLU 4	1	0.8	0	1.5	0	0
5	SLU 5	1	0.8	0	1.5	0.75	0
6	SLU 6	1	0.8	0.9	0	1.5	0
7	SLU 7	1	0.8	0.9	1.05	1.5	0
8	SLU 8	1	0.8	0.9	1.5	0	0
9	SLU 9	1	0.8	0.9	1.5	0.75	0
10	SLU 10	1	0.8	1.5	0	0	0
11	SLU 11	1	0.8	1.5	0	0.75	0
12	SLU 12	1	0.8	1.5	1.05	0	0
13	SLU 13	1	0.8	1.5	1.05	0.75	0
14	SLU 14	1	1.5	0	0	0	0
15	SLU 15	1	1.5	0	0	1.5	0
16	SLU 16	1	1.5	0	1.05	1.5	0
17	SLU 17	1	1.5	0	1.5	0	0
18	SLU 18	1	1.5	0	1.5	0.75	0
19	SLU 19	1	1.5	0.9	0	1.5	0
20	SLU 20	1	1.5	0.9	1.05	1.5	0
21	SLU 21	1	1.5	0.9	1.5	0	0
22	SLU 22	1	1.5	0.9	1.5	0.75	0
23	SLU 23	1	1.5	1.5	0	0	0
24	SLU 24	1	1.5	1.5	0	0.75	0
25	SLU 25	1	1.5	1.5	1.05	0	0
26	SLU 26	1	1.5	1.5	1.05	0.75	0
27	SLU 27	1.3	0.8	0	0	0	0
28	SLU 28	1.3	0.8	0	0	1.5	0
29	SLU 29	1.3	0.8	0	1.05	1.5	0
30	SLU 30	1.3	0.8	0	1.5	0	0
31	SLU 31	1.3	0.8	0	1.5	0.75	0
32	SLU 32	1.3	0.8	0.9	0	1.5	0
33	SLU 33	1.3	0.8	0.9	1.05	1.5	0
34	SLU 34	1.3	0.8	0.9	1.5	0	0
35	SLU 35	1.3	0.8	0.9	1.5	0.75	0
36	SLU 36	1.3	0.8	1.5	0	0	0
37	SLU 37	1.3	0.8	1.5	0	0.75	0
38	SLU 38	1.3	0.8	1.5	1.05	0	0
39	SLU 39	1.3	0.8	1.5	1.05	0.75	0
40	SLU 40	1.3	1.5	0	0	0	0
41	SLU 41	1.3	1.5	0	0	1.5	0
42	SLU 42	1.3	1.5	0	1.05	1.5	0
43	SLU 43	1.3	1.5	0	1.5	0	0
44	SLU 44	1.3	1.5	0	1.5	0.75	0
45	SLU 45	1.3	1.5	0.9	0	1.5	0
46	SLU 46	1.3	1.5	0.9	1.05	1.5	0
47	SLU 47	1.3	1.5	0.9	1.5	0	0
48	SLU 48	1.3	1.5	0.9	1.5	0.75	0
49	SLU 49	1.3	1.5	1.5	0	0	0
50	SLU 50	1.3	1.5	1.5	0	0.75	0
51	SLU 51	1.3	1.5	1.5	1.05	0	0
52	SLU 52	1.3	1.5	1.5	1.05	0.75	0

Famiglia SLE rara

Il nome compatto della famiglia è SLE RA.

Nome	Nome breve	Pesi	Port.	Vento	Variabile A	Neve	ΔT
1	SLE RA 1	1	1	0	0	0	0
2	SLE RA 2	1	1	0	0	1	0
3	SLE RA 3	1	1	0	0.7	1	0
4	SLE RA 4	1	1	0	1	0	0
5	SLE RA 5	1	1	0	1	0.5	0
6	SLE RA 6	1	1	0.6	0	1	0
7	SLE RA 7	1	1	0.6	0.7	1	0

Nome	Nome breve	Pesi	Port.	Vento	Variabile A	Neve	ΔT
8	SLE RA 8	1	1	0.6	1	0	0
9	SLE RA 9	1	1	0.6	1	0.5	0
10	SLE RA 10	1	1	1	0	0	0
11	SLE RA 11	1	1	1	0	0.5	0
12	SLE RA 12	1	1	1	0.7	0	0
13	SLE RA 13	1	1	1	0.7	0.5	0

Famiglia SLE frequente

Il nome compatto della famiglia è SLE FR.

Nome	Nome breve	Pesi	Port.	Vento	Variabile A	Neve	ΔT
1	SLE FR 1	1	1	0	0	0	0
2	SLE FR 2	1	1	0	0	0.2	0
3	SLE FR 3	1	1	0	0.3	0.2	0
4	SLE FR 4	1	1	0	0.5	0	0
5	SLE FR 5	1	1	0.2	0	0	0
6	SLE FR 6	1	1	0.2	0.3	0	0

Famiglia SLE quasi permanente

Il nome compatto della famiglia è SLE QP.

Nome	Nome breve	Pesi	Port.	Vento	Variabile A	Neve	ΔT
1	SLE QP 1	1	1	0	0	0	0
2	SLE QP 2	1	1	0	0.3	0	0

Famiglia SLU eccezionale

Il nome compatto della famiglia è SLU EX.

Nome	Nome breve	Pesi	Port.	Vento	Variabile A	Neve	ΔT
------	------------	------	-------	-------	-------------	------	----

Famiglia SLD

Il nome compatto della famiglia è SLD.

Nome	Nome breve	Pesi	Port.	Vento	Variabile A	Neve	ΔT	X SLD	Y SLD	Z SLD	EY SLD	EX SLD
1	SLD 1	1	1	0	0.3	0	0	-1	-0.3	0	-1	0.3
2	SLD 2	1	1	0	0.3	0	0	-1	-0.3	0	1	-0.3
3	SLD 3	1	1	0	0.3	0	0	-1	0.3	0	-1	0.3
4	SLD 4	1	1	0	0.3	0	0	-1	0.3	0	1	-0.3
5	SLD 5	1	1	0	0.3	0	0	-0.3	-1	0	-0.3	1
6	SLD 6	1	1	0	0.3	0	0	-0.3	-1	0	0.3	-1
7	SLD 7	1	1	0	0.3	0	0	-0.3	1	0	-0.3	1
8	SLD 8	1	1	0	0.3	0	0	-0.3	1	0	0.3	-1
9	SLD 9	1	1	0	0.3	0	0	0.3	-1	0	-0.3	1
10	SLD 10	1	1	0	0.3	0	0	0.3	-1	0	0.3	-1
11	SLD 11	1	1	0	0.3	0	0	0.3	1	0	-0.3	1
12	SLD 12	1	1	0	0.3	0	0	0.3	1	0	0.3	-1
13	SLD 13	1	1	0	0.3	0	0	1	-0.3	0	-1	0.3
14	SLD 14	1	1	0	0.3	0	0	1	-0.3	0	1	-0.3
15	SLD 15	1	1	0	0.3	0	0	1	0.3	0	-1	0.3
16	SLD 16	1	1	0	0.3	0	0	1	0.3	0	1	-0.3

Famiglia SLV

Il nome compatto della famiglia è SLV.

Nome	Nome breve	Pesi	Port.	Vento	Variabile A	Neve	ΔT	X SLV	Y SLV	Z SLV	EY SLV	EX SLV
1	SLV 1	1	1	0	0.3	0	0	-1	-0.3	0	-1	0.3
2	SLV 2	1	1	0	0.3	0	0	-1	-0.3	0	1	-0.3
3	SLV 3	1	1	0	0.3	0	0	-1	0.3	0	-1	0.3
4	SLV 4	1	1	0	0.3	0	0	-1	0.3	0	1	-0.3
5	SLV 5	1	1	0	0.3	0	0	-0.3	-1	0	-0.3	1
6	SLV 6	1	1	0	0.3	0	0	-0.3	-1	0	0.3	-1
7	SLV 7	1	1	0	0.3	0	0	-0.3	1	0	-0.3	1
8	SLV 8	1	1	0	0.3	0	0	-0.3	1	0	0.3	-1
9	SLV 9	1	1	0	0.3	0	0	0.3	-1	0	-0.3	1
10	SLV 10	1	1	0	0.3	0	0	0.3	-1	0	0.3	-1
11	SLV 11	1	1	0	0.3	0	0	0.3	1	0	-0.3	1
12	SLV 12	1	1	0	0.3	0	0	0.3	1	0	0.3	-1
13	SLV 13	1	1	0	0.3	0	0	1	-0.3	0	-1	0.3
14	SLV 14	1	1	0	0.3	0	0	1	-0.3	0	1	-0.3
15	SLV 15	1	1	0	0.3	0	0	1	0.3	0	-1	0.3
16	SLV 16	1	1	0	0.3	0	0	1	0.3	0	1	-0.3

Famiglia Calcolo rigidezza torsionale/flessionale di piano

Il nome compatto della famiglia è CRTFP.

Nome	Nome breve	R Ux	R Uy	R Rz
Rig. Ux+	CRTFP Ux+	1	0	0
Rig. Ux-	CRTFP Ux-	-1	0	0
Rig. Uy+	CRTFP Uy+	0	1	0
Rig. Uy-	CRTFP Uy-	0	-1	0
Rig. Rz+	CRTFP Rz+	0	0	1
Rig. Rz-	CRTFP Rz-	0	0	-1

DEFINIZIONI DI CARICHI CONCENTRATI

Nome: nome identificativo della definizione di carico.

Valori: valori associati alle condizioni di carico.

Condizione: condizione di carico a cui sono associati i valori.

Descrizione: nome assegnato alla condizione elementare.

Fx: componente X del carico concentrato. [daN]

Fy: componente Y del carico concentrato. [daN]

Fz: componente Z del carico concentrato. [daN]

Mx: componente di momento della coppia concentrata attorno all'asse X. [daN*cm]

My: componente di momento della coppia concentrata attorno all'asse Y. [daN*cm]

Mz: componente di momento della coppia concentrata attorno all'asse Z. [daN*cm]

Nome	Valori						
	Condizione	Fx	Fy	Fz	Mx	My	Mz
	Descrizione						
Peso cancello	Pesi strutturali	0	0	0	0	0	0
	Permanenti portati	0	0	-50	0	0	0
	Vento	0	0	0	0	0	0
	Variabile A	0	0	0	1500	0	0
Peso cancelletto	Neve	0	0	0	0	0	0
	Pesi strutturali	0	0	0	0	0	0
	Permanenti portati	0	0	-40	0	0	0
	Vento	0	0	0	0	0	0
	Variabile A	0	0	0	4000	0	0
	Neve	0	0	0	0	0	0

DEFINIZIONI DI CARICHI LINEARI

Nome: nome identificativo della definizione di carico.

Valori: valori associati alle condizioni di carico.

Condizione: condizione di carico a cui sono associati i valori.

Descrizione: nome assegnato alla condizione elementare.

Fx i.: valore iniziale della forza, per unità di lunghezza, agente in direzione X. [daN/cm]

Fx f.: valore finale della forza, per unità di lunghezza, agente in direzione X. [daN/cm]

Fy i.: valore iniziale della forza, per unità di lunghezza, agente in direzione Y. [daN/cm]

Fy f.: valore finale della forza, per unità di lunghezza, agente in direzione Y. [daN/cm]

Fz i.: valore iniziale della forza, per unità di lunghezza, agente in direzione Z. [daN/cm]

Fz f.: valore finale della forza, per unità di lunghezza, agente in direzione Z. [daN/cm]

Mx i.: valore iniziale della coppia, per unità di lunghezza, agente attorno l'asse X. [daN]

Mx f.: valore finale della coppia, per unità di lunghezza, agente attorno l'asse X. [daN]

My i.: valore iniziale della coppia, per unità di lunghezza, agente attorno l'asse Y. [daN]

My f.: valore finale della coppia, per unità di lunghezza, agente attorno l'asse Y. [daN]

Mz i.: valore iniziale della coppia, per unità di lunghezza, agente attorno l'asse Z. [daN]

Mz f.: valore finale della coppia, per unità di lunghezza, agente attorno l'asse Z. [daN]

Nome	Valori												
	Condizione	Fx i.	Fx f.	Fy i.	Fy f.	Fz i.	Fz f.	Mx i.	Mx f.	My i.	My f.	Mz i.	Mz f.
	Descrizione												
Azione del vento - recinzione	Pesi strutturali	0	0	0	0	0	0	0	0	0	0	0	0

Nome	Valori												
	Condizione	Fx i.	Fx f.	Fy i.	Fy f.	Fz i.	Fz f.	Mx i.	Mx f.	My i.	My f.	Mz i.	Mz f.
	Descrizione												
	Permanenti portati	0	0	0	0	0	0	0	0	0	0	0	0
	Vento	0	0	0	0	0.9	0.9	0	0	0	0	0	0
	Variabile A	0	0	0	0	0	0	0	0	0	0	0	0
	Neve	0	0	0	0	0	0	0	0	0	0	0	0
Pilastro cancello	Pesi strutturali	0	0	0	0	0	0	0	0	0	0	0	0
	Permanenti portati	0	0	0	0	0	0	0	0	0	0	0	0
	Vento	0	0	0	0	0.9	0.9	0	0	0	0	0	0
	Variabile A	0	0	0	0	0	0	0	0	0	0	0	0
	Neve	0	0	0	0	0	0	0	0	0	0	0	0
Pilastro cancelletto	Pesi strutturali	0	0	0	0	0	0	0	0	0	0	0	0
	Permanenti portati	0	0	0	0	0	0	0	0	0	0	0	0
	Vento	0	0	0.9	0.9	0	0	0	0	0	0	0	0
	Variabile A	0	0	0	0	0	0	0	0	0	0	0	0
	Neve	0	0	0	0	0	0	0	0	0	0	0	0

ALLEGATO 08 – DATI DI DEFINIZIONE PANNELLI FV

DATI DI DEFINIZIONE

ACCIAI

Proprietà acciai base

Descrizione: descrizione o nome assegnato all'elemento.

E: modulo di elasticità longitudinale del materiale per edifici o materiali nuovi. [daN/cm²]

G: modulo di elasticità tangenziale del materiale, viene impiegato nella modellazione di aste e di elementi guscio a comportamento ortotropo. [daN/cm²]

v: coefficiente di Poisson. Il valore è adimensionale.

γ: peso specifico del materiale. [daN/cm³]

α: coefficiente longitudinale di dilatazione termica. [°C⁻¹]

Descrizione	E	G	v	γ	α
S235	2100000	Default (807692.3)	0.3	0.00785	0.000012

Proprietà acciai CNR 10011

Descrizione: descrizione o nome assegnato all'elemento.

Tipo: descrizione per norma.

fy(s<=40 mm): resistenza di snervamento fy per spessori <=40 mm. [daN/cm²]

fy(s>40 mm): resistenza di snervamento fy per spessori >40 mm. [daN/cm²]

fu(s<=40 mm): resistenza di rottura per trazione fu per spessori <=40 mm. [daN/cm²]

fu(s>40 mm): resistenza di rottura per trazione fu per spessori >40 mm. [daN/cm²]

Prosp. Omega: prospetto per coefficienti Omega.

σ amm.(s<=40 mm): σ ammissibile per spessori <=40 mm. [daN/cm²]

σ amm.(s>40 mm): σ ammissibile per spessori >40 mm. [daN/cm²]

fd(s<=40 mm): resistenza di progetto fd per spessori <=40 mm. [daN/cm²]

fd(s>40 mm): resistenza di progetto fd per spessori >40 mm. [daN/cm²]

Descrizione	Tipo	fy(s<=40 mm)	fy(s>40 mm)	fu(s<=40 mm)	fu(s>40 mm)	Prosp. Omega	σ amm.(s<=40 mm)	σ amm.(s>40 mm)	fd(s<=40 mm)	fd(s>40 mm)
S235	FE360	2350	2150	3600	3400	II	1600	1400	2350	2100

Proprietà acciai EC3

Descrizione: descrizione o nome assegnato all'elemento.

Tipo: descrizione per norma.

fy(s<=40 mm): resistenza di snervamento fy per spessori <=40 mm. [daN/cm²]

fy(s>40 mm): resistenza di snervamento fy per spessori >40 mm. [daN/cm²]

fu(s<=40 mm): resistenza di rottura per trazione fu per spessori <=40 mm. [daN/cm²]

fu(s>40 mm): resistenza di rottura per trazione fu per spessori >40 mm. [daN/cm²]

Descrizione	Tipo	fy(s<=40 mm)	fy(s>40 mm)	fu(s<=40 mm)	fu(s>40 mm)
S235	S235	2350	2150	3600	3600

CALCESTRUZZI

Descrizione: descrizione o nome assegnato all'elemento.

Rck: resistenza caratteristica cubica; valore medio nel caso di edificio esistente. [daN/cm²]

E: modulo di elasticità longitudinale del materiale per edifici o materiali nuovi. [daN/cm²]

G: modulo di elasticità tangenziale del materiale, viene impiegato nella modellazione di aste e di elementi guscio a comportamento ortotropo. [daN/cm²]

v: coefficiente di Poisson. Il valore è adimensionale.

γ: peso specifico del materiale. [daN/cm³]

α: coefficiente longitudinale di dilatazione termica. [°C-1]

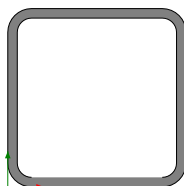
Descrizione	Rck	E	G	v	γ	α
C25/30	300	314472	Default (142941.64)	0.1	0.0025	0.00001
Magrone	1	206393	Default (93814.89)	0.1	0.0025	0.00001

SEZIONI

SEZIONI IN ACCIAIO

Profili singoli in acciaio

Profili rettangolari



Descrizione: descrizione o nome assegnato all'elemento.

Sup.: superficie bagnata per unità di lunghezza. [mm]

Area Tx FEM: area di taglio in direzione X per l'analisi FEM. [mm²]

Area Ty FEM: area di taglio in direzione Y per l'analisi FEM. [mm²]

JxFEM: momento di inerzia attorno all'asse X per l'analisi FEM. [mm⁴]

JyFEM: momento di inerzia attorno all'asse Y per l'analisi FEM. [mm⁴]

JtFEM: momento d'inerzia torsionale corretto con il fattore di forma per l'analisi FEM. [mm⁴]

h: altezza del tubo. [mm]

b: larghezza del tubo. [mm]

s: spessore. [mm]

r: raggio di curvatura. [mm]

Categoria: categoria, basata sulla tecnologia costruttiva.

Formatura: tipo di formatura a freddo del sagomato.

Descrizione	Sup.	Area Tx FEM	Area Ty FEM	JxFEM	JyFEM	JtFEM	h	b	s	r	Categoria	Formatura
EN10219 50x50x2	373.6	200	200	141470	141470	226257	50	50	2	2	Sagomato a freddo conforme UNI 10219	A rullo
EN10219 100x100x5	734.1	1000	1000	2711021	2711021	4405172	100	100	5	5	Sagomato a freddo conforme UNI 10219	A rullo
EN10219 150x150x5	1134.1	1500	1500	9821189	9821189	15541317	150	150	5	5	Sagomato a freddo conforme UNI 10219	A rullo

Caratteristiche inerziali sezioni in acciaio

Caratteristiche inerziali principali sezioni in acciaio

Descrizione: descrizione o nome assegnato all'elemento.

Xg: coordinata X del baricentro. [cm]

Yg: coordinata Y del baricentro. [cm]

Area: area inerziale nel sistema geometrico centrato nel baricentro. [cm²]

Jx: momento d'inerzia attorno all'asse orizzontale baricentrico di definizione della sezione. [cm⁴]

Jy: momento d'inerzia attorno all'asse verticale baricentrico di definizione della sezione. [cm⁴]

Jxy: momento centrifugo rispetto al sistema di riferimento baricentrico di definizione della sezione. [cm⁴]

Jm: momento d'inerzia attorno all'asse baricentrico principale M. [cm⁴]

Jn: momento d'inerzia attorno all'asse baricentrico principale N. [cm⁴]

α X su M: angolo tra gli assi del sistema di riferimento geometrico di definizione e quelli del sistema di riferimento principale. [deg]

Jt: momento d'inerzia torsionale corretto con il fattore di forma. [cm⁴]

Descrizione	Xg	Yg	Area	Jx	Jy	Jxy	Jm	Jn	α X su M	Jt
EN10219 50x50x2	2.5	2.5	3.74	14.15	14.15	0	14.15	14.15	0	22.63
EN10219 100x100x5	5	5	18.36	271.1	271.1	0	271.1	271.1	0	440.52
EN10219 150x150x5	7.5	7.5	28.36	982.12	982.12	0	982.12	982.12	0	1554.13

Caratteristiche inerziali momenti sezioni in acciaio

Descrizione: descrizione o nome assegnato all'elemento.

ix: raggio di inerzia relativo all'asse x. [cm]

iy: raggio di inerzia relativo all'asse y. [cm]

im: raggio di inerzia relativo all'asse principale m. [cm]

in: raggio di inerzia relativo all'asse principale n. [cm]

Sx: momento statico relativo all'asse x. [cm³]

Sy: momento statico relativo all'asse y. [cm³]

Wx: modulo di resistenza elastico minimo relativo all'asse x. [cm³]

Wy: modulo di resistenza elastico minimo relativo all'asse y. [cm³]

Wm: modulo di resistenza elastico minimo relativo all'asse principale m. [cm³]

Wn: modulo di resistenza elastico minimo relativo all'asse principale n. [cm³]

Wplx: modulo di resistenza plastico relativo all'asse x. [cm³]

Wply: modulo di resistenza plastico relativo all'asse y. [cm³]

Descrizione	ix	iy	im	in	Sx	Sy	Wx	Wy	Wm	Wn	Wplx	Wply
EN10219 50x50x2	1.95	1.95	1.95	1.95	3.33	3.33	5.66	5.66	5.66	5.66	6.66	6.66
EN10219 100x100x5	3.84	3.84	3.84	3.84	32.26	32.26	54.22	54.22	54.22	54.22	64.59	64.59
EN10219 150x150x5	5.89	5.89	5.89	5.89	76.44	76.44	130.95	130.95	130.95	130.95	152.98	152.98

Caratteristiche inerziali taglio sezioni in acciaio

Descrizione: descrizione o nome assegnato all'elemento.

Atx: area a taglio lungo x. [cm²]

Aty: area a taglio lungo y. [cm²]

Descrizione	Atx	Aty
EN10219 50x50x2	2	2
EN10219 100x100x5	10	10
EN10219 150x150x5	15	15

SEZIONI IN C.A. – TRAVE DI FONDAZIONE ACCESSO CARRAIO/PEDONALE



Descrizione: descrizione o nome assegnato all'elemento.

Area Tx FEM: area di taglio in direzione X per l'analisi FEM. [cm²]

Area Ty FEM: area di taglio in direzione Y per l'analisi FEM. [cm²]

JxFEM: momento di inerzia attorno all'asse X per l'analisi FEM. [cm⁴]

JyFEM: momento di inerzia attorno all'asse Y per l'analisi FEM. [cm⁴]

JtFEM: momento d'inerzia torsionale corretto con il fattore di forma per l'analisi FEM. [cm⁴]

H: altezza della sezione. [cm]

B: larghezza della sezione. [cm]

c.s.: copriferro superiore della sezione. [cm]

c.i.: copriferro inferiore della sezione. [cm]

c.l.: copriferro laterale della sezione. [cm]

Descrizione	Area Tx FEM	Area Ty FEM	JxFEM	JyFEM	JtFEM	H	B	c.s.	c.i.	c.l.
R 70x40	2333.33	2333.33	373333.33	1.143E06	955733.33	40	70	6	6	6

Caratteristiche inerziali sezioni C.A.

Descrizione: descrizione o nome assegnato all'elemento.

Xg: ascissa del baricentro definita rispetto al sistema geometrico in cui sono definiti i vertici del poligono. [cm]

Yg: ordinata del baricentro definita rispetto al sistema geometrico in cui sono definiti i vertici del poligono. [cm]

Area: area inerziale nel sistema geometrico centrato nel baricentro. [cm²]

Jx: momento d'inerzia attorno all'asse orizzontale baricentrico di definizione della sezione. [cm⁴]

Jy: momento d'inerzia attorno all'asse verticale baricentrico di definizione della sezione. [cm⁴]

Jxy: momento centrifugo rispetto al sistema di riferimento baricentrico di definizione della sezione. [cm⁴]

Jm: momento d'inerzia attorno all'asse baricentrico principale M. [cm⁴]

Jn: momento d'inerzia attorno all'asse baricentrico principale N. [cm⁴]

α: angolo tra gli assi del sistema di riferimento geometrico di definizione e quelli del sistema di riferimento principale. [deg]

Area Tx FEM: area di taglio in direzione X per l'analisi FEM. [cm²]

Area Ty FEM: area di taglio in direzione Y per l'analisi FEM. [cm²]

JxFEM: momento di inerzia attorno all'asse X per l'analisi FEM. [cm⁴]

JyFEM: momento di inerzia attorno all'asse Y per l'analisi FEM. [cm⁴]

JtFEM: momento d'inerzia torsionale corretto con il fattore di forma per l'analisi FEM. [cm⁴]

Descrizione	Xg	Yg	Area	Jx	Jy	Jxy	Jm	Jn	α	Area Tx FEM	Area Ty FEM	JxFEM	JyFEM	JtFEM
R 70x40	35	20	2800	3.7E5	1.1E6	0	3.7E5	1.1E6	0	2333.33	2333.33	3.73E05	1.14E06	9.56E05

PLINTI DI FONDAZIONE RECINZIONE

Plinti superficiali rettangolari

Descrizione: descrizione o nome assegnato all'elemento.

H: spessore dello zatterone. [cm]

Bx: dimensione del lato dello zatterone parallelo all'asse X. [cm]

By: dimensione del lato dello zatterone parallelo all'asse Y. [cm]

Ecc. x: eccentricità del centro del pilastro rispetto al centro della suola, in direzione x. [cm]

Ecc. y: eccentricità del centro del pilastro rispetto al centro della suola, in direzione y. [cm]

Bicchiere: bicchiere incassato nella sommità del plinto.

Descrizione	H	Bx	By	Ecc. x	Ecc. y	Bicchiere
Rettangolare 40x40x60	60	40	40	0	0	

Terreni

Descrizione: descrizione o nome assegnato all'elemento.

Coesione: coesione efficace del terreno. [daN/cm²]

Coesione non drenata: coesione non drenata (Cu) del terreno, per terreni eminentemente coesivi. [daN/cm²]

Attrito interno: angolo di attrito interno del terreno. [deg]

δ: angolo di attrito all'interfaccia terreno-cla. [deg]

Coeff. α di adesione: coeff. di adesione della coesione all'interfaccia terreno-cla, compreso tra 0 ed 1. Il valore è adimensionale.

Coeff. di spinta KO: coefficiente di spinta a riposo del terreno. Il valore è adimensionale.

γ naturale: peso specifico naturale del terreno in sito, assegnato alle zone non immerse. [daN/cm³]

γ saturo: peso specifico saturo del terreno in sito, assegnato alle zone immerse. [daN/cm³]

E: modulo elastico longitudinale del terreno. [daN/cm²]

v: coefficiente di Poisson del terreno. Il valore è adimensionale.

Rqd: rock quality degree. Per roccia assume valori nell'intervallo (0;1). Il valore convenzionale 0 indica che si tratta di un terreno sciolto. Il valore è adimensionale.

Permeabilità Kh: permeabilità orizzontale. Permeabilità orizzontale del terreno. [cm/s]

Permeabilità Kv: permeabilità verticale. Permeabilità verticale del terreno. [cm/s]

Nome attribuito al sondaggio: **Sondaggio località Sal di Collina**

Coordinate planimetriche del sondaggio nel sistema globale scelto: 0, 0

Quota della sommità del sondaggio (P.C.) nel sistema globale scelto: 0

Terreno	Sp.	Liqf	Kor,i	Kor,s	Kve,i	Kve,s	Eel,s	Eel,i	Eed,s	Eed,i	CC,s	CC,i	CR,s	CR,i	E0,s	E0,i	OCR,s	OCR,i
Terreno vegetale Ascoli Satriano	150	No	1.5	1	1	1	250	250	0	0	0	0	0	0	0	0	1	1
Sabbia gialla	450	No	1.5	1	1	1	540	540	0	0	0	0	0	0	0	0	1	1
Ghiaia sabbiosa poco addensata	200	No	1.5	1	1	1	32083	32083	0	0	0	0	0	0	0	0	1	1
Ghiaia	200	No	1.5	1	1	1	900	900	0	0	0	0	0	0	0	0	1	1

Nome attribuito al sondaggio: **Sondaggio località Sal di Mezzana**

Coordinate planimetriche del sondaggio nel sistema globale scelto: 0, 0

Quota della sommità del sondaggio (P.C.) nel sistema globale scelto: 0

Terreno	Sp.	Liqf	Kor,i	Kor,s	Kve,i	Kve,s	Eel,s	Eel,i	Eed,s	Eed,i	CC,s	CC,i	CR,s	CR,i	E0,s	E0,i	OCR,s	OCR,i
Terreno vegetale Ascoli Satriano	100	No	1.5	1	1	1	250	250	0	0	0	0	0	0	0	0	1	1
Ghiaia sabbiosa poco addensata	300	No	1.5	1	1	1	32083	32083	0	0	0	0	0	0	0	0	1	1
Sabbia ghiaiosa con ciottoli in matrice limosa	600	No	1.5	1	1	1	100	100	0	0	0	0	0	0	0	0	1	1

ALLEGATO 09 – DATI DI DEFINIZIONE PANNELLI FV

VERIFICHE

VERIFICHE TRAVATE IN C.A.

Le unità di misura elencate nel capitolo sono in [cm, daN, deg] ove non espressamente specificato.

N°: indice progressivo della sezione.

Descrizione: descrizione della sezione.

Tipo: tipo di sezione.

Base: base della sezione. [cm]

Altezza: altezza della sezione. [cm]

Copriferro sup.: distanza del bordo della staffa dalla superficie superiore del getto. [cm]

Copriferro inf.: distanza del bordo della staffa dalla superficie inferiore del getto. [cm]

Copriferro lat.: distanza del bordo della staffa dalle superfici laterali del getto. [cm]

x: distanza da asse appoggio sinistro. [cm]

A sup.: area efficace di armatura longitudinale superiore. [cm²]

C.b. sup.: distanza dal bordo del baricentro dell'armatura longitudinale superiore. [cm]

A inf.: area efficace di armatura longitudinale inferiore. [cm²]

C.b. inf.: distanza dal bordo del baricentro dell'armatura longitudinale inferiore. [cm]

M+ela: momento flettente desunto dal solutore che tende le fibre inferiori. [daN*cm]

Comb.: combinazione.

M+des: momento flettente di progetto che tende le fibre inferiori. [daN*cm]

M+ult: momento ultimo per trazione delle fibre inferiori. [daN*cm]

x/d: rapporto tra posizione asse neutro e altezza utile.

M-ela: momento flettente desunto dal solutore che tende le fibre superiori. [daN*cm]

M-des: momento flettente di progetto che tende le fibre superiori. [daN*cm]

M-ult: momento ultimo per trazione delle fibre superiori. [daN*cm]

Verifica: stato di verifica.

A st: area di staffe per unità di lunghezza. [cm²]

A sl: area di armatura longitudinale tesa per valutazione resistenza taglio in assenza di armature a taglio. [cm²]

A sag: area equivalente di barre piegate per unità di lunghezza. [cm²]

Vela: taglio elastico. [daN]

Vdes: taglio di progetto. [daN]

Vrd: resistenza a taglio della sezione senza armature. [daN]

Vrcd: sforzo di taglio che produce il cedimento delle bielle. [daN]

Vrsd: resistenza a taglio per la presenza delle armature. [daN]

Vult: taglio ultimo. [daN]

cotgθ: cotg dell'angolo di inclinazione dei puntoni in calcestruzzo.

Rara: famiglia di combinazione di verifica.

Mela: momento elastico. [daN*cm]

Mdes: momento di progetto. [daN*cm]

σ c: tensione di compressione nel calcestruzzo. [daN/cm²]

σ c lim.: tensione limite di compressione nel calcestruzzo. [daN/cm²]

σ f: tensione di trazione nell'acciaio. [daN/cm²]

σ f lim.: tensione limite di trazione nell'acciaio. [daN/cm²]

Quasi permanente: famiglia di combinazione di verifica.

σ FRP: tensione di trazione nell'FRP. [daN/cm²]

σ FRP lim.: tensione limite di trazione nell'FRP. [daN/cm²]

Aste: numero delle aste del tratto in verifica.

Size X: misura dell'impronta al suolo lungo la direzione X locale. [cm]

Size Y: misura dell'impronta al suolo lungo la direzione Y locale. [cm]

Comb: combinazione.

Type: indicazione del tipo di combinazione statica o sismica.

Cond: indicazione della condizione di carico (BT breve termine o LT lungo termine).

γR: coefficiente parziale sulla resistenza di progetto.

Rd: resistenza di progetto. [daN]

Ed: azione di progetto. [daN]

Rd/Ed: coefficiente di sicurezza alla capacità portante.

Fx: componente orizzontale del carico lungo x. [daN]

Fy: componente orizzontale del carico lungo y. [daN]

Fz: componente verticale del carico. [daN]

Mx: momento risultante agente attorno x. [daN*cm]

My: momento risultante agente attorno y. [daN*cm]

Inc.x: inclinazione del carico lungo x. [deg]

Inc.y: inclinazione del carico lungo y. [deg]

Ecc.x: eccentricità del carico lungo x. [cm]

Ecc.y: eccentricità del carico lungo y. [cm]

B': larghezza efficace. [cm]

L': lunghezza efficace. [cm]

qd: sovraccarico di progetto. [daN/cm²]

ys: peso specifico di progetto del suolo. [daN/cm³]

Fi: angolo di attrito di progetto. [deg]

Coes: coesione di progetto. [daN/cm²]

Amax: accelerazione normalizzata max al suolo.

N:

Nq: fattore di capacità portante per il termine di sovraccarico.

Nc: fattore di capacità portante per il termine coesivo.

Ng: fattore di capacità portante per il termine attritivo.

S:

Sq: fattore correttivo di capacità portante per forma (shape), per il termine di sovraccarico.

Sc: fattore correttivo di capacità portante per forma (shape), per il termine coesivo.

Sg: fattore correttivo di capacità portante per forma (shape), per il termine attritivo.

D:

Dq: fattore correttivo di capacità portante per approfondimento (deep), per il termine di sovraccarico.

Dc: fattore correttivo di capacità portante per approfondimento (deep), per il termine coesivo.

Dg: fattore correttivo di capacità portante per approfondimento (deep), per il termine attritivo.

I:

Iq: fattore correttivo di capacità portante per inclinazione del carico, per il termine di sovraccarico.

Ic: fattore correttivo di capacità portante per inclinazione del carico, per il termine coesivo.

Ig: fattore correttivo di capacità portante per inclinazione del carico, per il termine attritivo.

B:

Bq: fattore correttivo di capacità portante per inclinazione della base, per il termine di sovraccarico.

Bc: fattore correttivo di capacità portante per inclinazione della base, per il termine coesivo.

Bg: fattore correttivo di capacità portante per inclinazione della base, per il termine attritivo.

G:

Gq: fattore correttivo di capacità portante per inclinazione del pendio, per il termine di sovraccarico.

Gc: fattore correttivo di capacità portante per inclinazione del pendio, per il termine coesivo.

Gg: fattore correttivo di capacità portante per inclinazione del pendio, per il termine attritivo.

P:

Pq: fattore correttivo di capacità portante per punzonamento, per il termine di sovraccarico.

Pc: fattore correttivo di capacità portante per punzonamento, per il termine coesivo.

Pg: fattore correttivo di capacità portante per punzonamento, per il termine attritivo.

E:

Eq: fattore correttivo di capacità portante per sisma (earthquake), per il termine di sovraccarico.

Ec: fattore correttivo di capacità portante per sisma (earthquake), per il termine coesivo.

Eg: fattore correttivo di capacità portante per sisma (earthquake), per il termine attritivo.

Tipo: tipologia di cedimento considerato (E = elastico, D = edometrico, Z = consolidazione primaria).

Assoluto: cedimento assoluto massimo.

Sa adm: cedimento assoluto ammissibile. [cm]

Sa: cedimento assoluto massimo. [cm]

Nodo: nodo dove avviene il cedimento assoluto massimo.

Differenziale: cedimento differenziale massimo.

Sd adm: cedimento differenziale ammissibile. [cm]

Sd: cedimento differenziale massimo. [cm]

Nodo I: nodo dove avviene il cedimento differenziale massimo.

Nodo j: nodo dove avviene il cedimento differenziale massimo.

Relativo: cedimento relativo massimo.

Sr adm: cedimento relativo ammissibile. [cm]

Sr: cedimento relativo massimo. [cm]

Nodo: nodo dove avviene il cedimento relativo massimo.

Rapp. inflessione: rapporto di inflessione (cedimento relativo max su lunghezza complessiva tratta).

Rl adm: rapporto di inflessione ammissibile.

Rl: rapporto di inflessione (cedimento relativo max su lunghezza complessiva tratta).

Rotazione rigida: rotazione rigida valutata tra primo ed ultimo punto.

RR adm: rotazione rigida ammissibile. [deg]

RR: rotazione rigida massima (tra primo ed ultimo punto). [deg]

Rotazione assoluta: rotazione assoluta dei singoli tratti.

R Adm: rotazione assoluta ammissibile. [deg]

R Max: rotazione assoluta massima. [deg]

Nodo I: dal nodo.

Nodo J: al nodo.

Distorsione angolare positiva: distorsione angolare positiva (concavità verso l'alto).

D+ adm: distorsione angolare ammissibile. [deg]

D+: distorsione angolare massima positiva (concavità verso l'alto). [deg]

Nodo: nodo dove avviene la distorsione angolare massima positiva (concavità verso l'alto).

Distorsione angolare negativa: distorsione angolare negativa (concavità verso il basso).

D- adm: distorsione angolare ammissibile. [deg]

D-: distorsione angolare massima negativa (concavità verso il basso). [deg]

Nodo: nodo dove avviene la distorsione angolare massima negativa (concavità verso il basso).

LOCALITA' SAL DI COLLINA

Trave di fondazione accesso carraio/pedonale

Verifiche condotte secondo D.M. 17-01-18 (N.T.C.)

Geometria



Caratteristiche dei materiali

Acciaio: B450C Fyk 4500

Calcestruzzo: C25/30 Rck 300

Elenco delle sezioni

N°	Descrizione	Tipo	Base	Altezza	Copriferro sup.	Copriferro inf.	Copriferro lat.
1	R 70x40	Rettangolare	70	40	6	6	6

Output campate

Campata 1 tra i fili 2 - 2, sezione R 70x40, asta 7

Verifiche a flessione in famiglia SLU

x	A sup.	C.b. sup.	A inf.	C.b. inf.	M+ela	Comb.	M+des	M+ult	x/d	M-ela	Comb.	M-des	M-ult	x/d	Verifica
0	0	0	0	0	0	SLU 14	296	0	0	0	SLU 32	-231	0	0	Si
9	6.03	7.8	6.03	7.8	65	SLU 40	296	816960	0.168	-51	SLU 10	-231	-816960	0.168	Si
18	6.03	7.8	6.03	7.8	256	SLU 40	296	816960	0.168	-200	SLU 10	-231	-816960	0.168	Si
19	6.03	7.8	6.03	7.8	296	SLU 40	296	816960	0.168	-231	SLU 10	-231	-816960	0.168	Si
27	6.03	7.8	6.03	7.8	569	SLU 40	138	816960	0.168	-445	SLU 10	-131	-816960	0.168	Si

Verifiche a flessione in famiglia SLV (domini sostanzialmente elastici)

La struttura oppure parte di essa, è stata dichiarata come non dissipativa pertanto la verifica a pressoflessione, per tutte o solo alcune sezioni, viene eseguita calcolando i momenti resistenti in campo sostanzialmente elastico secondo D.M. 17-01-2018 §7.4.1

Le dilatazioni ultime utilizzate sono le seguenti: $\epsilon_{c2} = 0.002$, $\epsilon_{yd} = 0.0019$

x	A sup.	C.b. sup.	A inf.	C.b. inf.	M+ela	Comb.	M+des	M+ult	x/d	M-ela	Comb.	M-des	M-ult	x/d	Verifica
0	0	0	0	0	0	SLV 13	238	0	0	0	SLV 7	0	0	0	Si
9	6.03	7.8	6.03	7.8	52	SLV 1	238	699352	0.214	39	SLV 13	0	-699352	0.214	Si

x	A sup.	C.b. sup.	A inf.	C.b. inf.	M+ela	Comb.	M+des	M+ult	x/d	M-ela	Comb.	M-des	M-ult	x/d	Verifica
18	6.03	7.8	6.03	7.8	206	SLV 1	238	699352	0.214	154	SLV 13	0	-699352	0.214	Si
19	6.03	7.8	6.03	7.8	238	SLV 1	238	699352	0.214	177	SLV 13	0	-699352	0.214	Si
27	6.03	7.8	6.03	7.8	457	SLV 1	331	699352	0.214						Si

Verifiche SLD Resistenza a flessione (domini sostanzialmente elastici)

La struttura oppure parte di essa, è stata dichiarata come non dissipativa pertanto la verifica a pressoflessione, per tutte o solo alcune sezioni, viene eseguita calcolando i momenti resistenti in campo sostanzialmente elastico secondo D.M. 17-01-2018 §7.4.1

Le dilatazioni ultime utilizzate sono le seguenti: $\epsilon_{c2} = 0.002$, $\epsilon_{yd} = 0.0019$

x	A sup.	C.b. sup.	A inf.	C.b. inf.	M+ela	Comb.	M+des	M+ult	x/d	M-ela	Comb.	M-des	M-ult	x/d	Verifica
0	0	0	0	0	0	SLD 11	221	0	0	0	SLD 7	0	0	0	Si
9	6.03	7.8	6.03	7.8	48	SLD 1	221	699352	0.214	43	SLD 13	0	-699352	0.214	Si
18	6.03	7.8	6.03	7.8	191	SLD 1	221	699352	0.214	169	SLD 13	0	-699352	0.214	Si
19	6.03	7.8	6.03	7.8	221	SLD 1	221	699352	0.214	195	SLD 13	0	-699352	0.214	Si
27	6.03	7.8	6.03	7.8	424	SLD 1	306	699352	0.214						Si

Verifiche a taglio in famiglia SLU

x	A st	A sl	A sag	Vela	Comb.	Vdes	Vrd	Vrcd	Vrsd	Vult	cotg θ	Verifica
0	0.178	0	0	0	Ger.	0	10907	62203	61373	61373	2.45	Si
0	0.178	0	0	0	Ger.	0	-10907	-62203	-61373	-61373	2.45	Si
9	0.178	0	0	15	SLU 40	15	9413	50073	49405	49405	2.45	Si
9	0.178	0	0	-11	SLU 10	-11	-9413	-50073	-49405	-49405	2.45	Si
18	0.178	0	0	29	SLU 40	29	9413	50073	49405	49405	2.45	Si
18	0.178	0	0	-22	SLU 10	-22	-9413	-50073	-49405	-49405	2.45	Si
19	0.178	0	0	31	SLU 40	31	9413	50073	49405	49405	2.45	Si
19	0.178	0	0	-24	SLU 10	-24	-9413	-50073	-49405	-49405	2.45	Si
27	0.178	0	0	42	SLU 40	42	9413	50073	49405	49405	2.45	Si
27	0.178	0	0	-33	SLU 10	-33	-9413	-50073	-49405	-49405	2.45	Si

Verifiche a taglio in famiglia SLV

x	A st	A sl	A sag	Vela	Comb.	Vdes	Vrd	Vrcd	Vrsd	Vult	cotg θ	Verifica
0	0.178	0	0	0	Ger.	0	-10907	-62203	-61373	-61373	2.45	Si
9	0.178	0	0	12	SLV 1	12	9413	50073	49405	49405	2.45	Si
18	0.178	0	0	23	SLV 1	23	9413	50073	49405	49405	2.45	Si
19	0.178	0	0	25	SLV 1	25	9413	50073	49405	49405	2.45	Si
27	0.178	0	0	34	SLV 1	34	9413	50073	49405	49405	2.45	Si

Verifiche SLD Resistenza a taglio

x	A st	A sl	A sag	Vela	Comb.	Vdes	Vrd	Vrcd	Vrsd	Vult	cotg θ	Verifica
0	0.178	0	0	0	Ger.	0	10907	62203	61373	61373	2.45	Si
0	0.178	0	0	0	Ger.	0	-10907	-62203	-61373	-61373	2.45	Si
9	0.178	0	0	11	SLD 1	11	9413	50073	49405	49405	2.45	Si

x	A st	A sl	A sag	Vela	Comb.	Vdes	Vrd	Vrcd	Vrzd	Vult	cotgθ	Verifica
18	0.178	0	0	21	SLD 1	21	9413	50073	49405	49405	2.45	Si
19	0.178	0	0	23	SLD 1	23	9413	50073	49405	49405	2.45	Si
27	0.178	0	0	31	SLD 1	31	9413	50073	49405	49405	2.45	Si

Verifiche delle tensioni in esercizio

x	Rara							Quasi permanente							Verifica
	Mela	Comb.	Mdes	σ c	σ c lim.	σ f.	σ f lim.	Mela	Comb.	Mdes	σ c	σ c lim.	σ FRP	σ FRP lim.	
0	0	6	208	0	0	0	3600								Si
0	0	1	-68	0	0	0	3600	0	1	0	0	0	0	+∞	Si
9	46	1	208	0	149.4	1.2	3600	46	1	208	0	112.1	0	+∞	Si
9	-15	10	-68	0	149.4	0.4	3600								Si
18	180	1	208	0	149.4	1.2	3600	180	1	208	0	112.1	0	+∞	Si
18	-59	10	-68	0	149.4	0.4	3600								Si
19	208	1	208	0	149.4	1.2	3600	208	1	208	0	112.1	0	+∞	Si
19	-68	10	-68	0	149.4	0.4	3600								Si
27	400	1	97	0	149.4	0.5	3600	400	1	97	0	112.1	0	+∞	Si
27	-131	10	-47	0	149.4	0.3	3600								Si

Verifica di apertura delle fessure

La campata non presenta apertura delle fessure

Campata 2 tra i fili 2 - 3, sezione R 70x40, aste 6, 5, 4, 3

Verifiche a flessione in famiglia SLU

x	A sup.	C.b. sup.	A inf.	C.b. inf.	M+ela	Comb.	M+des	M+ult	x/d	M-ela	Comb.	M-des	M-ult	x/d	Verifica
0	6.03	7.8	6.03	7.8	569	SLU 40	138	816960	0.168	-445	SLU 10	-131	-816960	0.168	Si
8	6.03	7.8	6.03	7.8	533	SLU 10	4397	816960	0.168	-802	SLU 40	-6347	-816960	0.168	Si
203	6.03	7.8	6.03	7.8	9353	SLU 10	9486	816960	0.168	-16442	SLU 40	-16958	-816960	0.168	Si
305	6.03	7.8	6.03	7.8	6885	SLU 10	8040	816960	0.168	-17249	SLU 40	-17249	-816960	0.168	Si
406	6.03	7.8	6.03	7.8	2536	SLU 10	4247	816960	0.168	-16436	SLU 40	-16925	-816960	0.168	Si
602	6.03	7.8	6.03	7.8						-10424	SLU 49	-10424	-816960	0.168	Si
610	6.03	7.8	6.03	7.8						-10482	SLU 49	-10332	-816960	0.168	Si

Verifiche a flessione in famiglia SLV (domini sostanzialmente elastici)

La struttura oppure parte di essa, è stata dichiarata come non dissipativa pertanto la verifica a pressoflessione, per tutte o solo alcune sezioni, viene eseguita calcolando i momenti resistenti in campo sostanzialmente elastico secondo D.M. 17-01-2018 §7.4.1

Le dilatazioni ultime utilizzate sono le seguenti: $\epsilon_c = 0.002$, $\epsilon_{yd} = 0.0019$

x	A sup.	C.b. sup.	A inf.	C.b. inf.	M+ela	Comb.	M+des	M+ult	x/d	M-ela	Comb.	M-des	M-ult	x/d	Verifica
0	6.03	7.8	6.03	7.8	4895	SLV 13	4385	699352	0.214	-4096	SLV 1	-4096	-699352	0.214	Si
8	6.03	7.8	6.03	7.8	3896	SLV 13	3896	699352	0.214	-5024	SLV 1	-8649	-699352	0.214	Si
203	6.03	7.8	6.03	7.8						-13572	SLV 1	-13572	-699352	0.214	Si
406	6.03	7.8	6.03	7.8						-13116	SLV 13	-13279	-699352	0.214	Si
602	6.03	7.8	6.03	7.8	4341	SLV 1	4341	699352	0.214	-7821	SLV 13	-10453	-699352	0.214	Si

x	A sup.	C.b. sup.	A inf.	C.b. inf.	M+ela	Comb.	M+des	M+ult	x/d	M-ela	Comb.	M-des	M-ult	x/d	Verifica
610	6.03	7.8	6.03	7.8	5366	SLV 1	4843	699352	0.214	-7126	SLV 13	-7126	-699352	0.214	Si

Verifiche SLD Resistenza a flessione (domini sostanzialmente elastici)

La struttura oppure parte di essa, è stata dichiarata come non dissipativa pertanto la verifica a pressoflessione, per tutte o solo alcune sezioni, viene eseguita calcolando i momenti resistenti in campo sostanzialmente elastico secondo D.M. 17-01-2018 §7.4.1

Le dilatazioni ultime utilizzate sono le seguenti: $\epsilon_c = 0.002$, $\epsilon_{yd} = 0.0019$

x	A sup.	C.b. sup.	A inf.	C.b. inf.	M+ela	Comb.	M+des	M+ult	x/d	M-ela	Comb.	M-des	M-ult	x/d	Verifica
0	6.03	7.8	6.03	7.8	2305	SLD 13	1804	699352	0.214	-1506	SLD 1	-1506	-699352	0.214	Si
8	6.03	7.8	6.03	7.8	1327	SLD 13	1327	699352	0.214	-2454	SLD 1	-6235	-699352	0.214	Si
203	6.03	7.8	6.03	7.8						-12403	SLD 1	-12513	-699352	0.214	Si
244	6.03	7.8	6.03	7.8						-12517	SLD 1	-12517	-699352	0.214	Si
406	6.03	7.8	6.03	7.8						-12195	SLD 13	-12242	-699352	0.214	Si
602	6.03	7.8	6.03	7.8	837	SLD 1	837	699352	0.214	-4318	SLD 13	-7432	-699352	0.214	Si
610	6.03	7.8	6.03	7.8	1768	SLD 1	1291	699352	0.214	-3527	SLD 13	-3527	-699352	0.214	Si

Verifiche a taglio in famiglia SLU

x	A st	A sl	A sag	Vela	Comb.	Vdes	Vrd	Vrcd	Vrsd	Vult	cotgθ	Verifica
0	0.178	6.03	0	135	SLU 10	135	9413	50073	49405	49405	2.45	Si
0	0.178	6.03	0	-189	SLU 40	-189	-9413	-50073	-49405	-49405	2.45	Si
8	0.108	6.03	0	127	SLU 10	127	9413	49351	30687	30687	2.5	Si
8	0.108	6.03	0	-178	SLU 40	-178	-9413	-49351	-30687	-30687	2.5	Si
203	0.108	6.03	0	-19	SLU 40	-19	-9413	-49351	-30687	-30687	2.5	Si
406	0.108	6.03	0	18	SLU 40	18	9413	49351	30687	30687	2.5	Si
406	0.108	6.03	0	-49	SLU 10	-49	-9413	-49351	-30687	-30687	2.5	Si
602	0.108	6.03	0	159	SLU 40	159	9413	49351	30687	30687	2.5	Si
602	0.108	6.03	0	-71	SLU 10	-71	-9413	-49351	-30687	-30687	2.5	Si
610	0.115	6.03	0	169	SLU 40	169	9413	49351	32584	32584	2.5	Si
610	0.115	6.03	0	-71	SLU 10	-71	-9413	-49351	-32584	-32584	2.5	Si

Verifiche a taglio in famiglia SLV

x	A st	A sl	A sag	Vela	Comb.	Vdes	Vrd	Vrcd	Vrsd	Vult	cotgθ	Verifica
0	0.178	6.03	0	-137	SLV 13	-137	-9413	-50073	-49405	-49405	2.45	Si
8	0.108	6.03	0	-130	SLV 13	-130	-9413	-49351	-30687	-30687	2.5	Si
203	0.108	6.03	0	2	SLV 1	2	9413	49351	30687	30687	2.5	Si
203	0.108	6.03	0	-29	SLV 13	-29	-9413	-49351	-30687	-30687	2.5	Si
406	0.108	6.03	0	33	SLV 1	33	9413	49351	30687	30687	2.5	Si
406	0.108	6.03	0	-8	SLV 13	-8	-9413	-49351	-30687	-30687	2.5	Si
602	0.108	6.03	0	134	SLV 1	134	9413	49351	30687	30687	2.5	Si
610	0.115	6.03	0	140	SLV 1	140	9413	49351	32584	32584	2.5	Si

Verifiche SLD Resistenza a taglio

x	A st	A sl	A sag	Vela	Comb.	Vdes	Vrd	Vrcd	Vrsd	Vult	cotgθ	Verifica
0	0.178	6.03	0	-135	SLD 13	-135	-9413	-50073	-49405	-49405	2.45	Si
8	0.108	6.03	0	-127	SLD 13	-127	-9413	-49351	-30687	-30687	2.5	Si
203	0.108	6.03	0	-20	SLD 13	-20	-9413	-49351	-30687	-30687	2.5	Si
406	0.108	6.03	0	21	SLD 1	21	9413	49351	30687	30687	2.5	Si
602	0.108	6.03	0	121	SLD 1	121	9413	49351	30687	30687	2.5	Si
610	0.115	6.03	0	128	SLD 1	128	9413	49351	32584	32584	2.5	Si

Verifiche delle tensioni in esercizio

x	Rara							Quasi permanente							Verifica
	Mela	Comb.	Mdes	σ c	σ c lim.	σ f.	σ f lim.	Mela	Comb.	Mdes	σ c	σ c lim.	σ FRP	σ FRP lim.	
0	400	1	97	0	149.4	0.5	3600	400	1	97	0	112.1	0	+∞	Si
0	-131	10	-47	0	149.4	0.3	3600								Si
8	121	10	1078	0.1	149.4	6	3600								Si
8	-564	1	-4459	0.5	149.4	25	3600	-564	1	-4459	0.5	112.1	0	+∞	Si
203	1430	10	1782	0.2	149.4	10	3600								Si
203	-11543	1	-11902	1.4	149.4	66.8	3600	-11543	1	-11902	1.4	112.1	0	+∞	Si
406	-11517	1	-11865	1.4	149.4	66.6	3600	-11517	1	-11865	1.4	112.1	0	+∞	Si
602	-7004	10	-7004	0.9	149.4	39.3	3600	-1740	1	-5209	0.6	112.1	0	+∞	Si
610	-6999	10	-6915	0.8	149.4	38.8	3600	-880	1	-880	0.1	112.1	0	+∞	Si

Verifica di apertura delle fessure

La campata non presenta apertura delle fessure

Campata 3 tra i fili 3 - 4, sezione R 70x40, asta 2

Verifiche a flessione in famiglia SLU

x	A sup.	C.b. sup.	A inf.	C.b. inf.	M+ela	Comb.	M+des	M+ult	x/d	M-ela	Comb.	M-des	M-ult	x/d	Verifica
0	6.03	7.8	6.03	7.8						-10482	SLU 49	-10332	-816960	0.168	Si
8	6.03	7.8	6.03	7.8						-9915	SLU 49	-9915	-816960	0.168	Si
34	6.03	7.8	6.03	7.8						-7656	SLU 49	-9915	-816960	0.168	Si
68	6.03	7.8	6.03	7.8	-1180	SLU 1	231	816960	0.168	-4103	SLU 49	-7854	-816960	0.168	Si
98	6.03	7.8	6.03	7.8	231	SLU 40	231	816960	0.168	-443	SLU 10	-4917	-816960	0.168	Si
103	6.03	7.8	6.03	7.8	776	SLU 40	562	816960	0.168						Si

Verifiche a flessione in famiglia SLV (domini sostanzialmente elastici)

La struttura oppure parte di essa, è stata dichiarata come non dissipativa pertanto la verifica a pressoflessione, per tutte o solo alcune sezioni, viene eseguita calcolando i momenti resistenti in campo sostanzialmente elastico secondo D.M. 17-01-2018 §7.4.1

Le dilatazioni ultime utilizzate sono le seguenti: $\epsilon_c = 0.002$, $\epsilon_{yd} = 0.0019$

x	A sup.	C.b. sup.	A inf.	C.b. inf.	M+ela	Comb.	M+des	M+ult	x/d	M-ela	Comb.	M-des	M-ult	x/d	Verifica
0	6.03	7.8	6.03	7.8	813	SLV 1	731	699352	0.214	-2572	SLV 13	-2572	-699352	0.214	Si
8	6.03	7.8	6.03	7.8	674	SLV 1	750	699352	0.214	-3032	SLV 13	-4361	-699352	0.214	Si
34	6.03	7.8	6.03	7.8	602	SLV 1	1667	699352	0.214	-4164	SLV 13	-4439	-699352	0.214	Si

x	A sup.	C.b. sup.	A inf.	C.b. inf.	M+ela	Comb.	M+des	M+ult	x/d	M-ela	Comb.	M-des	M-ult	x/d	Verifica
65	6.03	7.8	6.03	7.8	1409	SLV 1	3411	699352	0.214	-4364	SLV 13	-4439	-699352	0.214	Si
68	6.03	7.8	6.03	7.8	1562	SLV 1	3411	699352	0.214	-4306	SLV 13	-4439	-699352	0.214	Si
98	6.03	7.8	6.03	7.8	3411	SLV 1	3411	699352	0.214	-3085	SLV 13	-4408	-699352	0.214	Si
103	6.03	7.8	6.03	7.8	3827	SLV 1	3612	699352	0.214	-2742	SLV 13	-2742	-699352	0.214	Si

Verifiche SLD Resistenza a flessione (domini sostanzialmente elastici)

La struttura oppure parte di essa, è stata dichiarata come non dissipativa pertanto la verifica a pressoflessione, per tutte o solo alcune sezioni, viene eseguita calcolando i momenti resistenti in campo sostanzialmente elastico secondo D.M. 17-01-2018 §7.4.1

Le dilatazioni ultime utilizzate sono le seguenti: $\epsilon_{c2} = 0.002$, $\epsilon_{yd} = 0.0019$

x	A sup.	C.b. sup.	A inf.	C.b. inf.	M+ela	Comb.	M+des	M+ult	x/d	M-ela	Comb.	M-des	M-ult	x/d	Verifica
0	6.03	7.8	6.03	7.8						-1597	SLD 13	-1597	-699352	0.214	Si
8	6.03	7.8	6.03	7.8						-1964	SLD 13	-2889	-699352	0.214	Si
34	6.03	7.8	6.03	7.8						-2791	SLD 13	-2897	-699352	0.214	Si
65	6.03	7.8	6.03	7.8	-254	SLD 1	1539	699352	0.214	-2701	SLD 13	-2897	-699352	0.214	Si
68	6.03	7.8	6.03	7.8	-129	SLD 1	1539	699352	0.214	-2615	SLD 13	-2897	-699352	0.214	Si
98	6.03	7.8	6.03	7.8	1539	SLD 1	1539	699352	0.214	-1214	SLD 13	-2776	-699352	0.214	Si
103	6.03	7.8	6.03	7.8	1935	SLD 1	1730	699352	0.214	-850	SLD 13	-850	-699352	0.214	Si

Verifiche a taglio in famiglia SLU

x	A st	A sl	A sag	Vela	Comb.	Vdes	Vrd	Vrcd	Vrsd	Vult	cotg θ	Verifica
0	0.115	6.03	0	97	SLU 10	97	9413	49351	32584	32584	2.5	Si
0	0.115	6.03	0	-62	SLU 40	-62	-9413	-49351	-32584	-32584	2.5	Si
8	0.115	6.03	0	97	SLU 10	97	9413	49351	32584	32584	2.5	Si
8	0.115	6.03	0	-51	SLU 40	-51	-9413	-49351	-32584	-32584	2.5	Si
34	0.115	6.03	0	96	SLU 10	96	9413	49351	32584	32584	2.5	Si
34	0.115	6.03	0	-11	SLU 40	-11	-9413	-49351	-32584	-32584	2.5	Si
68	0.115	6.03	0	116	SLU 49	116	9413	49351	32584	32584	2.5	Si
98	0.115	6.03	0	141	SLU 49	141	9413	49351	32584	32584	2.5	Si
99	0.115	6.03	0	143	SLU 49	143	9413	49351	32584	32584	2.5	Si
103	0.178	6.03	0	146	SLU 49	146	9413	50073	49405	49405	2.45	Si

Verifiche a taglio in famiglia SLV

x	A st	A sl	A sag	Vela	Comb.	Vdes	Vrd	Vrcd	Vrsd	Vult	cotg θ	Verifica
0	0.115	6.03	0	-65	SLV 13	-65	-9413	-49351	-32584	-32584	2.5	Si
8	0.115	6.03	0	-57	SLV 13	-57	-9413	-49351	-32584	-32584	2.5	Si
34	0.115	6.03	0	10	SLV 1	10	9413	49351	32584	32584	2.5	Si
34	0.115	6.03	0	-27	SLV 13	-27	-9413	-49351	-32584	-32584	2.5	Si
68	0.115	6.03	0	47	SLV 1	47	9413	49351	32584	32584	2.5	Si
98	0.115	6.03	0	81	SLV 1	81	9413	49351	32584	32584	2.5	Si
99	0.115	6.03	0	82	SLV 1	82	9413	49351	32584	32584	2.5	Si
103	0.178	6.03	0	87	SLV 1	87	9413	50073	49405	49405	2.45	Si

Verifiche SLD Resistenza a taglio

x	A st	A sl	A sag	Vela	Comb.	Vdes	Vrd	Vrcd	Vrsd	Vult	cotgθ	Verifica
0	0.115	6.03	0	-53	SLD 13	-53	-9413	-49351	-32584	-32584	2.5	Si
8	0.115	6.03	0	-45	SLD 13	-45	-9413	-49351	-32584	-32584	2.5	Si
34	0.115	6.03	0	-16	SLD 13	-16	-9413	-49351	-32584	-32584	2.5	Si
68	0.115	6.03	0	39	SLD 1	39	9413	49351	32584	32584	2.5	Si
98	0.115	6.03	0	76	SLD 1	76	9413	49351	32584	32584	2.5	Si
99	0.115	6.03	0	78	SLD 1	78	9413	49351	32584	32584	2.5	Si
103	0.178	6.03	0	83	SLD 1	83	9413	50073	49405	49405	2.45	Si

Verifiche delle tensioni in esercizio

x	Rara							Quasi permanente							Verifica
	Mela	Comb.	Mdes	σ c	σ c lim.	σ f.	σ f lim.	Mela	Comb.	Mdes	σ c	σ c lim.	σ FRP	σ FRP lim.	
0	-6999	10	-6915	0.8	149.4	38.8	3600	-880	1	-880	0.1	112.1	0	+∞	Si
8	-6638	10	-6638	0.8	149.4	37.3	3600	-1179	1	-1810	0.2	112.1	0	+∞	Si
34	-5168	10	-6638	0.8	149.4	37.3	3600	-1781	1	-1810	0.2	112.1	0	+∞	Si
68	-2790	10	-5299	0.6	149.4	29.7	3600	-1372	1	-1810	0.2	112.1	0	+∞	Si
98	163	1	163	0	149.4	0.9	3600	163	1	163	0	112.1	0	+∞	Si
98	-228	10	-3341	0.4	149.4	18.7	3600								Si
103	543	1	393	0	149.4	2.2	3600	543	1	393	0	112.1	0	+∞	Si

Verifica di apertura delle fessure

La campata non presenta apertura delle fessure

Campata 4 tra i fili 4 - 4, sezione R 70x40, asta 1

Verifiche a flessione in famiglia SLU

x	A sup.	C.b. sup.	A inf.	C.b. inf.	M+ela	Comb.	M+des	M+ult	x/d	M-ela	Comb.	M-des	M-ult	x/d	Verifica
0	6.03	7.8	6.03	7.8	776	SLU 40	562	816960	0.168						Si
5	6.03	7.8	6.03	7.8	513	SLU 40	513	816960	0.168	38	SLU 10	0	-816960	0.168	Si
9	6.03	7.8	6.03	7.8	348	SLU 40	513	816960	0.168	26	SLU 10	0	-816960	0.168	Si
18	6.03	7.8	6.03	7.8	88	SLU 40	513	816960	0.168	7	SLU 10	0	-816960	0.168	Si
20	0	0	0	0	43	SLU 40	513	0	0	3	SLU 10	0	0	0	Si
27	0	0	0	0	0	SLU 10	513	0	0	0	SLU 45	0	0	0	Si

Verifiche a flessione in famiglia SLV (domini sostanzialmente elastici)

La struttura oppure parte di essa, è stata dichiarata come non dissipativa pertanto la verifica a pressoflessione, per tutte o solo alcune sezioni, viene eseguita calcolando i momenti resistenti in campo sostanzialmente elastico secondo D.M. 17-01-2018 §7.4.1

Le dilatazioni ultime utilizzate sono le seguenti: $\epsilon_{c2} = 0.002$, $\epsilon_{yd} = 0.0019$

x	A sup.	C.b. sup.	A inf.	C.b. inf.	M+ela	Comb.	M+des	M+ult	x/d	M-ela	Comb.	M-des	M-ult	x/d	Verifica
0	6.03	7.8	6.03	7.8	634	SLV 13	516	699352	0.214						Si

x	A sup.	C.b. sup.	A inf.	C.b. inf.	M+ela	Comb.	M+des	M+ult	x/d	M-ela	Comb.	M-des	M-ult	x/d	Verifica
5	6.03	7.8	6.03	7.8	420	SLV 13	420	699352	0.214	298	SLV 1	0	-699352	0.214	Si
9	6.03	7.8	6.03	7.8	285	SLV 13	420	699352	0.214	202	SLV 1	0	-699352	0.214	Si
18	6.03	7.8	6.03	7.8	72	SLV 13	420	699352	0.214	51	SLV 1	0	-699352	0.214	Si
20	0	0	0	0	35	SLV 13	420	0	0	25	SLV 1	0	0	0	Si
27	0	0	0	0	0	SLV 5	420	0	0	0	SLV 13	0	0	0	Si

Verifiche SLD Resistenza a flessione (domini sostanzialmente elastici)

La struttura oppure parte di essa, è stata dichiarata come non dissipativa pertanto la verifica a pressoflessione, per tutte o solo alcune sezioni, viene eseguita calcolando i momenti resistenti in campo sostanzialmente elastico secondo D.M. 17-01-2018 §7.4.1

Le dilatazioni ultime utilizzate sono le seguenti: $\epsilon_{c2} = 0.002$, $\epsilon_{yd} = 0.0019$

x	A sup.	C.b. sup.	A inf.	C.b. inf.	M+ela	Comb.	M+des	M+ult	x/d	M-ela	Comb.	M-des	M-ult	x/d	Verifica
0	6.03	7.8	6.03	7.8	581	SLD 13	473	699352	0.214						Si
5	6.03	7.8	6.03	7.8	385	SLD 13	385	699352	0.214	333	SLD 1	0	-699352	0.214	Si
9	6.03	7.8	6.03	7.8	261	SLD 13	385	699352	0.214	226	SLD 1	0	-699352	0.214	Si
18	6.03	7.8	6.03	7.8	66	SLD 13	385	699352	0.214	57	SLD 1	0	-699352	0.214	Si
20	0	0	0	0	32	SLD 13	385	0	0	28	SLD 1	0	0	0	Si
27	0	0	0	0	0	SLD 9	385	0	0	0	SLD 1	0	0	0	Si

Verifiche a taglio in famiglia SLU

x	A st	A sl	A sag	Vela	Comb.	Vdes	Vrd	Vrcd	Vrsd	Vult	cotg θ	Verifica
0	0.178	0	0	-58	SLU 40	-58	-9413	-50073	-49405	-49405	2.45	Si
5	0.178	0	0	-47	SLU 40	-47	-9413	-50073	-49405	-49405	2.45	Si
9	0.178	0	0	-39	SLU 40	-39	-9413	-50073	-49405	-49405	2.45	Si
18	0.178	0	0	-20	SLU 40	-20	-9413	-50073	-49405	-49405	2.45	Si
27	0.178	0	0	0	Ger.	0	10907	62203	61373	61373	2.45	Si
27	0.178	0	0	0	Ger.	0	-10907	-62203	-61373	-61373	2.45	Si

Verifiche a taglio in famiglia SLV

x	A st	A sl	A sag	Vela	Comb.	Vdes	Vrd	Vrcd	Vrsd	Vult	cotg θ	Verifica
0	0.178	0	0	-47	SLV 13	-47	-9413	-50073	-49405	-49405	2.45	Si
5	0.178	0	0	-39	SLV 13	-39	-9413	-50073	-49405	-49405	2.45	Si
9	0.178	0	0	-32	SLV 13	-32	-9413	-50073	-49405	-49405	2.45	Si
18	0.178	0	0	-16	SLV 13	-16	-9413	-50073	-49405	-49405	2.45	Si
27	0.178	0	0	0	Ger.	0	10907	62203	61373	61373	2.45	Si
27	0.178	0	0	0	Ger.	0	-10907	-62203	-61373	-61373	2.45	Si

Verifiche SLD Resistenza a taglio

x	A st	A sl	A sag	Vela	Comb.	Vdes	Vrd	Vrcd	Vrsd	Vult	cotg θ	Verifica
0	0.178	0	0	-43	SLD 13	-43	-9413	-50073	-49405	-49405	2.45	Si
5	0.178	0	0	-35	SLD 13	-35	-9413	-50073	-49405	-49405	2.45	Si
9	0.178	0	0	-29	SLD 13	-29	-9413	-50073	-49405	-49405	2.45	Si

x	A st	A sl	A sag	Vela	Comb.	Vdes	Vrd	Vrcd	Vrsd	Vult	cotgθ	Verifica
18	0.178	0	0	-15	SLD 13	-15	-9413	-50073	-49405	-49405	2.45	Si
27	0.178	0	0	0	Ger.	0	-10907	-62203	-61373	-61373	2.45	Si

Verifiche delle tensioni in esercizio

x	Rara								Quasi permanente								Verifica
	Mela	Comb.	Mdes	σ c	σ c lim.	σ f.	σ f lim.	Mela	Comb.	Mdes	σ c	σ c lim.	σ FRP	σ FRP lim.			
0	543	1	393	0	149.4	2.2	3600	543	1	393	0	112.1	0	+∞	Si		
5	359	1	359	0	149.4	2	3600	359	1	359	0	112.1	0	+∞	Si		
9	243	1	359	0	149.4	2	3600	243	1	359	0	112.1	0	+∞	Si		
18	61	1	359	0	149.4	2	3600	61	1	359	0	112.1	0	+∞	Si		
27	0	1	359	0	0	0	3600	0	1	359	0	0	0	+∞	Si		
27	0	10	0	0	0	0	3600								Si		

Verifica di apertura delle fessure

La campata non presenta apertura delle fessure

Verifiche geotecniche

Verifiche geotecniche di capacità portante sul piano di posa

Aste	Size X	Size Y	Comb	Type	Cond	γR	Rd	Ed	Rd/Ed	Verifica
7, 6, 5, 4, 3, 2, 1	765	70	SLU 49	ST	BT	2.3	27282	-6975	3.91	Si
7, 6, 5, 4, 3, 2, 1	765	70	SLV 9	SIS	BT	2.3	34339	-5800	5.92	Si
7, 6, 5, 4, 3, 2, 1	765	70	SLD 9	SIS	BT	2.3	35952	-5800	6.2	Si

Verifiche geotecniche di capacità portante - parametri utilizzati nel calcolo di Rd

Fx	Fy	Fz	Mx	My	Inc.x	Inc.y	Ecc.x	Ecc.y	B'	L'	qd	ys	Fi	Coes	Amax
0	311	-6975	-63656	69542	0	3	10	-9	52	745	0.08	0	0	0.25	0
13	-45	-5800	18467	30484	0	0	5	3	64	754	0.08	0	0	0.25	0.06
6	-19	-5800	10247	28018	0	0	5	2	66	755	0.08	0	0	0.25	0.03

Verifiche geotecniche di capacità portante - fattori utilizzati nel calcolo di Rd

N			S			D			I			B			G			P			E		
Nq	Nc	Ng	Sq	Sc	Sg	Dq	Dc	Dg	Iq	Ic	Ig	Bq	Bc	Bg	Gq	Gc	Gg	Pq	Pc	Pg	Eq	Ec	Eg
1	5	0	0	0.01	0	0	0.23	0	0	0.01	0	0	0	0	0	0	0	1	1	1	0	0	0
1	5	0	0	0.02	0	0	0.23	0	0	0	0	0	0	0	0	0	0	1	1	1	0	0	0
1	5	0	0	0.02	0	0	0.23	0	0	0	0	0	0	0	0	0	0	1	1	1	0	0	0

Verifiche geotecniche - Cedimenti assoluti e differenziali

Tipo	Assoluto				Differenziale				Relativo				Rapp. inflessione			Verifica	
	Sa adm	Sa	Nodo	Comb.	Sd adm	Sd	Nodo I	Nodo J	Comb.	Sr adm	Sr	Nodo	Comb.	RI adm	RI		Comb.
E	5	0	34	SLE RA 1	5	0	34	27	SLE RA 10	5	0	33	SLE RA 1	0.0033	0	SLE RA 1	Si

Tipo	Assoluto				Differenziale					Relativo				Rapp. inflessione			Verifica
	Sa adm	Sa	Nodo	Comb.	Sd adm	Sd	Nodo I	Nodo J	Comb.	Sr adm	Sr	Nodo	Comb.	Ri adm	RI	Comb.	
D	5	0	27	SLE RA 1	5	0	27	27	SLE RA 1	5	0	28	SLE RA 1	0.0033	0	SLE RA 1	Si
Z	5	0	27	SLE RA 1	5	0	27	27	SLE RA 1	5	0	28	SLE RA 1	0.0033	0	SLE RA 1	Si

Verifiche geotecniche - Rotazioni assolute e differenziali

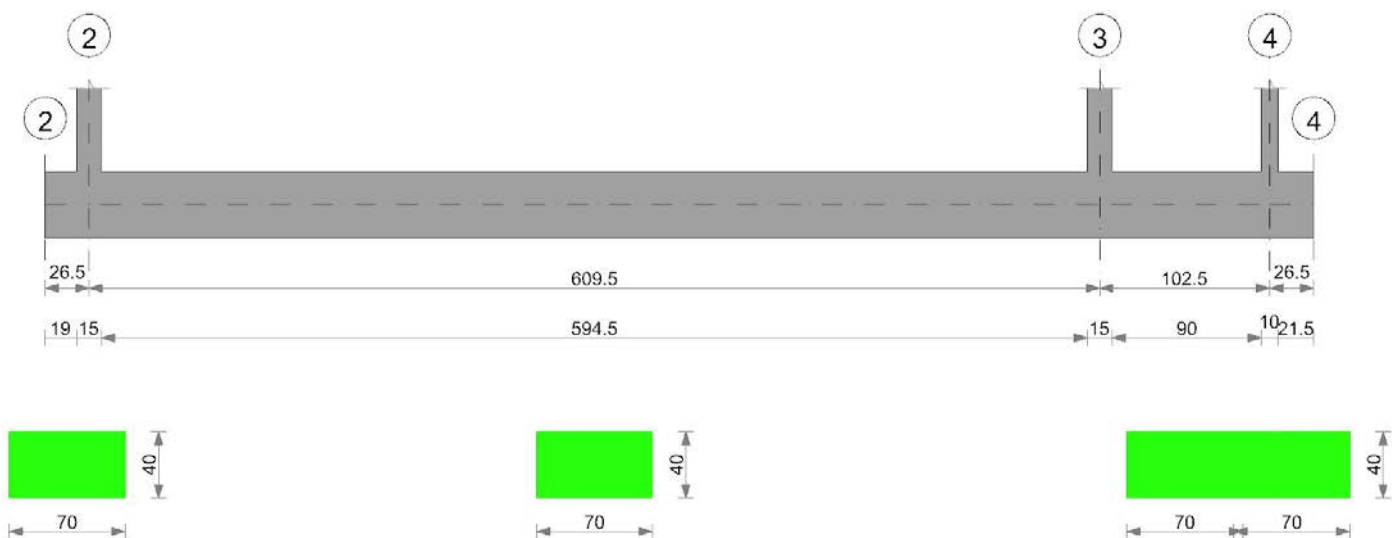
Tipo	Rotazione rigida			Rotazione assoluta					Distorsione angolare positiva				Distorsione angolare negativa				Verifica
	RR adm	RR	Comb.	R Adm	R Max	Nodo I	Nodo J	Comb.	D+ adm	D+	Nodo	Comb.	D- adm	D-	Nodo	Comb.	
E	0.19	0	SLE RA 10	0.19	0.01	33	34	SLE RA 1	0.19	0	32	SLE RA 10	0.1	0.02	33	SLE RA 1	Si
D	0.19	0	SLE RA 1	0.19	0	27	28	SLE RA 1	0.19	0	27	SLE RA 1	0.1	0	28	SLE RA 1	Si
Z	0.19	0	SLE RA 1	0.19	0	27	28	SLE RA 1	0.19	0	27	SLE RA 1	0.1	0	28	SLE RA 1	Si

LOCALITA' SAL DI MEZZANA

Trave di fondazione accesso carraio/pedonale

Verifiche condotte secondo D.M. 17-01-18 (N.T.C.)

Geometria



Caratteristiche dei materiali

Acciaio: B450C Fyk 4500

Calcestruzzo: C25/30 Rck 300

Elenco delle sezioni

N°	Descrizione	Tipo	Base	Altezza	Copriferro sup.	Copriferro inf.	Copriferro lat.
1	R 70x40	Rettangolare	70	40	6	6	6

Output campate

Campata 1 tra i fili 2 - 2, sezione R 70x40, asta 6

Verifiche a flessione in famiglia SLU

x	A sup.	C.b. sup.	A inf.	C.b. inf.	M+ela	Comb.	M+des	M+ult	x/d	M-ela	Comb.	M-des	M-ult	x/d	Verifica
0	0	0	0	0	0	SLU 1	296	0	0	0	SLU 49	-231	0	0	Si
9	6.03	7.8	6.03	7.8	65	SLU 40	296	816960	0.168	-51	SLU 10	-231	-816960	0.168	Si
18	6.03	7.8	6.03	7.8	256	SLU 40	296	816960	0.168	-200	SLU 10	-231	-816960	0.168	Si
19	6.03	7.8	6.03	7.8	296	SLU 40	296	816960	0.168	-231	SLU 10	-231	-816960	0.168	Si
26	6.03	7.8	6.03	7.8	569	SLU 40	138	816960	0.168	-445	SLU 10	-131	-816960	0.168	Si

Verifiche a flessione in famiglia SLV (domini sostanzialmente elastici)

La struttura oppure parte di essa, è stata dichiarata come non dissipativa pertanto la verifica a pressoflessione, per tutte o solo alcune sezioni, viene eseguita calcolando i momenti resistenti in campo sostanzialmente elastico secondo D.M. 17-01-2018 §7.4.1

Le dilatazioni ultime utilizzate sono le seguenti: $\epsilon_{c2} = 0.002$, $\epsilon_{yd} = 0.0019$

x	A sup.	C.b. sup.	A inf.	C.b. inf.	M+ela	Comb.	M+des	M+ult	x/d	M-ela	Comb.	M-des	M-ult	x/d	Verifica
0	0	0	0	0	0	SLV 5	238	0	0	0	SLV 13	0	0	0	Si
9	6.03	7.8	6.03	7.8	52	SLV 1	238	699352	0.214	39	SLV 13	0	-699352	0.214	Si

x	A sup.	C.b. sup.	A inf.	C.b. inf.	M+ela	Comb.	M+des	M+ult	x/d	M-ela	Comb.	M-des	M-ult	x/d	Verifica
18	6.03	7.8	6.03	7.8	206	SLV 1	238	699352	0.214	154	SLV 13	0	-699352	0.214	Si
19	6.03	7.8	6.03	7.8	238	SLV 1	238	699352	0.214	177	SLV 13	0	-699352	0.214	Si
26	6.03	7.8	6.03	7.8	457	SLV 1	331	699352	0.214						Si

Verifiche SLD Resistenza a flessione (domini sostanzialmente elastici)

La struttura oppure parte di essa, è stata dichiarata come non dissipativa pertanto la verifica a pressoflessione, per tutte o solo alcune sezioni, viene eseguita calcolando i momenti resistenti in campo sostanzialmente elastico secondo D.M. 17-01-2018 §7.4.1

Le dilatazioni ultime utilizzate sono le seguenti: $\epsilon_{c2} = 0.002$, $\epsilon_{yd} = 0.0019$

x	A sup.	C.b. sup.	A inf.	C.b. inf.	M+ela	Comb.	M+des	M+ult	x/d	M-ela	Comb.	M-des	M-ult	x/d	Verifica
0	0	0	0	0	0	SLD 11	221	0	0	0	SLD 13	0	0	0	Si
9	6.03	7.8	6.03	7.8	48	SLD 1	221	699352	0.214	43	SLD 13	0	-699352	0.214	Si
18	6.03	7.8	6.03	7.8	191	SLD 1	221	699352	0.214	169	SLD 13	0	-699352	0.214	Si
19	6.03	7.8	6.03	7.8	221	SLD 1	221	699352	0.214	195	SLD 13	0	-699352	0.214	Si
26	6.03	7.8	6.03	7.8	424	SLD 1	306	699352	0.214						Si

Verifiche a taglio in famiglia SLU

x	A st	A sl	A sag	Vela	Comb.	Vdes	Vrd	Vrcd	Vrsd	Vult	cotg θ	Verifica
0	0.178	0	0	0	Ger.	0	10907	62203	61373	61373	2.45	Si
0	0.178	0	0	0	Ger.	0	-10907	-62203	-61373	-61373	2.45	Si
9	0.178	0	0	15	SLU 40	15	9413	50073	49405	49405	2.45	Si
9	0.178	0	0	-11	SLU 10	-11	-9413	-50073	-49405	-49405	2.45	Si
18	0.178	0	0	29	SLU 40	29	9413	50073	49405	49405	2.45	Si
18	0.178	0	0	-22	SLU 10	-22	-9413	-50073	-49405	-49405	2.45	Si
19	0.178	0	0	31	SLU 40	31	9413	50073	49405	49405	2.45	Si
19	0.178	0	0	-24	SLU 10	-24	-9413	-50073	-49405	-49405	2.45	Si
26	0.178	0	0	42	SLU 40	42	9413	50073	49405	49405	2.45	Si
26	0.178	0	0	-33	SLU 10	-33	-9413	-50073	-49405	-49405	2.45	Si

Verifiche a taglio in famiglia SLV

x	A st	A sl	A sag	Vela	Comb.	Vdes	Vrd	Vrcd	Vrsd	Vult	cotg θ	Verifica
0	0.178	0	0	0	Ger.	0	-10907	-62203	-61373	-61373	2.45	Si
9	0.178	0	0	12	SLV 1	12	9413	50073	49405	49405	2.45	Si
18	0.178	0	0	23	SLV 1	23	9413	50073	49405	49405	2.45	Si
19	0.178	0	0	25	SLV 1	25	9413	50073	49405	49405	2.45	Si
26	0.178	0	0	34	SLV 1	34	9413	50073	49405	49405	2.45	Si

Verifiche SLD Resistenza a taglio

x	A st	A sl	A sag	Vela	Comb.	Vdes	Vrd	Vrcd	Vrsd	Vult	cotg θ	Verifica
0	0.178	0	0	0	Ger.	0	-10907	-62203	-61373	-61373	2.45	Si
9	0.178	0	0	11	SLD 1	11	9413	50073	49405	49405	2.45	Si
18	0.178	0	0	21	SLD 1	21	9413	50073	49405	49405	2.45	Si

x	A st	A sl	A sag	Vela	Comb.	Vdes	Vrd	Vrcd	Vrsd	Vult	cotgθ	Verifica
19	0.178	0	0	23	SLD 1	23	9413	50073	49405	49405	2.45	Si
26	0.178	0	0	31	SLD 1	31	9413	50073	49405	49405	2.45	Si

Verifiche delle tensioni in esercizio

x	Rara								Quasi permanente						Verifica
	Mela	Comb.	Mdes	σ c	σ c lim.	σ f.	σ f lim.	Mela	Comb.	Mdes	σ c	σ c lim.	σ FRP	σ FRP lim.	
0	0	10	-68	0	0	0	3600	0	1	0	0	0	0	+∞	Si
9	46	1	208	0	149.4	1.2	3600	46	1	208	0	112.1	0	+∞	Si
9	-15	10	-68	0	149.4	0.4	3600								Si
18	180	1	208	0	149.4	1.2	3600	180	1	208	0	112.1	0	+∞	Si
18	-59	10	-68	0	149.4	0.4	3600								Si
19	208	1	208	0	149.4	1.2	3600	208	1	208	0	112.1	0	+∞	Si
19	-68	10	-68	0	149.4	0.4	3600								Si
26	400	1	97	0	149.4	0.5	3600	400	1	97	0	112.1	0	+∞	Si
26	-131	10	-47	0	149.4	0.3	3600								Si

Verifica di apertura delle fessure

La campata non presenta apertura delle fessure

Campata 2 tra i fili 2 - 3, sezione R 70x40, aste 7, 8, 9, 10

Verifiche a flessione in famiglia SLU

x	A sup.	C.b. sup.	A inf.	C.b. inf.	M+ela	Comb.	M+des	M+ult	x/d	M-ela	Comb.	M-des	M-ult	x/d	Verifica
0	6.03	7.8	6.03	7.8	569	SLU 40	138	816960	0.168	-445	SLU 10	-131	-816960	0.168	Si
8	6.03	7.8	6.03	7.8	533	SLU 10	4397	816960	0.168	-802	SLU 40	-6347	-816960	0.168	Si
203	6.03	7.8	6.03	7.8	9353	SLU 10	9486	816960	0.168	-16442	SLU 40	-16958	-816960	0.168	Si
284	6.03	7.8	6.03	7.8	7567	SLU 10	8568	816960	0.168	-17230	SLU 40	-17249	-816960	0.168	Si
406	6.03	7.8	6.03	7.8	2536	SLU 10	4247	816960	0.168	-16436	SLU 40	-16925	-816960	0.168	Si
602	6.03	7.8	6.03	7.8						-10424	SLU 49	-10424	-816960	0.168	Si
610	6.03	7.8	6.03	7.8						-10482	SLU 49	-10332	-816960	0.168	Si

Verifiche a flessione in famiglia SLV (domini sostanzialmente elastici)

La struttura oppure parte di essa, è stata dichiarata come non dissipativa pertanto la verifica a pressoflessione, per tutte o solo alcune sezioni, viene eseguita calcolando i momenti resistenti in campo sostanzialmente elastico secondo D.M. 17-01-2018 §7.4.1

Le dilatazioni ultime utilizzate sono le seguenti: $\epsilon_{c2} = 0.002$, $\epsilon_{yd} = 0.0019$

x	A sup.	C.b. sup.	A inf.	C.b. inf.	M+ela	Comb.	M+des	M+ult	x/d	M-ela	Comb.	M-des	M-ult	x/d	Verifica
0	6.03	7.8	6.03	7.8	4895	SLV 13	4385	699352	0.214	-4096	SLV 1	-4096	-699352	0.214	Si
8	6.03	7.8	6.03	7.8	3896	SLV 13	3896	699352	0.214	-5024	SLV 1	-8649	-699352	0.214	Si
203	6.03	7.8	6.03	7.8						-13572	SLV 1	-13572	-699352	0.214	Si
223	6.03	7.8	6.03	7.8						-13479	SLV 1	-13572	-699352	0.214	Si
406	6.03	7.8	6.03	7.8						-13116	SLV 13	-13279	-699352	0.214	Si
602	6.03	7.8	6.03	7.8	4341	SLV 1	4341	699352	0.214	-7821	SLV 13	-10453	-699352	0.214	Si
610	6.03	7.8	6.03	7.8	5366	SLV 1	4843	699352	0.214	-7126	SLV 13	-7126	-699352	0.214	Si

Verifiche SLD Resistenza a flessione (domini sostanzialmente elastici)

La struttura oppure parte di essa, è stata dichiarata come non dissipativa pertanto la verifica a pressoflessione, per tutte o solo alcune sezioni, viene eseguita calcolando i momenti resistenti in campo sostanzialmente elastico secondo D.M. 17-01-2018 §7.4.1

Le dilatazioni ultime utilizzate sono le seguenti: $\epsilon_{c2} = 0.002$, $\epsilon_{yd} = 0.0019$

x	A sup.	C.b. sup.	A inf.	C.b. inf.	M+ela	Comb.	M+des	M+ult	x/d	M-ela	Comb.	M-des	M-ult	x/d	Verifica
0	6.03	7.8	6.03	7.8	2305	SLD 13	1804	699352	0.214	-1506	SLD 1	-1506	-699352	0.214	Si
8	6.03	7.8	6.03	7.8	1327	SLD 13	1327	699352	0.214	-2454	SLD 1	-6235	-699352	0.214	Si
203	6.03	7.8	6.03	7.8						-12403	SLD 1	-12513	-699352	0.214	Si
244	6.03	7.8	6.03	7.8						-12517	SLD 1	-12517	-699352	0.214	Si
406	6.03	7.8	6.03	7.8						-12195	SLD 13	-12242	-699352	0.214	Si
602	6.03	7.8	6.03	7.8	837	SLD 1	837	699352	0.214	-4318	SLD 13	-7432	-699352	0.214	Si
610	6.03	7.8	6.03	7.8	1768	SLD 1	1291	699352	0.214	-3527	SLD 13	-3527	-699352	0.214	Si

Verifiche a taglio in famiglia SLU

x	A st	A sl	A sag	Vela	Comb.	Vdes	Vrd	Vrcd	Vrsd	Vult	cotgθ	Verifica
0	0.178	6.03	0	135	SLU 10	135	9413	50073	49405	49405	2.45	Si
0	0.178	6.03	0	-189	SLU 40	-189	-9413	-50073	-49405	-49405	2.45	Si
8	0.108	6.03	0	127	SLU 10	127	9413	49351	30687	30687	2.5	Si
8	0.108	6.03	0	-178	SLU 40	-178	-9413	-49351	-30687	-30687	2.5	Si
203	0.108	6.03	0	-19	SLU 40	-19	-9413	-49351	-30687	-30687	2.5	Si
406	0.108	6.03	0	18	SLU 40	18	9413	49351	30687	30687	2.5	Si
406	0.108	6.03	0	-49	SLU 10	-49	-9413	-49351	-30687	-30687	2.5	Si
602	0.108	6.03	0	159	SLU 40	159	9413	49351	30687	30687	2.5	Si
602	0.108	6.03	0	-71	SLU 10	-71	-9413	-49351	-30687	-30687	2.5	Si
610	0.115	6.03	0	169	SLU 40	169	9413	49351	32584	32584	2.5	Si
610	0.115	6.03	0	-71	SLU 10	-71	-9413	-49351	-32584	-32584	2.5	Si

Verifiche a taglio in famiglia SLV

x	A st	A sl	A sag	Vela	Comb.	Vdes	Vrd	Vrcd	Vrsd	Vult	cotgθ	Verifica
0	0.178	6.03	0	-137	SLV 13	-137	-9413	-50073	-49405	-49405	2.45	Si
8	0.108	6.03	0	-130	SLV 13	-130	-9413	-49351	-30687	-30687	2.5	Si
203	0.108	6.03	0	2	SLV 1	2	9413	49351	30687	30687	2.5	Si
203	0.108	6.03	0	-29	SLV 13	-29	-9413	-49351	-30687	-30687	2.5	Si
406	0.108	6.03	0	33	SLV 1	33	9413	49351	30687	30687	2.5	Si
406	0.108	6.03	0	-8	SLV 13	-8	-9413	-49351	-30687	-30687	2.5	Si
602	0.108	6.03	0	134	SLV 1	134	9413	49351	30687	30687	2.5	Si
610	0.115	6.03	0	140	SLV 1	140	9413	49351	32584	32584	2.5	Si

Verifiche SLD Resistenza a taglio

x	A st	A sl	A sag	Vela	Comb.	Vdes	Vrd	Vrcd	Vrsd	Vult	cotgθ	Verifica
0	0.178	6.03	0	-135	SLD 13	-135	-9413	-50073	-49405	-49405	2.45	Si
8	0.108	6.03	0	-127	SLD 13	-127	-9413	-49351	-30687	-30687	2.5	Si

x	A st	A sl	A sag	Vela	Comb.	Vdes	Vrd	Vrcd	Vrsd	Vult	cotgθ	Verifica
203	0.108	6.03	0	-20	SLD 13	-20	-9413	-49351	-30687	-30687	2.5	Si
406	0.108	6.03	0	21	SLD 1	21	9413	49351	30687	30687	2.5	Si
602	0.108	6.03	0	121	SLD 1	121	9413	49351	30687	30687	2.5	Si
610	0.115	6.03	0	128	SLD 1	128	9413	49351	32584	32584	2.5	Si

Verifiche delle tensioni in esercizio

x	Rara								Quasi permanente						Verifica
	Mela	Comb.	Mdes	σ c	σ c lim.	σ f.	σ f lim.	Mela	Comb.	Mdes	σ c	σ c lim.	σ FRP	σ FRP lim.	
0	400	1	97	0	149.4	0.5	3600	400	1	97	0	112.1	0	+∞	Si
0	-131	10	-47	0	149.4	0.3	3600								Si
8	121	10	1078	0.1	149.4	6	3600								Si
8	-564	1	-4459	0.5	149.4	25	3600	-564	1	-4459	0.5	112.1	0	+∞	Si
203	1430	10	1782	0.2	149.4	10	3600								Si
203	-11543	1	-11902	1.4	149.4	66.8	3600	-11543	1	-11902	1.4	112.1	0	+∞	Si
406	-11517	1	-11865	1.4	149.4	66.6	3600	-11517	1	-11865	1.4	112.1	0	+∞	Si
602	-7004	10	-7004	0.9	149.4	39.3	3600	-1740	1	-5209	0.6	112.1	0	+∞	Si
610	-6999	10	-6915	0.8	149.4	38.8	3600	-880	1	-880	0.1	112.1	0	+∞	Si

Verifica di apertura delle fessure

La campata non presenta apertura delle fessure

Campata 3 tra i fili 3 - 4, sezione R 70x40, asta 11

Verifiche a flessione in famiglia SLU

x	A sup.	C.b. sup.	A inf.	C.b. inf.	M+ela	Comb.	M+des	M+ult	x/d	M-ela	Comb.	M-des	M-ult	x/d	Verifica
0	6.03	7.8	6.03	7.8						-10482	SLU 49	-10332	-816960	0.168	Si
8	6.03	7.8	6.03	7.8						-9915	SLU 49	-9915	-816960	0.168	Si
34	6.03	7.8	6.03	7.8						-7656	SLU 49	-9915	-816960	0.168	Si
68	6.03	7.8	6.03	7.8	-1180	SLU 1	231	816960	0.168	-4103	SLU 49	-7854	-816960	0.168	Si
98	6.03	7.8	6.03	7.8	231	SLU 40	231	816960	0.168	-443	SLU 10	-4917	-816960	0.168	Si
103	6.03	7.8	6.03	7.8	776	SLU 40	562	816960	0.168						Si

Verifiche a flessione in famiglia SLV (domini sostanzialmente elastici)

La struttura oppure parte di essa, è stata dichiarata come non dissipativa pertanto la verifica a pressoflessione, per tutte o solo alcune sezioni, viene eseguita calcolando i momenti resistenti in campo sostanzialmente elastico secondo D.M. 17-01-2018 §7.4.1

Le dilatazioni ultime utilizzate sono le seguenti: $\epsilon_{c2} = 0.002$, $\epsilon_{yd} = 0.0019$

x	A sup.	C.b. sup.	A inf.	C.b. inf.	M+ela	Comb.	M+des	M+ult	x/d	M-ela	Comb.	M-des	M-ult	x/d	Verifica
0	6.03	7.8	6.03	7.8	813	SLV 1	731	699352	0.214	-2572	SLV 13	-2572	-699352	0.214	Si
8	6.03	7.8	6.03	7.8	674	SLV 1	750	699352	0.214	-3032	SLV 13	-4361	-699352	0.214	Si
34	6.03	7.8	6.03	7.8	602	SLV 1	1667	699352	0.214	-4164	SLV 13	-4439	-699352	0.214	Si
38	6.03	7.8	6.03	7.8	643	SLV 1	1841	699352	0.214	-4247	SLV 13	-4439	-699352	0.214	Si
68	6.03	7.8	6.03	7.8	1562	SLV 1	3411	699352	0.214	-4306	SLV 13	-4439	-699352	0.214	Si
98	6.03	7.8	6.03	7.8	3411	SLV 1	3411	699352	0.214	-3085	SLV 13	-4408	-699352	0.214	Si

x	A sup.	C.b. sup.	A inf.	C.b. inf.	M+ela	Comb.	M+des	M+ult	x/d	M-ela	Comb.	M-des	M-ult	x/d	Verifica
103	6.03	7.8	6.03	7.8	3827	SLV 1	3612	699352	0.214	-2742	SLV 13	-2742	-699352	0.214	Si

Verifiche SLD Resistenza a flessione (domini sostanzialmente elastici)

La struttura oppure parte di essa, è stata dichiarata come non dissipativa pertanto la verifica a pressoflessione, per tutte o solo alcune sezioni, viene eseguita calcolando i momenti resistenti in campo sostanzialmente elastico secondo D.M. 17-01-2018 §7.4.1

Le dilatazioni ultime utilizzate sono le seguenti: $\epsilon_c=0.002$, $\epsilon_{yd}=0.0019$

x	A sup.	C.b. sup.	A inf.	C.b. inf.	M+ela	Comb.	M+des	M+ult	x/d	M-ela	Comb.	M-des	M-ult	x/d	Verifica
0	6.03	7.8	6.03	7.8						-1597	SLD 13	-1597	-699352	0.214	Si
8	6.03	7.8	6.03	7.8						-1964	SLD 13	-2889	-699352	0.214	Si
34	6.03	7.8	6.03	7.8						-2791	SLD 13	-2897	-699352	0.214	Si
38	6.03	7.8	6.03	7.8	-766	SLD 1	109	699352	0.214	-2839	SLD 13	-2897	-699352	0.214	Si
68	6.03	7.8	6.03	7.8	-129	SLD 1	1539	699352	0.214	-2615	SLD 13	-2897	-699352	0.214	Si
98	6.03	7.8	6.03	7.8	1539	SLD 1	1539	699352	0.214	-1214	SLD 13	-2776	-699352	0.214	Si
103	6.03	7.8	6.03	7.8	1935	SLD 1	1730	699352	0.214	-850	SLD 13	-850	-699352	0.214	Si

Verifiche a taglio in famiglia SLU

x	A st	A sl	A sag	Vela	Comb.	Vdes	Vrd	Vrcd	Vrsd	Vult	cotgθ	Verifica
0	0.115	6.03	0	97	SLU 10	97	9413	49351	32584	32584	2.5	Si
0	0.115	6.03	0	-62	SLU 40	-62	-9413	-49351	-32584	-32584	2.5	Si
8	0.115	6.03	0	97	SLU 10	97	9413	49351	32584	32584	2.5	Si
8	0.115	6.03	0	-51	SLU 40	-51	-9413	-49351	-32584	-32584	2.5	Si
34	0.115	6.03	0	96	SLU 10	96	9413	49351	32584	32584	2.5	Si
34	0.115	6.03	0	-11	SLU 40	-11	-9413	-49351	-32584	-32584	2.5	Si
68	0.115	6.03	0	116	SLU 49	116	9413	49351	32584	32584	2.5	Si
98	0.115	6.03	0	141	SLU 49	141	9413	49351	32584	32584	2.5	Si
99	0.115	6.03	0	143	SLU 49	143	9413	49351	32584	32584	2.5	Si
103	0.178	6.03	0	146	SLU 49	146	9413	50073	49405	49405	2.45	Si

Verifiche a taglio in famiglia SLV

x	A st	A sl	A sag	Vela	Comb.	Vdes	Vrd	Vrcd	Vrsd	Vult	cotgθ	Verifica
0	0.115	6.03	0	-65	SLV 13	-65	-9413	-49351	-32584	-32584	2.5	Si
8	0.115	6.03	0	-57	SLV 13	-57	-9413	-49351	-32584	-32584	2.5	Si
34	0.115	6.03	0	10	SLV 1	10	9413	49351	32584	32584	2.5	Si
34	0.115	6.03	0	-27	SLV 13	-27	-9413	-49351	-32584	-32584	2.5	Si
68	0.115	6.03	0	47	SLV 1	47	9413	49351	32584	32584	2.5	Si
98	0.115	6.03	0	81	SLV 1	81	9413	49351	32584	32584	2.5	Si
99	0.115	6.03	0	82	SLV 1	82	9413	49351	32584	32584	2.5	Si
103	0.178	6.03	0	87	SLV 1	87	9413	50073	49405	49405	2.45	Si

Verifiche SLD Resistenza a taglio

x	A st	A sl	A sag	Vela	Comb.	Vdes	Vrd	Vrcd	Vrsd	Vult	cotgθ	Verifica
0	0.115	6.03	0	-53	SLD 13	-53	-9413	-49351	-32584	-32584	2.5	Si
8	0.115	6.03	0	-45	SLD 13	-45	-9413	-49351	-32584	-32584	2.5	Si
34	0.115	6.03	0	-16	SLD 13	-16	-9413	-49351	-32584	-32584	2.5	Si
68	0.115	6.03	0	39	SLD 1	39	9413	49351	32584	32584	2.5	Si
98	0.115	6.03	0	76	SLD 1	76	9413	49351	32584	32584	2.5	Si
99	0.115	6.03	0	78	SLD 1	78	9413	49351	32584	32584	2.5	Si
103	0.178	6.03	0	83	SLD 1	83	9413	50073	49405	49405	2.45	Si

Verifiche delle tensioni in esercizio

x	Rara							Quasi permanente							Verifica
	Mela	Comb.	Mdes	σ c	σ c lim.	σ f.	σ f lim.	Mela	Comb.	Mdes	σ c	σ c lim.	σ FRP	σ FRP lim.	
0	-6999	10	-6915	0.8	149.4	38.8	3600	-880	1	-880	0.1	112.1	0	+∞	Si
8	-6638	10	-6638	0.8	149.4	37.3	3600	-1179	1	-1810	0.2	112.1	0	+∞	Si
34	-5168	10	-6638	0.8	149.4	37.3	3600	-1781	1	-1810	0.2	112.1	0	+∞	Si
68	-2790	10	-5299	0.6	149.4	29.7	3600	-1372	1	-1810	0.2	112.1	0	+∞	Si
98	163	1	163	0	149.4	0.9	3600	163	1	163	0	112.1	0	+∞	Si
98	-228	10	-3341	0.4	149.4	18.7	3600								Si
103	543	1	393	0	149.4	2.2	3600	543	1	393	0	112.1	0	+∞	Si

Verifica di apertura delle fessure

La campata non presenta apertura delle fessure

Campata 4 tra i fili 4 - 4, sezione R 70x40, asta 12

Verifiche a flessione in famiglia SLU

x	A sup.	C.b. sup.	A inf.	C.b. inf.	M+ela	Comb.	M+des	M+ult	x/d	M-ela	Comb.	M-des	M-ult	x/d	Verifica
0	6.03	7.8	6.03	7.8	776	SLU 40	562	816960	0.168						Si
5	6.03	7.8	6.03	7.8	513	SLU 40	513	816960	0.168	38	SLU 10	0	-816960	0.168	Si
9	6.03	7.8	6.03	7.8	348	SLU 40	513	816960	0.168	26	SLU 10	0	-816960	0.168	Si
18	6.03	7.8	6.03	7.8	88	SLU 40	513	816960	0.168	7	SLU 10	0	-816960	0.168	Si
20	0	0	0	0	43	SLU 40	513	0	0	3	SLU 10	0	0	0	Si
27	0	0	0	0	0	SLU 45	513	0	0	0	SLU 40	0	0	0	Si

Verifiche a flessione in famiglia SLV (domini sostanzialmente elastici)

La struttura oppure parte di essa, è stata dichiarata come non dissipativa pertanto la verifica a pressoflessione, per tutte o solo alcune sezioni, viene eseguita calcolando i momenti resistenti in campo sostanzialmente elastico secondo D.M. 17-01-2018 §7.4.1

Le dilatazioni ultime utilizzate sono le seguenti: $\epsilon_{c2} = 0.002$, $\epsilon_{yd} = 0.0019$

x	A sup.	C.b. sup.	A inf.	C.b. inf.	M+ela	Comb.	M+des	M+ult	x/d	M-ela	Comb.	M-des	M-ult	x/d	Verifica
0	6.03	7.8	6.03	7.8	634	SLV 13	516	699352	0.214						Si
5	6.03	7.8	6.03	7.8	420	SLV 13	420	699352	0.214	298	SLV 1	0	-699352	0.214	Si
9	6.03	7.8	6.03	7.8	285	SLV 13	420	699352	0.214	202	SLV 1	0	-699352	0.214	Si
18	6.03	7.8	6.03	7.8	72	SLV 13	420	699352	0.214	51	SLV 1	0	-699352	0.214	Si

x	A sup.	C.b. sup.	A inf.	C.b. inf.	M+ela	Comb.	M+des	M+ult	x/d	M-ela	Comb.	M-des	M-ult	x/d	Verifica
20	0	0	0	0	35	SLV 13	420	0	0	25	SLV 1	0	0	0	Si
27	0	0	0	0	0	SLV 15	420	0	0	0	SLV 7	0	0	0	Si

Verifiche SLD Resistenza a flessione (domini sostanzialmente elastici)

La struttura oppure parte di essa, è stata dichiarata come non dissipativa pertanto la verifica a pressoflessione, per tutte o solo alcune sezioni, viene eseguita calcolando i momenti resistenti in campo sostanzialmente elastico secondo D.M. 17-01-2018 §7.4.1

Le dilatazioni ultime utilizzate sono le seguenti: $\epsilon_{c2} = 0.002$, $\epsilon_{yd} = 0.0019$

x	A sup.	C.b. sup.	A inf.	C.b. inf.	M+ela	Comb.	M+des	M+ult	x/d	M-ela	Comb.	M-des	M-ult	x/d	Verifica
0	6.03	7.8	6.03	7.8	581	SLD 13	473	699352	0.214						Si
5	6.03	7.8	6.03	7.8	385	SLD 13	385	699352	0.214	333	SLD 1	0	-699352	0.214	Si
9	6.03	7.8	6.03	7.8	261	SLD 13	385	699352	0.214	226	SLD 1	0	-699352	0.214	Si
18	6.03	7.8	6.03	7.8	66	SLD 13	385	699352	0.214	57	SLD 1	0	-699352	0.214	Si
20	0	0	0	0	32	SLD 13	385	0	0	28	SLD 1	0	0	0	Si
27	0	0	0	0	0	SLD 9	385	0	0	0	SLD 11	0	0	0	Si

Verifiche a taglio in famiglia SLU

x	A st	A sl	A sag	Vela	Comb.	Vdes	Vrd	Vrcd	Vrsd	Vult	cotgθ	Verifica
0	0.178	0	0	-58	SLU 40	-58	-9413	-50073	-49405	-49405	2.45	Si
5	0.178	0	0	-47	SLU 40	-47	-9413	-50073	-49405	-49405	2.45	Si
9	0.178	0	0	-39	SLU 40	-39	-9413	-50073	-49405	-49405	2.45	Si
18	0.178	0	0	-20	SLU 40	-20	-9413	-50073	-49405	-49405	2.45	Si
27	0.178	0	0	0	Ger.	0	10907	62203	61373	61373	2.45	Si
27	0.178	0	0	0	Ger.	0	-10907	-62203	-61373	-61373	2.45	Si

Verifiche a taglio in famiglia SLV

x	A st	A sl	A sag	Vela	Comb.	Vdes	Vrd	Vrcd	Vrsd	Vult	cotgθ	Verifica
0	0.178	0	0	-47	SLV 13	-47	-9413	-50073	-49405	-49405	2.45	Si
5	0.178	0	0	-39	SLV 13	-39	-9413	-50073	-49405	-49405	2.45	Si
9	0.178	0	0	-32	SLV 13	-32	-9413	-50073	-49405	-49405	2.45	Si
18	0.178	0	0	-16	SLV 13	-16	-9413	-50073	-49405	-49405	2.45	Si
27	0.178	0	0	0	Ger.	0	10907	62203	61373	61373	2.45	Si
27	0.178	0	0	0	Ger.	0	-10907	-62203	-61373	-61373	2.45	Si

Verifiche SLD Resistenza a taglio

x	A st	A sl	A sag	Vela	Comb.	Vdes	Vrd	Vrcd	Vrsd	Vult	cotgθ	Verifica
0	0.178	0	0	-43	SLD 13	-43	-9413	-50073	-49405	-49405	2.45	Si
5	0.178	0	0	-35	SLD 13	-35	-9413	-50073	-49405	-49405	2.45	Si
9	0.178	0	0	-29	SLD 13	-29	-9413	-50073	-49405	-49405	2.45	Si
18	0.178	0	0	-15	SLD 13	-15	-9413	-50073	-49405	-49405	2.45	Si
27	0.178	0	0	0	Ger.	0	10907	62203	61373	61373	2.45	Si
27	0.178	0	0	0	Ger.	0	-10907	-62203	-61373	-61373	2.45	Si

Verifiche delle tensioni in esercizio

x	Rara								Quasi permanente								Verifica
	Mela	Comb.	Mdes	σc	σc lim.	σf	σf lim.	Mela	Comb.	Mdes	σc	σc lim.	σ FRP	σ FRP lim.			
0	543	1	393	0	149.4	2.2	3600	543	1	393	0	112.1	0	+∞	Si		
5	359	1	359	0	149.4	2	3600	359	1	359	0	112.1	0	+∞	Si		
9	243	1	359	0	149.4	2	3600	243	1	359	0	112.1	0	+∞	Si		
18	61	1	359	0	149.4	2	3600	61	1	359	0	112.1	0	+∞	Si		
27	0	10	0	0	0	0	3600	0	1	0	0	0	0	+∞	Si		

Verifica di apertura delle fessure

La campata non presenta apertura delle fessure

Verifiche geotecniche

Verifiche geotecniche di capacità portante sul piano di posa

Aste	Size X	Size Y	Comb	Type	Cond	γR	Rd	Ed	Rd/Ed	Verifica
6, 7, 8, 9, 10, 11, 12	765	70	SLU 49	ST	BT	2.3	23534	-6975	3.37	Si
6, 7, 8, 9, 10, 11, 12	765	70	SLV 9	SIS	BT	2.3	29661	-5800	5.11	Si
6, 7, 8, 9, 10, 11, 12	765	70	SLD 9	SIS	BT	2.3	31057	-5800	5.35	Si

Verifiche geotecniche di capacità portante - parametri utilizzati nel calcolo di Rd

Fx	Fy	Fz	Mx	My	Inc.x	Inc.y	Ecc.x	Ecc.y	B'	L'	qd	γ_s	Fi	Coes	Amax
0	311	-6975	-63656	69542	0	3	10	-9	52	745	0.08	0	0	0.21	0
13	-45	-5800	18467	30484	0	0	5	3	64	754	0.08	0	0	0.21	0.06
6	-19	-5800	10247	28018	0	0	5	2	66	755	0.08	0	0	0.21	0.03

Verifiche geotecniche di capacità portante - fattori utilizzati nel calcolo di Rd

N			S			D			I			B			G			P			E		
Nq	Nc	Ng	Sq	Sc	Sg	Dq	Dc	Dg	Iq	Ic	Ig	Bq	Bc	Bg	Gq	Gc	Gg	Pq	Pc	Pg	Eq	Ec	Eg
1	5	0	0	0.01	0	0	0.23	0	0	0.01	0	0	0	0	0	0	0	1	1	1	0	0	0
1	5	0	0	0.02	0	0	0.23	0	0	0	0	0	0	0	0	0	0	1	1	1	0	0	0
1	5	0	0	0.02	0	0	0.23	0	0	0	0	0	0	0	0	0	0	1	1	1	0	0	0

Verifiche geotecniche - Cedimenti assoluti e differenziali

Tipo	Assoluto				Differenziale				Relativo				Rapp. inflessione			Verifica	
	Sa adm	Sa	Nodo	Comb.	Sd adm	Sd	Nodo i	Nodo j	Comb.	Sr adm	Sr	Nodo	Comb.	Ri adm	Ri		Comb.
E	5	0	32	SLE RA 1	5	0	32	27	SLE RA 10	5	0	32	SLE RA 10	0.0033	0	SLE RA 1	Si
D	5	0	27	SLE RA 1	5	0	27	27	SLE RA 1	5	0	28	SLE RA 1	0.0033	0	SLE RA 1	Si
Z	5	0	27	SLE RA 1	5	0	27	27	SLE RA 1	5	0	28	SLE RA 1	0.0033	0	SLE RA 1	Si

Verifiche geotecniche - Rotazioni assolute e differenziali

Tipo	Rotazione rigida			Rotazione assoluta					Distorsione angolare positiva				Distorsione angolare negativa				Verifica
	RR adm	RR	Comb.	R Adm	R Max	Nodo I	Nodo J	Comb.	D+ adm	D+	Nodo	Comb.	D- adm	D-	Nodo	Comb.	
E	0.19	0	SLE RA 10	0.19	0	33	34	SLE RA 1	0.19	0	32	SLE RA 10	0.1	0	27	SLE RA 1	Si
D	0.19	0	SLE RA 1	0.19	0	27	28	SLE RA 1	0.19	0	27	SLE RA 1	0.1	0	28	SLE RA 1	Si
Z	0.19	0	SLE RA 1	0.19	0	27	28	SLE RA 1	0.19	0	27	SLE RA 1	0.1	0	28	SLE RA 1	Si

Verifiche plinti superficiali

Le unità di misura elencate nel capitolo sono in [cm, daN, deg] ove non espressamente specificato.

Comb.: combinazione.

σ max: massimo valore della pressione di compressione. [daN/cm²]

σ min: minimo valore della pressione di compressione. [daN/cm²]

σ verifica: valore di confronto della pressione di compressione. [daN/cm²]

Verifica: stato di verifica.

Asse di rotazione: asse di rotazione considerato (lato fondazione).

x1: ascissa punto 1. [cm]

y1: ordinata punto 1. [cm]

x2: ascissa punto 2. [cm]

y2: ordinata punto 2. [cm]

yR: coefficiente parziale sulla resistenza di progetto.

Mrib: momento ribaltante rispetto all'asse di rotazione. [daN*cm]

Mstb: momento stabilizzante rispetto all'asse di rotazione. [daN*cm]

c.s.: coefficiente di sicurezza.

Descrizione: descrizione del terreno.

y naturale: peso specifico naturale del terreno. [daN/cm³]

y saturo: peso specifico saturo del terreno. [daN/cm³]

Angolo Attrito Interno: angolo di attrito interno del terreno. [deg]

Angolo Attrito δ : angolo di attrito all'interfaccia fondazione. [deg]

Coesione Efficace: coesione efficace del terreno. [daN/cm²]

Coesione Non Drenata: coesione non drenata del terreno. [daN/cm²]

Coeff. Adesione: coefficiente di adesione della coesione.

Azione orizz.: componente orizzontale del carico. [daN]

Azione vert.: componente verticale del carico. [daN]

Attrito: angolo di attrito di progetto. [deg]

Laterale: resistenza passiva laterale unitaria di progetto. [daN/cm²]

Rd: resistenza alla traslazione di progetto. [daN]

Ed: azione di progetto. [daN]

Rd/Ed: coefficiente di sicurezza allo scorrimento.

Cond.: resistenza valutata a breve o lungo termine (BT - LT).

Adesione: adesione di progetto. [daN/cm²]

Cmb: combinazione.

Fx: componente lungo x del carico. [daN]

Fy: componente lungo y del carico. [daN]

Fz: componente verticale del carico. [daN]

Mx: componente lungo x del momento. [daN*cm]

My: componente lungo y del momento. [daN*cm]

B': larghezza efficace. [cm]

L': lunghezza efficace. [cm]

Cnd: condizione valutazione resistenza a breve o lungo termine (BT - LT).

Coes: coesione di progetto. [daN/cm²]

Phi: angolo di attrito di progetto. [deg]

Peso: peso specifico del terreno di progetto. [daN/cm³]

Ovl: sovraccarico laterale da piano di posa. [daN/cm²]

Amax: accelerazione normalizzata massima attesa al suolo.

Rd: resistenza alla rottura del complesso di progetto. [daN]

Ed: azione di progetto (sforzo normale al piano di posa). [daN]

Rd/Ed: coefficiente di sicurezza alla capacità portante.

Note: note di verifica (1 Ipotesi errate, 2 Espulsione coesivo, 3 Inclinazione eccessiva, 4 Eccentricità eccessiva, 5 Carico eccessivo).

N:

Nq: fattore di capacità portante per il termine di sovraccarico.

Nc: fattore di capacità portante per il termine coesivo.

Ng: fattore di capacità portante per il termine attritivo.

S:

Sq: fattore correttivo di capacità portante per forma (shape), per il termine di sovraccarico.

Sc: fattore correttivo di capacità portante per forma (shape), per il termine coesivo.

Sg: fattore correttivo di capacità portante per forma (shape), per il termine attritivo.

D:

Dq: fattore correttivo di capacità portante per approfondimento (deep), per il termine di sovraccarico.

Dc: fattore correttivo di capacità portante per approfondimento (deep), per il termine coesivo.

Dg: fattore correttivo di capacità portante per approfondimento (deep), per il termine attritivo.

I:

Iq: fattore correttivo di capacità portante per inclinazione del carico, per il termine di sovraccarico.

Ic: fattore correttivo di capacità portante per inclinazione del carico, per il termine coesivo.

Ig: fattore correttivo di capacità portante per inclinazione del carico, per il termine attritivo.

G:

Gq: fattore correttivo di capacità portante per inclinazione del pendio, per il termine di sovraccarico.

Gc: fattore correttivo di capacità portante per inclinazione del pendio, per il termine coesivo.

Gg: fattore correttivo di capacità portante per inclinazione del pendio, per il termine attritivo.

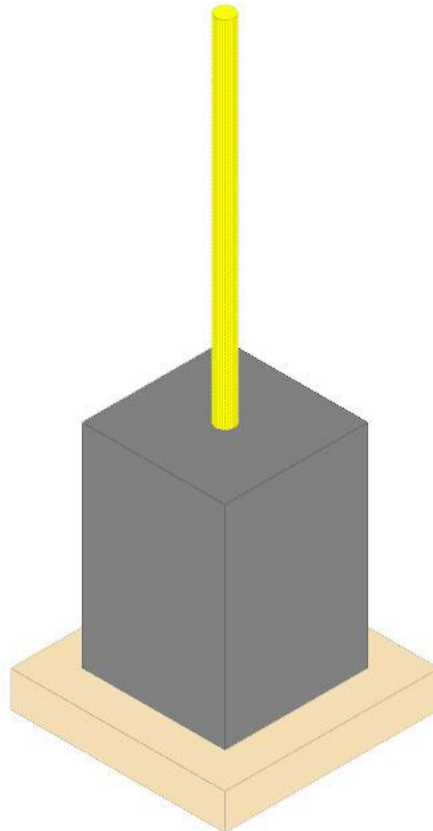
P:
Pq: fattore correttivo di capacità portante per punzonamento, per il termine di sovraccarico.
Pc: fattore correttivo di capacità portante per punzonamento, per il termine coesivo.
Pg: fattore correttivo di capacità portante per punzonamento, per il termine attritivo.
E:
Eq: fattore correttivo di capacità portante per sisma (earthquake) per il termine di sovraccarico.
Ec: fattore correttivo di capacità portante per sisma (earthquake) per il termine coesivo.
Eg: fattore correttivo di capacità portante per sisma (earthquake) per il termine attritivo.
Desc.: descrizione.
Tipo sez.: asse o filo pilastro, filo risega.
M: momento flettente. [daN*cm]
Mu: momento ultimo. [daN*cm]
Fessurata: stato fessurato o non fessurato.
 σC : tensione nel calcestruzzo. [daN/cm²]
 σF : tensione nell'acciaio. [daN/cm²]
wd: apertura delle fessure. [cm]
Elemento punzonante: elemento punzonante, pilastro o dado/bicchiera.
d: altezza utile. [cm]
Perimetro: lunghezza utile del perimetro. [cm]
Perim. minim.: perimetro critico con lati non attivi.
N: carico dal pilastro. [daN]
 β : coefficiente UNI EN 1992-1-1 (6.38).
Peso cono: peso del cono punzonato e del suolo sovrastante. [daN]
Reazione suolo: reazione del suolo di fondazione. [daN]
VEd,red: tensione tangenziale. [daN/cm²]
VRd,max: resistenza in adiacenza al pilastro. [daN/cm²]
Elem. punz.: elemento punzonante, pilastro o dado/bicchiera.
Offset: distanza dal bordo pilastro del perimetro critico. [cm]
Perim. utile: lunghezza utile del perimetro. [cm]
 ρ_l : densità di armatura tesa.
VRd: resistenza in assenza di armature a taglio. [daN/cm²]
Asw: area efficace di ferri piegati. [cm²]
VRd,cs: resistenza in presenza di armature a taglio. [daN/cm²]
Vert.: vertice.
x: coordinata x. [cm]
y: coordinata y. [cm]

LOCALITA' SAL DI COLLINA

Plinto di fondazione recinzione

Verifiche condotte secondo D.M. 17-01-18 (N.T.C.)

Geometria



Caratteristiche dei materiali

Calcestruzzo: C25/30; Resistenza cubica caratteristica Rck: 300

Calcestruzzo per magrone: Magrone; Resistenza cubica caratteristica Rck: 1

Acciaio per armatura: B450C; Fyk: 4500

Caratteristiche geometriche

Suola: dimensione x: 40; dimensione y: 40; spessore: 60

Magrone: sbordo: 10; spessore: 10; materiale: Magrone

Pilastro circolare: diametro: 5

Copriferro: suola: 7.5

Pressioni raggiunte sul terreno

Famiglia "Limite ultimo"

Si stampano le 5 situazioni più gravose per tipo di verifica

Coefficiente di sicurezza minimo 8.42

Comb.	ot max	ot min	ot verifica	Verifica
SLU 42	-0.21	-0.21	-1.74	Si
SLU 41	-0.21	-0.21	-1.74	Si

Comb.	σ_t max	σ_t min	σ_t verifica	Verifica
SLU 31	-0.21	-0.21	-1.74	Si
SLU 30	-0.21	-0.21	-1.74	Si
SLU 29	-0.21	-0.21	-1.74	Si

Famiglia "Limite ultimo sismico"

Si stampano le 5 situazioni più gravose per tipo di verifica
Coefficiente di sicurezza minimo 10.27

Comb.	σ_t max	σ_t min	σ_t verifica	Verifica
SLV 16	-0.15	-0.17	-1.74	Si
SLV 14	-0.15	-0.17	-1.74	Si
SLV 13	-0.15	-0.17	-1.74	Si
SLV 12	-0.15	-0.17	-1.74	Si
SLV 11	-0.15	-0.17	-1.74	Si

Verifiche a ribaltamento

Famiglia "Equilibrio", Famiglia "Limite ultimo", Famiglia "Limite ultimo sismico"

Si stampano le 5 situazioni più gravose per tipo di verifica
Coefficiente di sicurezza minimo 15.43

Comb.	Asse di rotazione				γ_R	Mrib	Mstb	c.s.	Verifica
	x1	y1	x2	y2					
SLV 16	-20	20	-20	-20	1.15	280	4317	15.43	Si
SLV 3	20	-20	20	20	1.15	280	4317	15.43	Si
SLV 4	20	-20	20	20	1.15	280	4317	15.43	Si
SLV 5	20	20	-20	20	1.15	280	4317	15.43	Si
SLV 6	20	20	-20	20	1.15	280	4317	15.43	Si

Verifiche geotecniche di scorrimento e capacità portante

Caratteristiche del terreno a contatto con il piano di posa della fondazione

Descrizione	γ naturale	γ saturo	Angolo Attrito Interno	Angolo Attrito δ	Coesione Efficace	Coesione Non Drenata	Coeff. Adesione
Terreno vegetale Ascoli Satriano	0.0017	0.0017	20	15	0.098	0.245	1

Caratteristiche del terreno di progetto per la capacità portante della fondazione

Descrizione	γ naturale	γ saturo	Angolo Attrito Interno	Angolo Attrito δ	Coesione Efficace	Coesione Non Drenata	Coeff. Adesione
Suolo medio nel bulbo di influenza	0.0017	0.0017	20	15	0.098	0.245	1

Caratteristiche del terreno laterale di approfondimento della fondazione

Descrizione	γ naturale	γ saturo	Angolo Attrito Interno	Angolo Attrito δ	Coesione Efficace	Coesione Non Drenata	Coeff. Adesione
Argilla sabbiosa_1	0.00195	0.00195	17	10	0.03	0.06	0.6

Verifiche a slittamento magrone-calcestruzzo

Famiglia "Limite ultimo"

Si stampano le 5 situazioni più gravose per tipo di verifica

Coefficiente di sicurezza minimo a slittamento cls-magrone 2106921688861.62

Comb.	Azione orizz.	Azione vert.	Attrito	Laterale	γ_R	Rd	Ed	Rd/Ed	Verifica
SLU 31	0	-323	35	0	1.1	205	0	2106921688861.62	Si
SLU 30	0	-323	35	0	1.1	205	0	2106921688861.62	Si
SLU 29	0	-323	35	0	1.1	205	0	2106921688861.62	Si
SLU 28	0	-323	35	0	1.1	205	0	2106921688861.62	Si
SLU 27	0	-323	35	0	1.1	205	0	2106921688861.62	Si

Famiglia "Limite ultimo sismico"

Si stampano le 5 situazioni più gravose per tipo di verifica

Coefficiente di sicurezza minimo a slittamento cls-magrone 183.85

Comb.	Azione orizz.	Azione vert.	Attrito	Laterale	γ_R	Rd	Ed	Rd/Ed	Verifica
SLV 1	1	-248	35	0	1.1	158	1	183.85	Si
SLV 2	1	-248	35	0	1.1	158	1	183.85	Si
SLV 3	1	-248	35	0	1.1	158	1	183.85	Si
SLV 4	1	-248	35	0	1.1	158	1	183.85	Si
SLV 5	1	-248	35	0	1.1	158	1	183.85	Si

Verifica di scorrimento

Famiglia "Limite ultimo"

Si stampano le 5 situazioni più gravose per tipo di verifica

Coefficiente di sicurezza minimo a scorrimento 1859238522309.62

Comb.	Azione orizz.	Azione vert.	Cond.	Adesione	Attrito	Laterale	γ_R	Rd	Ed	Rd/Ed	Verifica
SLU 40	0	-744	LT	0	15	0	1.1	181	0	1859238522309.62	Si
SLU 42	0	-744	LT	0	15	0	1.1	181	0	1859238522309.62	Si
SLU 31	0	-744	LT	0	15	0	1.1	181	0	1859238522309.62	Si
SLU 30	0	-744	LT	0	15	0	1.1	181	0	1859238522309.62	Si
SLU 29	0	-744	LT	0	15	0	1.1	181	0	1859238522309.62	Si

Famiglia "Limite ultimo sismico"

Si stampano le 5 situazioni più gravose per tipo di verifica

Coefficiente di sicurezza minimo a scorrimento 162.24

Comb.	Azione orizz.	Azione vert.	Cond.	Adesione	Attrito	Laterale	γ_R	Rd	Ed	Rd/Ed	Verifica
SLV 1	1	-572	LT	0	15	0	1.1	139	1	162.24	Si
SLV 2	1	-572	LT	0	15	0	1.1	139	1	162.24	Si
SLV 3	1	-572	LT	0	15	0	1.1	139	1	162.24	Si
SLV 4	1	-572	LT	0	15	0	1.1	139	1	162.24	Si
SLV 5	1	-572	LT	0	15	0	1.1	139	1	162.24	Si

Verifica di capacità portante

Famiglia "Limite ultimo"

Si stampano le 5 situazioni più gravose per tipo di verifica
Coefficiente di sicurezza minimo per portanza 4.38

Cmb	Fx	Fy	Fz	Mx	My	B'	L'	Cnd	Coes	Phi	Peso	Ovl	Amax	yR	Rd	Ed	Rd/Ed	Note	Verifica
SLU 42	0	0	-744	0	0	60	60	BT	0.25	0	0.0017	0.13	0	2.3	3256	744	4.38		Si
SLU 41	0	0	-744	0	0	60	60	BT	0.25	0	0.0017	0.13	0	2.3	3256	744	4.38		Si
SLU 31	0	0	-744	0	0	60	60	BT	0.25	0	0.0017	0.13	0	2.3	3256	744	4.38		Si
SLU 30	0	0	-744	0	0	60	60	BT	0.25	0	0.0017	0.13	0	2.3	3256	744	4.38		Si
SLU 29	0	0	-744	0	0	60	60	BT	0.25	0	0.0017	0.13	0	2.3	3256	744	4.38		Si

Fattori di capacità portante in Famiglia "Limite ultimo"

N			S			D			I			G			P			E		
Nq	Nc	Ng	Sq	Sc	Sg	Dq	Dc	Dg	Iq	Ic	Ig	Gq	Gc	Gg	Pq	Pc	Pg	Eq	Ec	Eg
1	5.1	0	0	0.2	0	0	0.34	0	0	0	0	0	0	0	1	1	1	0	0	0
1	5.1	0	0	0.2	0	0	0.34	0	0	0	0	0	0	0	1	1	1	0	0	0
1	5.1	0	0	0.2	0	0	0.34	0	0	0	0	0	0	0	1	1	1	0	0	0
1	5.1	0	0	0.2	0	0	0.34	0	0	0	0	0	0	0	1	1	1	0	0	0
1	5.1	0	0	0.2	0	0	0.34	0	0	0	0	0	0	0	1	1	1	0	0	0

Famiglia "Limite ultimo sismico"

Si stampano le 5 situazioni più gravose per tipo di verifica
Coefficiente di sicurezza minimo per portanza 5.56

Cmb	Fx	Fy	Fz	Mx	My	B'	L'	Cnd	Coes	Phi	Peso	Ovl	Amax	yR	Rd	Ed	Rd/Ed	Note	Verifica
SLV 16	-1	0	-572	86	-288	59	60	BT	0.25	0	0.0017	0.13	0.06	2.3	3180	572	5.56		Si
SLV 14	-1	0	-572	-86	-288	59	60	BT	0.25	0	0.0017	0.13	0.06	2.3	3180	572	5.56		Si
SLV 13	-1	0	-572	-86	-288	59	60	BT	0.25	0	0.0017	0.13	0.06	2.3	3180	572	5.56		Si
SLV 12	0	-1	-572	288	-86	59	60	BT	0.25	0	0.0017	0.13	0.06	2.3	3180	572	5.56		Si
SLV 11	0	-1	-572	288	-86	59	60	BT	0.25	0	0.0017	0.13	0.06	2.3	3180	572	5.56		Si

Fattori di capacità portante in Famiglia "Limite ultimo sismico"

N			S			D			I			G			P			E		
Nq	Nc	Ng	Sq	Sc	Sg	Dq	Dc	Dg	Iq	Ic	Ig	Gq	Gc	Gg	Pq	Pc	Pg	Eq	Ec	Eg
1	5.1	0	0	0.2	0	0	0.34	0	0	0	0	0	0	0	1	1	1	0	0	0
1	5.1	0	0	0.2	0	0	0.34	0	0	0	0	0	0	0	1	1	1	0	0	0
1	5.1	0	0	0.2	0	0	0.34	0	0	0	0	0	0	0	1	1	1	0	0	0
1	5.1	0	0	0.2	0	0	0.34	0	0	0	0	0	0	0	1	1	1	0	0	0
1	5.1	0	0	0.2	0	0	0.34	0	0	0	0	0	0	0	1	1	1	0	0	0

Verifiche della suola

Superficie su cui è valutata la pressione del suolo: rettangolare a filo pilastro

Non sono state richieste le verifiche a taglio della suola.

Armatura inferiore in direzione X 4 diam. 12 mm Armatura superiore in direzione X 4 diam. 12 mm

Armatura inferiore in direzione Y 4 diam. 12 mm Armatura superiore in direzione Y 4 diam. 12 mm

Famiglia "Limite ultimo"

Si stampano le 5 situazioni più gravose per tipo di verifica

Coefficiente di sicurezza minimo a flessione 986.93

Desc.	Tipo sez.	Comb.	M	Mu	Verifica
norm.Y+	filo pil.	SLU 10	-899	-887043	Si
norm.Y-	filo pil.	SLU 26	-899	-887043	Si
norm.Y+	filo pil.	SLU 12	-899	-887043	Si
norm.Y+	filo pil.	SLU 13	-899	-887043	Si
norm.Y+	filo pil.	SLU 23	-899	-887043	Si

Famiglia "Esercizio rara"

Si stampano le 5 situazioni più gravose per tipo di verifica

Valori limite: σ lim. 149.4 σ lim. 3600

Coefficiente di sicurezza minimo per verifica tensioni 6305.41

Desc.	Tipo sez.	Comb.	M	Fessurata	σ C	σ F	Verifica
norm.Y+	filo pil.	SLE RA 13	-589	No	0	0.1	Si
norm.Y-	filo pil.	SLE RA 11	-589	No	0	0.1	Si
norm.Y-	filo pil.	SLE RA 10	-589	No	0	0.1	Si
norm.Y-	filo pil.	SLE RA 12	-589	No	0	0.1	Si
norm.Y+	filo pil.	SLE RA 12	-589	No	0	0.1	Si

Famiglia "Esercizio frequente"

Si stampano le 5 situazioni più gravose per tipo di verifica

Valori limite di apertura fessure: w lim. 0.03

Coefficiente di sicurezza minimo per apertura fessure 999

Desc.	Tipo sez.	Comb.	M	Fessurata	wd	Verifica
norm.X+	filo pil.	SLE FR 1	31	No	0	Si
norm.Y-	filo pil.	SLE FR 4	31	No	0	Si
norm.Y-	filo pil.	SLE FR 3	31	No	0	Si
norm.Y-	filo pil.	SLE FR 2	31	No	0	Si
norm.Y-	filo pil.	SLE FR 1	31	No	0	Si

Famiglia "Esercizio quasi permanente"

Si stampano le 5 situazioni più gravose per tipo di verifica

Valori limite: σ lim. 112.1 w lim. 0.02

Coefficiente di sicurezza minimo per verifica tensioni 94573.82

Coefficiente di sicurezza minimo per apertura fessure 999

Desc.	Tipo sez.	Comb.	M	Fessurata	σ C	wd	Verifica
norm.Y+	filo pil.	SLE QP 1	31	No	0	0	Si
norm.Y+	filo pil.	SLE QP 2	31	No	0	0	Si
norm.Y-	filo pil.	SLE QP 1	31	No	0	0	Si
norm.Y-	filo pil.	SLE QP 2	31	No	0	0	Si
norm.X-	filo pil.	SLE QP 1	31	No	0	0	Si

Famiglia "Limite ultimo sismico"

Si stampano le 5 situazioni più gravose per tipo di verifica
Coefficiente di sicurezza minimo a flessione 5649.4

Desc.	Tipo sez.	Comb.	M	Mu	Verifica
norm.Y+	filo pil.	SLV 5	145	820552	Si
norm.Y+	filo pil.	SLV 6	145	820552	Si
norm.Y+	filo pil.	SLV 9	145	820552	Si
norm.Y-	filo pil.	SLV 12	145	820552	Si
norm.Y-	filo pil.	SLV 11	145	820552	Si

Verifiche a punzonamento

Famiglia "Limite ultimo"

Verifiche in adiacenza all'elemento punzonante (perimetro U0)

Coefficiente di sicurezza minimo 2152.44

Comb.	Elemento punzonante	d	Perimetro	Perim. minim.	N	β	Peso cono	Reazione suolo	VEd,red	VRd,max	Verifica
SLU 44	pilastro	51.3	16	No	-11	1	3	4	0.01	28.22	Si
SLU 42	pilastro	51.3	16	No	-11	1	3	4	0.01	28.22	Si
SLU 41	pilastro	51.3	16	No	-11	1	3	4	0.01	28.22	Si
SLU 40	pilastro	51.3	16	No	-11	1	3	4	0.01	28.22	Si
SLU 31	pilastro	51.3	16	No	-11	1	3	4	0.01	28.22	Si

Verifiche a distanza $\leq 2d$ dall'elemento punzonante (perimetro U1)

Coefficiente di sicurezza minimo 49317.87

Comb.	Elem. punz.	d	Offset	Perim. utile	Perim. minim.	N	β	Peso cono	Reazione suolo	VEd,red	ρ_l	VRd	Asw	VRd,cs	Verifica
SLU 44	pilastro	51.3	2.1	29	No	-11	1	6	13	0	0.0019	180.79	0	0	Si
SLU 27	pilastro	51.3	2.1	29	No	-11	1	6	13	0	0.0019	180.79	0	0	Si
SLU 28	pilastro	51.3	2.1	29	No	-11	1	6	13	0	0.0019	180.79	0	0	Si
SLU 29	pilastro	51.3	2.1	29	No	-11	1	6	13	0	0.0019	180.79	0	0	Si
SLU 30	pilastro	51.3	2.1	29	No	-11	1	6	13	0	0.0019	180.79	0	0	Si

Coordinate del perimetro del cono punzonante a distanza 2.1 dal pilastro

Vert.	x	y	Vert.	x	y	Vert.	x	y	Vert.	x	y	Vert.	x	y	Vert.	x	y
1	4.6	0	2	4.5	0.9	3	4.2	1.7	4	3.8	2.5	5	3.2	3.2	6	2.5	3.8
7	1.7	4.2	8	0.9	4.5	9	0	4.6	10	-0.9	4.5	11	-1.7	4.2	12	-2.5	3.8
13	-3.2	3.2	14	-3.8	2.5	15	-4.2	1.7	16	-4.5	0.9	17	-4.6	0	18	-4.5	-0.9
19	-4.2	-1.7	20	-3.8	-2.5	21	-3.2	-3.2	22	-2.5	-3.8	23	-1.7	-4.2	24	-0.9	-4.5
25	0	-4.6	26	0.9	-4.5	27	1.7	-4.2	28	2.5	-3.8	29	3.2	-3.2	30	3.8	-2.5
31	4.2	-1.7	32	4.5	-0.9												

Famiglia "Limite ultimo sismico"

Verifiche in adiacenza all'elemento punzonante (perimetro U0)

Coefficiente di sicurezza minimo 872

Comb.	Elemento punzonante	d	Perimetro	Perim. minim.	N	β	Peso cono	Reazione suolo	VEd,red	VRd,max	Verifica
SLV 16	pilastro	51.3	16	No	-8	3.21	3	3	0.03	28.22	Si
SLV 14	pilastro	51.3	16	No	-8	3.21	3	3	0.03	28.22	Si
SLV 13	pilastro	51.3	16	No	-8	3.21	3	3	0.03	28.22	Si
SLV 12	pilastro	51.3	16	No	-8	3.21	3	3	0.03	28.22	Si
SLV 11	pilastro	51.3	16	No	-8	3.21	3	3	0.03	28.22	Si

Verifiche a distanza $\leq 2d$ dall'elemento punzonante (perimetro U1)

Coefficiente di sicurezza minimo 22134.9

Comb.	Elem. punz.	d	Offset	Perim. utile	Perim. minim.	N	β	Peso cono	Reazione suolo	VEd,red	ρ_l	VRd	Asw	VRd,cs	Verifica
SLV 16	pilastro	51.3	2.1	29	No	-8	2.9	6	10	0.01	0.0019	180.79	0	0	Si
SLV 1	pilastro	51.3	2.1	29	No	-8	2.9	6	10	0.01	0.0019	180.79	0	0	Si
SLV 2	pilastro	51.3	2.1	29	No	-8	2.9	6	10	0.01	0.0019	180.79	0	0	Si
SLV 3	pilastro	51.3	2.1	29	No	-8	2.9	6	10	0.01	0.0019	180.79	0	0	Si
SLV 4	pilastro	51.3	2.1	29	No	-8	2.9	6	10	0.01	0.0019	180.79	0	0	Si

Coordinate del perimetro del cono punzonante a distanza 2.1 dal pilastro

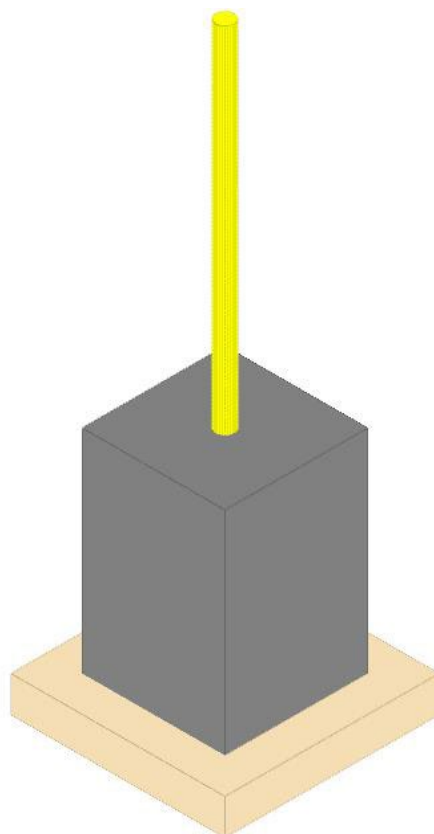
Vert.	x	y	Vert.	x	y	Vert.	x	y	Vert.	x	y	Vert.	x	y	Vert.	x	y
1	4.6	0	2	4.5	0.9	3	4.2	1.7	4	3.8	2.5	5	3.2	3.2	6	2.5	3.8
7	1.7	4.2	8	0.9	4.5	9	0	4.6	10	-0.9	4.5	11	-1.7	4.2	12	-2.5	3.8
13	-3.2	3.2	14	-3.8	2.5	15	-4.2	1.7	16	-4.5	0.9	17	-4.6	0	18	-4.5	-0.9
19	-4.2	-1.7	20	-3.8	-2.5	21	-3.2	-3.2	22	-2.5	-3.8	23	-1.7	-4.2	24	-0.9	-4.5
25	0	-4.6	26	0.9	-4.5	27	1.7	-4.2	28	2.5	-3.8	29	3.2	-3.2	30	3.8	-2.5
31	4.2	-1.7	32	4.5	-0.9												

LOCALITA' SAL DI MEZZANA

Plinto di fondazione recinzione

Verifiche condotte secondo D.M. 17-01-18 (N.T.C.)

Geometria



Caratteristiche dei materiali

Calcestruzzo: C25/30; Resistenza cubica caratteristica R_{ck} : 300

Calcestruzzo per magrone: Magrone; Resistenza cubica caratteristica R_{ck} : 1

Acciaio per armatura: B450C; F_{yk} : 4500

Caratteristiche geometriche

Suola: dimensione x: 40; dimensione y: 40; spessore: 60

Magrone: sbordo: 10; spessore: 10; materiale: Magrone

Pilastro circolare: diametro: 5

Copriferro: suola: 7.5

Pressioni raggiunte sul terreno

Famiglia "Limite ultimo"

Si stampano le 5 situazioni più gravose per tipo di verifica

Coefficiente di sicurezza minimo 8.42

Comb.	$\sigma_t \text{ max}$	$\sigma_t \text{ min}$	$\sigma_t \text{ verifica}$	Verifica
SLU 42	-0.21	-0.21	-1.74	Si
SLU 41	-0.21	-0.21	-1.74	Si
SLU 31	-0.21	-0.21	-1.74	Si

Comb.	σt max	σt min	σt verifica	Verifica
SLU 30	-0.21	-0.21	-1.74	Si
SLU 29	-0.21	-0.21	-1.74	Si

Famiglia "Limite ultimo sismico"

Si stampano le 5 situazioni più gravose per tipo di verifica
Coefficiente di sicurezza minimo 10.27

Comb.	σt max	σt min	σt verifica	Verifica
SLV 16	-0.15	-0.17	-1.74	Si
SLV 14	-0.15	-0.17	-1.74	Si
SLV 13	-0.15	-0.17	-1.74	Si
SLV 12	-0.15	-0.17	-1.74	Si
SLV 11	-0.15	-0.17	-1.74	Si

Verifiche a ribaltamento

Famiglia "Equilibrio", Famiglia "Limite ultimo", Famiglia "Limite ultimo sismico"

Si stampano le 5 situazioni più gravose per tipo di verifica
Coefficiente di sicurezza minimo 15.43

Comb.	Asse di rotazione								Verifica
	x1	y1	x2	y2	yR	Mrib	Mstb	c.s.	
SLV 16	-20	20	-20	-20	1.15	280	4317	15.43	Si
SLV 3	20	-20	20	20	1.15	280	4317	15.43	Si
SLV 4	20	-20	20	20	1.15	280	4317	15.43	Si
SLV 5	20	20	-20	20	1.15	280	4317	15.43	Si
SLV 6	20	20	-20	20	1.15	280	4317	15.43	Si

Verifiche geotecniche di scorrimento e capacità portante

Caratteristiche del terreno a contatto con il piano di posa della fondazione

Descrizione	γ naturale	γ saturo	Angolo Attrito Interno	Angolo Attrito δ	Coesione Efficace	Coesione Non Drenata	Coeff. Adesione
Ghiaia sabbiosa poco addensata	0.002	0.0022	38	25	0	0	1

Caratteristiche del terreno di progetto per la capacità portante della fondazione

Descrizione	γ naturale	γ saturo	Angolo Attrito Interno	Angolo Attrito δ	Coesione Efficace	Coesione Non Drenata	Coeff. Adesione
Suolo medio nel bulbo di influenza	0.002	0.0022	38	25	0	0	1

Caratteristiche del terreno laterale di approfondimento della fondazione

Descrizione	γ naturale	γ saturo	Angolo Attrito Interno	Angolo Attrito δ	Coesione Efficace	Coesione Non Drenata	Coeff. Adesione
Argilla sabbiosa_1	0.00195	0.00195	17	10	0.03	0.06	0.6

Verifiche a slittamento magrone-calcestruzzo

Famiglia "Limite ultimo"

Si stampano le 5 situazioni più gravose per tipo di verifica

Coefficiente di sicurezza minimo a slittamento cls-magrone 2106921688861.62

Comb.	Azione orizz.	Azione vert.	Attrito	Laterale	γ_R	Rd	Ed	Rd/Ed	Verifica
SLU 31	0	-323	35	0	1.1	205	0	2106921688861.62	Si
SLU 30	0	-323	35	0	1.1	205	0	2106921688861.62	Si
SLU 29	0	-323	35	0	1.1	205	0	2106921688861.62	Si
SLU 28	0	-323	35	0	1.1	205	0	2106921688861.62	Si
SLU 27	0	-323	35	0	1.1	205	0	2106921688861.62	Si

Famiglia "Limite ultimo sismico"

Si stampano le 5 situazioni più gravose per tipo di verifica

Coefficiente di sicurezza minimo a slittamento cls-magrone 183.85

Comb.	Azione orizz.	Azione vert.	Attrito	Laterale	γ_R	Rd	Ed	Rd/Ed	Verifica
SLV 1	1	-248	35	0	1.1	158	1	183.85	Si
SLV 2	1	-248	35	0	1.1	158	1	183.85	Si
SLV 3	1	-248	35	0	1.1	158	1	183.85	Si
SLV 4	1	-248	35	0	1.1	158	1	183.85	Si
SLV 5	1	-248	35	0	1.1	158	1	183.85	Si

Verifica di scorrimento

Famiglia "Limite ultimo"

Si stampano le 5 situazioni più gravose per tipo di verifica

Coefficiente di sicurezza minimo a scorrimento 3235602814935.22

Comb.	Azione orizz.	Azione vert.	Cond.	Adesione	Attrito	Laterale	γ_R	Rd	Ed	Rd/Ed	Verifica
SLU 40	0	-744	LT	0	25	0	1.1	315	0	3235602814935.22	Si
SLU 42	0	-744	LT	0	25	0	1.1	315	0	3235602814935.22	Si
SLU 31	0	-744	LT	0	25	0	1.1	315	0	3235602814935.22	Si
SLU 30	0	-744	LT	0	25	0	1.1	315	0	3235602814935.22	Si
SLU 29	0	-744	LT	0	25	0	1.1	315	0	3235602814935.22	Si

Famiglia "Limite ultimo sismico"

Si stampano le 5 situazioni più gravose per tipo di verifica

Coefficiente di sicurezza minimo a scorrimento 282.34

Comb.	Azione orizz.	Azione vert.	Cond.	Adesione	Attrito	Laterale	γ_R	Rd	Ed	Rd/Ed	Verifica
SLV 1	1	-572	LT	0	25	0	1.1	243	1	282.34	Si
SLV 2	1	-572	LT	0	25	0	1.1	243	1	282.34	Si
SLV 3	1	-572	LT	0	25	0	1.1	243	1	282.34	Si
SLV 4	1	-572	LT	0	25	0	1.1	243	1	282.34	Si
SLV 5	1	-572	LT	0	25	0	1.1	243	1	282.34	Si

Verifica di capacità portante

Famiglia "Limite ultimo"

Si stampano le 5 situazioni più gravose per tipo di verifica
Coefficiente di sicurezza minimo per portanza 36.04

Cmb	Fx	Fy	Fz	Mx	My	B'	L'	Cnd	Coes	Phi	Peso	Ovl	Amax	yR	Rd	Ed	Rd/Ed	Note	Verifica
SLU 42	0	0	-744	0	0	60	60	LT	0	38	0.002	0.14	0	2.3	26807	744	36.04		Si
SLU 41	0	0	-744	0	0	60	60	LT	0	38	0.002	0.14	0	2.3	26807	744	36.04		Si
SLU 31	0	0	-744	0	0	60	60	LT	0	38	0.002	0.14	0	2.3	26807	744	36.04		Si
SLU 30	0	0	-744	0	0	60	60	LT	0	38	0.002	0.14	0	2.3	26807	744	36.04		Si
SLU 29	0	0	-744	0	0	60	60	LT	0	38	0.002	0.14	0	2.3	26807	744	36.04		Si

Fattori di capacità portante in Famiglia "Limite ultimo"

N			S			D			I			G			P			E		
Nq	Nc	Ng	Sq	Sc	Sg	Dq	Dc	Dg	Iq	Ic	Ig	Gq	Gc	Gg	Pq	Pc	Pg	Eq	Ec	Eg
48.9	61.4	78	1.78	1.8	0.6	1.2	1.34	1	1	1	1	1	1	1	1	1	1	1	1	1
48.9	61.4	78	1.78	1.8	0.6	1.2	1.34	1	1	1	1	1	1	1	1	1	1	1	1	1
48.9	61.4	78	1.78	1.8	0.6	1.2	1.34	1	1	1	1	1	1	1	1	1	1	1	1	1
48.9	61.4	78	1.78	1.8	0.6	1.2	1.34	1	1	1	1	1	1	1	1	1	1	1	1	1
48.9	61.4	78	1.78	1.8	0.6	1.2	1.34	1	1	1	1	1	1	1	1	1	1	1	1	1

Famiglia "Limite ultimo sismico"

Si stampano le 5 situazioni più gravose per tipo di verifica
Coefficiente di sicurezza minimo per portanza 44.13

Cmb	Fx	Fy	Fz	Mx	My	B'	L'	Cnd	Coes	Phi	Peso	Ovl	Amax	yR	Rd	Ed	Rd/Ed	Note	Verifica
SLV 16	-1	0	-572	86	-288	59	60	LT	0	38	0.002	0.14	0.06	2.3	25252	572	44.13		Si
SLV 14	-1	0	-572	-86	-288	59	60	LT	0	38	0.002	0.14	0.06	2.3	25252	572	44.13		Si
SLV 13	-1	0	-572	-86	-288	59	60	LT	0	38	0.002	0.14	0.06	2.3	25252	572	44.13		Si
SLV 12	0	-1	-572	288	-86	59	60	LT	0	38	0.002	0.14	0.06	2.3	25252	572	44.13		Si
SLV 11	0	-1	-572	288	-86	59	60	LT	0	38	0.002	0.14	0.06	2.3	25252	572	44.13		Si

Fattori di capacità portante in Famiglia "Limite ultimo sismico"

N			S			D			I			G			P			E		
Nq	Nc	Ng	Sq	Sc	Sg	Dq	Dc	Dg	Iq	Ic	Ig	Gq	Gc	Gg	Pq	Pc	Pg	Eq	Ec	Eg
48.9	61.4	78	1.77	1.79	0.6	1.2	1.34	1	1	1	1	1	1	1	1	1	1	0.97	0.98	0.97
48.9	61.4	78	1.77	1.79	0.6	1.2	1.34	1	1	1	1	1	1	1	1	1	1	0.97	0.98	0.97
48.9	61.4	78	1.77	1.79	0.6	1.2	1.34	1	1	1	1	1	1	1	1	1	1	0.97	0.98	0.97
48.9	61.4	78	1.77	1.79	0.6	1.2	1.34	1	1	1	1	1	1	1	1	1	1	0.97	0.98	0.97
48.9	61.4	78	1.77	1.79	0.6	1.2	1.34	1	1	1	1	1	1	1	1	1	1	0.97	0.98	0.97

Verifiche della suola

Superficie su cui è valutata la pressione del suolo: rettangolare a filo pilastro

Non sono state richieste le verifiche a taglio della suola.

Armatura inferiore in direzione X 4 diam. 12 mm Armatura superiore in direzione X 4 diam. 12 mm

Armatura inferiore in direzione Y 4 diam. 12 mm Armatura superiore in direzione Y 4 diam. 12 mm

Famiglia "Limite ultimo"

Si stampano le 5 situazioni più gravose per tipo di verifica

Coefficiente di sicurezza minimo a flessione 986.93

Desc.	Tipo sez.	Comb.	M	Mu	Verifica
norm.Y+	filo pil.	SLU 10	-899	-887043	Si
norm.Y-	filo pil.	SLU 26	-899	-887043	Si
norm.Y+	filo pil.	SLU 12	-899	-887043	Si
norm.Y+	filo pil.	SLU 13	-899	-887043	Si
norm.Y+	filo pil.	SLU 23	-899	-887043	Si

Famiglia "Esercizio rara"

Si stampano le 5 situazioni più gravose per tipo di verifica

Valori limite: σ lim. 149.4 σ lim. 3600

Coefficiente di sicurezza minimo per verifica tensioni 6305.41

Desc.	Tipo sez.	Comb.	M	Fessurata	σC	σF	Verifica
norm.Y+	filo pil.	SLE RA 13	-589	No	0	0.1	Si
norm.Y-	filo pil.	SLE RA 11	-589	No	0	0.1	Si
norm.Y-	filo pil.	SLE RA 10	-589	No	0	0.1	Si
norm.Y-	filo pil.	SLE RA 12	-589	No	0	0.1	Si
norm.Y+	filo pil.	SLE RA 12	-589	No	0	0.1	Si

Famiglia "Esercizio frequente"

Si stampano le 5 situazioni più gravose per tipo di verifica

Valori limite di apertura fessure: w lim. 0.03

Coefficiente di sicurezza minimo per apertura fessure 999

Desc.	Tipo sez.	Comb.	M	Fessurata	wd	Verifica
norm.X+	filo pil.	SLE FR 1	31	No	0	Si
norm.Y-	filo pil.	SLE FR 4	31	No	0	Si
norm.Y-	filo pil.	SLE FR 3	31	No	0	Si
norm.Y-	filo pil.	SLE FR 2	31	No	0	Si
norm.Y-	filo pil.	SLE FR 1	31	No	0	Si

Famiglia "Esercizio quasi permanente"

Si stampano le 5 situazioni più gravose per tipo di verifica

Valori limite: σ lim. 112.1 w lim. 0.02

Coefficiente di sicurezza minimo per verifica tensioni 94573.82

Coefficiente di sicurezza minimo per apertura fessure 999

Desc.	Tipo sez.	Comb.	M	Fessurata	σC	wd	Verifica
norm.Y+	filo pil.	SLE QP 1	31	No	0	0	Si
norm.Y+	filo pil.	SLE QP 2	31	No	0	0	Si
norm.Y-	filo pil.	SLE QP 1	31	No	0	0	Si
norm.Y-	filo pil.	SLE QP 2	31	No	0	0	Si
norm.X-	filo pil.	SLE QP 1	31	No	0	0	Si

Famiglia "Limite ultimo sismico"

Si stampano le 5 situazioni più gravose per tipo di verifica
Coefficiente di sicurezza minimo a flessione 5649.4

Desc.	Tipo sez.	Comb.	M	Mu	Verifica
norm.Y+	filo pil.	SLV 5	145	820552	Si
norm.Y+	filo pil.	SLV 6	145	820552	Si
norm.Y+	filo pil.	SLV 9	145	820552	Si
norm.Y-	filo pil.	SLV 12	145	820552	Si
norm.Y-	filo pil.	SLV 11	145	820552	Si

Verifiche a punzonamento

Famiglia "Limite ultimo"

Verifiche in adiacenza all'elemento punzonante (perimetro U0)

Coefficiente di sicurezza minimo 2152.44

Comb.	Elemento punzonante	d	Perimetro	Perim. minim.	N	β	Peso cono	Reazione suolo	VEd,red	VRd,max	Verifica
SLU 44	pilastro	51.3	16	No	-11	1	3	4	0.01	28.22	Si
SLU 42	pilastro	51.3	16	No	-11	1	3	4	0.01	28.22	Si
SLU 41	pilastro	51.3	16	No	-11	1	3	4	0.01	28.22	Si
SLU 40	pilastro	51.3	16	No	-11	1	3	4	0.01	28.22	Si
SLU 31	pilastro	51.3	16	No	-11	1	3	4	0.01	28.22	Si

Verifiche a distanza $\leq 2d$ dall'elemento punzonante (perimetro U1)

Coefficiente di sicurezza minimo 49317.87

Comb.	Elem. punz.	d	Offset	Perim. utile	Perim. minim.	N	β	Peso cono	Reazione suolo	VEd,red	ρ_l	VRd	Asw	VRd,cs	Verifica
SLU 44	pilastro	51.3	2.1	29	No	-11	1	6	13	0	0.0019	180.79	0	0	Si
SLU 27	pilastro	51.3	2.1	29	No	-11	1	6	13	0	0.0019	180.79	0	0	Si
SLU 28	pilastro	51.3	2.1	29	No	-11	1	6	13	0	0.0019	180.79	0	0	Si
SLU 29	pilastro	51.3	2.1	29	No	-11	1	6	13	0	0.0019	180.79	0	0	Si
SLU 30	pilastro	51.3	2.1	29	No	-11	1	6	13	0	0.0019	180.79	0	0	Si

Coordinate del perimetro del cono punzonante a distanza 2.1 dal pilastro

Vert.	x	y	Vert.	x	y	Vert.	x	y	Vert.	x	y	Vert.	x	y	Vert.	x	y
1	4.6	0	2	4.5	0.9	3	4.2	1.7	4	3.8	2.5	5	3.2	3.2	6	2.5	3.8
7	1.7	4.2	8	0.9	4.5	9	0	4.6	10	-0.9	4.5	11	-1.7	4.2	12	-2.5	3.8
13	-3.2	3.2	14	-3.8	2.5	15	-4.2	1.7	16	-4.5	0.9	17	-4.6	0	18	-4.5	-0.9
19	-4.2	-1.7	20	-3.8	-2.5	21	-3.2	-3.2	22	-2.5	-3.8	23	-1.7	-4.2	24	-0.9	-4.5
25	0	-4.6	26	0.9	-4.5	27	1.7	-4.2	28	2.5	-3.8	29	3.2	-3.2	30	3.8	-2.5
31	4.2	-1.7	32	4.5	-0.9												

Famiglia "Limite ultimo sismico"

Verifiche in adiacenza all'elemento punzonante (perimetro U0)

Coefficiente di sicurezza minimo 872

Comb.	Elemento punzonante	d	Perimetro	Perim. minim.	N	β	Peso cono	Reazione suolo	VEd,red	VRd,max	Verifica
SLV 16	pilastro	51.3	16	No	-8	3.21	3	3	0.03	28.22	Si
SLV 14	pilastro	51.3	16	No	-8	3.21	3	3	0.03	28.22	Si
SLV 13	pilastro	51.3	16	No	-8	3.21	3	3	0.03	28.22	Si
SLV 12	pilastro	51.3	16	No	-8	3.21	3	3	0.03	28.22	Si
SLV 11	pilastro	51.3	16	No	-8	3.21	3	3	0.03	28.22	Si

Verifiche a distanza $\leq 2d$ dall'elemento punzonante (perimetro U1)

Coefficiente di sicurezza minimo 22134.9

Comb.	Elem. punz.	d	Offset	Perim. utile	Perim. minim.	N	β	Peso cono	Reazione suolo	VEd,red	ρ_l	VRd	Asw	VRd,cs	Verifica
SLV 16	pilastro	51.3	2.1	29	No	-8	2.9	6	10	0.01	0.0019	180.79	0	0	Si
SLV 1	pilastro	51.3	2.1	29	No	-8	2.9	6	10	0.01	0.0019	180.79	0	0	Si
SLV 2	pilastro	51.3	2.1	29	No	-8	2.9	6	10	0.01	0.0019	180.79	0	0	Si
SLV 3	pilastro	51.3	2.1	29	No	-8	2.9	6	10	0.01	0.0019	180.79	0	0	Si
SLV 4	pilastro	51.3	2.1	29	No	-8	2.9	6	10	0.01	0.0019	180.79	0	0	Si

Coordinate del perimetro del cono punzonante a distanza 2.1 dal pilastro

Vert.	x	y	Vert.	x	y	Vert.	x	y	Vert.	x	y	Vert.	x	y	Vert.	x	y
1	4.6	0	2	4.5	0.9	3	4.2	1.7	4	3.8	2.5	5	3.2	3.2	6	2.5	3.8
7	1.7	4.2	8	0.9	4.5	9	0	4.6	10	-0.9	4.5	11	-1.7	4.2	12	-2.5	3.8
13	-3.2	3.2	14	-3.8	2.5	15	-4.2	1.7	16	-4.5	0.9	17	-4.6	0	18	-4.5	-0.9
19	-4.2	-1.7	20	-3.8	-2.5	21	-3.2	-3.2	22	-2.5	-3.8	23	-1.7	-4.2	24	-0.9	-4.5
25	0	-4.6	26	0.9	-4.5	27	1.7	-4.2	28	2.5	-3.8	29	3.2	-3.2	30	3.8	-2.5
31	4.2	-1.7	32	4.5	-0.9												

Verifiche montanti in acciaio

Le unità di misura elencate nel capitolo sono in [cm, daN, deg] ove non espressamente specificato.

Sezione: sezione in acciaio.

Rotazione: rotazione della sezione. [deg]

Area: area inerziale nel sistema geometrico centrato nel baricentro. [cm²]

Jx: momento d'inerzia attorno all'asse orizzontale baricentrico di definizione della sezione. [cm⁴]

Jy: momento d'inerzia attorno all'asse verticale baricentrico di definizione della sezione. [cm⁴]

ix: raggio di inerzia relativo all'asse x. [cm]

iy: raggio di inerzia relativo all'asse y. [cm]

Wx: modulo di resistenza elastico minimo relativo all'asse x. [cm³]

Wy: modulo di resistenza elastico minimo relativo all'asse y. [cm³]

Wplx: modulo di resistenza plastico relativo all'asse x. [cm³]

Wply: modulo di resistenza plastico relativo all'asse y. [cm³]

X: distanza dal nodo iniziale. [cm]

Comb.: combinazione di verifica.

Sfruttamento: rapporto di sfruttamento per la verifica in esame, inverso del coefficiente di sicurezza. Verificato se minore o uguale di 1.

Classe: classe della sezione.

NEd: sollecitazione assiale. [daN]

Nc,Rd: resistenza assiale a compressione ridotta per taglio. [daN]

Nt,Rd: resistenza assiale a trazione ridotta per taglio. [daN]

Riduzione da taglio: rapporto tra la resistenza assiale ridotta per taglio e la resistenza assiale.

px: coefficiente di riduzione della resistenza di snervamento per taglio in direzione x.

py: coefficiente di riduzione della resistenza di snervamento per taglio in direzione y.

Verifica: stato di verifica.

VEd: sollecitazione di taglio. [daN]

Vc,Rd: resistenza a taglio. [daN]

Av: area resistenza a taglio. [cm²]

Interazione taglio-torsione: indica se è possibile ridurre il taglio resistente per presenza di torsione.

Riduzione torsione: coefficiente riduttivo della resistenza a taglio per presenza di torsione.

Mx,Ed: sollecitazione flettente attorno x-x. [daN*cm]

Mx,Rd: resistenza a flessione attorno x-x ridotta per taglio. [daN*cm]

Rid. Mx,Rd da VEd: rapporto tra la resistenza flettente ridotta per taglio e la resistenza flettente attorno x-x.

My,Ed: sollecitazione flettente attorno y-y. [daN*cm]

My,Rd: resistenza a flessione attorno y-y ridotta per taglio. [daN*cm]

Rid. My,Rd da VEd: rapporto tra la resistenza flettente ridotta per taglio e la resistenza flettente attorno y-y.

α: esponente α per flessione deviata.

β: esponente β per flessione deviata.

NRd: resistenza assiale ridotta per taglio. [daN]

Rid. NRd da VEd: rapporto tra la resistenza assiale ridotta per taglio e la resistenza assiale.

Mx,Rd: resistenza a flessione attorno x-x ridotta. [daN*cm]

Rid. Mx,Rd da NEd: rapporto tra la resistenza flettente ridotta per sforzo normale e taglio e la resistenza flettente ridotta per taglio attorno x-x.

My,Rd: resistenza a flessione attorno y-y ridotta. [daN*cm]

Rid. My,Rd da NEd: rapporto tra la resistenza flettente ridotta per sforzo normale e taglio e la resistenza flettente ridotta per taglio attorno y-y.

Numero rit.: numero del ritegno.

Presente: indica se il ritegno è presente o meno.

Ascissa: ascissa del ritegno rispetto al nodo iniziale del superelemento o ascissa iniziale e finale della campata. [cm]

Campata: campata tra i ritegni.

βx/m: coefficiente di lunghezza efficace per rotazione attorno a x/m.

Vincolo a entrambi estremi: indica se il tratto è vincolato a entrambi gli estremi.

λx/m: snellezza attorno a x/m del tratto tra i due ritegni.

λVer: snellezza accettabile.

βy/n: coefficiente di lunghezza efficace per rotazione attorno a y/n.

k,LT: coefficiente di lunghezza efficace per rotazione nel calcolo del momento critico ENV1993-1-1 F 1.2(3).

kw,LT: coefficiente di lunghezza efficace per ingobbamento nel calcolo del momento critico ENV1993-1-1 F 1.2(4).

λy/n: snellezza attorno a y/n del tratto tra i due ritegni.

Obblig.: indica se la verifica è obbligatoria da norma.

Nb,Rd: resistenza a instabilità della membratura compressa. [daN]

χ,min: coefficiente di riduzione minimo.

I0 x/m: lunghezza libera di inflessione per inflessione attorno l'asse x-x / m-m. [cm]

I0 y/n: lunghezza libera di inflessione per inflessione attorno l'asse y-y / n-n. [cm]

λ adim. x/m: snellezza adimensionale per inflessione attorno l'asse x-x / m-m.

λ adim. y/n: snellezza adimensionale per inflessione attorno l'asse y-y / n-n.

N,crit x/m: carico critico per inflessione attorno all'asse x-x / m-m. [daN]

N,crit y/n: carico critico per inflessione attorno all'asse y-y / n-n. [daN]

Mb,Rd,x: momento resistente di progetto per l'instabilità per sollecitazione flettente attorno l'asse x-x. [daN*cm]

χ,LT: coefficiente di riduzione per instabilità flessio-torsionale.

λ adim. LT: snellezza adimensionale per instabilità flessio-torsionale.

L,LT: distanza tra due ritegni torsionali. [cm]

M,critico: momento critico. [daN*cm]

Mx,Eff,Ed: momento interno efficace di verifica attorno x-x secondo ENV1993-1-1 §5.5.3. [daN*cm]

NRk: resistenza caratteristica assiale. [daN]

$M_x, Ed \max$: momento sollecitante massimo attorno l'asse x-x tra due ritegni all'inflessione attorno x-x. [daN*cm]

M_x, Rk : resistenza caratteristica a flessione attorno l'asse x-x. [daN*cm]

$M_y, Ed \max$: momento sollecitante massimo attorno l'asse y-y tra due ritegni all'inflessione attorno y-y. [daN*cm]

M_y, Rk : resistenza caratteristica a flessione attorno l'asse y-y. [daN*cm]

χ_x : coefficiente di riduzione per inflessione attorno l'asse x-x.

χ_y : coefficiente di riduzione per inflessione attorno l'asse y-y.

k_{xx} : valore di k_{xx} .

k_{xy} : valore di k_{xy} .

k_{yx} : valore di k_{yx} .

k_{yy} : valore di k_{yy} .

η : valore di η .

hw : altezza dell'anima. [cm]

tw : spessore dell'anima. [cm]

$hw/tw \max$: rapporto tra hw e tw massimo.

LOCALITA' SAL DI COLLINA

Montante recinzione area

Caratteristiche del materiale

Acciaio: S235, fyk = 2350

Caratteristiche geometriche

Lunghezza: 280

Nodo iniziale: 37 Nodo finale: 64

Cerniera iniziale: No Cerniera finale: No

Sovraresistenza: 0% Sisma Z: No

Caratteristiche della sezione

Sezione	Rotazione	Area	Jx	Jy	ix	iy	Wx	Wy	Wplx	Wply
EN10219 50x50x2	0	3.74	14.15	14.15	1.95	1.95	5.66	5.66	6.66	6.66

Verifiche di resistenza

Verifiche a forza assiale §4.2.4.1.2.1 - §4.2.4.1.2.2 NTC18

X	Comb.	Sfruttamento	Classe	NEd	Nc,Rd	Nt,Rd	Riduzione da taglio	px	py	Verifica
46.7	SLU 12	0.028		236.2		8363.7	1	0	0	Si

Verifiche a forza assiale SLD §4.2.4.1.2.1 - §4.2.4.1.2.2 NTC18

X	Comb.	Sfruttamento	Classe	NEd	Nc,Rd	Nt,Rd	Riduzione da taglio	px	py	Verifica
0	SLD 1	0.001	1	-8.2	8363.7		1	0	0	Si

Verifica a flessione semplice X §§ 4.2.4.1.2.3 - 4.2.4.1.2.6 - 4.2.4.1.2.7 - 4.2.4.1.2.8 NTC18

X	Comb.	Sfruttamento	Classe	Mx,Ed	Mx,Rd	Rid. Mx,Rd da VEd	px	py	Verifica
261.3	SLV 5	0.001	1	15.4	14911	1	0	0	Si

Verifica a flessione semplice X SLD §§ 4.2.4.1.2.3 - 4.2.4.1.2.6 - 4.2.4.1.2.7 - 4.2.4.1.2.8 NTC18

X	Comb.	Sfruttamento	Classe	Mx,Ed	Mx,Rd	Rid. Mx,Rd da VEd	px	py	Verifica
233.3	SLD 5	0.001	1	16.3	14911	1	0	0	Si

Verifica a flessione semplice Y §§ 4.2.4.1.2.3 - 4.2.4.1.2.6 - 4.2.4.1.2.7 - 4.2.4.1.2.8 NTC18

X	Comb.	Sfruttamento	Classe	My,Ed	My,Rd	Rid. My,Rd da VEd	px	py	Verifica
261.3	SLV 1	0.001	1	-15.4	14911	1	0	0	Si

Verifica a flessione semplice Y SLD §§ 4.2.4.1.2.3 - 4.2.4.1.2.6 - 4.2.4.1.2.7 - 4.2.4.1.2.8 NTC18

X	Comb.	Sfruttamento	Classe	My,Ed	My,Rd	Rid. My,Rd da VEd	px	py	Verifica
233.3	SLD 1	0.001	1	-16.3	14911	1	0	0	Si

Verifica a flessione deviata §§ 4.2.4.1.2.3 - 4.2.4.1.2.6 - 4.2.4.1.2.7 - 4.2.4.1.2.8 NTC18

X	Comb.	Sfruttamento	Classe	Mx,Ed	Mx,Rd	My,Ed	My,Rd	Rid. Mx,Rd da VEd	Rid. My,Rd da VEd	α	β	ρ_x	ρ_y	Verifica
158.7	SLV 1	0.009	1	30	14911	-100	14911	1	1			0	0	Si

Verifica a flessione deviata SLD §§ 4.2.4.1.2.3 - 4.2.4.1.2.6 - 4.2.4.1.2.7 - 4.2.4.1.2.8 NTC18

X	Comb.	Sfruttamento	Classe	Mx,Ed	Mx,Rd	My,Ed	My,Rd	Rid. Mx,Rd da VEd	Rid. My,Rd da VEd	α	β	ρ_x	ρ_y	Verifica
158.7	SLD 1	0.004	1	13	14911	-42	14911	1	1			0	0	Si

Verifica a presso/tenso flessione deviata §§ 4.2.4.1.2.3 - 4.2.4.1.2.6 - 4.2.4.1.2.7 - 4.2.4.1.2.8 NTC18

Verifiche eseguite utilizzando la formula conservativa (6.2) §6.2.1 EN 1993-1-1:2005.

X	Comb.	Sfruttamento	Classe	NEd	NRd	Rid. NRd da VEd	Mx,Ed	Mx,Rd	My,Ed	My,Rd	Rid. Mx,Rd da VEd	Rid. Mx,Rd da NEd	Rid. My,Rd da VEd	Rid. My,Rd da NEd	α	β	ρ_x	ρ_y	Verifica
0	SLV 1	0.021	1	-8.2	8363.7	1	69	14911	-230	14911	1		1				0	0	Si

Verifica a presso/tenso flessione deviata SLD §§ 4.2.4.1.2.3 - 4.2.4.1.2.6 - 4.2.4.1.2.7 - 4.2.4.1.2.8 NTC18

Verifiche eseguite utilizzando la formula conservativa (6.2) §6.2.1 EN 1993-1-1:2005.

X	Comb.	Sfruttamento	Classe	NEd	NRd	Rid. NRd da VEd	Mx,Ed	Mx,Rd	My,Ed	My,Rd	Rid. Mx,Rd da VEd	Rid. Mx,Rd da NEd	Rid. My,Rd da VEd	Rid. My,Rd da NEd	α	β	ρ_x	ρ_y	Verifica
0	SLD 1	0.009	1	-8.2	8363.7	1	29	14911	-98	14911	1		1				0	0	Si

Verifiche ad instabilità
Caratteristiche iniziali

Membratura principale per controllo snellezza; Calcolo di snellezze ed N critici condotti secondo gli assi principali;

Curva X: c; Curva Y: c; Svergolamento: Carico all'estradosso; Curva svergolamento: d;

Dati per instabilità attorno a x

Numero rit.	Presente	Ascissa	Campata	β_x/m	Vincolo a entrambi estremi	λ_x/m	λ_{Ver}
1	Si	0					
			1-2	1	Si	143.9	Si, (<200)
2	Si	280					

Dati per instabilità attorno a y

Numero rit.	Presente	Ascissa	Campata	β_y/n	k,LT	kw,LT	Vincolo a entrambi estremi	λ_y/n	λ_{Ver}
1	Si	0							
			1-2	1	1	1	Si	143.9	Si, (<200)
2	Si	280							

Verifica di stabilità membrature compresse §4.2.4.1.3.1 NTC18

X	Comb.	Sfruttamento	Classe	Obblig.	NEd	Nb,Rd	χ_{min}	I_0 x/m	I_0 y/n	λ adim. x/m	λ adim. y/n	N,crit x/m	N,crit y/n	Verifica
0	SLU 31	0.004	1	No	-10.7	2544.9	0.304	280	280	1.532	1.532	3740	3740	Si

Verifica di stabilità per pressoflessione §C.4.2.4.1.3.3.2 NTC18

X	Comb.	Sfruttamento	Classe	NEd	NRk	Mx,Ed max	Mx,Rk	My,Ed max	My,Rk	χ_x	χ_y	k _{xx}	k _{xy}	k _{yx}	k _{yy}	χ_{LT}	Verifica
0	SLV 9	0.021	1	-8.2	8781.9	230.4	15656.5	69.1	15656.5	0.304	0.304	0.602	0.361	0.999	0.602	1	Si

Verifica di stabilità per pressoflessione SLD §C.4.2.4.1.3.3.2 NTC18

X	Comb.	Sfruttamento	Classe	NEd	NRk	Mx,Ed max	Mx,Rk	My,Ed max	My,Rk	χ_x	χ_y	k _{xx}	k _{xy}	k _{yx}	k _{yy}	χ_{LT}	Verifica
0	SLD 6	0.011	1	-8.2	8781.9	97.7	15656.5	29.3	15656.5	0.304	0.304	0.602	0.361	0.999	0.602	1	Si

Verifiche a deformabilità

Mensola X: No; Mensola Y: No.

Verifiche non eseguite in quanto il superelemento è verticale.

Pilastro per sostegno cancelletto accesso pedonale

Caratteristiche del materiale

Acciaio: S235, fyk = 2350

Caratteristiche geometriche

Lunghezza: 280

Nodo iniziale: 33 Nodo finale: 63

Cerniera iniziale: No Cerniera finale: No

Sovreresistenza: 0% Sisma Z: No

Caratteristiche della sezione

Sezione	Rotazione	Area	Jx	Jy	ix	iy	Wx	Wy	Wplx	Wply
EN10219 100x100x5	0	18.36	271.1	271.1	3.84	3.84	54.22	54.22	64.59	64.59

Verifiche di resistenza

Verifiche a forza assiale §4.2.4.1.2.1 - §4.2.4.1.2.2 NTC18

X	Comb.	Sfruttamento	Classe	NEd	Nc,Rd	Nt,Rd	Riduzione da taglio	px	py	Verifica
0	SLU 41	0.004	1	-172.5	41082.9		1	0	0	Si

Verifiche a forza assiale SLD §4.2.4.1.2.1 - §4.2.4.1.2.2 NTC18

X	Comb.	Sfruttamento	Classe	NEd	Nc,Rd	Nt,Rd	Riduzione da taglio	px	py	Verifica
0	SLD 1	0.003	1	-120.3	41082.9		1	0	0	Si

Verifica a taglio X §4.2.4.1.2.4 NTC18

X	Comb.	Sfruttamento	VEd	Vc,Rd	Av	Interazione taglio-torsione	Riduzione torsione	Verifica
0	SLV 1	0.001	-12.1	11859.6	9.18	Considerata	1	Si

Verifica a taglio Y §4.2.4.1.2.4 NTC18

X	Comb.	Sfruttamento	VEd	Vc,Rd	Av	Interazione taglio-torsione	Riduzione torsione	Verifica
9.3	SLU 38	0.026	310.5	11859.6	9.18	Considerata	1	Si

Verifica a flessione semplice X §§ 4.2.4.1.2.3 - 4.2.4.1.2.6 - 4.2.4.1.2.7 - 4.2.4.1.2.8 NTC18

X	Comb.	Sfruttamento	Classe	Mx,Ed	Mx,Rd	Rid. Mx,Rd da VEd	px	py	Verifica
233.3	SLU 24	0.01	1	-1470	144561.8	1	0	0	Si

Verifica a flessione semplice X SLD §§ 4.2.4.1.2.3 - 4.2.4.1.2.6 - 4.2.4.1.2.7 - 4.2.4.1.2.8 NTC18

X	Comb.	Sfruttamento	Classe	Mx,Ed	Mx,Rd	Rid. Mx,Rd da VEd	px	py	Verifica
252	SLD 5	0.001	1	143.1	144561.8	1	0	0	Si

Verifica a flessione semplice Y §§ 4.2.4.1.2.3 - 4.2.4.1.2.6 - 4.2.4.1.2.7 - 4.2.4.1.2.8 NTC18

X	Comb.	Sfruttamento	Classe	My,Ed	My,Rd	Rid. My,Rd da VEd	px	py	Verifica
270.7	SLV 1	0.001	1	-112.5	144561.8	1	0	0	Si

Verifica a flessione semplice Y SLD §§ 4.2.4.1.2.3 - 4.2.4.1.2.6 - 4.2.4.1.2.7 - 4.2.4.1.2.8 NTC18

X	Comb.	Sfruttamento	Classe	My,Ed	My,Rd	Rid. My,Rd da VEd	px	py	Verifica
252	SLD 1	0.001	1	-143.1	144561.8	1	0	0	Si

Verifica a flessione deviata §§ 4.2.4.1.2.3 - 4.2.4.1.2.6 - 4.2.4.1.2.7 - 4.2.4.1.2.8 NTC18

X	Comb.	Sfruttamento	Classe	Mx,Ed	Mx,Rd	My,Ed	My,Rd	Rid. Mx,Rd da VEd	Rid. My,Rd da VEd	α	β	px	py	Verifica
233.3	SLV 1	0.005	1	169	144562	-563	144562	1	1			0	0	Si

Verifica a flessione deviata SLD §§ 4.2.4.1.2.3 - 4.2.4.1.2.6 - 4.2.4.1.2.7 - 4.2.4.1.2.8 NTC18

X	Comb.	Sfruttamento	Classe	Mx,Ed	Mx,Rd	My,Ed	My,Rd	Rid. Mx,Rd da VEd	Rid. My,Rd da VEd	α	β	px	py	Verifica
233.3	SLD 1	0.002	1	72	144562	-238	144562	1	1			0	0	Si

Verifica a presso/tenso flessione retta X §§ 4.2.4.1.2.3 - 4.2.4.1.2.6 - 4.2.4.1.2.7 - 4.2.4.1.2.8 NTC18

Verifiche eseguite utilizzando la formula conservativa (6.2) §6.2.1 EN 1993-1-1:2005.

X	Comb.	Sfruttamento	Classe	NEd	NRd	Rid. NRd da VEd	Mx,Ed	Mx,Rd	Rid. Mx,Rd da VEd	Rid. Mx,Rd da NEd	px	py	Verifica
0	SLU 50	0.359	1	-172.5	41082.9	1	-51233	144562	1		0	0	Si

Verifica a presso/tenso flessione retta Y §§ 4.2.4.1.2.3 - 4.2.4.1.2.6 - 4.2.4.1.2.7 - 4.2.4.1.2.8 NTC18

Verifiche eseguite utilizzando la formula conservativa (6.2) §6.2.1 EN 1993-1-1:2005.

X	Comb.	Sfruttamento	Classe	NEd	NRd	Rid. NRd da VEd	My,Ed	My,Rd	Rid. My,Rd da VEd	Rid. My,Rd da NEd	px	py	Verifica
177.3	SLV 7	0.004	1	-54.8	41082.9	1	-371	144562	1		0	0	Si

Verifica a presso/tenso flessione deviata §§ 4.2.4.1.2.3 - 4.2.4.1.2.6 - 4.2.4.1.2.7 - 4.2.4.1.2.8 NTC18

Verifiche eseguite utilizzando la formula conservativa (6.2) §6.2.1 EN 1993-1-1:2005.

X	Comb.	Sfruttamento	Classe	NEd	NRd	Rid. NRd da VEd	Mx,Ed	Mx,Rd	My,Ed	My,Rd	Rid. Mx,Rd da VEd	Rid. Mx,Rd da NEd	Rid. My,Rd da VEd	Rid. My,Rd da NEd	α	β	px	py	Verifica
0	SLV 1	0.05	1	-120.3	41082.9	1	3413	144562	-3376	144562	1		1				0	0	Si

Verifica a presso/tenso flessione deviata SLD §§ 4.2.4.1.2.3 - 4.2.4.1.2.6 - 4.2.4.1.2.7 - 4.2.4.1.2.8 NTC18

Verifiche eseguite utilizzando la formula conservativa (6.2) §6.2.1 EN 1993-1-1:2005.

X	Comb.	Sfruttamento	Classe	NEd	NRd	Rid. NRd da VEd	Mx,Ed	Mx,Rd	My,Ed	My,Rd	Rid. Mx,Rd da VEd	Rid. Mx,Rd da NEd	Rid. My,Rd da VEd	Rid. My,Rd da NEd	α	β	px	py	Verifica
0	SLD 1	0.032	1	-120.3	41082.9	1	2829	144562	-1431	144562	1		1				0	0	Si

Verifiche ad instabilità
Caratteristiche iniziali

Membratura principale per controllo snellezza; Calcolo di snellezze ed N critici condotti secondo gli assi principali;

Curva X: c; Curva Y: c; Svergolamento: Carico all'estradosso; Curva svergolamento: d;

Dati per instabilità attorno a x

Numero rit.	Presente	Ascissa	Campata	$\beta x/m$	Vincolo a entrambi estremi	$\lambda x/m$	λVer
1	Si		0				
			1-2		1	72.9	Si, (<200)
2	Si		280				

Dati per instabilità attorno a y

Numero rit.	Presente	Ascissa	Campata	$\beta y/n$	k,LT	kw,LT	Vincolo a entrambi estremi	$\lambda y/n$	λVer
1	Si	0							
			1-2	1	1	1	Si	72.9	Si, (<200)
2	Si	280							

Verifica di stabilità membrature compresse §4.2.4.1.3.1 NTC18

X	Comb.	Sfruttamento	Classe	Obblig.	NEd	Nb,Rd	χ_{min}	I0 x/m	I0 y/n	λ adim. x/m	λ adim. y/n	N,crit x/m	N,crit y/n	Verifica
0	SLU 41	0.006	1	No	-172.5	27827.4	0.677	280	280	0.776	0.776	71669.7	71669.7	Si

Verifica a svergolamento §4.2.4.1.3.2 NTC18

X	Comb.	Sfruttamento	Classe	Obblig.	Mx,Ed	Mb,Rd,x	χ_{LT}	λ adim. LT	L,LT	M,critico	Verifica
233.3	SLU 50	0.01	1	Si	-1470	144561.8	1	0.126	280	9493583.7	Si

Verifica di stabilità per pressoflessione §C.4.2.4.1.3.3.2 NTC18

X	Comb.	Sfruttamento	Classe	NEd	NRk	Mx,Ed max	Mx,Rk	My,Ed max	My,Rk	χ_x	χ_y	kxx	kxy	kyy	χ_{LT}	Verifica	
0	SLU 50	0.36	1	-172.5	43137.1	51232.5	151789.9	0	151789.9	0.677	0.677	0.408	0.361	0.997	0.602	1	Si

Verifica di stabilità per pressoflessione SLD §C.4.2.4.1.3.3.2 NTC18

X	Comb.	Sfruttamento	Classe	NEd	NRk	Mx,Ed max	Mx,Rk	My,Ed max	My,Rk	χ_x	χ_y	kxx	kxy	kyy	χ_{LT}	Verifica	
0	SLD 5	0.033	1	-120.3	43137.1	3830.9	151789.9	429.3	151789.9	0.677	0.677	0.601	0.361	0.999	0.601	1	Si

Verifica di stabilità a taglio anima X §4.2.4.1.2.4 [4.2.27] NTC18

η	hw	tw	hw/tw max	Verifica	
1.2		9	0.5	60	Si

Verifica di stabilità a taglio anima Y §4.2.4.1.2.4 [4.2.27] NTC18

η	hw	tw	hw/tw max	Verifica	
1.2		9	0.5	60	Si

Verifiche a deformabilità

Mensola X: No; Mensola Y: No.

Verifiche non eseguite in quanto il superelemento è verticale.

Pilastro per sostegno cancello accesso carraio – pilastro dx

Caratteristiche del materiale

Acciaio: S235, fyk = 2350

Caratteristiche geometriche

Lunghezza: 280

Nodo iniziale: 28 Nodo finale: 61

Cerniera iniziale: No Cerniera finale: No

Sovreresistenza: 0% Sisma Z: No

Caratteristiche della sezione

Sezione	Rotazione	Area	Jx	Jy	ix	iy	Wx	Wy	Wplx	Wply
EN10219 150x150x5	0	28.36	982.12	982.12	5.89	5.89	130.95	130.95	152.98	152.98

Verifiche di resistenza

Verifiche a forza assiale §4.2.4.1.2.1 - §4.2.4.1.2.2 NTC18

X	Comb.	Sfruttamento	Classe	NEd	Nc,Rd	Nt,Rd	Riduzione da taglio	px	py	Verifica
0	SLU 42	0.004	1	-231	63463.9		1	0	0	Si

Verifiche a forza assiale SLD §4.2.4.1.2.1 - §4.2.4.1.2.2 NTC18

X	Comb.	Sfruttamento	Classe	NEd	Nc,Rd	Nt,Rd	Riduzione da taglio	px	py	Verifica
0	SLD 1	0.003	1	-162.3	63463.9		1	0	0	Si

Verifica a taglio X §4.2.4.1.2.4 NTC18

X	Comb.	Sfruttamento	VEd	Vc,Rd	Av	Interazione taglio-torsione	Riduzione torsione	Verifica
0	SLV 1	0.001	-16.3	18320.4	14.18	Considerata	1	Si

Verifica a taglio Y §4.2.4.1.2.4 NTC18

X	Comb.	Sfruttamento	VEd	Vc,Rd	Av	Interazione taglio-torsione	Riduzione torsione	Verifica
0	SLV 5	0.001	-16.3	18320.4	14.18	Considerata	1	Si

Verifica a flessione semplice X §§ 4.2.4.1.2.3 - 4.2.4.1.2.6 - 4.2.4.1.2.7 - 4.2.4.1.2.8 NTC18

X	Comb.	Sfruttamento	Classe	Mx,Ed	Mx,Rd	Rid. Mx,Rd da VEd	px	py	Verifica
28	SLU 22	0.013	1	4500	342388.1	1	0	0	Si

Verifica a flessione semplice X SLD §§ 4.2.4.1.2.3 - 4.2.4.1.2.6 - 4.2.4.1.2.7 - 4.2.4.1.2.8 NTC18

X	Comb.	Sfruttamento	Classe	Mx,Ed	Mx,Rd	Rid. Mx,Rd da VEd	px	py	Verifica
233.3	SLD 5	0.001	1	321.7	342388.1	1	0	0	Si

Verifica a flessione semplice Y §§ 4.2.4.1.2.3 - 4.2.4.1.2.6 - 4.2.4.1.2.7 - 4.2.4.1.2.8 NTC18

X	Comb.	Sfruttamento	Classe	My,Ed	My,Rd	Rid. My,Rd da VEd	px	py	Verifica
261.3	SLV 1	0.001	1	-303.6	342388.1	1	0	0	Si

Verifica a flessione semplice Y SLD §§ 4.2.4.1.2.3 - 4.2.4.1.2.6 - 4.2.4.1.2.7 - 4.2.4.1.2.8 NTC18

X	Comb.	Sfruttamento	Classe	My,Ed	My,Rd	Rid. My,Rd da VEd	px	py	Verifica
233.3	SLD 1	0.001	1	-321.7	342388.1	1	0	0	Si

Verifica a flessione deviata §§ 4.2.4.1.2.3 - 4.2.4.1.2.6 - 4.2.4.1.2.7 - 4.2.4.1.2.8 NTC18

X	Comb.	Sfruttamento	Classe	Mx,Ed	Mx,Rd	My,Ed	My,Rd	Rid. Mx,Rd da VEd	Rid. My,Rd da VEd	α	β	px	py	Verifica
233.3	SLV 1	0.003	1	228	342388	-759	342388	1	1			0	0	Si

Verifica a presso/tenso flessione retta X §§ 4.2.4.1.2.3 - 4.2.4.1.2.6 - 4.2.4.1.2.7 - 4.2.4.1.2.8 NTC18

Verifiche eseguite utilizzando la formula conservativa (6.2) §6.2.1 EN 1993-1-1:2005.

X	Comb.	Sfruttamento	Classe	NEd	NRd	Rid. NRd da VEd	Mx,Ed	Mx,Rd	Rid. Mx,Rd da VEd	Rid. Mx,Rd da NEd	px	py	Verifica
0	SLU 43	0.017	1	-231	63463.9	1	4500	342388	1		0	0	Si

Verifica a presso/tenso flessione retta X SLD §§ 4.2.4.1.2.3 - 4.2.4.1.2.6 - 4.2.4.1.2.7 - 4.2.4.1.2.8 NTC18

Verifiche eseguite utilizzando la formula conservativa (6.2) §6.2.1 EN 1993-1-1:2005.

X	Comb.	Sfruttamento	Classe	NEd	NRd	Rid. NRd da VEd	Mx,Ed	Mx,Rd	Rid. Mx,Rd da VEd	Rid. Mx,Rd da NEd	px	py	Verifica
224	SLD 5	0.003	1	-62.5	63463.9	1	836	342388	1		0	0	Si

Verifica a presso/tenso flessione retta Y §§ 4.2.4.1.2.3 - 4.2.4.1.2.6 - 4.2.4.1.2.7 - 4.2.4.1.2.8 NTC18

Verifiche eseguite utilizzando la formula conservativa (6.2) §6.2.1 EN 1993-1-1:2005.

X	Comb.	Sfruttamento	Classe	NEd	NRd	Rid. NRd da VEd	My,Ed	My,Rd	Rid. My,Rd da VEd	Rid. My,Rd da NEd	px	py	Verifica
168	SLV 3	0.007	1	-74.9	63463.9	1	-1821	342388	1		0	0	Si

Verifica a presso/tenso flessione retta Y SLD §§ 4.2.4.1.2.3 - 4.2.4.1.2.6 - 4.2.4.1.2.7 - 4.2.4.1.2.8 NTC18

Verifiche eseguite utilizzando la formula conservativa (6.2) §6.2.1 EN 1993-1-1:2005.

X	Comb.	Sfruttamento	Classe	NEd	NRd	Rid. NRd da VEd	My,Ed	My,Rd	Rid. My,Rd da VEd	Rid. My,Rd da NEd	px	py	Verifica
56	SLD 3	0.006	1	-99.9	63463.9	1	-1544	342388	1		0	0	Si

Verifica a presso/tenso flessione deviata §§ 4.2.4.1.2.3 - 4.2.4.1.2.6 - 4.2.4.1.2.7 - 4.2.4.1.2.8 NTC18

Verifiche eseguite utilizzando la formula conservativa (6.2) §6.2.1 EN 1993-1-1:2005.

X	Comb.	Sfruttamento	Classe	NEd	NRd	Rid. NRd da VEd	Mx,Ed	Mx,Rd	My,Ed	My,Rd	Rid. Mx,Rd da VEd	Rid. Mx,Rd da NEd	Rid. My,Rd da VEd	Rid. My,Rd da NEd	α	β	px	py	Verifica
0	SLV 1	0.022	1	-162.3	63463.9	1	2266	342388	-4554	342388	1		1				0	0	Si

Verifica a presso/tenso flessione deviata SLD §§ 4.2.4.1.2.3 - 4.2.4.1.2.6 - 4.2.4.1.2.7 - 4.2.4.1.2.8 NTC18

Verifiche eseguite utilizzando la formula conservativa (6.2) §6.2.1 EN 1993-1-1:2005.

X	Comb.	Sfruttamento	Classe	NEd	NRd	Rid. NRd da VEd	Mx,Ed	Mx,Rd	My,Ed	My,Rd	Rid. Mx,Rd da VEd	Rid. Mx,Rd da NEd	Rid. My,Rd da VEd	Rid. My,Rd da NEd	α	β	px	py	Verifica
0	SLD 1	0.013	1	-162.3	63463.9	1	1479	342388	-1930	342388	1		1				0	0	Si

Verifiche ad instabilità

Caratteristiche iniziali

Membratura principale per controllo snellezza; Calcolo di snellezze ed N critici condotti secondo gli assi principali;

Curva X: c; Curva Y: c; Svergolamento: Carico all'estradosso; Curva svergolamento: d;

Dati per instabilità attorno a x

Numero rit.	Presente	Ascissa	Campata	$\beta x/m$	Vincolo a entrambi estremi	$\lambda x/m$	λVer
1	Si	0					
			1-2	1	Si	47.6	Si, (<200)
2	Si	280					

Dati per instabilità attorno a y

Numero rit.	Presente	Ascissa	Campata	$\beta y/n$	k,LT	kw,LT	Vincolo a entrambi estremi	$\lambda y/n$	λVer
1	Si	0							
			1-2	1	1	1	Si	47.6	Si, (<200)
2	Si	280							

Verifica di stabilità membrature compresse §4.2.4.1.3.1 NTC18

X	Comb.	Sfruttamento	Classe	Obblig.	NEd	Nb,Rd	$\chi_{,min}$	l0 x/m	l0 y/n	λ adim. x/m	λ adim. y/n	N,crit x/m	N,crit y/n	Verifica
0	SLU 40	0.004	1	No	-231	53264.4	0.839	280	280	0.507	0.507	259637.3	259637.3	Si

Verifica a svergolamento §4.2.4.1.3.2 NTC18

X	Comb.	Sfruttamento	Classe	Obblig.	Mx,Ed	Mb,Rd,x	$\chi_{,LT}$	λ adim. LT	L,LT	M,critico	Verifica
28	SLU 22	0.013	1	Si	4500	342388.1	1	0.103	280	33939719.7	Si

Verifica a svergolamento con trazione §4.2.4.1.3.2 NTC18 - §5.5.3 ENV 1993-1-1:1994

X	Comb.	Sfruttamento	Classe	Obblig.	NEd	Mx,Ed	Mx,Eff,Ed	Mb,Rd,x	$\chi_{,LT}$	λ adim. LT	L,LT	M,critico	Verifica
18.7	SLU 34	0.013	1	Si	30.7	4500	4400.8	342388.1	1	0.103	280	33939719.7	Si

Verifica di stabilità per pressoflessione §C.4.2.4.1.3.3.2 NTC18

X	Comb.	Sfruttamento	Classe	NEd	NRk	Mx,Ed max	Mx,Rk	My,Ed max	My,Rk	$\chi_{,x}$	$\chi_{,y}$	kxx	kxy	kyy	$\chi_{,LT}$	Verifica	
0	SLV 10	0.021	1	-162.3	66637.1	5453.6	359507.5	1366.1	359507.5	0.839	0.839	0.601	0.36	1	0.601	1	Si

Verifica di stabilità per pressoflessione SLD §C.4.2.4.1.3.3.2 NTC18

X	Comb.	Sfruttamento	Classe	NEd	NRk	Mx,Ed max	Mx,Rk	My,Ed max	My,Rk	$\chi_{,x}$	$\chi_{,y}$	kxx	kxy	kyy	$\chi_{,LT}$	Verifica	
0	SLD 10	0.012	1	-162.3	66637.1	2830	359507.5	579	359507.5	0.839	0.839	0.601	0.36	1	0.601	1	Si

Verifica di stabilità a taglio anima X §4.2.4.1.2.4 [4.2.27] NTC18

η	hw	tw	hw/tw max	Verifica	
1.2		14	0.5	60	Si

Verifica di stabilità a taglio anima Y §4.2.4.1.2.4 [4.2.27] NTC18

η	hw	tw	hw/tw max	Verifica	
1.2		14	0.5	60	Si

Verifiche a deformabilità

Mensola X: No; Mensola Y: No.

Verifiche non eseguite in quanto il superelemento è verticale.

Pilastro per sostegno cancello accesso carraio – pilastro sx

Caratteristiche del materiale

Acciaio: S235, fyk = 2350

Caratteristiche geometriche

Lunghezza: 280

Nodo iniziale: 32 Nodo finale: 62

Cerniera iniziale: No Cerniera finale: No

Sovreresistenza: 0% Sisma Z: No

Caratteristiche della sezione

Sezione	Rotazione	Area	Jx	Jy	ix	iy	Wx	Wy	Wplx	Wply
EN10219 150x150x5	0	28.36	982.12	982.12	5.89	5.89	130.95	130.95	152.98	152.98

Verifiche di resistenza

Verifiche a forza assiale §4.2.4.1.2.1 - §4.2.4.1.2.2 NTC18

X	Comb.	Sfruttamento	Classe	NEd	Nc,Rd	Nt,Rd	Riduzione da taglio	px	py	Verifica
0	SLU 42	0.004	1	-231	63463.9		1	0	0	Si

Verifiche a forza assiale SLD §4.2.4.1.2.1 - §4.2.4.1.2.2 NTC18

X	Comb.	Sfruttamento	Classe	NEd	Nc,Rd	Nt,Rd	Riduzione da taglio	px	py	Verifica
0	SLD 1	0.003	1	-162.3	63463.9		1	0	0	Si

Verifica a taglio X §4.2.4.1.2.4 NTC18

X	Comb.	Sfruttamento	VEd	Vc,Rd	Av	Interazione taglio-torsione	Riduzione torsione	Verifica
0	SLV 1	0.001	-16.3	18320.4	14.18	Considerata	1	Si

Verifica a taglio Y §4.2.4.1.2.4 NTC18

X	Comb.	Sfruttamento	VEd	Vc,Rd	Av	Interazione taglio-torsione	Riduzione torsione	Verifica
0	SLV 5	0.001	-16.3	18320.4	14.18	Considerata	1	Si

Verifica a flessione semplice X §§ 4.2.4.1.2.3 - 4.2.4.1.2.6 - 4.2.4.1.2.7 - 4.2.4.1.2.8 NTC18

X	Comb.	Sfruttamento	Classe	Mx,Ed	Mx,Rd	Rid. Mx,Rd da VEd	px	py	Verifica
28	SLU 22	0.013	1	4500	342388.1	1	0	0	Si

Verifica a flessione semplice X SLD §§ 4.2.4.1.2.3 - 4.2.4.1.2.6 - 4.2.4.1.2.7 - 4.2.4.1.2.8 NTC18

X	Comb.	Sfruttamento	Classe	Mx,Ed	Mx,Rd	Rid. Mx,Rd da VEd	px	py	Verifica
233.3	SLD 5	0.001	1	321.7	342388.1	1	0	0	Si

Verifica a flessione semplice Y §§ 4.2.4.1.2.3 - 4.2.4.1.2.6 - 4.2.4.1.2.7 - 4.2.4.1.2.8 NTC18

X	Comb.	Sfruttamento	Classe	My,Ed	My,Rd	Rid. My,Rd da VEd	px	py	Verifica
261.3	SLV 1	0.001	1	-303.6	342388.1	1	0	0	Si

Verifica a flessione semplice Y SLD §§ 4.2.4.1.2.3 - 4.2.4.1.2.6 - 4.2.4.1.2.7 - 4.2.4.1.2.8 NTC18

X	Comb.	Sfruttamento	Classe	My,Ed	My,Rd	Rid. My,Rd da VEd	px	py	Verifica
233.3	SLD 1	0.001	1	-321.7	342388.1	1	0	0	Si

Verifica a flessione deviata §§ 4.2.4.1.2.3 - 4.2.4.1.2.6 - 4.2.4.1.2.7 - 4.2.4.1.2.8 NTC18

X	Comb.	Sfruttamento	Classe	Mx,Ed	Mx,Rd	My,Ed	My,Rd	Rid. Mx,Rd da VEd	Rid. My,Rd da VEd	α	β	px	py	Verifica
233.3	SLV 1	0.003	1	228	342388	-759	342388	1	1			0	0	Si

Verifica a presso/tenso flessione retta X §§ 4.2.4.1.2.3 - 4.2.4.1.2.6 - 4.2.4.1.2.7 - 4.2.4.1.2.8 NTC18

Verifiche eseguite utilizzando la formula conservativa (6.2) §6.2.1 EN 1993-1-1:2005.

X	Comb.	Sfruttamento	Classe	NEd	NRd	Rid. NRd da VEd	Mx,Ed	Mx,Rd	Rid. Mx,Rd da VEd	Rid. Mx,Rd da NEd	px	py	Verifica
0	SLU 43	0.017	1	-231	63463.9	1	4500	342388	1		0	0	Si

Verifica a presso/tenso flessione retta X SLD §§ 4.2.4.1.2.3 - 4.2.4.1.2.6 - 4.2.4.1.2.7 - 4.2.4.1.2.8 NTC18

Verifiche eseguite utilizzando la formula conservativa (6.2) §6.2.1 EN 1993-1-1:2005.

X	Comb.	Sfruttamento	Classe	NEd	NRd	Rid. NRd da VEd	Mx,Ed	Mx,Rd	Rid. Mx,Rd da VEd	Rid. Mx,Rd da NEd	px	py	Verifica
224	SLD 5	0.003	1	-62.5	63463.9	1	836	342388	1		0	0	Si

Verifica a presso/tenso flessione retta Y §§ 4.2.4.1.2.3 - 4.2.4.1.2.6 - 4.2.4.1.2.7 - 4.2.4.1.2.8 NTC18

Verifiche eseguite utilizzando la formula conservativa (6.2) §6.2.1 EN 1993-1-1:2005.

X	Comb.	Sfruttamento	Classe	NEd	NRd	Rid. NRd da VEd	My,Ed	My,Rd	Rid. My,Rd da VEd	Rid. My,Rd da NEd	px	py	Verifica
168	SLV 3	0.007	1	-74.9	63463.9	1	-1821	342388	1		0	0	Si

Verifica a presso/tenso flessione retta Y SLD §§ 4.2.4.1.2.3 - 4.2.4.1.2.6 - 4.2.4.1.2.7 - 4.2.4.1.2.8 NTC18

Verifiche eseguite utilizzando la formula conservativa (6.2) §6.2.1 EN 1993-1-1:2005.

X	Comb.	Sfruttamento	Classe	NEd	NRd	Rid. NRd da VEd	My,Ed	My,Rd	Rid. My,Rd da VEd	Rid. My,Rd da NEd	px	py	Verifica
56	SLD 3	0.006	1	-99.9	63463.9	1	-1544	342388	1		0	0	Si

Verifica a presso/tenso flessione deviata §§ 4.2.4.1.2.3 - 4.2.4.1.2.6 - 4.2.4.1.2.7 - 4.2.4.1.2.8 NTC18

Verifiche eseguite utilizzando la formula conservativa (6.2) §6.2.1 EN 1993-1-1:2005.

X	Comb.	Sfruttamento	Classe	NEd	NRd	Rid. NRd da VEd	Mx,Ed	Mx,Rd	My,Ed	My,Rd	Rid. Mx,Rd da VEd	Rid. Mx,Rd da NEd	Rid. My,Rd da VEd	Rid. My,Rd da NEd	α	β	px	py	Verifica
0	SLV 1	0.022	1	-162.3	63463.9	1	2266	342388	-4554	342388	1		1				0	0	Si

Verifica a presso/tenso flessione deviata SLD §§ 4.2.4.1.2.3 - 4.2.4.1.2.6 - 4.2.4.1.2.7 - 4.2.4.1.2.8 NTC18

Verifiche eseguite utilizzando la formula conservativa (6.2) §6.2.1 EN 1993-1-1:2005.

X	Comb.	Sfruttamento	Classe	NEd	NRd	Rid. NRd da VEd	Mx,Ed	Mx,Rd	My,Ed	My,Rd	Rid. Mx,Rd da VEd	Rid. Mx,Rd da NEd	Rid. My,Rd da VEd	Rid. My,Rd da NEd	α	β	px	py	Verifica
0	SLD 1	0.013	1	-162.3	63463.9	1	1479	342388	-1930	342388	1		1				0	0	Si

Verifiche ad instabilità

Caratteristiche iniziali

Membratura principale per controllo snellezza; Calcolo di snellezze ed N critici condotti secondo gli assi principali;
Curva X: c; Curva Y: c; Svergolamento: Carico all'estradosso; Curva svergolamento: d;

Dati per instabilità attorno a x

Numero rit.	Presente	Ascissa	Campata	$\beta x/m$	Vincolo a entrambi estremi	$\lambda x/m$	λVer
1	Si	0					
			1-2	1	Si	47.6	Si, (<200)
2	Si	280					

Dati per instabilità attorno a y

Numero rit.	Presente	Ascissa	Campata	$\beta y/n$	k,LT	kw,LT	Vincolo a entrambi estremi	$\lambda y/n$	λVer
1	Si	0							
			1-2	1	1	1	Si	47.6	Si, (<200)
2	Si	280							

Verifica di stabilità membrature compresse §4.2.4.1.3.1 NTC18

X	Comb.	Sfruttamento	Classe	Obblig.	NEd	Nb,Rd	χ_{min}	l0 x/m	l0 y/n	λ adim. x/m	λ adim. y/n	N,crit x/m	N,crit y/n	Verifica
0	SLU 40	0.004	1	No	-231	53264.4	0.839	280	280	0.507	0.507	259637.3	259637.3	Si

Verifica a svergolamento §4.2.4.1.3.2 NTC18

X	Comb.	Sfruttamento	Classe	Obblig.	Mx,Ed	Mb,Rd,x	χ_{LT}	λ adim. LT	L,LT	M,critico	Verifica
28	SLU 22	0.013	1	Si	4500	342388.1	1	0.103	280	33939719.7	Si

Verifica a svergolamento con trazione §4.2.4.1.3.2 NTC18 - §5.5.3 ENV 1993-1-1:1994

X	Comb.	Sfruttamento	Classe	Obblig.	NEd	Mx,Ed	Mx,Eff,Ed	Mb,Rd,x	χ_{LT}	λ adim. LT	L,LT	M,critico	Verifica
18.7	SLU 34	0.013	1	Si	30.7	4500	4400.8	342388.1	1	0.103	280	33939719.7	Si

Verifica di stabilità per pressoflessione §C.4.2.4.1.3.3.2 NTC18

X	Comb.	Sfruttamento	Classe	NEd	NRk	Mx,Ed max	Mx,Rk	My,Ed max	My,Rk	χ_x	χ_y	kxx	kxy	kyy	χ_{LT}	Verifica	
0	SLV 10	0.021	1	-162.3	66637.1	5453.6	359507.5	1366.1	359507.5	0.839	0.839	0.601	0.36	1	0.601	1	Si

Verifica di stabilità per pressoflessione SLD §C.4.2.4.1.3.3.2 NTC18

X	Comb.	Sfruttamento	Classe	NEd	NRk	Mx,Ed max	Mx,Rk	My,Ed max	My,Rk	χ_x	χ_y	kxx	kxy	kyy	χ_{LT}	Verifica	
0	SLD 10	0.012	1	-162.3	66637.1	2830	359507.5	579	359507.5	0.839	0.839	0.601	0.36	1	0.601	1	Si

Verifica di stabilità a taglio anima X §4.2.4.1.2.4 [4.2.27] NTC18

η	hw	tw	hw/tw max	Verifica
1.2		14	60	Si

Verifica di stabilità a taglio anima Y §4.2.4.1.2.4 [4.2.27] NTC18

η	hw	tw	hw/tw max	Verifica
1.2		14	60	Si

Verifiche a deformabilità

Mensola X: No; Mensola Y: No.

Verifiche non eseguite in quanto il superelemento è verticale.

LOCALITA' SAL DI MEZZANA

Montante recinzione area

Caratteristiche del materiale

Acciaio: S235, fyk = 2350

Caratteristiche geometriche

Lunghezza: 280

Nodo iniziale: 37 Nodo finale: 64

Cerniera iniziale: No Cerniera finale: No

Sovreresistenza: 0% Sisma Z: No

Caratteristiche della sezione

Sezione	Rotazione	Area	Jx	Jy	ix	iy	Wx	Wy	Wplx	Wply
EN10219 50x50x2	0	3.74	14.15	14.15	1.95	1.95	5.66	5.66	6.66	6.66

Verifiche di resistenza

Verifiche a forza assiale §4.2.4.1.2.1 - §4.2.4.1.2.2 NTC18

X	Comb.	Sfruttamento	Classe	NEd	Nc,Rd	Nt,Rd	Riduzione da taglio	px	py	Verifica
46.7	SLU 12	0.028		236.2		8363.7	1	0	0	Si

Verifiche a forza assiale SLD §4.2.4.1.2.1 - §4.2.4.1.2.2 NTC18

X	Comb.	Sfruttamento	Classe	NEd	Nc,Rd	Nt,Rd	Riduzione da taglio	px	py	Verifica
0	SLD 1	0.001	1	-8.2	8363.7		1	0	0	Si

Verifica a flessione semplice X §§ 4.2.4.1.2.3 - 4.2.4.1.2.6 - 4.2.4.1.2.7 - 4.2.4.1.2.8 NTC18

X	Comb.	Sfruttamento	Classe	Mx,Ed	Mx,Rd	Rid. Mx,Rd da VEd	px	py	Verifica
261.3	SLV 5	0.001	1	15.4	14911	1	0	0	Si

Verifica a flessione semplice X SLD §§ 4.2.4.1.2.3 - 4.2.4.1.2.6 - 4.2.4.1.2.7 - 4.2.4.1.2.8 NTC18

X	Comb.	Sfruttamento	Classe	Mx,Ed	Mx,Rd	Rid. Mx,Rd da VEd	px	py	Verifica
233.3	SLD 5	0.001	1	16.3	14911	1	0	0	Si

Verifica a flessione semplice Y §§ 4.2.4.1.2.3 - 4.2.4.1.2.6 - 4.2.4.1.2.7 - 4.2.4.1.2.8 NTC18

X	Comb.	Sfruttamento	Classe	My,Ed	My,Rd	Rid. My,Rd da VEd	px	py	Verifica
261.3	SLV 1	0.001	1	-15.4	14911	1	0	0	Si

Verifica a flessione semplice Y SLD §§ 4.2.4.1.2.3 - 4.2.4.1.2.6 - 4.2.4.1.2.7 - 4.2.4.1.2.8 NTC18

X	Comb.	Sfruttamento	Classe	My,Ed	My,Rd	Rid. My,Rd da VEd	px	py	Verifica
233.3	SLD 1	0.001	1	-16.3	14911	1	0	0	Si

Verifica a flessione deviata §§ 4.2.4.1.2.3 - 4.2.4.1.2.6 - 4.2.4.1.2.7 - 4.2.4.1.2.8 NTC18

X	Comb.	Sfruttamento	Classe	Mx,Ed	Mx,Rd	My,Ed	My,Rd	Rid. Mx,Rd da VEd	Rid. My,Rd da VEd	α	β	ρ_x	ρ_y	Verifica
158.7	SLV 1	0.009	1	30	14911	-100	14911	1	1			0	0	Si

Verifica a flessione deviata SLD §§ 4.2.4.1.2.3 - 4.2.4.1.2.6 - 4.2.4.1.2.7 - 4.2.4.1.2.8 NTC18

X	Comb.	Sfruttamento	Classe	Mx,Ed	Mx,Rd	My,Ed	My,Rd	Rid. Mx,Rd da VEd	Rid. My,Rd da VEd	α	β	ρ_x	ρ_y	Verifica
158.7	SLD 1	0.004	1	13	14911	-42	14911	1	1			0	0	Si

Verifica a presso/tenzo flessione deviata §§ 4.2.4.1.2.3 - 4.2.4.1.2.6 - 4.2.4.1.2.7 - 4.2.4.1.2.8 NTC18

Verifiche eseguite utilizzando la formula conservativa (6.2) §6.2.1 EN 1993-1-1:2005.

X	Comb.	Sfruttamento	Classe	NEd	NRd	Rid. NRd da VEd	Mx,Ed	Mx,Rd	My,Ed	My,Rd	Rid. Mx,Rd da VEd	Rid. Mx,Rd da NEd	Rid. My,Rd da VEd	Rid. My,Rd da NEd	α	β	ρ_x	ρ_y	Verifica
0	SLV 1	0.021	1	-8.2	8363.7	1	69	14911	-230	14911	1		1				0	0	Si

Verifica a presso/tenzo flessione deviata SLD §§ 4.2.4.1.2.3 - 4.2.4.1.2.6 - 4.2.4.1.2.7 - 4.2.4.1.2.8 NTC18

Verifiche eseguite utilizzando la formula conservativa (6.2) §6.2.1 EN 1993-1-1:2005.

X	Comb.	Sfruttamento	Classe	NEd	NRd	Rid. NRd da VEd	Mx,Ed	Mx,Rd	My,Ed	My,Rd	Rid. Mx,Rd da VEd	Rid. Mx,Rd da NEd	Rid. My,Rd da VEd	Rid. My,Rd da NEd	α	β	ρ_x	ρ_y	Verifica
0	SLD 1	0.009	1	-8.2	8363.7	1	29	14911	-98	14911	1		1				0	0	Si

Verifiche ad instabilità
Caratteristiche iniziali

Membratura principale per controllo snellezza; Calcolo di snellezze ed N critici condotti secondo gli assi principali;

Curva X: c; Curva Y: c; Svergolamento: Carico all'estradosso; Curva svergolamento: d;

Dati per instabilità attorno a x

Numero rit.	Presente	Ascissa	Campata	β_x/m	Vincolo a entrambi estremi	λ_x/m	λ_{Ver}
1	Si		0				
			1-2	1	Si	143.9	Si, (<200)
2	Si		280				

Dati per instabilità attorno a y

Numero rit.	Presente	Ascissa	Campata	β_y/n	k,LT	kw,LT	Vincolo a entrambi estremi	λ_y/n	λ_{Ver}
1	Si		0						
			1-2	1	1	1	Si	143.9	Si, (<200)
2	Si		280						

Verifica di stabilità membrature compresse §4.2.4.1.3.1 NTC18

X	Comb.	Sfruttamento	Classe	Obblig.	NEd	Nb,Rd	χ_{min}	I_0 x/m	I_0 y/n	λ adim. x/m	λ adim. y/n	N,crit x/m	N,crit y/n	Verifica
0	SLU 31	0.004	1	No	-10.7	2544.9	0.304	280	280	1.532	1.532	3740	3740	Si

Verifica di stabilità per pressoflessione §C.4.2.4.1.3.3.2 NTC18

X	Comb.	Sfruttamento	Classe	NEd	NRk	Mx,Ed max	Mx,Rk	My,Ed max	My,Rk	χ_x	χ_y	kxx	kxy	kyy	χ_{LT}	Verifica	
0	SLV 9	0.021	1	-8.2	8781.9	230.4	15656.5	69.1	15656.5	0.304	0.304	0.602	0.361	0.999	0.602	1	Si

Verifica di stabilità per pressoflessione SLD §C.4.2.4.1.3.3.2 NTC18

X	Comb.	Sfruttamento	Classe	NEd	NRk	Mx,Ed max	Mx,Rk	My,Ed max	My,Rk	χ_x	χ_y	kxx	kxy	kyx	kyy	χ_{LT}	Verifica
0	SLD 6	0.011	1	-8.2	8781.9	97.7	15656.5	29.3	15656.5	0.304	0.304	0.602	0.361	0.999	0.602	1	Si

Verifiche a deformabilità

Mensola X: No; Mensola Y: No.

Verifiche non eseguite in quanto il superelemento è verticale.

Pilastro per sostegno cancelletto accesso pedonale

Caratteristiche del materiale

Acciaio: S235, fyk = 2350

Caratteristiche geometriche

Lunghezza: 280

Nodo iniziale: 33 Nodo finale: 63

Cerniera iniziale: No Cerniera finale: No

Sovreresistenza: 0% Sisma Z: No

Caratteristiche della sezione

Sezione	Rotazione	Area	Jx	Jy	ix	iy	Wx	Wy	Wplx	Wply
EN10219 100x100x5	0	18.36	271.1	271.1	3.84	3.84	54.22	54.22	64.59	64.59

Verifiche di resistenza

Verifiche a forza assiale §4.2.4.1.2.1 - §4.2.4.1.2.2 NTC18

X	Comb.	Sfruttamento	Classe	NEd	Nc,Rd	Nt,Rd	Riduzione da taglio	px	py	Verifica
0	SLU 41	0.004	1	-172.5	41082.9		1	0	0	Si

Verifiche a forza assiale SLD §4.2.4.1.2.1 - §4.2.4.1.2.2 NTC18

X	Comb.	Sfruttamento	Classe	NEd	Nc,Rd	Nt,Rd	Riduzione da taglio	px	py	Verifica
0	SLD 1	0.003	1	-120.3	41082.9		1	0	0	Si

Verifica a taglio X §4.2.4.1.2.4 NTC18

X	Comb.	Sfruttamento	VEd	Vc,Rd	Av	Interazione taglio-torsione	Riduzione torsione	Verifica
0	SLV 1	0.001	-12.1	11859.6	9.18	Considerata	1	Si

Verifica a taglio Y §4.2.4.1.2.4 NTC18

X	Comb.	Sfruttamento	VEd	Vc,Rd	Av	Interazione taglio-torsione	Riduzione torsione	Verifica
9.3	SLU 38	0.026	310.5	11859.6	9.18	Considerata	1	Si

Verifica a flessione semplice X §§ 4.2.4.1.2.3 - 4.2.4.1.2.6 - 4.2.4.1.2.7 - 4.2.4.1.2.8 NTC18

X	Comb.	Sfruttamento	Classe	Mx,Ed	Mx,Rd	Rid. Mx,Rd da VEd	px	py	Verifica
233.3	SLU 24	0.01	1	-1470	144561.8	1	0	0	Si

Verifica a flessione semplice X SLD §§ 4.2.4.1.2.3 - 4.2.4.1.2.6 - 4.2.4.1.2.7 - 4.2.4.1.2.8 NTC18

X	Comb.	Sfruttamento	Classe	Mx,Ed	Mx,Rd	Rid. Mx,Rd da VEd	px	py	Verifica
252	SLD 5	0.001	1	143.1	144561.8	1	0	0	Si

Verifica a flessione semplice Y §§ 4.2.4.1.2.3 - 4.2.4.1.2.6 - 4.2.4.1.2.7 - 4.2.4.1.2.8 NTC18

X	Comb.	Sfruttamento	Classe	My,Ed	My,Rd	Rid. My,Rd da VEd	px	py	Verifica
270.7	SLV 1	0.001	1	-112.5	144561.8	1	0	0	Si

Verifica a flessione semplice Y SLD §§ 4.2.4.1.2.3 - 4.2.4.1.2.6 - 4.2.4.1.2.7 - 4.2.4.1.2.8 NTC18

X	Comb.	Sfruttamento	Classe	My,Ed	My,Rd	Rid. My,Rd da VEd	px	py	Verifica
252	SLD 1	0.001	1	-143.1	144561.8	1	0	0	Si

Verifica a flessione deviata §§ 4.2.4.1.2.3 - 4.2.4.1.2.6 - 4.2.4.1.2.7 - 4.2.4.1.2.8 NTC18

X	Comb.	Sfruttamento	Classe	Mx,Ed	Mx,Rd	My,Ed	My,Rd	Rid. Mx,Rd da VEd	Rid. My,Rd da VEd	α	β	px	py	Verifica
233.3	SLV 1	0.005	1	169	144562	-563	144562	1	1			0	0	Si

Verifica a flessione deviata SLD §§ 4.2.4.1.2.3 - 4.2.4.1.2.6 - 4.2.4.1.2.7 - 4.2.4.1.2.8 NTC18

X	Comb.	Sfruttamento	Classe	Mx,Ed	Mx,Rd	My,Ed	My,Rd	Rid. Mx,Rd da VEd	Rid. My,Rd da VEd	α	β	px	py	Verifica
233.3	SLD 1	0.002	1	72	144562	-238	144562	1	1			0	0	Si

Verifica a presso/tenso flessione retta X §§ 4.2.4.1.2.3 - 4.2.4.1.2.6 - 4.2.4.1.2.7 - 4.2.4.1.2.8 NTC18

Verifiche eseguite utilizzando la formula conservativa (6.2) §6.2.1 EN 1993-1-1:2005.

X	Comb.	Sfruttamento	Classe	NEd	NRd	Rid. NRd da VEd	Mx,Ed	Mx,Rd	Rid. Mx,Rd da VEd	Rid. Mx,Rd da NEd	px	py	Verifica
0	SLU 50	0.359	1	-172.5	41082.9	1	-51233	144562	1		0	0	Si

Verifica a presso/tenso flessione retta Y §§ 4.2.4.1.2.3 - 4.2.4.1.2.6 - 4.2.4.1.2.7 - 4.2.4.1.2.8 NTC18

Verifiche eseguite utilizzando la formula conservativa (6.2) §6.2.1 EN 1993-1-1:2005.

X	Comb.	Sfruttamento	Classe	NEd	NRd	Rid. NRd da VEd	My,Ed	My,Rd	Rid. My,Rd da VEd	Rid. My,Rd da NEd	px	py	Verifica
177.3	SLV 7	0.004	1	-54.8	41082.9	1	-371	144562	1		0	0	Si

Verifica a presso/tenso flessione deviata §§ 4.2.4.1.2.3 - 4.2.4.1.2.6 - 4.2.4.1.2.7 - 4.2.4.1.2.8 NTC18

Verifiche eseguite utilizzando la formula conservativa (6.2) §6.2.1 EN 1993-1-1:2005.

X	Comb.	Sfruttamento	Classe	NEd	NRd	Rid. NRd da VEd	Mx,Ed	Mx,Rd	My,Ed	My,Rd	Rid. Mx,Rd da VEd	Rid. Mx,Rd da NEd	Rid. My,Rd da VEd	Rid. My,Rd da NEd	α	β	px	py	Verifica
0	SLV 1	0.05	1	-120.3	41082.9	1	3413	144562	-3376	144562	1		1				0	0	Si

Verifica a presso/tenso flessione deviata SLD §§ 4.2.4.1.2.3 - 4.2.4.1.2.6 - 4.2.4.1.2.7 - 4.2.4.1.2.8 NTC18

Verifiche eseguite utilizzando la formula conservativa (6.2) §6.2.1 EN 1993-1-1:2005.

X	Comb.	Sfruttamento	Classe	NEd	NRd	Rid. NRd da VEd	Mx,Ed	Mx,Rd	My,Ed	My,Rd	Rid. Mx,Rd da VEd	Rid. Mx,Rd da NEd	Rid. My,Rd da VEd	Rid. My,Rd da NEd	α	β	px	py	Verifica
0	SLD 1	0.032	1	-120.3	41082.9	1	2829	144562	-1431	144562	1		1				0	0	Si

Verifiche ad instabilità
Caratteristiche iniziali

Membratura principale per controllo snellezza; Calcolo di snellezze ed N critici condotti secondo gli assi principali;

Curva X: c; Curva Y: c; Svergolamento: Carico all'estradosso; Curva svergolamento: d;

Dati per instabilità attorno a x

Numero rit.	Presente	Ascissa	Campata	βx/m	Vincolo a entrambi estremi	λx/m	λVer
1	Si		0				
			1-2		1	72.9	Si, (<200)
2	Si		280				

Dati per instabilità attorno a y

Numero rit.	Presente	Ascissa	Campata	$\beta y/n$	k,LT	kw,LT	Vincolo a entrambi estremi	$\lambda y/n$	λVer
1	Si	0							
			1-2	1	1	1	Si	72.9	Si, (<200)
2	Si	280							

Verifica di stabilità membrature compresse §4.2.4.1.3.1 NTC18

X	Comb.	Sfruttamento	Classe	Obblig.	NEd	Nb,Rd	χ_{min}	I0 x/m	I0 y/n	λ adim. x/m	λ adim. y/n	N,crit x/m	N,crit y/n	Verifica
0	SLU 41	0.006	1	No	-172.5	27827.4	0.677	280	280	0.776	0.776	71669.7	71669.7	Si

Verifica a svergolamento §4.2.4.1.3.2 NTC18

X	Comb.	Sfruttamento	Classe	Obblig.	Mx,Ed	Mb,Rd,x	χ_{LT}	λ adim. LT	L,LT	M,critico	Verifica
233.3	SLU 50	0.01	1	Si	-1470	144561.8	1	0.126	280	9493583.7	Si

Verifica di stabilità per pressoflessione §C.4.2.4.1.3.3.2 NTC18

X	Comb.	Sfruttamento	Classe	NEd	NRk	Mx,Ed max	Mx,Rk	My,Ed max	My,Rk	χ_x	χ_y	kxx	kxy	kyy	χ_{LT}	Verifica	
0	SLU 50	0.36	1	-172.5	43137.1	51232.5	151789.9	0	151789.9	0.677	0.677	0.408	0.361	0.997	0.602	1	Si

Verifica di stabilità per pressoflessione SLD §C.4.2.4.1.3.3.2 NTC18

X	Comb.	Sfruttamento	Classe	NEd	NRk	Mx,Ed max	Mx,Rk	My,Ed max	My,Rk	χ_x	χ_y	kxx	kxy	kyy	χ_{LT}	Verifica	
0	SLD 5	0.033	1	-120.3	43137.1	3830.9	151789.9	429.3	151789.9	0.677	0.677	0.601	0.361	0.999	0.601	1	Si

Verifica di stabilità a taglio anima X §4.2.4.1.2.4 [4.2.27] NTC18

η	hw	tw	hw/tw max	Verifica	
1.2		9	0.5	60	Si

Verifica di stabilità a taglio anima Y §4.2.4.1.2.4 [4.2.27] NTC18

η	hw	tw	hw/tw max	Verifica	
1.2		9	0.5	60	Si

Verifiche a deformabilità

Mensola X: No; Mensola Y: No.

Verifiche non eseguite in quanto il superelemento è verticale.

Pilastro per sostegno cancello accesso carraio – pilastro dx

Caratteristiche del materiale

Acciaio: S235, fyk = 2350

Caratteristiche geometriche

Lunghezza: 280

Nodo iniziale: 28 Nodo finale: 61

Cerniera iniziale: No Cerniera finale: No

Sovreresistenza: 0% Sisma Z: No

Caratteristiche della sezione

Sezione	Rotazione	Area	Jx	Jy	ix	iy	Wx	Wy	Wplx	Wply
EN10219 150x150x5	0	28.36	982.12	982.12	5.89	5.89	130.95	130.95	152.98	152.98

Verifiche di resistenza

Verifiche a forza assiale §4.2.4.1.2.1 - §4.2.4.1.2.2 NTC18

X	Comb.	Sfruttamento	Classe	NEd	Nc,Rd	Nt,Rd	Riduzione da taglio	px	py	Verifica
0	SLU 42	0.004	1	-231	63463.9		1	0	0	Si

Verifiche a forza assiale SLD §4.2.4.1.2.1 - §4.2.4.1.2.2 NTC18

X	Comb.	Sfruttamento	Classe	NEd	Nc,Rd	Nt,Rd	Riduzione da taglio	px	py	Verifica
0	SLD 1	0.003	1	-162.3	63463.9		1	0	0	Si

Verifica a taglio X §4.2.4.1.2.4 NTC18

X	Comb.	Sfruttamento	VEd	Vc,Rd	Av	Interazione taglio-torsione	Riduzione torsione	Verifica
0	SLV 1	0.001	-16.3	18320.4	14.18	Considerata	1	Si

Verifica a taglio Y §4.2.4.1.2.4 NTC18

X	Comb.	Sfruttamento	VEd	Vc,Rd	Av	Interazione taglio-torsione	Riduzione torsione	Verifica
0	SLV 5	0.001	-16.3	18320.4	14.18	Considerata	1	Si

Verifica a flessione semplice X §§ 4.2.4.1.2.3 - 4.2.4.1.2.6 - 4.2.4.1.2.7 - 4.2.4.1.2.8 NTC18

X	Comb.	Sfruttamento	Classe	Mx,Ed	Mx,Rd	Rid. Mx,Rd da VEd	px	py	Verifica
28	SLU 22	0.013	1	4500	342388.1	1	0	0	Si

Verifica a flessione semplice X SLD §§ 4.2.4.1.2.3 - 4.2.4.1.2.6 - 4.2.4.1.2.7 - 4.2.4.1.2.8 NTC18

X	Comb.	Sfruttamento	Classe	Mx,Ed	Mx,Rd	Rid. Mx,Rd da VEd	px	py	Verifica
233.3	SLD 5	0.001	1	321.7	342388.1	1	0	0	Si

Verifica a flessione semplice Y §§ 4.2.4.1.2.3 - 4.2.4.1.2.6 - 4.2.4.1.2.7 - 4.2.4.1.2.8 NTC18

X	Comb.	Sfruttamento	Classe	My,Ed	My,Rd	Rid. My,Rd da VEd	px	py	Verifica
261.3	SLV 1	0.001	1	-303.6	342388.1	1	0	0	Si

Verifica a flessione semplice Y SLD §§ 4.2.4.1.2.3 - 4.2.4.1.2.6 - 4.2.4.1.2.7 - 4.2.4.1.2.8 NTC18

X	Comb.	Sfruttamento	Classe	My,Ed	My,Rd	Rid. My,Rd da VEd	px	py	Verifica
233.3	SLD 1	0.001	1	-321.7	342388.1	1	0	0	Si

Verifica a flessione deviata §§ 4.2.4.1.2.3 - 4.2.4.1.2.6 - 4.2.4.1.2.7 - 4.2.4.1.2.8 NTC18

X	Comb.	Sfruttamento	Classe	Mx,Ed	Mx,Rd	My,Ed	My,Rd	Rid. Mx,Rd da VEd	Rid. My,Rd da VEd	α	β	px	py	Verifica
233.3	SLV 1	0.003	1	228	342388	-759	342388	1	1			0	0	Si

Verifica a presso/tenso flessione retta X §§ 4.2.4.1.2.3 - 4.2.4.1.2.6 - 4.2.4.1.2.7 - 4.2.4.1.2.8 NTC18

Verifiche eseguite utilizzando la formula conservativa (6.2) §6.2.1 EN 1993-1-1:2005.

X	Comb.	Sfruttamento	Classe	NEd	NRd	Rid. NRd da VEd	Mx,Ed	Mx,Rd	Rid. Mx,Rd da VEd	Rid. Mx,Rd da NEd	px	py	Verifica
0	SLU 43	0.017	1	-231	63463.9	1	4500	342388	1		0	0	Si

Verifica a presso/tenso flessione retta X SLD §§ 4.2.4.1.2.3 - 4.2.4.1.2.6 - 4.2.4.1.2.7 - 4.2.4.1.2.8 NTC18

Verifiche eseguite utilizzando la formula conservativa (6.2) §6.2.1 EN 1993-1-1:2005.

X	Comb.	Sfruttamento	Classe	NEd	NRd	Rid. NRd da VEd	Mx,Ed	Mx,Rd	Rid. Mx,Rd da VEd	Rid. Mx,Rd da NEd	px	py	Verifica
224	SLD 5	0.003	1	-62.5	63463.9	1	836	342388	1		0	0	Si

Verifica a presso/tenso flessione retta Y §§ 4.2.4.1.2.3 - 4.2.4.1.2.6 - 4.2.4.1.2.7 - 4.2.4.1.2.8 NTC18

Verifiche eseguite utilizzando la formula conservativa (6.2) §6.2.1 EN 1993-1-1:2005.

X	Comb.	Sfruttamento	Classe	NEd	NRd	Rid. NRd da VEd	My,Ed	My,Rd	Rid. My,Rd da VEd	Rid. My,Rd da NEd	px	py	Verifica
168	SLV 3	0.007	1	-74.9	63463.9	1	-1821	342388	1		0	0	Si

Verifica a presso/tenso flessione retta Y SLD §§ 4.2.4.1.2.3 - 4.2.4.1.2.6 - 4.2.4.1.2.7 - 4.2.4.1.2.8 NTC18

Verifiche eseguite utilizzando la formula conservativa (6.2) §6.2.1 EN 1993-1-1:2005.

X	Comb.	Sfruttamento	Classe	NEd	NRd	Rid. NRd da VEd	My,Ed	My,Rd	Rid. My,Rd da VEd	Rid. My,Rd da NEd	px	py	Verifica
56	SLD 3	0.006	1	-99.9	63463.9	1	-1544	342388	1		0	0	Si

Verifica a presso/tenso flessione deviata §§ 4.2.4.1.2.3 - 4.2.4.1.2.6 - 4.2.4.1.2.7 - 4.2.4.1.2.8 NTC18

Verifiche eseguite utilizzando la formula conservativa (6.2) §6.2.1 EN 1993-1-1:2005.

X	Comb.	Sfruttamento	Classe	NEd	NRd	Rid. NRd da VEd	Mx,Ed	Mx,Rd	My,Ed	My,Rd	Rid. Mx,Rd da VEd	Rid. Mx,Rd da NEd	Rid. My,Rd da VEd	Rid. My,Rd da NEd	α	β	px	py	Verifica
0	SLV 1	0.022	1	-162.3	63463.9	1	2266	342388	-4554	342388	1		1				0	0	Si

Verifica a presso/tenso flessione deviata SLD §§ 4.2.4.1.2.3 - 4.2.4.1.2.6 - 4.2.4.1.2.7 - 4.2.4.1.2.8 NTC18

Verifiche eseguite utilizzando la formula conservativa (6.2) §6.2.1 EN 1993-1-1:2005.

X	Comb.	Sfruttamento	Classe	NEd	NRd	Rid. NRd da VEd	Mx,Ed	Mx,Rd	My,Ed	My,Rd	Rid. Mx,Rd da VEd	Rid. Mx,Rd da NEd	Rid. My,Rd da VEd	Rid. My,Rd da NEd	α	β	px	py	Verifica
0	SLD 1	0.013	1	-162.3	63463.9	1	1479	342388	-1930	342388	1		1				0	0	Si

Verifiche ad instabilità

Caratteristiche iniziali

Membratura principale per controllo snellezza; Calcolo di snellezze ed N critici condotti secondo gli assi principali;

Curva X: c; Curva Y: c; Svergolamento: Carico all'estradosso; Curva svergolamento: d;

Dati per instabilità attorno a x

Numero rit.	Presente	Ascissa	Campata	$\beta x/m$	Vincolo a entrambi estremi	$\lambda x/m$	λVer
1	Si	0					
			1-2	1	Si	47.6	Si, (<200)
2	Si	280					

Dati per instabilità attorno a y

Numero rit.	Presente	Ascissa	Campata	$\beta y/n$	k,LT	kw,LT	Vincolo a entrambi estremi	$\lambda y/n$	λVer
1	Si	0							
			1-2	1	1	1	Si	47.6	Si, (<200)
2	Si	280							

Verifica di stabilità membrature compresse §4.2.4.1.3.1 NTC18

X	Comb.	Sfruttamento	Classe	Obblig.	NEd	Nb,Rd	$\chi_{,min}$	I0 x/m	I0 y/n	λ adim. x/m	λ adim. y/n	N,crit x/m	N,crit y/n	Verifica
0	SLU 40	0.004	1	No	-231	53264.4	0.839	280	280	0.507	0.507	259637.3	259637.3	Si

Verifica a svergolamento §4.2.4.1.3.2 NTC18

X	Comb.	Sfruttamento	Classe	Obblig.	Mx,Ed	Mb,Rd,x	$\chi_{,LT}$	λ adim. LT	L,LT	M,critico	Verifica
28	SLU 22	0.013	1	Si	4500	342388.1	1	0.103	280	33939719.7	Si

Verifica a svergolamento con trazione §4.2.4.1.3.2 NTC18 - §5.5.3 ENV 1993-1-1:1994

X	Comb.	Sfruttamento	Classe	Obblig.	NEd	Mx,Ed	Mx,Eff,Ed	Mb,Rd,x	$\chi_{,LT}$	λ adim. LT	L,LT	M,critico	Verifica
18.7	SLU 34	0.013	1	Si	30.7	4500	4400.8	342388.1	1	0.103	280	33939719.7	Si

Verifica di stabilità per pressoflessione §C.4.2.4.1.3.3.2 NTC18

X	Comb.	Sfruttamento	Classe	NEd	NRk	Mx,Ed max	Mx,Rk	My,Ed max	My,Rk	$\chi_{,x}$	$\chi_{,y}$	kxx	kxy	kyy	$\chi_{,LT}$	Verifica	
0	SLV 10	0.021	1	-162.3	66637.1	5453.6	359507.5	1366.1	359507.5	0.839	0.839	0.601	0.36	1	0.601	1	Si

Verifica di stabilità per pressoflessione SLD §C.4.2.4.1.3.3.2 NTC18

X	Comb.	Sfruttamento	Classe	NEd	NRk	Mx,Ed max	Mx,Rk	My,Ed max	My,Rk	$\chi_{,x}$	$\chi_{,y}$	kxx	kxy	kyy	$\chi_{,LT}$	Verifica	
0	SLD 10	0.012	1	-162.3	66637.1	2830	359507.5	579	359507.5	0.839	0.839	0.601	0.36	1	0.601	1	Si

Verifica di stabilità a taglio anima X §4.2.4.1.2.4 [4.2.27] NTC18

η	hw	tw	hw/tw max	Verifica	
1.2		14	0.5	60	Si

Verifica di stabilità a taglio anima Y §4.2.4.1.2.4 [4.2.27] NTC18

η	hw	tw	hw/tw max	Verifica	
1.2		14	0.5	60	Si

Verifiche a deformabilità

Mensola X: No; Mensola Y: No.

Verifiche non eseguite in quanto il superelemento è verticale.

Pilastro per sostegno cancello accesso carraio – pilastro Sx

Caratteristiche del materiale

Acciaio: S235, fyk = 2350

Caratteristiche geometriche

Lunghezza: 280

Nodo iniziale: 32 Nodo finale: 62

Cerniera iniziale: No Cerniera finale: No

Sovreresistenza: 0% Sisma Z: No

Caratteristiche della sezione

Sezione	Rotazione	Area	Jx	Jy	ix	iy	Wx	Wy	Wplx	Wply
EN10219 150x150x5	0	28.36	982.12	982.12	5.89	5.89	130.95	130.95	152.98	152.98

Verifiche di resistenza

Verifiche a forza assiale §4.2.4.1.2.1 - §4.2.4.1.2.2 NTC18

X	Comb.	Sfruttamento	Classe	NEd	Nc,Rd	Nt,Rd	Riduzione da taglio	px	py	Verifica
0	SLU 42	0.004	1	-231	63463.9		1	0	0	Si

Verifiche a forza assiale SLD §4.2.4.1.2.1 - §4.2.4.1.2.2 NTC18

X	Comb.	Sfruttamento	Classe	NEd	Nc,Rd	Nt,Rd	Riduzione da taglio	px	py	Verifica
0	SLD 1	0.003	1	-162.3	63463.9		1	0	0	Si

Verifica a taglio X §4.2.4.1.2.4 NTC18

X	Comb.	Sfruttamento	VEd	Vc,Rd	Av	Interazione taglio-torsione	Riduzione torsione	Verifica
0	SLV 1	0.001	-16.3	18320.4	14.18	Considerata	1	Si

Verifica a taglio Y §4.2.4.1.2.4 NTC18

X	Comb.	Sfruttamento	VEd	Vc,Rd	Av	Interazione taglio-torsione	Riduzione torsione	Verifica
0	SLV 5	0.001	-16.3	18320.4	14.18	Considerata	1	Si

Verifica a flessione semplice X §§ 4.2.4.1.2.3 - 4.2.4.1.2.6 - 4.2.4.1.2.7 - 4.2.4.1.2.8 NTC18

X	Comb.	Sfruttamento	Classe	Mx,Ed	Mx,Rd	Rid. Mx,Rd da VEd	px	py	Verifica
28	SLU 22	0.013	1	4500	342388.1	1	0	0	Si

Verifica a flessione semplice X SLD §§ 4.2.4.1.2.3 - 4.2.4.1.2.6 - 4.2.4.1.2.7 - 4.2.4.1.2.8 NTC18

X	Comb.	Sfruttamento	Classe	Mx,Ed	Mx,Rd	Rid. Mx,Rd da VEd	px	py	Verifica
233.3	SLD 5	0.001	1	321.7	342388.1	1	0	0	Si

Verifica a flessione semplice Y §§ 4.2.4.1.2.3 - 4.2.4.1.2.6 - 4.2.4.1.2.7 - 4.2.4.1.2.8 NTC18

X	Comb.	Sfruttamento	Classe	My,Ed	My,Rd	Rid. My,Rd da VEd	px	py	Verifica
261.3	SLV 1	0.001	1	-303.6	342388.1	1	0	0	Si

Verifica a flessione semplice Y SLD §§ 4.2.4.1.2.3 - 4.2.4.1.2.6 - 4.2.4.1.2.7 - 4.2.4.1.2.8 NTC18

X	Comb.	Sfruttamento	Classe	My,Ed	My,Rd	Rid. My,Rd da VEd	px	py	Verifica
233.3	SLD 1	0.001	1	-321.7	342388.1	1	0	0	Si

Verifica a flessione deviata §§ 4.2.4.1.2.3 - 4.2.4.1.2.6 - 4.2.4.1.2.7 - 4.2.4.1.2.8 NTC18

X	Comb.	Sfruttamento	Classe	Mx,Ed	Mx,Rd	My,Ed	My,Rd	Rid. Mx,Rd da VEd	Rid. My,Rd da VEd	α	β	px	py	Verifica
233.3	SLV 1	0.003	1	228	342388	-759	342388	1	1			0	0	Si

Verifica a presso/tenso flessione retta X §§ 4.2.4.1.2.3 - 4.2.4.1.2.6 - 4.2.4.1.2.7 - 4.2.4.1.2.8 NTC18

Verifiche eseguite utilizzando la formula conservativa (6.2) §6.2.1 EN 1993-1-1:2005.

X	Comb.	Sfruttamento	Classe	NEd	NRd	Rid. NRd da VEd	Mx,Ed	Mx,Rd	Rid. Mx,Rd da VEd	Rid. Mx,Rd da NEd	px	py	Verifica
0	SLU 43	0.017	1	-231	63463.9	1	4500	342388	1		0	0	Si

Verifica a presso/tenso flessione retta X SLD §§ 4.2.4.1.2.3 - 4.2.4.1.2.6 - 4.2.4.1.2.7 - 4.2.4.1.2.8 NTC18

Verifiche eseguite utilizzando la formula conservativa (6.2) §6.2.1 EN 1993-1-1:2005.

X	Comb.	Sfruttamento	Classe	NEd	NRd	Rid. NRd da VEd	Mx,Ed	Mx,Rd	Rid. Mx,Rd da VEd	Rid. Mx,Rd da NEd	px	py	Verifica
224	SLD 5	0.003	1	-62.5	63463.9	1	836	342388	1		0	0	Si

Verifica a presso/tenso flessione retta Y §§ 4.2.4.1.2.3 - 4.2.4.1.2.6 - 4.2.4.1.2.7 - 4.2.4.1.2.8 NTC18

Verifiche eseguite utilizzando la formula conservativa (6.2) §6.2.1 EN 1993-1-1:2005.

X	Comb.	Sfruttamento	Classe	NEd	NRd	Rid. NRd da VEd	My,Ed	My,Rd	Rid. My,Rd da VEd	Rid. My,Rd da NEd	px	py	Verifica
168	SLV 3	0.007	1	-74.9	63463.9	1	-1821	342388	1		0	0	Si

Verifica a presso/tenso flessione retta Y SLD §§ 4.2.4.1.2.3 - 4.2.4.1.2.6 - 4.2.4.1.2.7 - 4.2.4.1.2.8 NTC18

Verifiche eseguite utilizzando la formula conservativa (6.2) §6.2.1 EN 1993-1-1:2005.

X	Comb.	Sfruttamento	Classe	NEd	NRd	Rid. NRd da VEd	My,Ed	My,Rd	Rid. My,Rd da VEd	Rid. My,Rd da NEd	px	py	Verifica
56	SLD 3	0.006	1	-99.9	63463.9	1	-1544	342388	1		0	0	Si

Verifica a presso/tenso flessione deviata §§ 4.2.4.1.2.3 - 4.2.4.1.2.6 - 4.2.4.1.2.7 - 4.2.4.1.2.8 NTC18

Verifiche eseguite utilizzando la formula conservativa (6.2) §6.2.1 EN 1993-1-1:2005.

X	Comb.	Sfruttamento	Classe	NEd	NRd	Rid. NRd da VEd	Mx,Ed	Mx,Rd	My,Ed	My,Rd	Rid. Mx,Rd da VEd	Rid. Mx,Rd da NEd	Rid. My,Rd da VEd	Rid. My,Rd da NEd	α	β	px	py	Verifica
0	SLV 1	0.022	1	-162.3	63463.9	1	2266	342388	-4554	342388	1		1				0	0	Si

Verifica a presso/tenso flessione deviata SLD §§ 4.2.4.1.2.3 - 4.2.4.1.2.6 - 4.2.4.1.2.7 - 4.2.4.1.2.8 NTC18

Verifiche eseguite utilizzando la formula conservativa (6.2) §6.2.1 EN 1993-1-1:2005.

X	Comb.	Sfruttamento	Classe	NEd	NRd	Rid. NRd da VEd	Mx,Ed	Mx,Rd	My,Ed	My,Rd	Rid. Mx,Rd da VEd	Rid. Mx,Rd da NEd	Rid. My,Rd da VEd	Rid. My,Rd da NEd	α	β	px	py	Verifica
0	SLD 1	0.013	1	-162.3	63463.9	1	1479	342388	-1930	342388	1		1				0	0	Si

Verifiche ad instabilità

Caratteristiche iniziali

Membratura principale per controllo snellezza; Calcolo di snellezze ed N critici condotti secondo gli assi principali;

Curva X: c; Curva Y: c; Svergolamento: Carico all'estradosso; Curva svergolamento: d;

Dati per instabilità attorno a x

Numero rit.	Presente	Ascissa	Campata	$\beta x/m$	Vincolo a entrambi estremi	$\lambda x/m$	λVer
1	Si	0					
			1-2	1	Si	47.6	Si, (<200)
2	Si	280					

Dati per instabilità attorno a y

Numero rit.	Presente	Ascissa	Campata	$\beta y/n$	k,LT	kw,LT	Vincolo a entrambi estremi	$\lambda y/n$	λVer
1	Si	0							
			1-2	1	1	1	Si	47.6	Si, (<200)
2	Si	280							

Verifica di stabilità membrature compresse §4.2.4.1.3.1 NTC18

X	Comb.	Sfruttamento	Classe	Obblig.	NEd	Nb,Rd	χ_{min}	I0 x/m	I0 y/n	λ adim. x/m	λ adim. y/n	N,crit x/m	N,crit y/n	Verifica
0	SLU 40	0.004	1	No	-231	53264.4	0.839	280	280	0.507	0.507	259637.3	259637.3	Si

Verifica a svergolamento §4.2.4.1.3.2 NTC18

X	Comb.	Sfruttamento	Classe	Obblig.	Mx,Ed	Mb,Rd,x	χ_{LT}	λ adim. LT	L,LT	M,critico	Verifica
28	SLU 22	0.013	1	Si	4500	342388.1	1	0.103	280	33939719.7	Si

Verifica a svergolamento con trazione §4.2.4.1.3.2 NTC18 - §5.5.3 ENV 1993-1-1:1994

X	Comb.	Sfruttamento	Classe	Obblig.	NEd	Mx,Ed	Mx,Eff,Ed	Mb,Rd,x	χ_{LT}	λ adim. LT	L,LT	M,critico	Verifica
18.7	SLU 34	0.013	1	Si	30.7	4500	4400.8	342388.1	1	0.103	280	33939719.7	Si

Verifica di stabilità per pressoflessione §C.4.2.4.1.3.3.2 NTC18

X	Comb.	Sfruttamento	Classe	NEd	NRk	Mx,Ed max	Mx,Rk	My,Ed max	My,Rk	χ_x	χ_y	kxx	kxy	kyy	χ_{LT}	Verifica	
0	SLV 10	0.021	1	-162.3	66637.1	5453.6	359507.5	1366.1	359507.5	0.839	0.839	0.601	0.36	1	0.601	1	Si

Verifica di stabilità per pressoflessione SLD §C.4.2.4.1.3.3.2 NTC18

X	Comb.	Sfruttamento	Classe	NEd	NRk	Mx,Ed max	Mx,Rk	My,Ed max	My,Rk	χ_x	χ_y	kxx	kxy	kyy	χ_{LT}	Verifica	
0	SLD 10	0.012	1	-162.3	66637.1	2830	359507.5	579	359507.5	0.839	0.839	0.601	0.36	1	0.601	1	Si

Verifica di stabilità a taglio anima X §4.2.4.1.2.4 [4.2.27] NTC18

η	hw	tw	hw/tw max	Verifica	
1.2		14	0.5	60	Si

Verifica di stabilità a taglio anima Y §4.2.4.1.2.4 [4.2.27] NTC18

η	hw	tw	hw/tw max	Verifica	
1.2		14	0.5	60	Si

Verifiche a deformabilità

Mensola X: No; Mensola Y: No.

Verifiche non eseguite in quanto il superelemento è verticale.